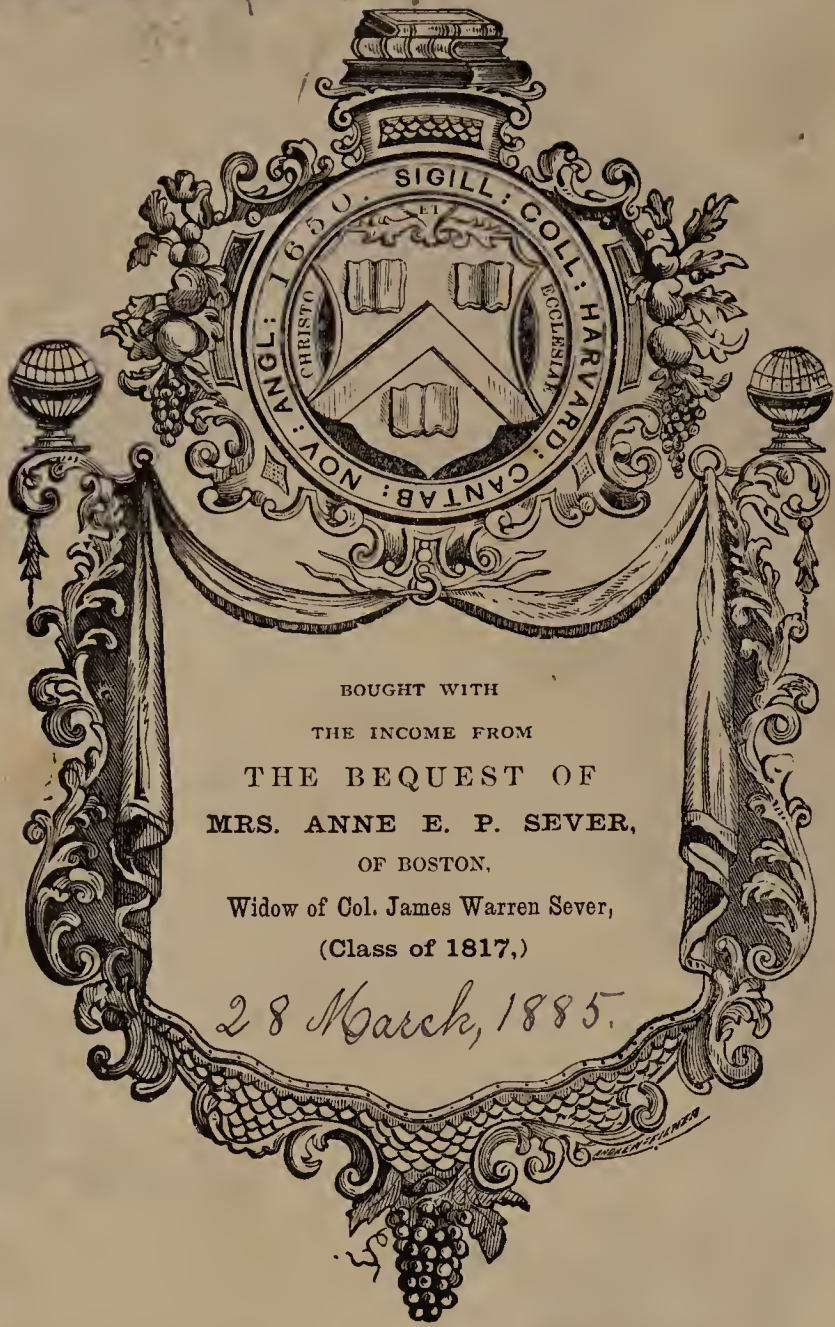
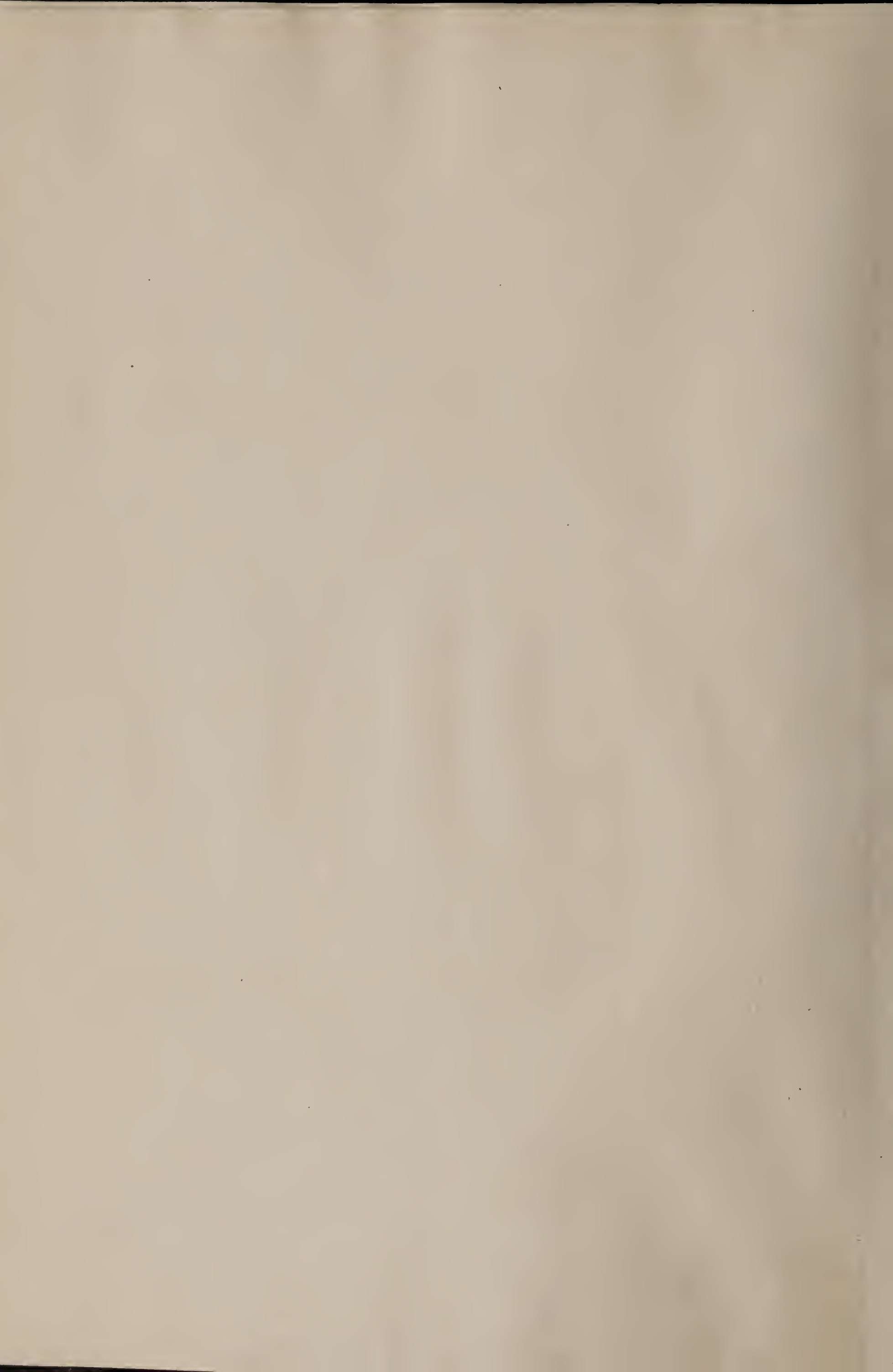


3 2044 107 274 326

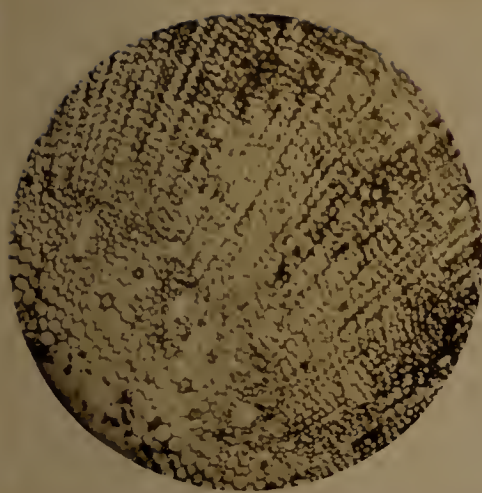
Geol 3908.24



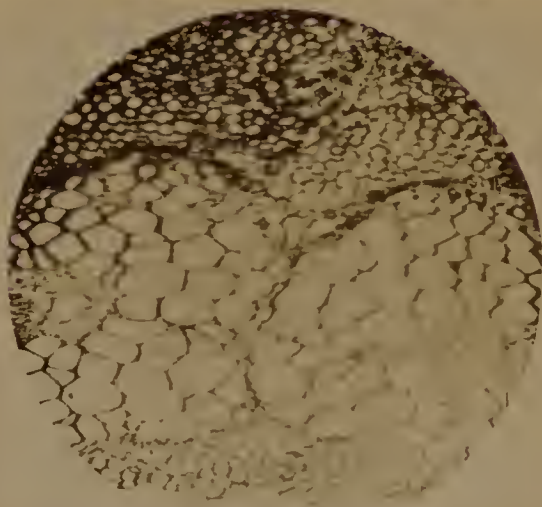
DEPOSITED
IN THE
BIOLOGICAL LABORATORY



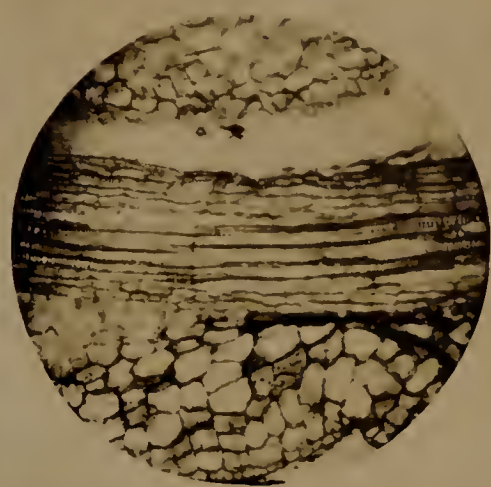
1.



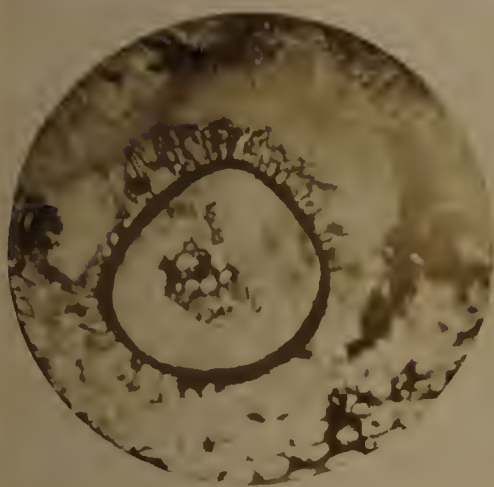
2.



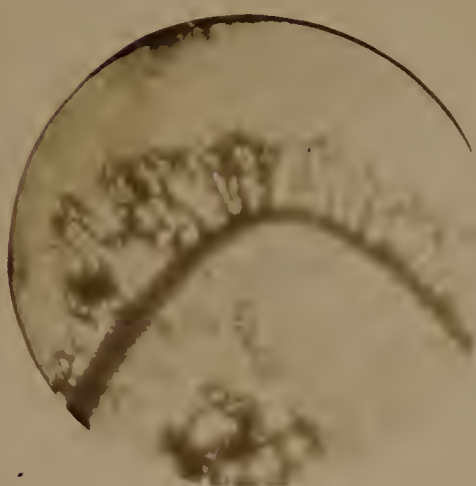
3.



4.



5.



6.



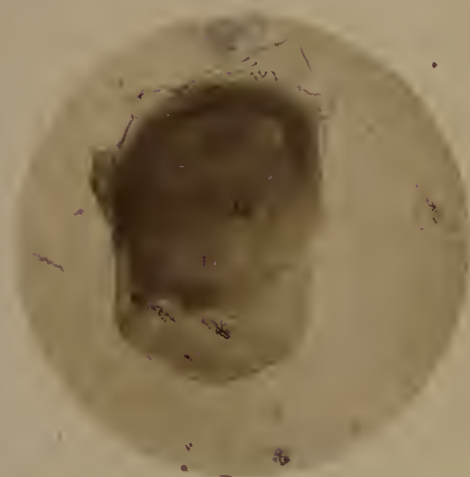
7.



8.



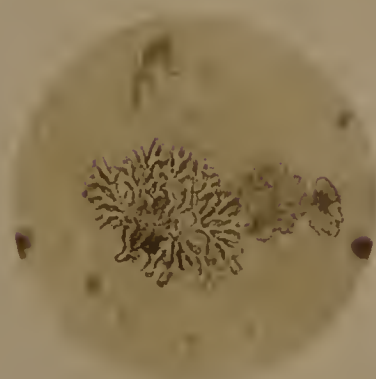
9.



10.



11.



12.





Micro-PalaeoPhytologia

Formationis Carboniferae.

Iconographia et Dispositio Synoptica Plantularum microscopicarum omnium
in venis Carbonis Formationis Carboniferae hucusque cognitarum,

eorumque illis proximorum corpusculorum natura vegetabilica non incerta, quae inveniuntur et in venis
carbonis et in stratis Formationum infra supraque Carboniferam sequentium.

Auctor

Friedrich
Paulus F. Reinsch.

V o l u m e n P r i m u m .

Continens Trileteas et Stelideas.

Accedunt Tabulae Sexaginta novem.

C
Erlangae, Germania.

Redemptio Autoris et Apud Theodorum Krische Bibliopolam.

Londinii.

Apud Bernardum Quaritch Bibliopolam.

MDCCCLXXXIV.

32,185
April 2, 1974

~~F. 2110~~

~~Page 3900, 84~~

MAR 28 1885

Thomson
(I. II)

DEPOSITED IN BIOLOGICAL LABORATORY

Paleo
Re 27.7m

Ex iis rebus, eo tempore adentibus in mundo, nobiscum creatis, ex iisque, quae accidunt ante oculos in mundo, non licet concludi in omnia quae fuissent ante nos, in omnia quae accidissent ante nos — ex temporis momento, naturae investigatae cognitaeque particeps, in relatione incomparabilis spatii praeteriti.

Tpyis E. Th. Jacob Erlangae.

P r a e l o q u i u m.

Investigationes recentiores acutiores de elementis microscopicis Carbonis fossilis, inprimis Carbonis Formationis Carboniferae paulatim mihi dederunt corpusculorum organicorum novorum eximium numerum quae trado conjuncta, collecta et in ordine synoptica collocata in hoc opere ad augendam Palaeo Phytologiae partem novam ac ad ponendam basin investigationum ulteriorum. Formas tantum recepi in hoc opere, quas observavi in Speciminibus compluribus identicis ac quae collectae sunt in collectione unitae, in Speciminibus completis. Formae in Formatione Carbonifera tota dispersae, e variis et diversis locis in characteribus tam maxime consentiunt, ut delineatio Speciminis completi ab uno loco sufficeret, Speciminumque delineatio e variis locis superflue appareret.

Omnia in hoc Opere recepta Corpora minutissima, pro maxima parte oculis nudis invisibilia (Elementa microscopica Carbonis), sunt praeparata et conservata in praeparatis in Glycerino concentrato aut in Balsamo Canadensi et unita in collectione Micro-Palaeo-Phytologica, continente numerum 3850 Speciminum bonorum, quae collectio in partibus singulis, quae videndi causa optantur, ad dispositionem est omni investigatori harum rerum.

Ad Cognoscendam naturam veram Triletum, necesse fuerat cognitio quanti maximi numeri formarum variarum et e variis locis. Studio, inprimis complurium venarum Rossiae Centralis et simul per usum methodi dissolutionis elementorum carbonis per ferventem solutionem Kalii Kaustici et per Acidum Hydrofluoricum in elementa solubilia et in elementa insolubilia, successit, ut numerus exhaustiens et ad solvendam quaestionem de natura vera Triletum, formarum extantium formae principes acquirerentur.

Post primo inventis singulis Triletum formis in carbonis sectionibus microscopicis*) deinde post inventis novis formis compluribus in immensi quantitate in singulis venis Carbonis**) deinde post inventa dispersione universali Triletum in Carbone Formationis Carboniferae, quaestio subiebat ad explicandam Originem ac naturam harum corpusculorum mirabilium, quae, propter quantitatem ac structuram propriam cum sporis multo dissidentem, difficile possent tribui sporis plantarum Cryptogamicarum altiorum.

Tametsi omnium et certe formarum plurimarum extantium Triletearum in Formatione Carbonifera tota dispersarum cognitio ab ullo scientiae valore Palaeo-Phytologiae apparuit, attamen cum propria mente perficiebam quam maxime exhaustientem cognitionem omnium formarum extantium, quae fuerant mihi obtinendae. Jam primae formae oculis meis obviam venientes, affirmabant opinionem meam de possibilitate ad explicandam hanc methodum propriam ad Triletum naturam ac originem explicandam.

Ordiens a facto: Primo: omnes relationes legibus constitutae exstantes in mensuris ac in structura in minimis partibus (cellulis) alicuius Speciei reperiuntur constantes ac sunt extensae in haec corpora incog-

*) descriptis in „Neue Untersuchungen über die Mikrostruktur der Steinkohle“ p. 50 Tab. XI fig. 1—10.

**) Ueber eigenthümliche einzellige Körper in der Carbonkohle Central-Russlands“. Flora 1833. Nr. 8. Tab. IV.

nita — sed sine dubio — vegetabilia; Secundo: Relationes mensurarum ac structurae formarum singularum inveniuntur constantes ac minime immutatae in his Corporibus ignotis, e locis variis et e venis carbonis diversa geologica vetustate.

Omnium hucusque cognitarum Specierum plantarum numerus, quae sunt inventae in Formatione Carbonifera, quinque centuria nun multum transgressit; et ab his cognitis Speciebus $19/20$ spectant ad Vasculares Cryptogamicas, ac circiter 40 Species ad Lepidodendra spectant; sed plantae numerosissimae in tota Formatione sunt Filices, dimidio magis omnium Specierum in Venis Carbonis hucusque cognitarum.

Supponimus: has Trileteas esse Sporas plantarum cryptogamicarum altius explicatarum, sub hac conjectura Trileteae possint deduci tantum de Lycopodiaceis et illis simillimis plantis. His experientiis praesentibus de sporis ullius Specieis plantarum cryptogamicarum, a constantibus mensuris praesertimque a constante structura species singulae harum plantarum partim ex sporis sunt definiendae. Sub hac conjectura: ut Trileteae sint identicae cum sporis Lycopodiacearum, totidem diversae species harum plantarum possint deduci, quot varias formas constantes Triletem inveniverimus. Si quoque numerus totus adhuc cognitarum Specierum Vascularium Cryptogamicarum aliarumque plantarum altiorum Formationis Carboniferae provehi potuerit in sixcentum, certe numero omnium in hoc Opere descriptorum formarum Triletem poterunt additurae centenae formae indescriptae ex Formatione Carbonifera.

Quamquam ex his descriptis Triletem formis singulae contrahantur in connectas formas, aliae formae sub eadem forma conjunctae disjungantur, tamen numerosae formae specificaе remanebunt, quae, ex iniqua relatione numerica, non possunt deduci de Lycopodiaceis aut iisdem proximis plantis. Numne exorirent haec corpora ignota a Plantis Cryptogamicis, ex eo tempore nobis ignotis? Sed haec conjectura quoque non multum verisimilitatis habet. Namne interiissent sine vestigiis illae massae immensae substantiarum*) vegetabilicarum ex quibus corpora harum plantarum ignotarum erant composita, sine relinquissent ullas reliquias partium ex substantia solidiore exstitutarum?

In singula vena Carbonis a Pruckscha (Nowgorod. Rossia Centralis) non multae formae Triletem reperiuntur in imani quantitate. Substantia carbonis componitur usque ad 80 partes per centum ex his corporibus.

Qualescunque sint rationes, ex quibus de possibilitate huius conjecturae concluditur, contra in primis relationes structurae ac diametrorum in formis singulis constanter occurrentium differentiae eximiae in relationibus numericis absolutis mensurarum in Speciminibus e diversissimis locis, evidenter ostendunt naturam horum corporum specificam nec derivatam nec implicitam. Relatio numerica est observata inter minimam et maximam Triletem $= 0,014 : 1,6$ id est $= 1 : 115$.

Experientiae nostrae praesentes demonstrant, omnium Plantarum cryptogamicarum cellulas propagativa alicuius Specieis (sint cellulas masculas. Microsporas, aut cellulas femineas. Macrosporas) inveniri in relationibus numericis mensurarum ac structurae maxime constantibus, deinde: in Speciebus ac partim in generibus Tribuum singularum magnam diversitatem non potuisse observari, exstantem inter maximum ac minimum diametrorum absolutorum ac ceterum relationum numericarum ac relationum structurae internae et externae.

Reperi ac collegi mensuras absolutas de dimensionibus numeri Specierum Equisetacearum, Lycopodiacearum ac Filicum, ex quibus non magna diversitas in magnitudine elucet, quas hoc loco insero.

*) Numerice calculavi in Plantarum cryptogamicarum Speciebus singulis quantitatem absolutam substantiae vegetabilis, et in cellulis propagativis et in cellulis vegetativis (radicis, trunci, foliorum, partium appendicularium etc.) consistentis. Reperi, si quantitas substantiae cellularum propagativarum ponitur $= 1$.

Quantitatem substantiae vegetativae in aëre perfecte exsiccatæ partis supra terram crescentis.

in Equisetaceis (Equisetum limosum) . . .	105
in Lycopodiaceis (Lycopodium dendroideum)	60
in Filicibus.	

Caule humiliore (Polystichum Filixmas)	118
--	-----

Caule arborescente (Pteris aquilina) .	192
--	-----

Equisetaceae.

Equisetum arvense. L. Diam. spor. 0,039 mm.
 „ *Telmateja*. Ehrh. Diam. spor. 0,035—0,039 mm.
 „ *sylvaticum*. L. Diam. spor. 0,029—0,031 mm.
 „ *umbrosum*. Mey. Diam. spor. 0,029—0,031 mm.
 „ *palustre*. L. Diam. spor. 0,031—0,033 mm.
 „ *limosum*. L. Diam. spor. 0,031 mm.
 „ *ramosum*. Schleh. Diam. spor. 0,035—0,039 mm.
 „ *trachyodon*. A. Braun. Diam. spor. 0,035 mm.
 „ *variegatum*. Schleh. Diam. spor. 0,017—0,02 mm.
Prae ceteris Equisetis insigne longioribus et crassioribus elateribus.

Lycopodiaceae.

Lycopodium Chamaecyparissus. A. Braun. Diam. spor. 0,028—0,031 mm.
 „ *annotinum*. L. Diam. spor. 0,031 mm.
 „ *inundatum*. L. Diam. spor. 0,039—0,046 mm.
 „ *Selago*. L. Sporae minores triangulares Diam. 0,031 mm. Sporae majores subsphaericae Diam. 0,046 mm.
 „ *Dendroideum*. Mich. Sporae inaequales. 1. Long. 0,031. 2. Long. 0,024 mm.
Selaginella spinulosa. A. Braun. Sporae inaequales. 1. Long. 0,035—0,039 mm. 2. Long. 0,031 mm.
Lycopodium clavatum. L. Long spor. 0,028—0,031 mm.
Selaginella Apus. Spring. Amer. bor. Sporae aequales. diam. 0,024—0,028 mm.

Filices.

Ophioglossum vulgatum. L. Diam. spor. 0,038—0,042 mm.
Botrychium Lunaria. L. Diam. spor. 0,039 mm.
 „ *rutaefolium*. A. Braun. Diam. spor. 0,031—0,035 mm.
 „ *Virginicum*. Swartz. Diam. spor. 0,028 mm.
 „ *ternatum*. Amer. bor. Diam. spor. 0,024—0,031 mm.
 „ *lunarioides*. Swartz. Canada. Diam. spor. 0,031 mm.
Osmunda Cinamomea. L. Am. bor. Diam. spor. 0,05 mm.
 „ *Claytoniana*. L. Am. bor. Diam. spor. 0,059—0,066 mm.
 „ *regalis*. L. Long. spor. 0,063 mm. Lat. 0,053 mm.
Allosorus crispus Bernh. Diam. spor. 0,042—0,05 mm.
Notochlaena Newberryi Nutt. California. Diam. spor. 0,039—0,042 mm.
 „ *Fendleri* Kunze. Colorado. Diam. spor. 0,059 mm.
Cystopteris fragilis Bernhard. Sporae aequales. Long. 0,035—0,042 mm. Lat. 0,024—0,028 mm.
 „ *alpina*. Link. Long. spor. 0,042 mm. Lat. 0,028 mm.

Cystopteris montana. Sprengel Long. spor. 0,035 mm. Lat. 0,028 mm.

Asplenium ebeneum Ait. Am. bor. Long. spor. 0,031—0,035 mm.
 „ *angustifolium*. Mich. Am. bor. Long. spor. 0,037 mm.
 „ *Filix foemina*. Swartz. Long. sp. 0,04 mm. Lat. 0,024 mm.
 „ *septemtrionale*. Swartz. Long. Spor. 0,046 mm.
 „ *fissum*. Kitaibl. Long. spor. 0,039 mm.
 „ *Ruta muraria*. L. Diam. spor. 0,039—0,046 mm.
 „ *Adiantum nigrum*. Swartz. Long. spor. 0,028—0,039 mm.
 „ *Trichomanes* L. Long. spor. 0,035 mm.
 „ *viride*. Hudson. Long. spor. 0,031—0,035 mm.
 „ *Halleri*. R. Brown. Diam. spor. 0,035 mm.
 „ *lanceolatum*. Long. spor. 0,05 mm.
 „ *pinnatifidum*. Nutt. A. bor. Diam. spor. 0,042 mm.
 „ *montanum*. Willden. Am. bor. Diam. spor. 0,031—0,039 mm.

Woodsia obtusa. Nutt. Am. bor. Long. 0,046 mm. Lat. 0,035 mm.

„ *hyerborea*. R. Brown. Long. sp. 0,05—0,053 mm.

Lygodium palmatum. Swartz. Amer. bor. Sporae hyalinae, glaberrimae. Diam. 0,046—0,05 mm.

Pellaea atropurpurea Link. Diam. spor. 0,066—0,075 mm.

„ *androsaemifolia*. Nutt. California. Diam. spor. 0,039—0,046 mm.

„ *ornithopus*. Nutt. var. *brachypleurum*. Calif. Diam. spor. 0,028 mm.

„ *gracilis*. Hooker. Sporae sporis Lycopodiacearum simillimae, subtetraetricae. Diam. 0,046 mm.

Aspidium cristatum. Roth. Long. spor. 0,053—0,056 mm.

„ *marginale*. Swartz. Long. spor. 0,042 mm. Lat. 0,028 mm.

„ *Filix mas*. L. var. *incisum*. Canada. Long. spor. 0,05—0,053 mm. Lat. 0,035 mm.

„ *fragrans*. Swartz. Canada. Diam. spor. 0,042 mm.

„ *acrostichoides*. Swartz. var. *incisum*. Canada. Diam. spor. 0,039—0,041 mm.

„ *aculeatum* Döll. Long. spor. 0,039—0,042 mm.

„ *Lonchytis*. Swartz. Long. spor. 0,039—0,042 mm.

„ *rigidum*. Swartz. Long. spor. 0,031—0,035 mm.

Blechnum Spicant. Roth. Diam. spor. 0,035—0,039 mm.

Dicksonia punctilobula. Kunze. Sporae glaberrimae hyalinae. Canada. Diam. 0,031—0,035 mm. ab alio loco. Am. Austr. Diam. 0,028 mm.

Polypodium calcareum. Smith. Diam. spor. 0,039—0,042 mm.

„ *alpestre*. Hoppe. Long. spor. 0,046 mm. Lat. 0,028 mm.

„ *incanum*. Swartz. Illinois. Long. spor. 0,05 mm. Lat. 0,031 mm.

<i>Polypodium hexagonopteris</i> . Swartz. Am. bor. Long. spor. 0,035 mm. Lat. 0,022 mm.	<i>Polystichum Filix mas.</i> L. Long. spor. 0,046 — 0,05 mm. Lat. 0,031—0,035 mm.
„ <i>Phegopteris</i> . L. Long. spor. 0,053 — 0,056 mm. Lat. 0,031 mm.	„ <i>Oreopteris</i> . De Cand. Long. spor. 0,035 mm. Lat. 0,028 mm.
„ <i>vulgare</i> . L. Long. spor. 0,063—0,069 mm. Lat. 0,046 mm.	<i>Adiantum cuneatum</i> . Swartz. Diam. spor. 0,05 mm.
<i>Scolopendrium officinarum</i> . L. Long. spor. 0,035—0,042 mm.	„ <i>pedatum</i> . L. America bor. Long. spor. 0,046 mm. Lat. 0,031 mm.
<i>Ceterach officinarum</i> . L. Long. spor. 0,046 mm. Lat. 0,031 mm.	<i>Schizaea pusilla</i> . Pursh. Amer. bor. Sporae inaequales. 1. Long. 0,087 — 0,095 mm. Lat. 0,063—0,075 mm. 2. Diam. 0,024 — 0,028 mm.
<i>Polystichum spinulosum</i> . Swartz. var. <i>intermedium</i> . Canada. Long. spor. 0,046 mm. Lat. 0,025 mm.	<i>Cheilanthes lanuginosa</i> . Nuttall. California. Diam. spor. 0,02 mm.
„ <i>Thelypteris</i> . Roth. Long. spor. 0,039 mm. Lat. 0,028 mm.	„ <i>vestita</i> . Swartz. Am. bor. Sporae inaequales. 1. minores, glaberrimae. Diam. 0,031—0,035 mm. 2. majores, spinulosae. Diam. 0,035—0,039 mm.
„ <i>spinulosum</i> . Swartz. Long. spor. 0,042—0,046 mm.	

In Tabellula sequente sunt exhibitae relationes numericae arithmeticae, quae exstant inter Plantarum Vascularium Cryptogamicarum sporas ac inter Trileteas.

<i>Equisetaceae</i>	Minimum Diametri 0,017 mm. Maximum Diametri 0,039 mm. Medium arithmeticum Diametri = 0,029 mm.	} Differentia minimi et medii — 0,012 mm. Differentia maximi et medii + 0,010 mm.
<i>Lycopodiaceae</i>	Minimum Diametri 0,024 mm. Maximum Diametri 0,046 mm. Medium arithmeticum Diametri = 0,035 mm.	} Differentia minimi et medii — 0,011 mm. Differentia maximi et medii + 0,011 mm.
<i>Filices</i>	Minimum Diametri 0,015 mm. Maximum Diametri 0,066 mm. Medium arithmeticum Diametri = 0,041 mm.	} Differentia minimi et medii — 0,026 mm. Differentia maximi et medii + 0,025 mm.

Trileteae.

Minimum Diametri Nr. 535 0,014 mm. 0,017 mm. Nr. 7.	}	Differentia minimi et medii — 0,752 mm.
Medium arithmeticum 0,015 mm.		
Maximum Diametri Nr. 581 1,6 mm. 1,44 mm. Nr. 135.	}	Differentia maximi et medii + 0,753 mm.
Medium arithmeticum 0,767 mm.		

Relationes arithmeticae inter Maximum et Minimum Diametrorum.

Equisetaceae	= 1,00 : 2,94.
Lycopodiaceae	= 1,00 : 1,91.
Filices	= 1,00 : 4,00.
<hr/>	
Trileteae	= 1,00 : 145,00.

In hac enumeratione Synoptica majoris partis Triletum Formationis Carboniferae, de natura Triletum quaestiones pervenerunt in gradum secundum scientiae pervestigationis, in gradu prosequente expeditur quaestio majore evidentia.

In acquirendas formas Triletum, omnes formas novas plantularum diversissimarum constanter occurrentes, reservavi et collegi et in Volumine secundo secundum ordinem, sicut Trileteas et Stelideas, collocaui. Etiam animalcula microscopica quaedam quae rarissime occurrunt in bene conservatis Speciminibus observatori strenuo, in ultimā tabula recepi.

Nunc, his clusis investigationibus laboriosissimis, cum conscientia, ut penetraverim in regiones Creationis vegetabilis adhuc clausas et tenebricosas et scientiae horizontem in regionem ampliaverim, tantum diligentia strenua ac scientiae amore apertam, nec remunerationibus nec expectande exteriori successu incitabilibus et iis inter malignitates et minutas difficultates mihi licet dicendi consolatio cum poëta

Tantae molis erat — — —
Triletum condere Gentem.

Paulus F. Reinsch.

Numeri in millimetris dimensionum in figuris, mensurati in microscopio, et respondentes numeris magnitudinis absolutae.

Numeri in Millimetris.	Magnitudo absoluta in Millimetris.	Numeri in Millimetris.	Magnitudo absoluta in Millimetris.	Numeri in Millimetris.	Magnitudo absoluta in Millimetris.	Numeri in Millimetris.	Magnitudo absoluta in Millimetris.
0,5	0,0017	18	0,063	36	0,126	75	0,26
1	0,0035	19	0,066	37	0,129	80	0,276
2	0,007	20	0,069	38	0,132	85	0,293
3	0,0105	21	0,075	39	0,135	90	0,33
4	0,014	22	0,078	40	0,138	95	0,35
5	0,017	23	0,081	41	0,14	100	0,37
6	0,02	24	0,084	42	0,145	120	0,439
7	0,024	25	0,087	43	0,148	150	0,534
8	0,028	26	0,091	44	0,151	170	0,62
9	0,031	27	0,095	45	0,154	200	0,74
10	0,035	28	0,1	46	0,157	250	0,904
11	0,039	29	0,105	47	0,16	300	1,11
12	0,042	30	0,11	49	0,161	350	1,274
13	0,046	31	0,113	50	0,164	400	1,48
14	0,05	32	0,115	55	0,181	450	1,644
15	0,053	33	0,118	60	0,23		
16	0,056	34	0,122	65	0,24		
17	0,059	35	0,125	70	0,25		

Trileteae.

Triletes (Reinsch, Neue Unters. über d. Mikrostrukt. d. Steink. Tab. XI. fig. 1—10. 15. 16.

idem Ueber Algenähnliche und einzellige Körper in der Carbonkohle Central-Russlands. Flora 1883. Nr. 8. Tab. IV. fig. 1—17).

Entia vegetabilica adhuc ignota natura ac adhuc extincta. Corpus in sciagraphia triangulare, semi-ellipticum, ellipticum, circulare, et disciformiter compressum et subtetraëtricum. In respectu structurae Triletearum derivantur ex sectionibus corporum Speciminibusque completis et de substantiis alienis deliberatis, sequentia.

1. Parietes Triletum*) sunt formati ex substantia semitranslucida, per lucem polarisatam immutata, plus minusve homogenea. Quae substantia occurrit: a. sine ulla structura, b. laminosa, c. lacunosa, lacunulis regulariter aut irregulariter dispositis excavata, d. radialiter fibrosa. e. cribrose-perforata tubulis centralibus. Exterior pars parietum exhibet maximam diversitatem formationis.

2. In plurimis formis lumen internum corporis apparet reductum in minimum et ab ulla materia vacuum substantiaque bituminosa amorphia. In plurimis formis evidenter observatur ut substantia**) interna distinctissime in segmenta terna ex materia solida sit divisa, sine parietibus interstitialibus (Tab. XXXV. 328. 329. XI. 141. 142. 143. . .). In singulis magnis formis segmentorum superficies apparet inducta sphaerulis compactis numerosis (XII. 144. XIII. 147. 148). In numerosis formis „nucleus“ ab „Exosporio“ sacculiformiter ampliatus est involutus. In respectu internae partis (nuclei) structurae magna diversitas est, et in superficie, in fissuris et in indumento exteriori.

Saepius occurrunt in Triletibus parasitulae proprii generis et internae (Tab. XLIX. B. fig. 3. α . β , et filiformes et globulosae fig. 4. 5. globulosae) et externae partim superficiei affixae (Tab. XLIX. B. fig. 232. C. Specimen singulum Trichostelii α) partim in substantia „Exosporii“ et „nuclei“ nidulantes (Tab. LXXVII. fig. 1. c. a. fig. 6. Tab. LXXIX. fig. 18. Tab. LXXX. fig. 25. Tab. LXXVIII. fig. 11).

In respectu relationum biologiarum, singula Specimina bene conservata observavi, ex quibus elucitur paulum aliquid natura obscura Triletum.

1. Specimina in statu divisionis? connecta. (Tab. XLIX. B. fig. 1).
2. Specimina constanter occurrentia compluria plus minusve regulariter aggregata (Tab. XLIX. A. fig. 1. 2. 3. 4. 5).
3. Specimina vacua interna substantia aut totaliter, aut partialiter (XLIX. B. fig. 7).
4. Specimina singula, latere fissura aperta, cum corpusculo ellipsoidico ex apertura semiegresso. (Tab. XLIX. B. fig. 6. 8. Haec Corpora cum corporibus vacuis numerosissimis in eadem vena).
5. Specimina lobulis singulis abnormiter divisus, in repetita divisione, veluti observatur in Desmidiaceis (Confer. Reinsch Contribut. ad Algol. et Fungul. Vol. I. Tab. XVIII. Chlorophylloph. fig. 12. 13. 14. 15). (Tab. XLIX. B. fig. 2. Specimen formae Nr. 76. A. B. Lobuli normaliter formati, C. Lobulus repetito divisus in lobulos α . α).

His experienciis Trileteae sunt dispersae in formis numerosissimis constantibus per totam Formationem Carboniferam, egregie in Formatione Carbonifera Rossiae Centralis, ubi exstruuntur venae singulae praecipue ex his Corporibus***).

Numerus formarum Triletearum omnium in hoc opere depositarum est = 639 ex his sunt

Formae triangulares	381	Formae ellipticae	86
Formae semiellipticae	59	Formae circulares	113

*) In Diagnosibus denominantur parietes „Exosporium“, quo cum Termino non ullum analogon sit notandum cum parietibus Sporarum Plantarum Cryptogamicarum.

**) In Diagnosibus haec pars Corporis simpliciter est designata cum Termino „Nucleus“. Hic Terminus in stricto sensu nullo modo est identificandus cum Termino in communi usu Botanices Systematicae.

***). Reinsch, Weitere Beobachtungen über die eigenthümlichen einzelligen Körper in der Carbonkohle. Flora 1883. Nr. 12.

Triletea e.

Subtribus I. Nucleus triangularis.

Subdivisio I. Exosporium tenerrimum, membranaceum, usque $\frac{1}{80}$ diametri corporis, glaberrimum et punctulatum, verruculis exasperatum et verrucosum. Corpus et nucleus in sciagraphia regulariter triangulare.

1. Corpus regulariter triangulare, marginibus irregulariter emarginatis, fissuris usque ad angulos se pertinentibus. Exosporii pars centralis dense granulosa.

Diam. 0,145 mm. (Tab. I. fig. 1.)

In carbone fossili compacta (Metschowk Guv. Tula. Rossia Centralis); in carbone fossili textura terrosa (Pruckscha Guv. Nowgorod. Rossia centralis).

2. Corpus regulariter triangulare, marginibus irregulariter emarginatis et subconvexis, angulis obtuso-rotundatis, fissuris usque ad angulos se pertinentibus. Exosporii superficies tota dense verruculoso-punctulata.

Diam. 0,33—0,345 mm. (Tab. XIX. fig. 1. E).

In carbone fossili compacta, nitida, in fractura conchata, quam dicunt Geologi Rossici „Devonische Kohle.“

Subdivisio II. Exosporium tenerrimum, membranaceum homogeneous, usque $\frac{1}{40}$ — $\frac{1}{20}$ diametri corporis, punctulatum, verruculosum et spinulis armatum. Corpus et nucleus regulariter triangulare.

† Exosporium glaberrimum et punctulatum.

3. Corpus regulariter triangulare, marginibus leviter emarginatis, angulis late rotundatis, fissuris angustissimis, duae partes radii corporis longis. Exosporii superficies punctulata.

Diam. 0,024—0,041 mm. (Tab. I. fig. 2 a. b.).

In carbone fossili Formationis Carboniferae Rossicae, quam dicunt geologi Rossici „Stigmarienkohle“ (diam. 0,041 mm); in carbone Rossicae peculiari quae dicitur „Blätterkohle aut Papierkohle“ (diam. 0,028 mm); in carbone peculiari a Kurakinskije (Rossia Centralis) quae est composita usque ad 95 per Centum ex plantula peculiari (Sphaerocladites Reinsch Flora 1883 n. 8). (diam. 0,034 mm.); in carbone in exteriori persimili „Torbanite“ ex Anglia, a Malowka Guv. Tula Rossia Centr.); in carbone compacta et in laminis in carbone cum substantia elastica immixtis a Zwickau (Saxonia) (diam. 0,024—0,041 mm.).

4. Corpus triangulare, marginibus leviter emarginatis, angulis late rotundatis, fissuris in centro interdum apertis. Exosporii superficies punctulata.

Diam. 0,039—0,053 mm. (Tab. I. fig. 3.).

Malowka (Rossia Centralis) (diam. 0,053 mm.); „Stigmarienkohle“ (Rossia Centralis) (diam. 0,042 mm.) Zwickau (Saxonia) (diam. 0,039—0,046 mm.).

5. Corpus regulariter triangulare, marginibus subconvexis, angulis rotundatis, fissuris leviter apertis, usque ad angulos se pertinentibus. Exosporii superficies punctulata.

Diam. 0,028—0,034 mm. (Tab. I. fig. 4.).

In carbone compacta et in laminis venis carboni interspersis cum substantia elastica immixtis a Zwickau (Saxonia); „Stigmarienkohle“ (Rossia Centralis) diam. 0,034 mm.).

6. Triletes e minimis. Corpus regulariter triangulare, marginibus submarginatis, angulis rotundatis. Exosporii superficies glaberrima, foraminulis perforata.
Diam. 0,017—0,020 mm. (Tab. I. fig. 5 a.).
In carbone compacta a Zwickau (Saxonia).
7. Triletes e minimis. Corpus regulariter triangulare, marginibus rectis, angulis acutiusculis. Exosporii superficies punctulata.
Diam. 0,020 mm. (Tab. I. fig. 5. b.).
In carbone compacta. Malowka (Rossia Centralis.).
8. Corpus regulariter triangulare, marginibus rectis, angulis breviter truncatis. Exosporii superficies glaberrima. Fissura $\frac{3}{4}$ corporis radii. Nucleus indistincte concentrice separatus.
Diam. 0,041 mm. (Tab. I. fig. 6.)
In vena carbonis cum substantia elastica plene immixta. Zwickau (Saxonia).
9. Corpus regulariter triangulare, marginibus subconvexis, angulis subrotundatis. Exosporii superficies subtilissime punctulata. Fissura usque ad angulos pertinentes, in centro apertae.
Diam. 0,046 mm. (Tab. I. fig. 10).
Kurakinskije (Rossia Centralis). „Blätterkohle“ a Molowka (ibid.).
10. Corpus regulariter triangulare, marginibus subrectis et leniter convexis. Exosporii Superficies subtiliter punctulata. Fissurae usque ad angulos pertinentes.
Diam. 0,076 mm. (Tab. I. fig. 10).
In carbone peculiari Novae Hollandiae, quae dicitur „White coal“ et in carbone a Vandiemensland, quae dicitur „Tasmanite“.
11. Corpus regulariter triangulare, marginibus convexis, angulis late rotundatis, fissuris in centro apertis, duae partes radii corporis longis. Exosporii superficies granuloso-punctulata. Fissurarum margines late circumvolvatae.
Diam. 0,429 mm. (Tab. I. fig. 12).
In carbone compacta. Zwickau (Saxonia).
12. Corpus triangulare, marginibus convexis, angulis late rotundatis, fissuris $\frac{3}{4}$ radii corporis longis. Exosporii superficies inaequaliter verruculoso-punctulata.
Diam. 0,035 mm. (Tab. I. fig. 11).
„Devonische Kohle“ (Tula. Rossia Centralis).
13. Corpus regulariter, triangulare, marginibus subconvexis, angulis late rotundatis, fissuris $\frac{1}{2}$ radii corporis longis. Exosporii superficies subtiliter punctulata.
Diam. 0,024 mm. (Tab. XXI. fig. 2. B).
In carbone compacta. Malowka (Tula Rossia Centralis).
14. Corpus triangulare, marginibus subconvexis angulis late rotundatis. Exosporii superficies subtiliter punctulata. Fissurae duae partes corporis radii longae.
Diam. 0,028 mm. (Tab. XV. fig. 4. A).
Zwickau (Saxonia).
15. Corpus triangulare marginibus subrepandis, angulis late rotundatis. Exosporii superficies subtiliter punctulata. Fissurae dimidium radii corporis longae.
Diam. 0,032 mm, (Tab. XXII. fig. 30. B).
In carbone compacta. Metschowk (Rossia Centralis).
16. Corpus irregulariter triangulare, marginibus subconvexis, angulis late rotundatis. Exosporii superficies glaberrima et subtiliter granulata. Fissurae irregulares in centro apertae, usque dimidium radii corporis longae.
Diam. 0,063 mm. (Tab. XV. fig. 9. A).
In laminis carbonis cum materia elastica immixtis. Zwickau (Saxonia).

17. Corpus irregulariter triangulare, marginibus subrepandis et rectis, angulis obtusis. Exosporii superficies singulis nodulis dispersis. Fissurae usque ad angulos pertinentes.

Diam. 0,032 mm. (Tab. XV. fig. 18. c).

Zwickau (Saxonia).

18. Corpus regulariter triangulare, marginibus subconvexis, angulis rotundatis. Exosporii superficies lacunoso-punctulata. Fissurae usque ad angulos pertinentes.

Diam. 0,039 mm. (Tab. XV. fig. 19. A).

Zwickau (Saxonia).

19. Corpus triangulare, marginibus subconvexis, angulis late rotundatis. Exosporii superficies punctulata. Fissurae usque ad angulos pertinentes.

Diam. 0,046 mm. (Tab. II. fig. 18).

„Devonische Kohle“ (Rossia Centralis).

20. Corpus triangulare, marginibus subconvexis, angulis rotundatis. Exosporii superficies subtiliter punctulata. Fissurae usque ad angulos pertinentes. — Semper occurrunt individua compluria associata, ex quibus componuntur corpora suborbicularia, distinctius limitata.

Diam. cellular. 0,035 mm. Diam. corporum 0,125—0,14 mm. (Tab. Supplem. XLIV. A. fig. 1).

„Stigmarienkohle“ (Rossia Centralis).

21. Corpus triangulare, marginibus subconvexis, angulis late rotundatis. Exosporii crassiusculi superficies glaberrima. Fissurae usque ad angulos pertinentes, marginibus late circumvolvatis. — Saepissime occurrunt individua quaterna et sexterna in familiis minoribus consociata, in eodem modo sicut invenitur apud Palmellaceas.

Diam. cellulae 0,056—0,059 mm. Diam. familiae 0,164—0,24 mm. (Tab. Suppl. XLIX. A. fig. 3. 4).

„Stigmarienkohle“ (Rossia Centralis).

22. Corpus regulariter triangulare, marginibus subconvexis, angulis late rotundatis. Exosporii superficies glaberrima. Fissurae late circumvolvatae et striatae, $\frac{3}{4}$ corporis radii longae.

Diam. 0,095 mm. (Tab. XV. fig. 15. A).

In venula argillosa in Carbone (Zwickau, Saxonia).

23. Corpus triangulare, marginibus subrepandis, angulis late rotundatis. Exosporii superficies volvata, volvis in centro corporis prominentibus. Fissurae dimidium diametri corporis longae.

Diam. 0,047 mm. (Tab. XLIX. Supplem. A. fig. 118. b).

Metschowk (Rossia Centralis).

†† Exosporium verruculis et nodulis subtilibus obtectum et exasperatum.

⊙ Formae magnae.

24. Corpus triangulare, marginibus subconvexis, angulis late rotundatis. Exosporii superficies dense subtiliter furfuraceo-granulata. Fissurae irregulares et inaequales.

Long. 0,37 mm. Lat. 0,29 mm. Exospor. 0,035 mm. (Tab. XLIX. fig. 15. B. Specimen magn. $\frac{1}{2}$. fig. a. Exosporii pars majus amplificata).

In vena carbonis cum materia clastica immixta. Zwickau (Saxonia).

25. Corpus regulariter triangulare, marginibus convexis, angulis late rotundatis. Exosporii superficies dense furfuraceo-granulosa. Exosporii crassitudo $\frac{1}{8}$ — $\frac{1}{9}$ corporis radii. Fissurae regulares et aequales usque ad angulos pertinentes, marginibus late circumvolvatis.

Diam. 0,505 mm. crassit. Exosporii 0,031 mm. (Tab. XXVIII. fig. 8. A. magn. $\frac{1}{4}$).

„Devonische Kohle“ (Rossia Centralis).

26. Corpus regulariter triangulare, marginibus subconvexis, angulis late rotundatis. Exosporii superficies furfuraceo-verrucosa. Fissurae regulares usque ad angulos se pertinentes.

Diam. 0,485 mm. Exospor. 0,012 mm. (Tab. I. fig. 8. magn. $\frac{1}{4}$).

„Devonische Kohle“ (Rossia Centralis).

Forma minor. Diam. 0,384 mm. ibidem.

27. Corpus triangulare, marginibus convexis, angulis latissime rotundatis. Exosporii superficies gibberoso-exasperata. Fissurae paulo ampliatae, marginibus volvatis, dimidium radii corporis longae. Exosporii crassitudo $\frac{1}{30}$ — $\frac{1}{40}$ diametri corporis.

Diam. 0,416 mm. (Tab. II. fig. 15. magn. $\frac{1}{1}$).

„Devonische Kohle“ (Rossia Centralis).

28. Corpus regulariter triangulare, marginibus convexis, angulis late rotundatis. Exosporii superficies verrucoso-granulata. Fissurae paulo ampliatae, marginibus volvatis, duae partes radii corporis longae. Exosporii crassitudo $\frac{1}{16}$ diametri corporis.

Diam. 0,354 mm. Exospor. 0,020 mm. (Tab. XLIX. Suppl. A. fig. 8. B. magn. $\frac{1}{2}$).

Stigmarienkohle (Rossia Centralis).

In superficie saepissime occurrit plantula minutissima parasitica, quae est delineata Tab. LXXVIII. fig. 11.

29. Corpus regulariter triangulare marginibus subconvexis, angulis late rotundatis. Exosporii superficies punctulato-granulata. Fissurae paene ad angulos se pertinentes, marginibus volvatis. Exosporii crassitudo $\frac{1}{22}$ diametri corporis.

Diam. 0,149 mm. Exospor. 0,007 mm. (Tab. II. fig. 17).

Cum Triletibus variis in carbone laminosa Zwickau (Saxonia).

⊙⊙ Formae minores.

30. Corpus regulariter triangulare, marginibus convexis, angulis late rotundatis. Exosporii superficies verruculis obtusis oblecta.

Diam. 0,032 mm. (Tab. II. fig. 25 cum exosporii parte magis amplificata).

Malowka (Rossia Centralis).

31. Corpus regulariter triangulare, marginibus convexis, angulis rotundatis. Exosporii superficies glabra, verruculis singulis dispersis.

Diam. 0,028 mm. (Tab. I. fig. 13).

In carbone Kurakinskije (Rossia Centralis).

32. Corpus irregulariter triangulare, marginibus subconvexis, angulis rotundatis. Exosporii superficies verruculis oblecta, margine crenulata.

Diam. 0,028—0,031 mm. (Tab. II. fig. 16. fig. 19).

Blätterkohle. Towarkowa (Rossia Centralis).

33. Corpus regulariter triangulare, marginibus convexis, angulis rotundatis. Exosporii superficies verruculis exasperata. Fissurae dimidium radii corporis longae.

Diam. 0,024 mm. (Tab. XXI. fig. 22. D).

In carbone Kurakinskije (Rossia Centralis).

34. Corpus regulariter triangulare, marginibus convexis, angulis rotundatis. Exosporii superficies densissime granulato-punctulata. Fissurae dimidio radii corporis paulo breviores.

Diam. 0,05 mm. (Tab. XXI. fig. 22. C).

Stigmarienkohle (Rossia Centralis).

35. Corpus regulariter triangulare, marginibus subconvexis, angulis late rotundatis. Exosporii superficies exasperato-verrucosa. Fissurae $\frac{1}{5}$ radii corporis longae. Exosporium crassiusculum (indistinctius de nucleo separatum).

Diam. 0,069 mm. (Tab. XV. fig. 22. A).

Zwickau (Saxonia).

36. Corpus triangulare, angulis rotundatis. Exosporii crassiusculi superficies verrucosa. Fissurae paene usque ad angulos se pertinentes.

Diam. 0,053 mm. (Tab. XV. fig. 22. B).

37. Corpus regulariter triangulare, marginibus convexis, angulis rotundatis. Exosporii crassiusculi superficies perforato-exasperata.

Diam. 0,081 mm. (Tab. II. fig. 20).

„Blätterkohle“ (Rossia Centralis).

38. Corpus triangulare marginibus convexis, angulis late rotundatis. Exosporii crassiusculi superficies verruculoso-exasperata. Fissurae $\frac{3}{4}$ corporis radii, marginibus subtiliter volvatis.

Diam. 0,053 mm. (Tab. II. fig. 21).

„Blätterkohle“ (Rossia Centralis).

39. Corpus triangulare, marginibus convexis, angulis rotundatis. Exosporii teneris superficies verruculoso-exasperata. Fissurae paene ad angulos pertinentes.

Diam. 0,042 mm. (Tab. II. fig. 22).

„Blätterkohle“. Malowka (Rossia Centralis).

40. Corpus triangulare, marginibus subrectis crenulatis, angulis late obtuso-truncatis. Exosporii crassiusculi superficies nodulis singulis dispersis. Fissurae $\frac{2}{3}$ corporis radii, marginibus volvatis.

Diam. 0,035 mm. (Tab. XV. fig. 18. B).

Zwickau (Saxonia).

41. Corpus triangulare, marginibus subrepandis, angulis rotundatis. Exosporii superficies nodulis singulis dispersis. Fissurae dimidium corporis radii longae, marginibus late volvatis.

Diam. 0,0327 mm. (Tab. XLIX. fig. 2. C).

+++ Exosporium verruculis prominentibus dispersis obtectum.

42. Corpus paene hexagonum marginibus subrepandis, angulis late truncatis. Exosporii superficies verruculis rotundatis oblecta. Fissurae $\frac{2}{3}$ corporis radii longae.

Diam. 0,046 mm. (Tab. XXII. fig. 33. A).

„Stigmarienkohle“ (Rossia Centralis).

43. E minimis. Corpus regulariter triangulare, marginibus subrectis, angulis rotundatis. Exosporii superficies verruculis gracilioribus oblecta. Fissurae paene ad angulos pertinentes.

Diam. 0,0217 mm. (Tab. I. fig. 14).

Blätterkohle. Malowka (Rossia Centralis).

44. Corpus regulariter triangulare, marginibus subconvexis, angulis rotundatis. Exosporii superficies verruculis spinuliformibus oblecta. Fissurae paene ad angulos pertinentes.

Diam. 0,031—0,035 mm. (Tab. II. fig. 26. A. a. Specimen e latere inferiore).

Malowka in carbone. Kurakinskije in carbone compacta (Rossia Centralis).

++++ Exosporium verrucis majoribus latis obtectum.

45. Corpus triangulare marginibus et angulis subrotundatis. Exosporii crassiusculi superficies verrucis semirobundatis oblecta. Fissurae $\frac{2}{3}$ corporis radii longae.

Diam. 0,039 mm. (Tab. IX. fig. 117).

Inter varias Triletes in lamina argillacea acido hydrofluorico aperta. Zwickau (Saxonia).

46. Corpus triangulare marginibus et angulis rotundatis. Exosporii crassiusculi superficies verrucis latioribus dispersis, in margine in serie collocatis. Fissurae $\frac{3}{4}$ corporis radii longae.

Diam. 0,05 mm. (Tab. IX. fig. 116).

„Stigmarienkohle“ (Rossia Centralis).

47. Corpus triangulare marginibus subconvexis crenulatis, angulis late rotundatis. Exosporii superficies verrucis majoribus tuberiformibus oblecta. Fissurae paene ad angulos pertinentes.

Diam. 0,053—0,056 mm. (Tab. II. fig. 23).

In carbone Malowka (Rossia Centralis).

48. Corpus triangulare marginibus et angulis rotundatis. Exosporii superficies verrucis magnis tuberiformibus latis oblecta. Fissurae dimidium corporis radii longae, marginibus leviter volvatis.

Diam. 0,05 mm. (Tab. XV. fig. 23. A).

„Devonische Kohle“ (Rossia Centralis).

++++ Exosporium verrucis acutis latioribus obtectum.

49. Corpus triangulare marginibus subconvexis, angulis late rotundatis. Exosporii superficies verrucis latioribus in apiculum subito attenuatis obtectum. Fissurae paene ad angulos pertinentes.

Diam. 0,039 mm. (Tab. XXVIII. fig. 26. G. e. latere inferiore).

In carbone Metschowk. (Rossia centralis).

50. Corpus regulariter triangulare, marginibus subconvexis, angulis rotundatis. Exosporii superficies verrucis latioribus subconicis oblecta. Fissurae $\frac{3}{4}$ corporis radii longae.

Diam. 0,049—0,053 mm. (Tab. XXI. fig. 26. A. e latere superiore et inferiore).

Metschowk (Rossia Centralis).

✠✠✠✠✠✠ Exosporium sipinulis gracilioribus armatum.

51. Corpus triangulare, angulis et marginibus subrotundatis. Exosporii superficies spinulis gracilioribus acutis armata. Fissurae $\frac{3}{4}$ corporis radii longae.

Diam. 0,035 mm. (Tab. XV. fig. 26. A. e latere inferiore).

In carbone Kurakinskije (Rossia Centralis).

52. Corpus triangulare, marginibus subemarginatis, angulis late rotundatis. Exosporii superficies interna pars glabra, externa pars et margines spinis firmis, apice truncatis, irregulariter collocatis, armata. Fissurae $\frac{2}{3}$ corporis radii longae.

Diam. sine spinis 0,056 mm. Longit. spin. 0,0105 mm. (Tab. XXI. fig. 27. B).

In carbone. Metschowk (Rossia Centralis).

✠✠✠✠✠✠ Exosporium spinulis in seriebus collocatis armatum.

53. Corpus irregulariter triangulare, marginibus subrectis et subundulatis, angulis obtuse truncatis. Exosporii superficies spinulis in seriebus parallelis collocatis armata.

Diam. 0,031 mm. (Tab. II. fig. 24).

In carbone. Pruckscha Nowgorod (Rossia Centralis).

54. Corpus regulariter triangulare, marginibus rectis, angulis recte truncatis, spinis binis armatis. Exosporii superficies spinulis in seriebus concentricis collocatis armata. Fissurae dimidium corporis radii longae.

Diam. 0,05 mm. (Tab. XXI. fig. 26. C).

In carbone. Metschowk (Rossia Centralis).

✠✠✠✠✠✠✠ Exosporium lacunoso-perforatum.

55. Corpus triangulare, marginibus et angulis subrotundatis subcrenulatis. Exosporium lacunoso-perforatum, lacunulis circularibus. Fissurae $\frac{2}{3}$ corporis radii longae.

Diam. 0,042 mm. (Tab. XXII. fig. 26. F).

In carbone. Metschowk (Rossia Centralis).

56. Corpus irregulariter triangulare, marginibus et angulis subrotundatis. Exosporium indistinctius lacunoso-perforatum et punctulatum. Fissurae $\frac{3}{4}$ corporis radii longae.

Diam. 0,059 mm. (Tab. XVIII. fig. 118. F).

Zwickau (Saxonia).

57. Corpus irregulariter triangulare, angulis rotundatis, marginibus subconvexis. Exosporium lacunoso-perforatum, lacunis majoribus angulosis et ellipticis. Fissurae paene ad angulos pertinentes.

Diam. 0,0577 mm. (Tab. XIX. fig. 118 J).

Zwickau (Saxonia).

58. Corpus triangulare marginibus subrectis, angulis late truncatis. Exosporium reticulato-lacunosum, lacunis majoribus rotundatis. Fissurae $\frac{3}{4}$ corporis radii longae.

Diam. 0,039 mm. (Tab. XV. fig. 18. A).

Zwickau (Saxonia).

59. Corpus irregulariter triangulare, marginibus convexis, angulis latissime rotundatis. Exosporium lacunoso-exasperatum, lacunis minimis. Fissurae $\frac{4}{5}$ corporis radii longae.

Diam. 0,145 mm. (Tab. XXI. fig. 20. A).

In carbone laminosa. Zwickau (Saxonia).

†††††††††† Exosporium parenchymatice conjunctis prominentiis obtectum.

60. Corpus regulariter triangulare, marginibus subconvexis dentatis, angulis subrotundatis. Exosporium areolis angulosis parenchymatice conjunctis obtectum, angulis spinulis obsessis. Fissurae a centro leviter curvatae, marginibus paulo volvatis prominentiis liberis, inaequaliter longae, binae angulos paene attingentes, altera brevior $\frac{2}{3}$ corporis radii longa.

Diam. 0,075 mm. (Tab. XXI. fig. 26. D. Figura non exhibet denticuli marginis in intervallis aequalibus collocati).

Malowka (Rossia Centralis).

61. Corpus triangulare, marginibus et angulis rotundatis dentatis. Exosporium areolis reticulare conjunctis obtectum. Prominentiae inter areolas spinulis obsessae.

Diam. 0,046 mm. (Tab. XXI. fig. 26. E. e latere inferiore).

Metschowk (Rossia Centralis).

Subdivisio III. Exosporium tenue ($\frac{1}{24}$ — $\frac{1}{40}$ diametri transversalis), glaberrimum aut granulis regulariter in seriebus dispositis varie ornatum. Margines corporis serie simplici (interdum duplicata) spinarum dentiformiter juxta positarum, a centro marginis ad angulos sensim decrescentium, armati.

62. Corpus regulariter triangulare, marginibus subrepandis, angulis rotundato-obtusis. Exosporium glabrum. Margines 8is usque 10is spinis dentiformibus firmis, ad angulos corporis subito decrescentibus armati. Fissurae simplices $\frac{2}{3}$ radii corporis longae.

Diam. 0,039 mm. (Tab. XXII. fig. 27. C).

„Stigmarienkohle“, in carbone compacta a Lewino (Rossia Centralis).

63. Corpus regulariter triangulare, marginibus leviter repandis, angulis truncatis. Exosporium granulis dispersis obtectum, in latere inferiore seriebus ternis granularum e centro corporis radiantibus ornatum. Margines 14is — 16is spinis firmis dentiformibus, aequaliter latis ad angulos corporis sensim decrescentibus armati. Fissurae paene angulos attingentes, utrimque serie simplici granularum regulariter dispositarum ornatae.

Diam. 0,035—0,046 mm. (Tab. II. fig. 27. a. Specimen e latere superiore, fig. b. Specimen e latere inferiore).

„Blätterkohle“ et „Stigmarienkohle“ (Rossia Centralis).

64. Corpus regulariter triangulare, marginibus subconvexis, angulis obtuso-rotundatis. Latus superior Exosporii glaberrimum, latus inferior seriebus ternis granularum regulariter dispositarum e centro corporis radiantibus ornatum. Margines seriebus binis supra positis spinarum firmium dentiformium apice breviter bidentatarum, ad angulos sensim decrescentium armati. Fissurae $\frac{3}{4}$ radii corporis longae.

Diam. 0,042 mm. Crassit. (spin. exclus.) 0,011 mm. (Tab. XV. fig. 27. A. Specimen e latere superiore et e latere laterali. fig. a. Spinula singula amplif.).

65. Corpus regulariter triangulare, marginibus repandis, angulis rotundatis. Latus inferior Exosporii granulis 4is rhombice dispositis et pars centralis granulis 16is regulariter triangulatim dispositis ornata. Margines serie singula spinarum gracilliorum, apice acuminatarum ad angulos subito decrescentium armati. Spinae longissimae $\frac{1}{3}$ corporis diametri longae.

Diam. 0,026 mm. Longit. spin. 0,01. (Tab. XXVIII. fig. 27. E).

„Stigmarienkohle“ (Rossia Centralis).

66. Corpus regulariter triangulare, marginibus leviter repandis, angulis late rotundatis. Exosporium exasperato-granulatum. Margines serie spinarum breviorum dentato-serrati. Fissurae centro paulo apertae.

Diam. 0,042 mm. (Tab. XXII fig. 27. D).

Metschowk (Rossia Centralis).

67. Corpus regulariter triangulare, marginibus repandis, angulis rotundatis. Exosporium glaberrimum. Margines spinis dentiformibus, plus minusve conservatis, in serie singula dispositis armati.

Diam. 0,031—0,035 mm. (Tab. XLIX. A. Supplem. fig. 76. B).

In carbone compacta, fracturis conchoideis. (Lota. Chile. America Meridionalis). De natura carbonis hoc loco mihi desunt argumentationes propiores, probabiliter ad formationem Carboniferam pertinentis.

Subdivisio IV. Exosporium tenerrium. Fissurae bifurcatae et in angulum quemque recurrunt fissurulae binae divergentes et cum fissura centrali cohaerentes.

68. Corpus regulariter triangulare, marginibus rectis, angulis truncatis. Exosporium glaberrimum. Fissurarum pars bifurcata et pars centralis subtiliter volvata.

Diam. 0,033 mm. (Tab. XXI. fig. 17. B).

„Stigmarienkohle“ (Rossia Centralis).

Subdivisio V. Exosporium tenerrium membranaceum homogoneum. Corpus trilobulatum. Lobuli in Sciagraphia rectangulares et trapezici, polis margine recto, rotundato et anguloso.

† Lobulorum poli rotundati et angulosi.

69. Corpus trilobulatum marginibus rectangule emarginatis, lobulis semicircularibus. Exosporium granulato-punctulatum. Fissurae $\frac{3}{4}$ corporis radii longae.

Diam. 0,059 mm. Latit. lobulorum 0,032 mm. (Tab. III. fig. 30).

„Stigmarienkohle“ (Rossia Centralis).

70. (Diagnos. unius Specim.). Corpus trilobulatum, marginibus inaequaliter emarginatis, lobulis brevicylindricis. Exosporium subtiliter punctulatum. Fissurae $\frac{2}{3}$ radii corporis longae.

Diam. 0,059 mm. Latit. lobulor. 0,021 mm. (Tab. XXII. fig. 30. A).

„Stigmarienkohle“ (Rossia Centralis).

71. E. minimis. Corpus trilobulatum marginibus obtusangule emarginatis, lobulis trapezicis. Exosporium glaberrimum, margine indistincte striolato. Fissurae $\frac{2}{3}$ corporis radii longae.

Diam. 0,024 mm. (Tab. XV. fig. 28. A).

Zwickau (Saxonia).

72. E. minimis. Corpus trilobulatum marginibus obtusangule emarginatis, lobulis trapezicis, polis angulosis. Exosporium punctulatum. Fissurae dimidium radii corporis longae.

Diam. 0,020 mm. (Tab. XV. fig. 36. A).

†† Lobulorum poli obtusi et obtuso-rotundati.

73. Corpus trilobulatum, marginibus repandis, lobulis trapezicis, polis obtusato-rotundatis. Fissurae paene angulos attingentes.

Diam. 0,084 mm. (Tab. II. fig. 29).

Stigmarienkohle (Rossia Centralis).

74. Corpus trilobulatum, marginibus trapezice excisis, lobulis trapezicis, polis obtusato-rotundatis. Exosporium verruculosum, margo terminalis lobulorum serie nodulorum obtectus. Fissurae paene ad angulos pertinentes.

Diam. 0,053 mm. (Tab. III. fig. 31. Tab. XXII. fig. 31).

„Stigmarienkohle“; in carbone compacta Lewino (Rossia Centralis).

75. Corpus trilobulatum, marginibus trapezice excisis, lobulis trapezicis, polis obtusato-rotundatis. Exosporium verruculosum, margo terminalis lobulorum crenulatus. Fissurae $\frac{4}{5}$ radii corporis longae.

Diam. 0,046 mm. (Tab. III. fig. 32).

„Blätterkohle“, in carbone Kurakinskije (Rossia Centralis).

76. Corpus trilobulatum, marginibus trapezice excisis, lobulis trapezicis, polis obtusato-rotundatis. Exosporium crenulato-verruculosum. Fissurae $\frac{2}{3}$ radii corporis longae.

Diam. 0,035 mm. (Tab. III. fig. 33).

„Stigmarienkohle“ (Rossia Centralis).

††† Lobulorum poli obtusi, in medio emarginati.

77. Corpus trilobulatum, marginibus trapezice excisis, lobulis trapezicis, polis leviter repandis. Exosporium subtiliter granulatum. Fissurae $\frac{2}{3}$ corporis radii longae.

Diam. 0,035 mm. (Tab. II. fig. 28). „Blätterkohle“, „Stigmarienkohle“ in carbone compacta a Malowka (Rossia Centralis).

Specimen delineatum (Tab. XLIX. B. Supplem. fig. 2. magn. $\frac{1}{1}$) discedit a Speciminibus typicis lobulo singulo partito (C). Lobuli secundae ordinis (α et α_1) dimidio minores lobulis normalibus, sunt formatae in sciagraphia eodem modo lobulorum normalium. Lobulus C. formatus ex lobulis α et α_1 repraesentat stadium transmutationis morphologicae, sicut in Desmidiis (Euastrum et Micrasterias) lobulis divis terminalibus rarissime occurrunt individua singula lobulo terminali repetitio diviso; ex lobulo singulo primae ordinis oriuntur lobuli bini secundae ordinis, simillimi in sciagraphia et structura lobulis normalibus.

78. Corpus trilobulatum, marginibus lateralibus semicirculariter emarginatis, lobulis trapezicis angulis productis, margine terminali emarginato, latitudo lobulorum in apice corpori diametri dimidium. Fissurae $\frac{2}{3}$ corporis radii longae.

Diam. 0,035 mm. (Tab. XXII. fig. 28. A). In carbone compacte Kurakinskije (Rossia Centralis).

Subdivisio VI. Exosporium subtilissimum $\frac{1}{40}$ — $\frac{1}{20}$ corporis diametri, laminosum, ex binis usque compluribus laminis compositum.

⊙ Fissurarum margines glaberrimae.

79. Corpus regulariter triangulare, marginibus subconvexis, angulis rotundatis. Exosporium ex laminis binis exstitutum, superficies glaberrima. Fissurae paene angulos attingentes.

Diam. 0,039 mm. (Tab. XV. fig. 7. A). Blätterkohle (Rossia Centralis).

80. Corpus regulariter triangulare, marginibus et angulis rotundatis. Exosporium ex laminis binis et lamina punctulata exstitutum. Nuclei superficies punctulato-granulata. Fissurae $\frac{3}{4}$ corporis radii longae.

Diam. 0,105 mm. nucleus 0,087 mm. (Tab. XV fig. 17. A). In Specimine singulo observato (Blätterkohle) occurrit indumentum membranaceum corpus involvens.

81. Corpus regulariter triangulare, marginibus subconvexis. Exosporium ex laminis binis exstitutum Superficies punctulata. Fissurae paene angulos attingentes.

Diam. 0,0297 mm. (Tab. XXI. fig. 2. A). „Stigmarienkohle“ (Rossia Centralis).

⊙⊙ Fissurarum margines volvatae.

82. Corpus triangulare, marginibus et angulis subrotundatis. Exosporium ex laminis 3is exstitutum. superficies subtiliter punctata. Fissurae inaequales, late volvatae.

Diam. 0,069 mm. (Tab. XXI. fig. 17. C). „Blätterkohle“.

83. Corpus triangulare, marginibus et angulis subrotundatis. Exosporium ex laminis binis exstitutum, superficies subtiliter punctulata. Fissurae angulos attingentes, latius volvatae. Plerumque occurrunt cellulae complures associatae, familias minores formantes.

Diam. 0,039—0,046 mm. Exospor. 0,035 mm. (Tab. XLIX. A. Suppl. fig. 6. fig. a. familia minor ex cellulis 12is formata). „Stigmarienkohle.“

84. Corpus triangulare, marginibus subconvexis angulis obtuso-truncatis. Exosporium ex laminis compluribus exstitutum, superficies glaberrima. Fissurae $\frac{3}{4}$ corporis radii longae, anguste volvatae.

Diam. 0,248 mm. (Tab. XXI. fig. 3. A. fig. a. exosporii pars amplificata). „Stigmarienkohle.“

85. Corpus triangulare, marginibus convexis, angulis rotundatis. Exosporium ex laminis compluribus exstitutum, superficies verruculoso-granulata. Fissurae $\frac{2}{3}$ radii corporis longae, in centro apertae.

Diam. 0,063 mm. (Tab. XVII. fig. 15. A). In carbone compacta. Malowka (Rossia Centralis).

86. Corpus triangulare, marginibus subconvexis, angulis acutiusculis. Exosporium ex laminis binis exstitutum, superficies glaberrima. Fissurae angulos attingentes, late volvatae.

Diam. 0,056 mm. (Tab. I. fig. 7).

Subdivisio VII. Exosporium in marginibus lateralibus incrassatum, in angulis angustatum.

87. Corpus regulariter triangulare, marginibus convexis. Exosporium in lateribus incrassatum, verruculoso-granulatum. Fissurae angulos attingentes.

Diam. 0,031 mm. (Tab. XXIV. fig. 76. A). Zwickau (Saxonia).

88. Corpus triangulare, marginibus subconvexis angulis rotundatis. Exosporium in lateribus incrassatum, superficies granulato-verruculosum. Nucleus marginibus repandis, glaberrimus. Fissurae angulos attingentes.

Diam. 0,046 mm. (Tab. VI. fig. 76). „Stigmarienkohle.“

Subdivisio VIII. Exosporium aequaliter incrassatum, homogeneous glaberrimum.

✧ Exosporium glaberrimum et punctulatum. Fissurae involvatae. Formae mediocres (diam. 0,042—0,105 mm).

89. Corpus regulariter triangulare marginibus subconvexis et subrepandis. Exosporium glaberrimum, crassitudo dimidium nuclei radii et paulo magis et minus. Nucleus marginibus subconvexis, punctulatus.

Diam. 0,056—0,063 mm. (Tab. IV. fig. 51. A. fig. 52. fig. 47. fig. 51. Tab. XV. fig. 51. B. Tab. IV. fig. 47. In carbone compacta. Kurakinskije. Malowka. Pruckscha. Lewino (Rossia Centralis). Zwickau (Saxonia).

90. Corpus plus minusve regulariter triangulare, marginibus convexis, angulis rotundatis. Exosporium glaberrimum et punctulatum, crassitudo diametro nuclei aequalis. Nucleus punctulatus.

Diam. 0,042—0,056 mm. Diam. nucl. 0,024—0,031 mm. (Tab. IV. fig. 45. a. b. c. Tab. XV. fig. 59. A. Tab. XIX. fig. 45. B).

91. Corpus triangulare, marginibus repandis et subundulatis. Exosporium glaberrimum, crassitudo diametri nuclei tertia pars. Nucleus punctulatus.

Diam. 0,078—0,087 mm. Diam. nucl. 0,042—0,053 mm. (Tab. IV. fig. 54). „Blätterkohle“ in carbone compacta Lewino Kurakinskije (Rossia Centralis). Zwickau (Saxonia).

92. Corpus triangulare, marginibus subconvexis. Exosporium glaberrimum $\frac{1}{5}$ diametri nuclei. Nucleus dense granulatus. Fissurae ad angulos nuclei pertinentes.

Diam. 0,078 mm. Diam. nucl. 0,053 mm. (Tab. XV. fig. 48. A. Tab. XLIX. B. App. fig. 1). „Blätterkohle“ in carbone compacta Kurakinskije (Rossia Centralis).

93. Corpus triangulare, marginibus subconvexis. Exosporium glaberrimum, crassitudo $\frac{1}{6}$ diametri nuclei. Nucleus singulis dispersis nodulis.

Diam. 0,087 mm. nucl. 0,066 mm. (Tab. XXIV. fig. 50. c).

94. Corpus triangulare, marginibus subundulatis. Exosporium glaberrimum, crassitudo $\frac{1}{5}$ nuclei diametri. Nucleus punctulatus.

Diam. 0,05 mm. nucl. 0,039 mm. (Tab. IV. fig. 51). „Blätterkohle, Devonische Kohle, Stigmarienkohle“ in carbone Kurakinskije (Rossia Centralis).

95. Corpus irregulariter triangulare usque fere trapezicum, angulis inaequaliter truncato-rotundatis. Exosporium glaberrimum, crassitudo $\frac{1}{2}$ diametri nuclei. Nucleus punctulatus.

Diam. 0,105 mm. nucl. 0,053 mm. (Tab. IV. fig. 48). Malowka (Rossia Centralis).

96. Corpus triangulare, marginibus subundulatis. Exosporium glaberrimum, crassitudo $\frac{1}{2}$ diametri nuclei. Nucleus punctulatus.

Diam. 0,164 mm. nucl. 0,081 mm. (Tab. XIX. fig. 1. D. magn. $\frac{1}{4}$). „Devonische Kohle“ (Rossia Centralis).

97. Corpus irregulariter triangulare, marginibus irregularibus, angulis late rotundatis. Exosporium glaberrimum, crassitudo diametri nuclei dimidio paulo magis. Nucleus glaberrimus.

Diam. 0,075 mm. nucl. 0,035 mm. (Tab. IV. fig. 52). „Blätterkohle“ in carbone Lewino (Rossia Centralis).

98. Corpus regulariter triangulare, marginibus repandis, angulis late rotundatis. Exosporium et nucleus glaberrimum, crassitudo Exosporii dimidium nuclei diametri et paulo minus.

Diam. 0,053—0,063 mm. nucl. 0,039—0,042 mm. (Tab. VI. fig. 77).

✚✚ Formae majores.

99. Corpus regulariter triangulare, marginibus leviter convexis, angulis late rotundatis. Exosporium glaberrimum, crassitudo dimidio diametri nuclei paulo magis. Nucleus punctulato-verruculosus.

Diam. 0,426—0,481 mm. Diam. nucl. 0,123—0,124 mm. (Tab. IV. fig. 50. magn. $\frac{1}{4}$).

100. Corpus triangulare, marginibus subconvexis, angulis late rotundatis. Exosporium membranaceum late apertum glaberrimum, margine undulato-plicatum, crassitudo diametri nuclei dimidium. Nuclei indumentum lamellosum, superficies punctulato-exasperata.

Diam. 0,24 mm. Diam. nucl. 0,137 mm. (Tab. XXIV. fig. 50. E. magn. $\frac{1}{4}$). In carbone. Metschowk (Rossia Centralis).

100. A. Corpus triangulare, marginibus subundatis. Exosporium $\frac{1}{3}$ nuclei diametri crassum, indumento plurilamelloso. Nuclei indumentum plurilamellosum. Nucleus densius lacunoso-punctatus.

Diam. 0,159 mm. Diam. nucl. 0,113 mm. (Tab. XXIV. fig. 50. F. fig. a. nuclei pars major aucta; fig. b. Exosporii indumenti pars major aucta). Metschowk.

✚✚✚ Fissurae nuclei in marginibus volvatae.

101. Corpus regulariter triangulare, marginibus et angulis rotundatis. Exosporium glaberrimum, crassitudo dimidium nuclei diametri. Fissurae latissime volvatae, volvis glaberrimis.

Diam. 0,118 mm. Diam. nucl. 0,059 mm. (Tab. XXII. fig. 46. D. In carbone compacta. Lewino (Rossia Centralis).

102. Corpus triangulare, angulis et marginibus rotundatis. Exosporium glaberrimum, crassitudo $\frac{1}{4}$ — $\frac{1}{5}$ diametri nuclei. Nucleus punctulatus. Fissurae volvatae, volvis tenuioribus glaberrimis.

Diam. 0,118 mm. Diam. nucl. 0,091 mm. (Tab. XXIII. fig. 50. B). In carbone compacta et in laminis carbonis cum substantia elastica valde immixtis. Zwickau (Saxonia).

103. Corpus regulariter triangulare, marginibus subrectis, angulis rotundatis. Exosporium glaberrimum, crassitudo $\frac{1}{3}$ diametri nuclei. Nucleus punctulatus. Fissurae volvatae, volvae dense verruculoso-crenulatae.

Diam. 0,059 mm. Diam. nucl. 0,035 mm. (Tab. XLIX. A. App. fig. 46. a. fig. b. fissurarum pars major aucta). In carbone Metschowk (Rossia Centralis).

104. Corpus irregulariter triangulare, marginibus subundulatis, angulis rotundatis. Exosporium glaberrimum, crassitudo $\frac{1}{3}$ (et paulo minus) diametri nuclei. Nucleus glaberrimus. Fissurae volvatae, volvae latiores, glaberrimae.

Diam. 0,059 mm. Diam. nucl. 0,04 mm. (Tab. XLIX. A. Suppl. fig. 2. b. familia minor ex 12is aut 16is cellulis exstituta. magn. $\frac{1}{4}$. fig. a. cellula singula). Cellulae occurrunt plerumque complures in familias minores associatae. „Stigmarienkohle.“

105. Corpus triangulare, marginibus subundulatis, angulis rotundatis. Exosporium glaberrimum, crassitudo $\frac{1}{3}$ diametri nuclei. Fissurae nuclei latissime volvatae, longitudinaliter striatae, glaberrimae.

Diam. 0,059 mm. nucl. 0,036 mm. (Tab. XIX. fig. 46. B). „Stigmarienkohle.“

106. Corpus irregulariter triangulare, marginibus subundulatis angulis irregulariter rotundatis. Exosporium granulatum, inaequale in crassitudine, $\frac{1}{4}$ — $\frac{1}{8}$ diametri nuclei. Fissurae volvatae, volvarum exteriore parte cum Exosporio confluenta.

Diam. 0,164 mm. (Tab. XXVI. fig. 118. S). „Stigmarienkohle.“

Subdivisio IX. Exosporium incrassatum, homogeneous, punctulatum, et verruculoso-punctulatum.

✚ Exosporium punctulatum.

107. Corpus triangulare. Exosporium punctulato-granulatum, in marginibus plerumque plicatum, crassitudo $\frac{1}{3}$ diametri nuclei.

Diam. 0,078 mm. nucl. 0,053 mm. (Tab. XXIII. fig. 50. A). Metschowk (Rossia Centralis).

108. Corpus irregulariter triangulare, marginibus undatis. Exosporium verruculoso-granulatum, crassitudo diametri nuclei dimidium. Nucleus regulariter triangularis punctulatus.

Diam. Long. 0,25 mm. Diam. lat. 0,166 mm. Diam. nucl. 0,125 mm. (Tab. V. fig. 65. magn. $\frac{1}{4}$). „Stigmarienkohle.“

109. Corpus irregulariter triangulare, marginibus irregulariter formatis. Exosporium verruculoso-granulatum, crassitudo $\frac{1}{3}$ diametri nuclei. Nucleus irregulariter triangularis verruculoso-punctulatus.

Diam. 0,115 mm. Diam. nucl. 0,084 mm. (Tab. V. fig. 64). „Devonische Kohle,“ in carbone a Lewino, Malowka (Rossia Centralis).

110. Corpus triangulare. Exosporium verruculoso-punctulatum, ad margines plicatum, crassitudo $\frac{1}{3}$ nuclei diametri. Nucleus verruculoso-punctulatus.

Diam. Long. 0,164 mm. Diam. nucl. 0,105 mm. (Tab. XXI. fig. 1. G). „Stigmarienkohle.“

111. Corpus regulariter triangulare, marginibus subrectis, angulis rotundato-obtusis. Exosporium punctulato-granulatum, crassitudo nuclei diametro subaequans. Nucleus regulariter triangularis glaberrimus?

Diam. 0,035 mm. (Tab. V. fig. 58). „Cannelcoal“ Bradford Anglia.

112. Corpus irregulariter triangulare usque fere trapezicum. Exosporium verruculosum, crassitudo nuclei diametri transversalis dimidium. Nuclei diametri longitudinalis diametro transversali duplo longior.

Longit. 0,04 mm. Latit. 0,024 mm. Nucl. Long. 0,024 mm. Lat. 0,015 mm. (Tab. V. fig. 56). Malowke (Rossia Centralis).

113. Corpus regulariter triangulare, marginibus subrectis, angulis rotundatis. Exosporium inaequaliter granulatum, crassitudo diametri nuclei dimidium. Nucleus regulariter triangularis punctulatus.

Digm. 0,053—0,056 mm. nucl. 0,031—0,035 mm. (Tab. V. fig. 67).

114. Corpus irregulariter triangulare, marginibus irregulariter undatis. Exosporium in marginibus granulatum *) crassitudo nuclei diametri dimidium.

Diam. 0,059 mm. Diam. nucl. 0,035 mm. (Tab. XVII. fig. 54. A). „Blätterkohle.“

115. Corpus irregulariter triangulare, marginibus irregulariter undatis et subconvexis. Exosporium cum nucleo lacunoso-punctatum, crassitudo $\frac{1}{8}$ nuclei diametri.

Diam. 0,11 mm. (Tab. V. fig. 66. Tab. XXVIII. fig. 66. A). In carbone compacta Lewino (Rossia Centralis).

116. Corpus irregulariter triangulare, marginibus undatis. Exosporium subtiliter verruculosum, crassitudo usque dimidium diametri nuclei.

Diam. 0,11 mm. Diam. nucl. 0,056 mm. (Tab. V. fig. 62). In carbone compacta. Malowka (Rossia Centralis).

117. Corpus triangulare, marginibus subconvexis. Exosporium verruculoso-exasperatum, crassitudo dimidium diametri nuclei. Nucleus regulariter triangularis granulosus.

Diam. 0,11 mm. Diam. nucl. 0,066 mm. (Tab. V. fig. 63). In carbone compacta. Lewino (Rossia Centralis).

118. Corpus irregulariter triangulare. Exosporium inaequaliter incrassatum, verruculoso-exasperatum, crassitudo $\frac{1}{3}$ — $\frac{1}{4}$ nuclei diametri. Nucleus punctulatus.

Diam. 0,087 mm. Diam. nucl. 0,063 mm. (Tab. V. fig. 61). In laminis carbonis compactae cum materia elastica valde immixtis. Bexbach, Saarbrücken in carbone compacta. Zwickau.

119. Corpus irregulariter triangulare. Exosporium inaequaliter incrassatum, singulis nodulis dispersis **), crassitudo nuclei diametri transversalis dimidium. Nucleus glaberrimus.

Diam. longit. 0,063 mm. Diam. long. nucl. 0,039 mm. (Tab. V. fig. 57).

*) Figurae Tab. XVII. fig. 54. A. desunt granula Exosporii.

**) Figurae Tab. XV. fig. 57. desunt verrucae in Exosporio. Conf. Tab. XLIX. C. fig. 57.

120. Corpus irregulariter triangulare, marginibus subconvexis. Exosporium verruculoso-exasperatum *), crassitudo dimidio diametri nuclei paulo magis. Nucleus punctulatus.

Diam. 0,046 mm. Diam. nucl. 0,022 mm. (Tab. V. fig. 59). Lewino (Rossia Centralis).

121. Corpus irregulariter triangulare, marginibus irregulariter subconvexis. Exosporium nuclei diametri dimidium. Exosporium et nucleus verruculosum.

Diam. 0,059 mm. Diam. nucl. 0,031 mm. (Tab. V. fig. 60). Lewino.

122. Corpus regulariter triangulare, marginibus subconvexis, angulis late rotundatis. Exosporium verruculoso-granulatum, crassitudo dimidium nuclei diametri, superficies costis triangulatis in centro apertis. Nucleus granulatus.

Diam. 0,1 mm. Diam. nucl. 0,053 mm. (Tab. XXIV. fig. 63. A). Stigmarienkohle.

✚✚ Exosporium glaberrimum, verruculis acutis exasperatum et singulis verruculis in marginibus.

123. Corpus triangulare, angulis obtusatis et rotundatis. Exosporium verruculis acutis exasperatum in tota superficie, aut in marginibus glabriusculis, crassitudo usque diametro nuclei aequalis.

Diam. 0,046—0,05 mm. Diam. nucl. 0,02—0,028 mm. (Tab. VI. fig. 72. Tab. XLIX. C. fig. 72. A).

„Blätterkohle.“

124. Corpus irregulariter triangulare. Exosporium verruculis dispersis obtectum, crassitudo dimidio diametri nuclei paulo magis. Nucleus irregulariter triangularis.

Diam. 0,075 mm. Diam. nucl. 0,039 mm. „Blätterkohle.“

125. Corpus regulariter triangulare. Exosporium totum verruculis acutis exasperatum, crassitudo dimidio diametri nuclei paulo magis.

Diam. 0,042—0,05 mm. Diam. nucl. 0,02 mm. (Tab. VI. fig. 73 (figurae binae)). In carbone compacta. Kurakinskije (Rossia Centralis).

126. Corpus regulariter triangulare. Exosporium in marginibus et angulis exasperatum, crassitudo $\frac{1}{3}$ nuclei diametri.

Diam. 0,035 mm. Diam. nucl. 0,028 mm. (Tab. VI. fig. 75). „Blätterkohle.“

127. Corpus regulariter triangulare. Exosporium totum verruculis acutis sicut nucleus exasperatum. Exosporii crassitudo $\frac{1}{3}$ nuclei diametri.

Diam. 0,051 mm. Diam. nucl. 0,035 mm. (Tab. XXV. fig. 115. C). „Stigmarienkohle“ (Rossia Centralis).

128. Corpus regulariter triangulare, angulis late rotundatis. Exosporium usque nuclei diametro aequale, tota superficies exasperata. Nucleus subtilis, angulis late rotundatis, punctulatus.

Diam. 0,046 mm. Diam. nucl. 0,015 mm. (Tab. XXIV. fig. 74. D). „Stigmarienkohle.“

129. Corpus regulariter triangulare, marginibus subconvexis, angulis obtusiusculis. Exosporium verruculis dispersis, marginibus singulis verruculis impositis; crassitudo dimidio diametri nuclei paulo magis.

Diam. 0,059 mm. Diam. nucl. 0,017 mm. (Tab. V. fig. 68). „Blätterkohle.“

129. A. Corpus elliptico-triangulare. Exosporium inaequaliter incrassatum, glaberrimum, marginibus verruculis singulis dispersis, usque $\frac{1}{2}$ diametri nuclei crassum. Nucleus elliptico-triangularis, punctulatus.

Diam. long. 0,04 mm. Diam. nucl. 0,021 mm. (Tab. XVII. fig. 46. A). Kurakinskije.

130. Corpus triangulare, marginibus obtusis. Exosporium punctulatum, marginibus nodulis singulis dispersis; crassitudo dimidium nuclei diametri. Nucleus punctulatus.

Diam. 0,081 mm. Diam. nucl. 0,05 mm. (Tab. VI. fig. 69). „Devonische Kohle.“

131. Corpus triangulare, marginibus rectis, angulis truncato-obtusis. Exosporium verruculis dispersis, marginibus et angulis singulis verruculis; crassitudo dimidio diametri nuclei paulo minus.

Diam. 0,042 mm. Diam. nucl. 0,024 mm. (Tab. XLIX. C. fig. 44. A).

*) Figurae Tab. V. fig. 59. desunt verruculae in Exosporio.

132. Corpus regulariter triangulare, marginibus convexis, angulis late rotundatis. Exosporium punctulatum, marginibus verrulis singulis dispersis; crassitudo dimidium nuclei diametri. Nucleus verrucosus, lamina granulosa velatus, in latere inferiore reticulato-lacunosus.

Diam. 0,056 mm. Diam. nucl. 0,056 mm. (Tab. XXIV. fig. 74. C). „Stigmarienkohle.“

133. Corpus regulariter triangulare, marginibus subconvexis, angulis rotundatis. Exosporium dense verruculoso-exasperatum, crassitudo dimidium diametri nuclei.

Diam. 0,063 mm. (Tab. VIII. fig. 111). „Blätterkohle.“

Subdivisio X. Formae maximae hucusque cognitae Triletum (0,74—1,644 mm. diam.). Exosporium crassum ($\frac{1}{8}$ — $\frac{1}{50}$) subhomogeneum verrucosum et glabrum, ex substantia granulosa et lacunosa exstitutum. Interna pars nuclei in sectione horizontali triseptata. Parietes septarum in multis Speciminibus sunt inductae sphaerulis diametro vario, quarum substantia est composita ex eodem substantia granuloso-cavernosa parietum. (Tab. XII. fig. 144. Tab. XIII. fig. 147. 148).

✦ Exosporium verrucosum.

134. Corpus elliptico-triangulare, angulo singulo producto et angustato, angulis alteris late rotundatis. Exosporium $\frac{1}{50}$ diametri transversalis, verrucis obtusis dispersis obtectum; verrucae anguli producti densiter positae sensim increscentes. Angulus productus in lobulos complures tuberiformes divisus. Loculi inaequales. Septarum superficies (in sectione) irregulariter limitata et sphaerulis singulis et aggregatis, interdum moniliforme cohaerentibus inducta.

Diam. transversalis 1,642 mm. Diam. longitudinalis 1,662 mm. Exosporium 0,031 mm. Diam. sphaerul. 0,042—0,056. (Tab. XIII. fig. 148. magn. $\frac{1}{4}$. fig. 148. a. angulus in lobulos productus, in sectione quae dividet partes oppositas. $\frac{2}{4}$. fig. b. Exosporii pars cum verruca singula $\frac{2}{4}$. fig. 148. c. Tab. XIV. verruca singula cum Exosporii parte. magn. $\frac{4}{4}$ ad explicandum structuram valde compositam substantiae Exosporii).

135. Corpus ovoideo-triangulare angulo singulo (interdum) inaequaliter formato ex lobulis binis aut ternis exstituto. Exosporium crassum, $\frac{1}{25}$ diametri, verrucis subconicis, altitudine exosporii crassitudini subaequantibus obtectum. Loculi (in sectione) inaequales, partim septis non disjunctis. Septarum superficies (in sectione) irregulariter limitata et sphaerulis singulis et compluribus moniliforme cohaerentibus inducta.

Diam. 1,44 mm. Diam. sphaerul. 0,042 mm. Altit. verruc. 0,05 mm. (Tab. XIII. fig. 147. magn. $\frac{1}{3}$. fig. a. verruca singula cum Exosporii parte adjacente magn. $\frac{2}{4}$. fig. b. Sphaerulae ternae cohaerentes magn. $\frac{2}{4}$. „Stigmarienkohle.“

136. Corpus ovoideo-triangulare. Exosporium $\frac{1}{30}$ diametri, verrucis subconicis et subcylindraceis obtectum. Loculi aequales, in centro lacuna triangulari disjuncti, loculorum parietes inaequales in crassitudine et sphaerulis singulis et aggregatis dense obtectae.

Diam. transvers. 1,248 mm. Exospor. 0,039 mm. Diam. sphaerul. 0,035—0,039 mm. Altit. 0,039 mm. (Tab. XII. fig. 144. Specimen in sectione horizontali, aperiens loculos tres. magn. $\frac{1}{3}$. fig. a. verrucae cum parte adjacente Exosporii. magn. $\frac{2}{4}$). „Stigmarienkohle.“

137. Corpus elliptico-triangulare. Exosporio crassissimo, $\frac{1}{8}$ diametri corporis crasso, verruculis humillimis latis obtectum. Loculi perfecte aequales in magnitudine et structura, in centro corporis (in sectione perfecta) se adtingentes, septae fissuris tenuissimis rectis usque ad centrum corporis pertinentibus disjunctae, in superficie nudis (sive sphaerulis).

Diam. 0,899 mm. Exospor. 0,11 mm. (Tab. XI. fig. 141, magn. $\frac{1}{2}$. fig. a. Exosporii pars cum verrucis magn. $\frac{2}{4}$). „Stigmarienkohle.“

138. Corpus regulariter triangulare, marginibus leviter repandis, angulis late rotundatis. Exosporium crassum, $\frac{1}{25}$ diametri, verrucis spiniformibus majoribus latis densius obtectum. Interna structura corporis imperfectius cognita, de structura praecedentis Frileteis discedit septis loculisque fissura oblique insymmetrice posita apertis.

Diam. 0,898 mm. Exospor. 0,036 mm. Longit. verruc. 0,039 mm. (Tab. XI. fig. 142. Corpus sectione horizontali in symmetrice? apertum. magn. $\frac{1}{2}$. fig. a. Exosporii pars cum verrucis. magn. $\frac{2}{1}$). „Stigmarienkohle.“

139. Corpus regulariter elliptico-triangulare, marginibus et angulis rotundatis. Exosporium crassum $\frac{1}{17}$ diametri corporis, densissime verrucis subconicis latis obtectum (in sectione margine exteriori dentato-serrato). Loculi in centro corporis lacuna lata triangulari disjuncti.

Diam. 1,276 mm. Exospor. 0,069 mm. verrucae 0,028—0,035 mm. (Tab. XI. fig. 143. Sectio horizontalis magn. $\frac{1}{3}$. fig. a. Exosporii pars. magn. $\frac{2}{1}$). „Stigmarienkohle“ in carbone compacta Metschowk (Rossia Centralis).

✚✚ Exosporium glabrum.

140. Corpus elliptico-triangulare, angulo singulo producto-angulato. Exosporium crassum, $\frac{1}{20}$ diametri. Septa nuda et loculi excentrice posita in angulo singulo aperta.

Diam. 0,653 mm. Exospor. 0,05 mm. (Tab. XIII. fig. 149. Sectio horizontalis. magn. $\frac{1}{2}$. fig. a. Exosporii pars $\frac{2}{1}$). „Stigmarienkohle.“

141. Corpus regulariter ovoideo-triangulare, marginibus et angulis late rotundatis. Exosporium $\frac{1}{35}$ diametri. Septa et loculi (in sectione horizontali) in centro corporis se adtingentia, aequalia. Margines septarum volvati; nudi.

Diam. 0,878 mm. Exospor. 0,025 mm. (Tab. XII. fig. 146. Specimen in sectione horizontali perfecte per mediam partem ducta. Septae loculorum duorum dupliciter induplicatae et contortae (effectae per pressione laterali). In loculo singulo sunt inclusae Trileteis binae formae, diversae minores (Nr. 91 et 89). Substantiam Triletem inclusarum evidenter esse connectam cum loculi substantia Trileteis magnae, facile intellegitur ex immobilitate corpusculorum inclusorum post remotum disculum de Balsamo conjungente in tabula vitrea ac repetitam effervescentiam in Balsamo. fig. a. Exosporii pars magn. $\frac{2}{1}$. cum insidentibus par angustis minoribus ad Leptoideas spectantibus (Corf. Tab. LXXX. fig. 24.

142. Corpus regulariter ovoideo-triangulare, marginibus et angulis late rotundatis. Exosporium crassum, $\frac{1}{16}$ corporis diametri. Loculi (in sectione horizontali) regulares, in medio fissura triangulari lata usque ad Exosporium adtingente aperti. Septarum superficies glabra et nuda.

Diam. 0,793 mm. Exospor. 0,05 mm. (Tab. XII. fig. 145. Sectio horizontalis per centrum corporis. magn. $\frac{1}{2}$. fig. a. Exosporii pars. magn. $\frac{2}{1}$). „Stigmarienkohle.“

143. Corpus elliptico-triangulare, angulo singulo producto rostriformiter attenuato, angulis alteris late rotundatis. Exosporium crassum, $\frac{1}{16}$ corporis diametri. Septa nuda et loculi excentrice posita in angulo singulo aperta. Structura substantiae et corporis sicut in forma Nr. 140 sed dimensionibus $\frac{2}{3}$ majoribus distincta forma.

Diam. 0,85 mm. Exospor. 0,05 mm. (Tab. XIV. fig. 150. Specimen in sectione horizontali. magn. $\frac{1}{4}$. fig. a. Exosporii pars. magn. $\frac{2}{1}$).

144. Corpus ovoideo-triangulare, angulo singulo producto et attenuato, angulis alteris late rotundatis, gibberibus binis oppositis in marginibus oppositis angulum attenuatum formantibus. Exosporium crasissimum, $\frac{1}{8}$ diametri longitudinalis. Septa nuda et loculi, excentrice posita in angulo attenuato aperta.

Diam. 0,882 mm. Exospor. 0,11 mm. (Tab. XIV. fig. 151. Sectio horizontalis. In sectione loculi de Exosporio separati. magn. $\frac{1}{2}$. fig. a. Exosporii pars cum gibbero laterali magn. $\frac{2}{1}$). „Stigmarienkohle.“

Subdivisio XI. Exosporium aequaliter incrassatum ($\frac{1}{2}$ — $\frac{1}{3}$ diametri), cavernosum cavernulis plus minusve regulariter dispositis. Formae minores et mediae. (Habitus cavernosa interdum apparet sicut corpusculis parasyticis effecta).

145. Corpus ovoideo-triangulare, marginibus crenulato-dentatis. Exosporium usque $\frac{1}{2}$ diametri nuclei crassum, cavernulis aequalibus radialibus impletum.

Diam. longit. 0,046 mm. Diam. latit. 0,035 mm. Long. nucl. 0,031 mm. „Blätterkohle“ Pruckscha. Nowgorod (Rossia Centralis).

146. Corpus regulariter triangulare. Exosporium $\frac{1}{3}$ nuclei diametri crassum, cavernulis inaequalibus impletum.

Diam. 0,066 mm. Diam. nucl. 0,042 mm. (Tab. XLIX. C. fig. 102). „Blätterkohle“ Malowka (Rossia Centralis).

147. Corpus regulariter triangulare. Exosporium dimidium nuclei diametri crassum, cavernulis radialibus, extrorsum indistincte apertis.

Diam. 0,084 mm. Diam. nucl. 0,042 mm. (Tab. XVII. fig. 135. A). Blätterkohle.

148. Corpus irregulariter triangulare, marginibus irregulariter undatis, Exosporium $\frac{1}{2}$ nuclei diametri crassum, cavernulis prolongatis (aut filis?) numerosis impletum.

Diam. 0,087 mm. Diam. nucl. 0,039 mm. (Tab. VIII. fig. 103). Blätterkohle. Malowka (Rossia Centralis).

149. Corpus irregulariter ovoideo-triangulare, marginibus irregulariter undatis. Exosporium cavernulis globuliformibus numerosis impletum.

Diam. 0,063 mm. Diam. nucl. 0,046 mm. (Tab. XV. fig. 47. A). In carbone compacta. Kurakinskije (Rossia Centralis).

150. Corpus irregulariter triangulare, marginibus subundatis. Exosporium dimidio nuclei diametri paulo magis, cavernulis numerosis filiformibus et punctiformibus impletum.

Diam. 0,075 mm. Diam. nucl. 0,039 mm. (Tab. XX. fig. 55. A). In carbone compacta et in laminis argillaceis Zwickau (Saxonia).

Subdivisio XII. Exosporium aequaliter incrassatum, cavernosum, cavernulis regularibus subsphaericis, dense juxta positis aut irregularibus, aut subcylindraceis impletum.

151. Corpus ovoideo-triangulare, angulis late rotundatis. Exosporium $\frac{1}{4}$ nuclei diametri crassum, cavernulis densius juxta positis, Exosporii crassitudini fere aequaliter latis.

Diam. 0,046 mm. (Tab. VIII. fig. 107). „Stigmarienkohle.“

152. Corpus ovoideo-triangulare, angulis late rotundatis marginibus undatis. Exosporium dimidio nuclei diametri paulo magis, cavernulis regulariter latis (9—10 in margine) ovatis impletum.

Diam. 0,078 mm. Diam. nucl. 0,046 mm. (Tab. VIII. fig. 105). Lewino (Rossia Centralis).

153. Corpus triangulare, marginibus undulatis. Exosporium $\frac{1}{3}$ nuclei diametri crassum, cavernulis subsphaericis, laxius positis.

Diam. 0,05 mm. Diam. nucl. 0,025 mm. (Tab. XVIII. fig. 118. E). Zwickau (Saxonia).

154. Corpus triangulare, marginibus subrectis. Exosporium $\frac{1}{3}$ diametri nuclei crassum, cavernulis (aut lacunis?) irregularibus oblongis et prolongatis impletum.

Diam. 0,056—0,059 mm. (Tab. XVIII. fig. 118. C). Zwickau (Saxonia).

155. Corpus triangulare, marginibus undulatis. Exosporium $\frac{1}{4}$ diametri nuclei crassum, cavernulis majoribus ovoideis seriatim dispositis impletum.

Diam. long. 0,081 mm. Diam. latit. 0,067 mm. (Tab. XVIII. fig. 118. D). Zwickau (Saxonia).

156. Corpus ovoideo-triangulare, marginibus undulatis. Exosporium inaequaliter incrassatum et evolutum, latus unum cavernulis majoribus impletum latus alterum sine cavernulis.

Diam. 0,043 mm. (Tab. XXVI. fig. 118. T). Zwickau (Saxonia).

157. Corpus ovoideo-triangulare, marginibus undulato-crenatis. Exosporium $\frac{1}{4}$ nuclei diametri crassum, cavernulis subcylindraceis densius juxta positis impletum.

Diam. 0,059 mm. (Tab. VIII. fig. 110). „Stigmarienkohle.“

158. Corpus triangulare, marginibus subconvexis integerrimis. Exosporium $\frac{1}{2}$ diametri nuclei crassum, cavernulis cylindraceis, densissime juxta positis exosporii altitudine paulo brevioribus impletum.

Diam. 0,1 mm. Diam. nucl. 0,053 mm. (Tab. VIII. fig. 109). Malowka (Rossia Centralis).

159. Corpus triangulare, marginibus subconvexis integerrimis. Exosporium $\frac{1}{4}$ nuclei diametri crassum, cavernulis cylindraceis, desissime juxta positis corporis altitudine brevioribus impletum.

Diam. 0,066 mm. Diam. nucl. 0,053 mm. (Tab. VIII. fig. 108). Metschowk (Rossia Centralis).

Subdivisio XIII. Exosporium aequaliter incrassatum ex substantia radialiter disposita compositum.

160. Corpus irregulariter triangulare. Exosporium nuclei diametri crassitudini aequale, angustissime radiato-striatum (substantia radialiter disposita). Nucleus punctulatus.

Diam. 0,066 mm. Diam. nucl. 0,031 mm. (Tab. VI. fig. 81). „Blätterkohle.“

161. Corpus irregulariter triangulare. Exosporium $\frac{1}{2}$ nuclei diametri crassum, striis inaequalibus densius radialiter striatum.

Diam. 0,047 mm. Diam. nucl. 0,026 mm. (Tab. XXII. fig. 44. C. Specimen e latere inferiore. fig. a. Exosporii marginis pars). Malowka (Rossia Centralis).

162. Corpus irregulariter ovoideo-triangulare, angulis inaequaliter incrassatis. Exosporium diametri nuclei crassitudini usque aequale, striis (cavernulis?) prolongatis irregulariter impletum.

Diam. 0,066 mm. (Tab. VI. fig. 82). Lewino (Rossia Centralis).

163. Corpus irregulariter triangulare, angulis late obtuse rotundatis. Exosporium $\frac{1}{2}$ nuclei diametri crassum, densius radialiter striatum. Nucleus irregulariter triangularis.

Diam. 0,075 mm. Diam. nucl. 0,035 mm. (Tab. VIII. fig. 106). Lewino (Rossia Centralis).

164. Corpus regulariter triangulare, marginibus subconvexis. Exosporium $\frac{1}{2}$ nuclei diametri crassum, ex substantia regularissime radialiter disposita granulata exstitutum. Nucleus regulariter triangularis, fissuris margine volvatis.

Diam. 0,081 mm. Diam. nucl. 0,042 mm. (Tab. VII. fig. 89). Zwickau (Saxonia). In lamina carbonacea materia elastica immixta inter alias Triletes et Discieas.

Subdivisio XIV. Exosporium aequaliter incrassatum, laminosum, ex laminis homogeneis concentricis, plus minusve distinctius evolutis compluribus compositum.

165. Corpus triangulare, angulis late rotundatis. Exosporium $\frac{1}{2}$ nuclei diametri crassum, extrorsum subtiliter plurilamellosum, margines singulis verruculis dispersis. Nucleus angulis acutiusculis, superficie exasperata.

Diam. 0,066 mm. Diam. nucl. 0,035 mm. (Tab. IV. fig. 46). „Stigmarienkohle.“

166. Corpus irregulariter triangulare, angulis latissime rotundatis. Exosporium $\frac{1}{2}$ nuclei diametri crassum, extrorsum subtilissime laminosum. Nucleus in superficie inferiore reticulato-lacunosus.

Diam. 0,083 mm. Diam. nucl. 0,056 mm. (Tab. XX. fig. 58. B). Kurakinskijs (Rossia Centralis).

167. Corpus prolongato-triangulare. Exosporium $\frac{1}{2}$ nuclei diametri transversalis crassum, ex laminis 2is aut 3is irregularibus compositum. Superficies Exosporii ac nuclei nodoso-exasperata.

Longit. 0,125 mm. Latit. 0,095 mm. (Tab. XXVIII. fig. 79. L). Zwickau (Saxonia).

168. Corpus triangulare, angulis late rotundatis. Exosporium ex laminis subaequalibus compluribus compositum, $\frac{1}{2}$ diametri nuclei crassum. Nuclei fissurae volvatae, in centro apertae.

Diam. 0,072 mm. Diam. nucl. 0,05 mm. (Tab. XVI. fig. 95. A). Zwickau (Saxonia).

169. Corpus irregulariter triangulare, marginibus subundatis, angulis late rotundatis. Exosporium distinctius plurilamellosum, lamellis subaequalibus, dimidium nuclei diametro paulo crassius.

Diam. 0,081 mm. Diam. nucl. 0,04 mm. (Tab. XXV. fig. 85. C). Blätterkohle.

170. Corpus regulariter triangulare, marginibus subconvexis, angulis late rotundatis. Exosporium glaberrimum, pluri-lamellosum, lamellis subaequalibus, $\frac{1}{3}$ diametri nuclei crassum et paulo magis. Nucleus grosse verruculoso-granulatus.

Diam. 0,185 mm. Diam. nucl. 0,14 mm. (Tab. VII. fig. 87). „Stigmarienkohle.“

171. Corpus triangulare. Exosporium distinctius plurilamellosum, lamellis subaequalibus, $\frac{1}{2}$ (et paulo magis) nuclei diametri crassum. Nucleus punctulato-granulatus.

Diam. 0,105 mm. Diam. nucl. 0,066 mm. (Tab. VI. fig. 85). „Stigmarienkohle.“

172. Corpus triangulare, angulis latissime rotundatis. Exosporium distincte lamellosum ex lamellis 3is — 4is compositum, $\frac{1}{3}$ — $\frac{1}{4}$ nuclei diametri crassum. Nucleus granulatus.

Diam. 0,125 mm. Diam. nucl. 0,081 mm. (Tab. VII. fig. 88). „Stigmarienkohle.“ Malowka (Rossia Centralis).

- 173.** Corpus triangulare, angulis latissime rotundatis. Exosporium granuloso-punctulatum, 3 lamellosum, lamellis distinctissimis, subaequalibus, nuclei diametro aequaliter crassum. Nucleus punctulatus. Diam. 0,095 mm. Diam. nucl. 0,035 mm. (Tab. XVIII. fig. 85. A). Stigmarienkohle. Malowka (Rossia Centralis).
- 174.** Corpus regulariter triangulare, marginibus subrectis et subconvexis. Exosporium bi-tri-lamellosum, $\frac{1}{4}$ nuclei diametri crassum. Nucleus punctulatus. Diam. 0,087 mm. Kurakinskije (Rossia Centralis).
- 175.** Corpus irregulariter triangulare, marginibus subundatis. Exosporium, pluri lamellosum, lamellis compluribus distinctis, $\frac{1}{2}$ nuclei diametri crassum. Nucleus punctulatus. Diam. 0,084 mm. Diam. nucl. 0,039 mm. (Tab. VI. fig. 83). Blätterkohle.
- 176.** Corpus regulariter triangulare, marginibus repandis, angulis rotundatis. Exosporium bilamellosum, $\frac{1}{3}$ — $\frac{1}{4}$ diametri nuclei crassum. Nucleus punctulatus. Diam. 0,046 mm. (Tab. VI. fig. 86). „Blätterkohle.“
- 177.** Corpus oblongo-triangulare, angulis latissime rotundatis. Exosporium (indistinctus) plurilamellosum punctulatum, $\frac{1}{2}$ diametri transversalis, nuclei, crassum. Nucleus granulatus, fissuris volvatis. Diam. long. 0,095 mm. Diam. latit. 0,084 mm. Nucl. long. 0,063 mm. Lat. 0,05 mm. (Tab. XVIII. fig. 95. B). Malowka (Rossia Centralis).
- 178.** Corpus irregulariter prolongato-triangulare. Exosporium bi-tri lamellosum, $\frac{1}{2}$ diametri transversalis nuclei crassum. Nucleus punctulatus, fissuris indistinctius evolutis. Diam. long. 0,069 mm. Diam. lat. 0,05 mm. (Tab. XXVIII. fig. 79. K). „Blätterkohle.“
- 179.** Corpus triangulare, angulis late rotundatis. Exosporium glaberrimum, distincte trilamellosum, $\frac{1}{2}$ nuclei diametri crassum. Diam. 0,056 mm. Diam. nucl. 0,031 mm. (Tab. XVI. fig. 92. A). Zwickau (Saxonia).
- 180.** Corpus regulariter triangulare, marginibus subconvexis. Exosporium inaequaliter subtiliter lamellosum, glaberrimum, $\frac{1}{3}$ nuclei diametri crassum. Nucleus fissuris late volvatis. Diam. 0,059 mm. Diam. nucl. 0,042 mm. (Tab. XXII. fig. 46. B). „Stigmarienkohle.“ Lewino (Rossia Centralis).
- 181.** Corpus regulariter triangulare, marginibus subconvexis. Exosporium glaberrimum bilamellosum, $\frac{1}{2}$ nuclei diametri crassum et paulo magis. Nucleus fissuris latissime volvatis. Diam. 0,079 mm. Diam. nucl. 0,05 mm. (Tab. XXII. fig. 46. C). „Stigmarienkohle.“ Lewino (Rossia Centralis).
- 182.** Corpus triangulare. Exosporium punctulatum et exasperatum, bilamellatum, $\frac{1}{3}$ — $\frac{1}{4}$ nuclei diametri crassum. Nucleus granulatus, fissuris plus minusve distinctius volvatis. Diam. 0,063—0,078 mm. Diam. nucl. 0,059—0,066 mm. (Tab. VII. fig. 95. fig. 94). „Stigmarienkohle.“ Lewino, Malowka (Rossia Centralis). Saarbrücken (Prussia Rhen.).
- 183.** Corpus irregulariter triangulare. Exosporium indistinctius lamellosum, $\frac{1}{2}$ diametri nuclei crassum. Diam. 0,105 mm. Diam. nucl. 0,053 mm. (Tab. IV. fig. 48). Pruckscha (Rossia Centralis).
- 184.** Corpus irregulariter triangulare. Exosporium 3—4 lamellosum, usque diametri nuclei dimidio aequaliter crassum. Diam. 0,056 mm. (Tab. VI. fig. 80). Malowka, Lewino (Rossia Centralis).
- 185.** Corpus usque fere ellipticum, marginibus irregulariter limitatis. Exosporium, indistinctius bilamellosum, $\frac{1}{2}$ (et magis) diametri nuclei crassum. Long. 0,063 mm. Lat. 0,043 mm. Nucl. long. 0,039 mm. Lat. 0,0204 mm. (Tab. XVIII. fig. 106. A). Zwickau (Saxonia).
- 186.** Corpus triangulare. Exosporium irregulariter bilamellosum, $\frac{1}{5}$ — $\frac{1}{6}$ nuclei diametri crassum. Nucleus fissuris late volvatis.

Diam. 0,046 - 0,053 mm. (Tab. XXV. fig. 99. B). „Stigmarienkohle“, „Devonische Kohle“ (Rossia Centralis).

Subdivisio XV. Exosporium aequaliter incrassatum laminosum, ex laminis homogeneis et laminis ex substantia granulosa compositis exstitutum.

✚ Exosporium ex laminis tribus compositum.

187. Corpus ovali-triangulari, angulis late rotundatis. Exosporium trilamellosum, $\frac{1}{2}$ (et paulo magis) nuclei diametri crassum, lamellis inaequaliter crassis.

Diam. 0,066 mm. Diam. nucl. 0,039 mm. (Tab. VII. fig. 92). „Stigmarienkohle.“

188. Corpus regulariter triangulare, angulis rotundatis. Exosporium trilamellosum, $\frac{1}{2}$ nuclei diametri (et paulo magis) crassum.

Diam. 0,053 mm. Diam. nucl. 0,029 mm. (Tab. XVIII. fig. 94. A). Zwickau (Saxonia).

189. Corpus triangulare, angulis rotundatis. Exosporium trilamellosum, $\frac{1}{3}$ nuclei diametri crassum, lamina exterior subtiliter lamellosa.

Diam. 0,066 mm. Diam. nucl. 0,046 mm. (Tab. VIII. fig. 96). Pruckscha. „Stigmarienkohle“ (Rossia Centralis).

190. Corpus indistinctius triangulare, angulis late obtuso-rotundatis. Exosporium trilamellosum, $\frac{1}{4}$ nuclei diametri crassum. Lamella media granulosa inaequaliter lata.

Diam. 0,084—0,91 mm. Diam. nucl. 0,063—0,069 mm. (Tab. VII. fig. 190). Lewino (Rossia centralis). In Vena cum materia clastica immixta. Zwickau (Saxonia).

191. Corpus irregulariter triangulare. Exosporium trilamellosum, usque $\frac{1}{2}$ diametri nuclei crassum. Nucleus granulatus.

Diam. 0,091 mm. Diam. nucl. 0,059 mm. (Tab. XXV. fig. 79. J). Lamina 'exterior Speciminis est infecta de peculiari plantula parasitica (α) saepissime observata, quae est delineata Tab. LXXVII. fig. 1. c. d. e). Zwickau (Saxonia).

✚✚ Exosporium ex laminis 4is — 6is compositum, laminae homogeneae cum laminis granulosis alternantes.

192. Corpus triangulare, marginibus repandis, angulis late rotundatis. Exosporium plurilamellosum, usque $\frac{1}{2}$ diametri nuclei crassum. Nucleus punctulatus fissuris late volvatis.

Diam. 0,11 mm. Diam. nucl. 0,05 mm. Meschowk (Rossia Centralis).

193. Corpus triangulare, marginibus et angulis late rotundatis. Exosporium 5—6 lamellosum, lamellis homogeneis et granulosis alternantibus, crassitudo $\frac{1}{2}$ nuclei diametri. Nucleus punctulatus.

Diam. 0,087 mm. Diam. nucl. 0,046 mm. (Tab. VII. fig. 90). „Stigmarienkohle.“

194. Corpus irregulariter triangulare, marginibus undulatis. Exosporium 5—6 lamellosum, lamellis homogeneis et granulosis alternantibus, crassitudo usque diametri transversalis dimidio aequalis. Exosporii margines exasperati.

Diam. long. 0,126 mm. Diam. lat. 0,11 mm. Diam. nucl. 0,05 mm. (Tab. VII. fig. 91). Malowka, Lewino, Pruckscha (Rossia Centralis).

195. Corpus irregulariter triangulare, marginibus irregulariter formatis. Exosporium 5 lamellosum, lamellis homogeneis et granulosis alternantibus, crassitudo dimidio diametri nuclei paulo magis. Nucleus punctulatus.

Diam. 0,059 mm. Diam. nucl. 0,035 mm. (Tab. VIII. fig. 97). „Stigmarienkohle“ Meschowk (Rossia Centralis).

196. Corpus irregulariter triangulare. Exosporium inaequaliter incrassatum 6 lamellosum, lamellis inaequaliter crassis partim excentricis, homogeneis cum granulosis alternantibus. Nucleus excentrice positus irregulariter triangulare, punctulatus.

Diam. 0,078 mm. Diam. nucl. 0,042 mm. (Tab. XVIII. 94. B). Zwickau (Saxonia).

✚✚✚ Exosporium ex laminis homogeneis et laminis granulosis irregularitee incrassatis compositum.

197. Corpus regulariter triangulare, marginibus undatis. Exosporium ex lamellis tribus compositum. Crassitudo $\frac{1}{3}$ nuclei diametri. Lamella granulosa in angulis et in medio marginum corporis inaequaliter incrassata. Nucleus punctulatus, fissuris volvatis, in centro apertis.

Diam. 0,078 mm. Diam. nucl. 0,053 mm. (Tab. VIII. fig. 99). „Blätterkohle“ in carbone compacta. Malowka, Lewino, Metschowk (Rossia Centralis).

198. Corpus irregulariter triangulare. Exosporium ex lamellis tribus compositum. Lamella granulosa in angulis corporis inaequaliter incrassata. Exosporii crassitudo usque dimidium nuclei diametri. Nucleus punctulatus.

Diam. 0,05 mm. Diam. nucl. 0,031 mm. (Tab. XX. fig. 99. A). In carbone compacta. Malowka (Rossia Centralis).

199. Corpus triangulare, marginibus irregulariter undatis. Exosporium ex laminis compluribus plus minusve indistinctius evolutis compositum. Lamella granulosa irregulariter incrassata. Crassitudo Exosporii dimidium nuclei diametri.

Diam. 0,063 mm. Diam. nucl. 0,031 mm. (Tab. VIII. fig. 100). In carbone compacta. Kurakinskije (Rossia Centralis).

200. Corpus triangulare, marginibus obtusangule emarginatis, angulis paulo productis obtusis. Exosporium (in angulis) usque $\frac{1}{2}$ nuclei diametri crassum, ex laminis 3is compositum. Lamella granulosa in angulis incrassata. Nucleus verruculosus.

Diam. 0,039 mm. (Tab. XV. fig. 78. A). Zwickau (Saxonia).

201. Corpus irregulariter triangulare, angulis late rotundatis. Exosporium inaequaliter incrassatum, in marginibus usque duplo magis quam in angulis, ex laminis compluribus compositum. Lamella singula granulosa, marginibus nuclei opposita, inaequaliter incrassata. Nucleus glaberrimus.

Diam. 0,069 mm. Diam. nucl. 0,035 mm. (Tab. XX. fig. 89. A). „Stigmarienkohle.“

202. Corpus regulariter triangulare, marginibus obtusangule emarginatis, angulis semicirculari rotundatis. Exosporium trilamellatum. Lamella singula granulosa in angulis nuclei inaequaliter incrassata. Exosporii crassitudo (in angulis) usque dimidium nuclei diametri. Nucleus punctulatus.

Diam. 0,069 mm. Diam. nucl. 0,036 mm. (Tab. VIII. fig. 98). Stigmarienkohle. In carbone compacta. Malowka (Rossia Centralis).

Subdivisio XVI. Exosporium inaequaliter incrassatum, in tuberculos, symmetrice aut insymmetrice dispositos, evolutum. Tubercula homogenea de Exosporii lucide colorata interna parte distinctius sejuncta, colore fuscescente. Exosporii interna pars plus minusve distinctius lamellosa.

✦ Exosporium in tuberculos 4os — 6os latiores inaequales et irregulariter dispositis evolutum.

203. Corpus irregulariter triangulare. Exosporium in tuberculos 5os inaequales, irregulariter dispositos evolutum. Maximum crassitudinis Exosporii diametro nuclei usque aequale. Tuberculorum singulorum latitudo diametro nuclei usque aequalis. Nucleus regulariter triangularis, punctulatus.

Diam. 0,066—0,081 mm. Diam. nucl. 0,031. (Tab. XVI. fig. 82. A). „Blätterkohle“, „Stigmarienkohle.“

204. Corpus irregulariter triangulare. Exosporium in tubercula 5a inaequalia, irregulariter dispositos evolutum. Maximum crassitudinis Exosporii diametro nuclei usque aequale. Exosporii interna pars indistinctius laminoso-grulosa. Nucleus granulatus, fissuris volvatis, in centro apertis.

Diam. 0,066 mm. Diam. nucl. 0,039 mm. (Tab. XVIII. fig. 79. B). In carbone compacta. Metschowk (Rossia Centralis). Zwickau (Saxonia).

205. Corpus regulariter triangulare. Exosporium in tubercula 7a — 8a inaequales evolutum. Tubercula majora ex angulis evoluta. Maximum crassitudinis Exosporii diametri nuclei dimidium. Exosporii interna pars subhomogenea et subtiliter lamellosa. Tubercula subtiliter lamellosa. Nucleus regulariter triangularis, punctulatus.

Diam. 0,1 mm. Diam. nucl. 0,056 mm. (Tab. XVIII. fig. 82. B). „Blätterkohle.“ Kurakino (Rossia Centralis).

206. Corpus regulariter triangulare. Exosporium in tubercula humiliora 4a—5a evolutum. Tubercula majoria ex angulis evoluta. Maximum crassitudinis Exosporii diametri nuclei dimidium. Exosporii interna pars subhomogenea. Nucleus regulariter triangularis, punctulatus.

Diam. 0,075 mm. Diam. nucl. 0,039 mm. (Tab. XVII. fig. 79. C.). „Blätterkohle.“

207. Corpus irregulariter triangulare. Exosporii interna pars ex substantia granulosa formata, duplo crassior externa partē tuberculosa. Tubercula cohaerentia humilima homogenea. Nucleus regulariter triangularis, granulatus, fissuris volvatis.

Diam. 0,1 mm. Diam. nucl. 0,044 mm. (Tab. XIX. fig. 80. B. Figura non perfecta). „Stigmarienkohle.“

†† Exosporium in tubercula 3a latiores inaequalia evolutum.

208. Corpus irregulariter triangulare. Exosporii internae subhomogenae de tuberculis distincte sejunctae partis crassitudo crassitudini tuberculorum subaequalis. Tubercula humiliora in basi cohaerentia. Crassitudo Exosporii diametro nuclei subaequalis. Nucleus regulariter triangularis, angulis apiculatis, fissuris subtiliter volvatis.

Diam. 0,078 mm. Diam. nucl. 0,04 mm. (Tab. XXIV. fig. 79. C.). Metschowk (Rossia Centralis).

209. Corpus subellipticum usque irregulariter triangulare. Exosporii pars subhomogenea de tuberculis distincte sejuncta. Nucleus triangulari-rotundatus fissuris late volvatis granulatis.

Diam. 0,084 mm. Diam. nucl. 0,037 mm. (Tab. XXV, fig. 80. C.). Metschowk.

210. Corpus triangulare. Anguli in tubercula rotundata, de interna parte Exosporii indistinctius sejuncta evoluta.

Diam. 0,043 mm. (Tab. XXV. fig. 79. E.). „Stigmarienkohle.“

††† Exosporium in angulis nuclei in tubercula 3a, subaequalia, regulariter disposita evolutum.

211. Corpus triangulare. Exosporii interna pars homogenea de tuberculis latis subellipsoidicis distincte sejuncta. Tubercula concentrice lamellosa, in basi incohaerentia.

Diam. 6,081 mm. Diam. nucl. 0,042 mm. (Tab. XVI. fig. 79. A.). „Blätterhöhle.“

212. Corpus regulariter triangularis productis. Exosporii interna pars homogenea, in angulis corporis in tubercula semiellipsoidica, distincte sejuncta evoluta Nucleus regulariter triangularis granulatus.

Diam. 0,059 mm. Diam. nucl. 0,031 mm. (Tab. XXIV. fig. 79. D.). Pruckscha. Nawgorod (Rossia Centralis).

213. Corpus triangulare, angulis paulo productis in Tubercula lata humiliora evolutis. Exosporii interna pars homogenea de tuberculis distincte sejunctis. Nucleus granulatus.

Diam. 0,066 mm. Diam. nucl. 0,037 mm. (Tab. VI. fig. 79). „Blätterkohle“ Towarkowa (Rossia Centralis). Zwickau (Saxonia).

214. Corpus triangulare, angulis in tubercula lata humiliora de Exosporii interna parte distincte sejuncta evolutis. Tuberculorum longitudo 4um Latitudinis. Nucleus verruculoso-exasperatus.

Diam. 0,053 mm. Diam. nucl. 0,039 mm. (Tab. VI. fig. 78). Malowka (Rossia Centralis).

215. Corpus triangulare, angulis in tubercula lata humiliora de Exosporii interna parte distincte sejuncta evolutis. Exosporii interna pars indistinctius lamellosa, marginibus tuberculatis. Tuberculorum longitudo 5—6 mm. Latitudinis. Nucleus furfuraceo-granulatus.

Diam. 0,153 mm. Diam. nucl. 0,084 mm. (Tab. XXV. fig. 79 F.). Metschowk.

Subdivisio XVII. Exosporium incrassatum, cum tuberculis compluribus, majoribus, rotundatis, peripherice collocatis.

216. Corpus ovato-triangulare. Exosporium in tubercula (12a—14a) inaequalia lata divosum. Tubercula de Exosporii interna parte indistinctius sejuncta, verruculoso-exasperata. Exosporii interna pars indistincte laminosa. Nucleus granulatus.

Diam. 0,125 mm. Diam. nucl. 0,078 mm. (Tab. IX. fig. 123). In carbone compacta Lewino (Rossia Centralis).

217. Corpus ovato-triangulare. Exosporium in tubercula (7a—8a) inaequalia divisum. Tubercula glaberrima de Exosporii interna parte indistinctius sejuncta.

Diam. 0,063 mm. Diam. nucl. 0,042 mm. (Tab. XXV. fig. 82. C.) Metschowk.

218. Corpus usque fere circulari circuitu. Exosporii externa pars in tubercula inaequalia (11a—14a) verruculoso-exasperata divisa, interna pars indistinctius granuloso-lamellosa. Crassitudo Exosporii diametro nuclei aequalis et paulo magis. Nucleus regulariter circularis punctulatus.

Diam. 0,125 mm. Diam. nucl. 124. B.). In carbone compaeta Malowka (Rossia Centralis).

219. Corpus circulari-triangulari. Exosporii externa pars in lobulos numerosos (14os—20os) basi paulo attenuatos, verruculoso-exasperatos divisa. Exosporii interna pars subhomogenea de lobulis lamina tenuissima distincte sejuncta. Nucleus circulari-triangularis granulatus, fissuris late volvatis.

Diam. 0,145 mm. Diam. nucl. 0,075. Malowka.

Subdivisio XVIII. Exosporium incrassatum indistinctius laminosum, extrorsum in lobulos latissimos, cohaerentes divisum.

220. Corpus circulari-triangulari. Exosporium in lobulos indistincte separatos divisum, indistincte laminosum, $\frac{1}{3}$ diametri nuclei crassum.

Diam. 0,081 mm. Diam. nucl. 0,051 mm. (Tab. XXV. fig. 79. H.). „Stigmarienkohle.“

221. Corpus circulari-triangulari. Exosporii exterior pars in lobulos 4os distinctiores latissimos divisa, interior pars granulosa. Crassitudo Exosporii $\frac{2}{3}$ diametri nuclei et magis. Nucleus regulariter triangularis, punctulatus.

Diam. 0,1 mm. Diam. nucl. 0,042 mm. (Tab. XXV. fig. 79. G.). Metschowk.

Subdivisio XIX. Exosporium aequaliter incrassatum. Interna pars ex lamina lata granulosa et cavernulosa indistinctius laminosa marginibus indistinctius dentato-laceratis, extrorsum de externa parte sejuncta, composita.

✦ Exosporii interna pars ex lamina granulosa plus minurve extrorsum limitata, formata.

222. Corpus triangulare, angulis obtusiusculis. Exosporium diametro nuclei usque aequaliter crassum; interna pars ex lamina limitata formata. Exosporii superficies prominentiis cymatiformibus radialibus 3is instructa.

Diam. 0,066 mm. Diam. nucl. 0,024 mm. (Tab. XV. fig. 1. A.). In venula carbonis, pro maxima parte composita ex Triletibus et Discieis. Zwickau (Saxonia).

223. Corpus triangulare, angulis obtusiusculis. Exosporium diametro nuclei usque aequaliter crassum; interna pars ex lamina distinctius limitata formata, externa pars foraminulis impleta. Exosporii superficies prominentiis radialibus 3is instructa.

Diam. 0,069 mm. Diam. nucl. 0,035 mm. (Tab. XV. fig. 1. B.). Zwickau (Saxonia).

224. Corpus ovato-triangulari, angulis obtusis, marginibus undatis. Exosporium diametro transversali nuclei usque aequaliter crassum; interna pars ex lamina granulosa, indistinctius limitata, indistinctius laminosa, formata. Nucleus ovato triangularis punctulatus.

Diam. long. 0,14 mm. Diam. Latit. 0,118 mm. nucl. Long. 0,069 mm. Lat. 0,046 mm. (Tab. XVII. fig. 1. C.). „Stigmarienkohle.“

225. Corpus triangulare; angulis late rotundatis. Exosporium diametri nuclei $\frac{1}{3}$ (et magis) crassum; interna pars marginibus inciso-dentatis limitata. Nucleus reticulato-lacunosus.

Diam. 0,129 mm. Diam. nucl. 0,069 mm. (Tab. XXIII. fig. 49. B.). Lewino (Rossia Centralis).

226. Corpus triangulare, angulis obtusiusculis. Exosporium diametri nuclei $\frac{1}{2}$ crassum; interna pars irregulariter laminosa, marginibus undatis limitata. Nucleus lacunoso-granulatus.

Diam. 0,135 mm. Diam. nucl. 0,053 mm. (Tab. XXIII. fig. 49. C.). Lewino.

227. Corpus irregulariter triangulare, marginibus undatis. Exosporium $\frac{1}{3}$ diametri nuclei crassum; interna pars granuloso-laminosa, distinctius limitata, dimidio magis altitudine Exosporii. Nucleus punctulatus.

Diam. 0,075 mm. Diam. nucl. 0,053 mm. (Tab. XVII. fig. 80. A.). Blätterkohle.“

228. Corpus regulariter triangulare marginibus repandis, angulis late rotundatis. Exosporium $\frac{1}{2}$ diametri nuclei crassum; interna pars cavernoso-granulata, extrorsum limitata, $\frac{1}{3}$ crassitudinis Exosporii. Nucleus punctulatus.

Diam. 0,11 mm. Diam. nucl. 0,053 mm. (Tab. XLIX. C. fig. 131. B.). Bexbach et Saarbrücken (Prussia Rhen.).

229. Corpus regulariter triangulare, angulis obtusiusculis. Exosporium $\frac{1}{2}$ diametri nuclei paulo magis crassum; interna pars subtiliter cavernoso-granulata, extrorsum limitata, $\frac{1}{3}$ crassitudinis Exosporii. Nucleus punctulatus.

Diam. 0,066 mm. Diam. nucl. 0,031 mm. (Tab. XVII. fig. 131. A.). Lewino (Rossia Centralis).

230. Corpus triangulare, angulis late rotundatis. Exosporium $\frac{1}{2}$ diametri nuclei (et paulo magis) crassum; interna pars subtiliter cavernoso-granulata, extrorsum limitata, $\frac{1}{3}$ crassitudinis Exosporii, externa pars subtiliter laminosa. Nucleus punctulatus.

Diam. 0,078 mm. Diam. nucl. 0,031 mm. (Tab. XVII. fig. 132. A.). Devonische Kohle. „Stigmarienkohle“ (Rossia Centralis).

231. Corpus triangulare. Exosporium $\frac{1}{3}$ nuclei diametri crassum; interna pars subtiliter cavernoso-granulata, extrorsum distinctius limitata, $\frac{1}{3}$ crassitudinis Exosporii. Nucleus punctulatus.

Diam. 0,063 mm. Diam. nucl. 0,035 mm. (Tab. X. fig. 132). In carbone compacta. Lewino. Kurakinskije. (Rossia Centralis). Zwickau (Saxonia).

232. Corpus triangulare, angulis latissime rotundatis. Exosporium $\frac{1}{2}$ nuclei diametri crassum; interna pars, subtiliter granulosa, extrorsum distincte limitata, dimidio crassitudinis Exosporii paulo magis. Nucleus glaberrimus.

Diam. 0,1. Diam. nucl. 0,063 mm. (Tab. XXV. fig. 92. B.). Metschowk (Rossia Centralis).

233. Corpus irregulariter triangulare, angulis late rotundatis. Exosporium dimidio diametri nuclei paulo minus crassum; interna pars cavernoso-granulata, extrorsum distinctius limitata, $\frac{1}{3}$ (et paulo minus). Exosporii crassitudinis: externa pars verruculoso-exasperata. Nucleus verruculosus.

Diam. 0,118 mm. Diam. nucl. 0,084 mm. (Tab. XLIX. C. fig. 62. A.). Lewino.

†† Exosporii interna pars ex lamina cavernoso-granulosa, extrorsum marginibus inciso-dentatis et laceratis limitata, formata.

234. Corpus triangulare, angulis late rotundatis. Exosporium $\frac{2}{3}$ (usque fere aequale) nuclei diametri crassum; interna pars cavernoso-granulata, marginibus distinctius limitatis et sublaceratis, usque $\frac{1}{2}$. Exosporii crassitudinis. Nucleus punctulatus.

Diam. 0,069—0,075 mm. Diam. nucl. 0,0204 - 0,024 mm. (Tab. X. fig. 133). Stigmarienkohle et in carbone compacta. Lewino. Kurakino (Rossia Centralis). Zwickau (Saxonia).

234. A. Exosporio excluso, omnibus partibus duplo majus praecedente. Exosporium $\frac{1}{2}$ diametri nuclei crassum.

Diam. 0,11 mm. Diam. nucl. 0,053 mm. (Tab. IV. fig. 49). Lewino.

235. Corpus triangulare, angulis rotundatis. Exosporium $\frac{1}{2}$ diametri nuclei crassum; interna pars marginibus inciso-dentatis et laceratis, $\frac{1}{3}$ — $\frac{1}{2}$ Exosporii crassitudinis; externa pars interdum marginibus subcrenatis.

Diam. 0,63—0,069 mm. Diam. nucl. 0,028—0,031 mm. (Tab. X. fig. 135. fig. 131). Lewin. Specimina a Zwickau. Diam. 0,056 mm. Diam. nucl. 0,024 mm. inter hanc formam et sequentem collocanda sunt. (Tab. XLIX. C. fig. 135), forma. angulis Nuclei paulo productis. Diam. 0,075 mm. Diam. Nucl. 0,035 mm.

236. Corpus triangulare, angulis rotundatis. Exosporium diametro nuclei paulo minus crassum; interna pars marginibus lacerato-dentatis. Nucleus punctulato-exasperatus.

Diam. 0,046—0,059 mm. Diam. nucl. 0,02—0,023 mm. (Tab. X. fig. 134). Lewino. (Rossia Centralis) et „Stigmarienkohle“ ibidem. Forma in specimine singula observata. (Tab. XLIX. C. fig. 236) in carbone compacta a Kurakinskije huc pertinere videtur. Corpus regulariter triangulare, angulis acutius-

culis. Exosporii interna pars marginibus laceratis. Nucleus punctulato-exasperatus. Diam. 0,059 mm. Diam. nucl. 0,02 mm.

337. Corpus triangularis, angulis rotundatis. Exosporium $\frac{1}{2}$ diametri nuclei crassum; interna pars cavernoso-granulosa, in distinctius limitata. Nucleus regulariter triangularis angulis breviter acutis, glaberrimus.

Diam. 0,075. Diam. nucl. 0,035 mm. (Tab. XLIX. C. fig. 131). Lewino. Malowka.

238. Corpus triangularē, marginibus convexis, crassitudo Exosporii diametro nuclei aequalis; interna pars marginibus profunde lacerato-dentatis, usque Exosporii crassitudinis dimidio subaequans. Nucleus rotundato-triangularis, punctulatus.

Diam. 0,118 mm. Diam. nucl. 0,031 mm. (Tab. X. fig. 136). Lewino.

✠✠✠ Exosporii interna pars ex lamina conduplicata, extrorsum cavernulis longioribus, radialiter dispositis impleta, formata.

239. Corpus irregulariter triangulare. Exosporii internae partis lamina interna lacerato-dentata, externa lamina cum cavernulis impleta. Nucleus regulariter triangularis, granulatus.

Diam. 0,154 mm. Diam. nucl. 0,078 mm. (Tab. XXVII. fig. 136. B.). „Stigmarienkohle.“ Lewino (Rossia Centralis).

✠✠✠ Exosporii interna pars ex lamina granulosa, marginibus crenulatis formata.

240. Corpus triangulare, angulis late rotundatis. Exosporium $\frac{1}{4}$ — $\frac{1}{5}$ nuclei diametri crassum; lamina interna marginibus crenulato-dentatis. Nucleus granulatus.

Diam. 0,028 mm. (Tab. XIX. fig. 130. E. fig. 6. Specimen magn. $\frac{4}{1}$). „Stigmarienkohle.“ Metschowk.

241. Corpus triangulare, angulis rotundatis. Exosporium $\frac{1}{2}$ nuclei diametri crassum; lamina interna marginibus distincte serrulatis, usque dimidium crassitudinis Exosporii crassa; lamina exterior granulata.

Diam. 0,042 mm. Diam. nucl. 0,022 mm. (Tab. XLIX. C. fig. 130. G.). Metschowk.

242. Corpus triangulare, marginibus inciso-crenatis. Exosporium $\frac{1}{2}$ nuclei diametri crassum; lamina interna marginibus crenulato dentatis, $\frac{1}{3}$ crassitudinis Exosporii. Lamina exterior singulis cavernulis. Nucleus furfuraceo-verruculosus.

Diam. 0,056 mm. Diam. nucl. 0,032 mm. (Tab. XXVII. fig. 130. J.). „Stigmarienkohle.“

Subdivisio XX. Substantia Exosporii aequaliter incrassati, nucleum involventem cavernosa, cavernulis plus minusve regulariter radialiter dispositis plerumque aequaliter longis (interdum cum minoribus immixtis).

✠ Substantia cavernosa Exosporii ad margines Exosporii non attingens, spatio homogeneo sejuncta.

243. Corpus triangulare, angulis late rotundatis. Exosporium $\frac{1}{3}$ nuclei diametri crassum; Cavernulae laminae internae subcylindraceae, densius juxta radialiter positae, altitudo dimidium crassitudinis Exosporii. Nucleus dense verruculoso-exasperatus.

Diam. 0,063 mm. Diam. nucl. 0,039 mm. (Tab. X. fig. 140). In carbone compacta. Malowka.

244. Corpus triangulare angulis rotundatis. Exosporium $\frac{1}{2}$ diametri nuclei crassum; cavernulae laminae internae subcylindraceae, densius juxta positae, interdum cum minoribus immixtis, altitudo dimidium crassitudinis Exosporii.

Diam. 0,056—0,063 mm. Diam. nucl. 0,017—0,024 mm. (Tab. X. fig. 137). In carbone compacta. Malowka. Kurakinskije. Lewino.

245. Corpus triangulare, angulis late truncato-rotundatis. Exosporium $\frac{1}{2}$ diametri nuclei crassum; cavernulae laminae internae subcylindraceae, densius juxta radialiter positae, cum singulis minoribus immixtis, altitudo usque dimidium Exosporii crassitudinis. Nucleus verruculosus.

Diam. 0,075 mm. Diam. nucl. 0,039 mm. (Tab. XVII. fig. 136. A.). Lewino.

246. Corpus triangulare angulis rotundatis. Exosporium $\frac{1}{3}$ — $\frac{1}{4}$ nuclei diametri crassum; cavernulae laminae internae subcylindraceae, densius juxtapositae, cum singulis minoribus immixtis. Nucleus verruculosus.

Diam. 0,056 mm. Diam. nucl. 0,041 mm. (Tab. XVII. fig. 132. B). Devonische Kohle.

247. Corpus triangulare, angulis rotundatis. Exosporium $\frac{1}{2}$ (et paulo magis) nuclei diametri crassum; cavernulae laminae internae prolongatae, extrorsum ampliatae usque fere ad margines Exosporii adtingentes, cum minoribus immixtis.

Diam. 0,063 mm. Diam. nucl. 0,024 mm. (Tab. XX. fig. 135. C). „Stigmarienkohle.“

248. Corpus triangulare, marginibus obtusangule excisis, angulis paulo productis late truncatis. Exosporium (in angulis) $\frac{1}{2}$ nuclei diametri crassum; cavernulae laminae internae prolongatae densius juxta positae, (in angulis) $\frac{1}{2}$ Exosporii crassitudinis.

Diam. 0,046 mm. Diam. nucl. 0,02 mm. (Tab. XIX. fig. 135. B). „Stigmarienkohle.“

✠✠ Substantia cavernosa Exosporii ad margines Exosporii adtingens.

249. Corpus triangulare, angulis subrotundatis. Exosporium nuclei diametro usque aequaliter crassum; cavernulae laminae internae longiores densius juxta positae, lamina exterior cavernulis radialibus impleta.

Diam. 0,087 mm. Diam. nucl. 0,035 mm. (Tab. XXVII. fig. 136. C). „Stigmarienkohle.“

250. Corpus triangulare, angulis rotundatis. Exosporium nuclei diametro usque aequaliter crassum; cavernulae laminae internae longiores densius juxta positae, omnes aequales, fere ad margines Exosporii pertinentes.

Diam. 0,069 mm. Diam. nucl. 0,028 mm. (Tab. XXVII. fig. 136. D. fig. a. Laminae internae pars major aucta). Lewino.

Subdivisio XXI. Substantia Exosporii incrassati, nucleum involvens, ex lamina granulosa (aut cavernosa?) formata, composita ex granulis (cavernulis?) in seriebus radialibus regularissime dispositis et aequaliter longis.

251. Corpus circulari-triangulare. Exosporium $\frac{2}{3}$ nuclei diametri crassum; lamina externa composita, dimidium crassitudinis Exosporii. Nucleus filamentoso-granulatus.

Diam. 0,11 mm. Diam. nucl. 0,053 mm. (Tab. X. fig. 139). Malowka.

Subdivisio XXII. Lamina interna Exosporii aequaliter incrassati cavernoso-granulata, cavernulis majoribus regulariter dispositis cum minoribus immixtis.

252. Corpus circulari-triangulare. Exosporium nuclei diametro aequaliter crassum; cavernulae laminae internae uniseriatae, cum minoribus interspersis, altitudo $\frac{1}{3}$ Exosporii crassitudinis. Margines Exosporii verrucis majoribus dispersis obtecti.

Diam. 0,066 mm. Diam. nucl. 0,026 mm. (Tab. XXVII. fig. 136. G). Stigmarienkohle.

253. Corpus circulari-triangulare. Exosporium $\frac{1}{2}$ nuclei diametri crassum. Lamina interna Exosporii cavernulis globosis impleta, lamina externa singulis cavernulis dispersis. Nucleus (e latere inferiore) lacunis circularibus obtectus.

Diam. 0,069 mm. Diam. nucl. 0,037 mm. (Tab. XXVII. fig. 136. E). „Stigmarienkohle.“

254. Corpus regulariter triangulare, marginibus subrectis. Exosporium $\frac{1}{2}$ nuclei diametri crassum. Lamina interna cavernulis oblongis juxta positis repleta. Nucleus (e latere inferiore) lacunulis circularibus obtectus.

Diam. 0,042 mm. Diam. nucl. 0,021 mm. (Tab. XXVII. fig. 136. F. fig. a. Exosporii pars major aucta). „Blätterkohle“.

Subdivisio XXIII. Lamina interna Exosporii distinctius laminosa, lamina externa homogenea et glaberrima.

255. Corpus regulariter triangulare. Exosporium $\frac{1}{3}$ (et paulo magis) diametri nuclei crassum; lamina interna ex laminis 2is distinctis verruculoso-lacunosus composita, $\frac{1}{2}$ crassitudinis Exosporii. Nucleus verruculoso exasperatus.

Diam. 0,132 mm. Diam. nucl. 0,069 mm. (Tab. XVI. fig. 131. B). „Blätterkohle.“

256. Corpus triangulare, angulis obtusatis. Exosporium $\frac{1}{2}$ diametri nuclei crassum; lamina interna subtiliter laminosa, extrorsum marginibus crenato-incisis. Nucleus fissuris volvatis.

Diam. 0,079 mm. Diam. nucl. 0,05 mm. (Tab. XXVII. fig. 30. H). Metschowk.

Subdivisio XXIV. Substantia Exosporii nucleum involvens (aut nuclei indumentum exterius) ex lamina in spinis firmis divisa formata.

257. Corpus regulariter triangulare, marginibus subconvexis. Exosporium $\frac{1}{2}$ nuclei diametri crassum, in marginibus et angulis spinulis firmis armatum; lamina interna homogenea marginibus profunde inciso-dentatis.

Diam. 0,053 mm. Diam. nucl. 0,028 mm. (Tab. XIX. fig. 134. A).

258. Corpus regulariter triangulare, marginibus subrectis, serrulato-dentatis. Exosporium $\frac{1}{2}$ diametri nuclei crassum; lamina interna homogenea, marginibus regulariter inciso-dentatis. Nucleus (e latere inferiore) lacunis circularibus.

Diam. 0,053 mm. Diam. nucl. 0,02 mm. (Tab. X. fig. 138 e latere inferiore). „Devonische Kohle.“

259. Triletes e minimis. Corpus regulariter triangulare. Exosporium usque nuclei diametro aequaliter crassum; lamina interior margine serie simplici spinarum firmium apice incrassatarum armata. Nucleus regulariter triangularis.

Diam. 0,017 mm. (Tab. X. fig. 130. fig. a. Specimen magn. $\frac{3}{4}$). In carbone compacta. Kurakinskije (Rossia Centralis).

Subdivisio XXV. Substantia Exosporii nucleum involvens cum spinis firmis connecta.

260. Corpus triangulare. Exosporium nuclei diametro subaequaliter crassum; lamina interior granulata, marginibus subincisis, extrorsum cum spinis firmis connecta. Nucleus granulatus.

Diam. 0,054 mm. Diam. nucl. 0,022 mm. (Tab. XIX. fig. 130. D). Stigmarienkohle.

261. Corpus irregulariter triangulare. Exosporium $\frac{2}{3}$ diametri nuclei crassum; lamina interior granulata, inciso dentata, extrorsum cum spinis firmis connecta. Nucleus granulatus.

Diam. 0,06 mm. Diam. nucl. 0,028 mm. (Tab. XIX. fig. 130. C). „Stigmarienkohle.“

Subdivisio XXVI. Exosporium aequaliter incrassatum varie explicatum (homogeneum aut laminosum) glaberrimum. Lamina interior ex serie singula minutissimorum granulorum moniliforme conjunctorum formata. Granula indumento nuclei insidentia aut spatio tenui sejuncta.

† Exosporium subtiliter laminosum.

262. Corpus irregulariter triangulare. Exosporium $\frac{1}{2}$ nuclei diametri crassum, subtiliter laminosum; lamina interna (nucleo insidens) ex numerosis granulis (42is — 45is) nucleo insidentibus formata. Nucleus punctulatus.

Diam. 0,046 mm. Diam. nucl. 0,024 mm. (Tab. XVI. fig. 126. A). „Blätterkohle.“

263. Corpus regulariter triangulare, marginibus convexis. Exosporium $\frac{1}{4}$ — $\frac{1}{5}$ nuclei diametri crassum, subtiliter laminosum; lamina interna ex numerosis granulis minutissimis moniliformibus formata. Nucleus glaberrimus, fissuris subtiliter volvatis.

Diam. 0,079 mm. Diam. nucl. 0,069 mm. (Tab. XLIX. C. fig. 126. C. fig. a. Exosporii pars major aucta). „Stigmarienkohle.“

†† Exosporium homogeneum.

264. Corpus irregulariter triangulare. Exosporium inaequaliter incrassatum, $\frac{1}{2}$ nuclei diametri crassum usque fere aequale; granulamonili formia (34 a — 36 a) laminae subtilissimae insidentia. Nucleus punctulatus.

Diam. 0,047 mm. Diam. nucl. 0,014 mm. (Tab. XXVII. fig. 127. C). Malowka.

265. Corpus irregulariter ovato-ellipticum. Exosporium inaequaliter incrassatum; granula moniliformia (45 a — 50 a) nuclei indumento insidentia. Nucleus irregulariter triangularis, punctulatus.

Diam. 0,064 mm. Diam. nucl. 0,028 mm. (Tab. XVIII. fig. 126. B). Kurakinskije (Rossia Centralis).

266. Corpus irregulariter triangulare. Exosporium inaequaliter incrassatum, $\frac{1}{2}$ nuclei diametri crassum (usque aequale); granula moniliformia (40 a — 45 a) nuclei indumento insidentia. Nucleus regulariter triangularis, punctulatus.

Diam. 0,042 - 0,056 mm. Diam. nucl. 0,021—0,024 mm. (Tab. XVI. fig. 127. A. Tab. XVII. fig. 48. B). Stigmarienkohle. Kurakinskije (Rossia Centralis). Zwickau (Saxonia).

267. Corpus regulariter triangulare. Exosporium aequaliter incrassatum, $\frac{1}{3}$ — $\frac{1}{2}$ nuclei diametri crassum. Granula moniliformia minima (45a — 50a) in lamina tenuissima insidentia. Nucleus regulariter triangularis, punctulatus.

Diam. 0,028 mm. Diam. nucl. 0,017 mm. (Tab. XVI. fig. 127. B). Kurakinskije.

268. Corpus ovato-ellipticum. Exosporium inaequaliter incrassatum. Granula moniliformia minima, breviter pedicellata (35a — 40a), pedicellis subtilioribus nuclei indumento insidentia. Nucleus triangularis excentrice in Exosporio collocatus.

Diam. long. 0,056 mm. Diam. nucl. 0,015 mm. (Tab. XXVII. fig. 127. D). Meschowk.

269. Corpus triangularis, angulis binis late rotundatis. Exosporium inaequaliter incrassatum. Granula moniliformia majora (20a — 22a) nuclei indumento insidentia. Nucleus triangularis excentrice in Exosporio collocatus.

Diam. 0,046 mm. Diam. nucl. 0,015 mm. (Tab. XLIX. A. fig. 127. D). Stigmarienkohle. Metschowk.

270. Corpus triangulare, angulis late rotundatis. Exosporium $\frac{1}{3}$ nuclei diametri crassum. Granula moniliformia majora (40a — 42a) nucleo insidentia. Nucleus triangularis, angulis late rotundatis subtiliter verruculosus.

Diam. 0,053 mm. Diam. nucl. 0,031 mm. (Tab. XLIX. C. fig. 126). „Blätterkohle“, Kurakinskije (Rossia Centralis). Zwickau (Saxonia).

271. Corpus triangulare. Exosporium $\frac{1}{3}$ nuclei diametri crassum. Granula moniliformia (35a) nuclei indumento insidentia. Nucleus triangularis subtiliter granulatus.

Diam. 0,028 — 0,031 mm. Diam. nucl. 0,017 — 0,02 mm. (Tab. IX. fig. 127 et fig. a). „Stigmarienkohle.“

Subdivisio XXVII. Exosporium incrassatum spinulis armatum. Nucleus lamina granulorum minutissimorum moniliforme conjunctorum involutus. Granula nuclei indumento insidentia.

272. Corpus irregulariter ellipticum usque semiellipticum. Exosporium usque $\frac{1}{2}$ nuclei diametri crassum, marginibus crenato-dentatis, superficie singulis spinulis. Granula (40a — 45a) nuclei indumento insidentia. Nucleus irregulariter triangularis, punctulatus.

Diam. 0,035 mm. (Tab. IX. fig. 129). Malowka.

273. Corpus regulariter triangulare, angulis late rotundatis. Exosporium $\frac{1}{2}$ (et magis) diametri nuclei crassum, marginibus crenulato dentatis, superficie spinulis acutis armata. Granula (40a — 45a) nuclei indumento insidentia. Nucleus regulariter triangularis, angulis acutiusculis, punctulatus.

Diam. 0,042 mm. Diam. nucl. 0,02 mm. (Tab. IX. fig. 128).

274. Corpus irregulariter triangulare usque semiovatum, marginibus spinis firmis armatis. Exosporium $\frac{1}{2}$ (et magis) nuclei diametri crassum superficie spinis firmis armata. Granula (40a — 45a) breviter pedicellata et nucleo indumento insidentia. Nucleus triangularis, punctulatus.

Diam. 0,047 mm. Diam. nucl. 0,02 mm. (Tab. XX. fig. 128. A). Stigmarienkohle.

275. Corpus regulariter triangulare, marginibus spinis firmis acutis armatis. Exosporium $\frac{1}{2}$ nuclei diametri crassum, superficie singulis dispersis spinis. Granula numerosissima minoribus immixtis nuclei indumento insidentia. Nucleus punctulatus.

Diam. (sine spinis) 0,053 mm. Diam. nucl. 0,028 mm. (Tab. XLIX. C. fig. 130. F. b). Malowka. Stigmarienkohle.

Forma. Exosporium spinis firmis obtusis armatum. Stigmarienkohle (Tab. XLIX. C. fig. 130. F. a).

Subdivisio XXVIII. Exosporium incrassatum, margine spinis firmis armatum. Nucleus lamina granulorum majorum moniliforme conjunctorum involutus.

276. Corpus regulariter triangulare, angulis truncatis et in spinis productis, marginibus rectis, spinis latis armatis. Exosporium $\frac{1}{2}$ nuclei diametri crassum, glaberrimum. Granula (20a — 21a) nuclei indumento insidentia. Nucleus regulariter triangularis, lacunulis obtectus.

Diam. 0,066 mm. Diam. nucl. 0,039 mm. (Tab. XXVII. fig. 127. B). Stigmarienkohle.

Subdivisio XXIX. Exosporium aequaliter incrassatum, membranaceum late apertum. Nucleus indumento reticulari-lacunoso aut perforato lacunoso involutus.

277. Corpus triangulare, angulis late rotundatis. Exosporium membranaceum, late apertum saepius implicatum, $\frac{1}{3}$ nuclei diametri crassum. Indumentum nuclei extra margines nuclei prominens lacunoso-perforatum, marginibus inciso-dentatis.

Diam. 0,14 mm. Diam. nucl. 0,087 mm. (Tab. XXIII. fig. 49. A). Metschowk. Lewino.

278. Corpus triangulare, angulis late rotundatis. Exosporium membranaceum late apertum, plerumque marginibus implicatis, $\frac{2}{3}$ nuclei diametri crassum. Indumentum nuclei extra margines nuclei prominens lacunoso perforatum et furfuraceo-volvatum, marginibus integerrimis. Exosporii pars centralis in prominentia 3a radialia marginibus crenulatis producta.

Diam. 0,157 mm. Diam. nucl. 0,066 mm. (Tab. XLIX. fig. 49. F). „Stigmarienkohle.“

279. Corpus triangulare, angulis late rotundatis. Exosporium membranaceum, late apertum, plerumque marginibus radialiter implicatis, $\frac{1}{2}$ (et paulo magis) diametri nuclei crassum. Indumentum nuclei extra margines nuclei prominens reticulato-lacunosum, areolis latis angulatis. Exosporii pars centralis in prominentia terna radialia usque fere ad angulos pertinentia producta.

Diam. 0,151 mm. Diam. nucl. 0,069 mm. (Tab. XXIII. fig. 49. D). Lewino, Kurakinskije, Metschowk (Rossia Centralis).

Subdivisio XXX. Exosporium aequaliter incrassatum, porosum, lacunoso-verruculosum, et reticulato-lacunosum.

✧ Exosporium porosum et lacunoso-verruculosum.

280. Corpus triangulare. Exosporium $\frac{1}{3}$ nuclei diametri crassum, lacunoso-verruculosum. Nucleus verruculosus.

Diam. 0,125 mm. Diam. nucl. 0,069 mm. (Tab. XXIII. fig. 50. D).

281. Corpus triangulare. Exosporium $\frac{1}{3}$ — $\frac{1}{4}$ nuclei diametri crassum, poroso-lacunosum. Nucleus indistinctius limitatus lacunosus. Exosporii pars media in prominentia 3a liniformia triangulariter posita usque ad angulos pertinentia producta.

Diam. 0,118 mm. (Tab. XXI. fig. 1. G). Metschowk.

✧✧ Exosporium reticulato-lacunosum.

282. Corpus triangulare, angulis late rotundatis. Exosporium reticulato-lacunosum, lacunis angulosis, marginibus apiculatis, $\frac{1}{2}$ diametri nuclei crassum. Nuclei indumentum trilamellosum. In plurimis speciminibus nucleus in utroque latere densissime apparet inductus plantula parasitica ex filis pluriramulosis compressis composita et haec parasita, in similitudine structurae cum Algis recentibus non ullo modo consentiens, est delineata in Tab. LXXVII. fig. 6 densissime adpressa ad nuclei superficiem.

Diam. 0,27 mm. Diam. nucl. 0,148 mm. (Tab. XXIV. fig. 50. G. Specimen $\frac{1}{4}$ magn. fig. a. Exosporii marginis pars major aucta). Metschowk.

✧✧✧ Exosporium lacunoso-perforatum.

283. Corpus irregulariter ovato-ellipticum. Exosporium lacunoso-perforatum, inaequaliter incrassatum, usque $\frac{1}{2}$ nuclei diametri crassum. Nuclei indumentum trilamellosum. Nucleus irregulariter triangularis lacunoso-verruculosus, fissuris late volvatis.

Diam. long. 0,354 mm. Diam. lat. 0,25 mm. Diam. nucl. 0,148 mm. (Tab. XXIV. fig. 65. A). Metschowk.

✧✧✧✧ Exosporium cribrose-perforatum.

284. Corpus irregulariter triangulare, marginibus irregulariter undatis. Exosporium $\frac{1}{2}$ — $\frac{2}{3}$ diametri crassum, lacunis radialiter positae longioribus ad margines decrescentibus cribroso-perforatum. Nucleus regulariter triangularis, angulis late rotundatis, verruculoso-exasperatus.

Diam. 0,125 mm. Diam. nucl. 0,05 mm. (Tab. XX. fig. 1. F). „Stigmarienkohle.“

Subdivisio XXXI. Exosporium inaequaliter incrassatum (ellipticum) superficie late verrucosa.

285. Corpus regulariter ellipticum. Exosporium marginibus undato-crenatis, superficie verrucis latis, rotundatis obtectum, usque diametro nuclei aequaliter crassum. Nucleus triangularis.

Long. 0,078 mm. Lat. 0,056 mm. Diam. nucl. 0,02 mm. (Tab. XXIII. fig. 48. D). „Stigmarienkohle.“

Subdivisio XXXII. Exosporium inaequaliter incrassatum (ellipticum), marginibus irregulariter incisis.

286. Corpus ellipticum. Exosporium glaberrimum, $\frac{1}{3}$ diametri nuclei crassum. Nucleus triangularis, lamina lamellosa, extrorsum dentato-incisa involutus, punctulatus.

Diam. long. 0,051 mm. Diam. nucl. 0,022 mm. (Tab. XXIII. fig. 48. C). „Stigmarienkohle.“

Subdivisio XXXIII. Exosporium aequaliter incrassatum, irregulariter in segmenta inaequalia divisa.

✧ Exosporium segmentis imperfecte evolutis.

287. Corpus irregulariter triangulare. Exosporium $\frac{1}{2}$ diametri nuclei crassum, in segmenta inaequalia rotundata (7 a — 8 a) divisum, interior pars cavernulis perforata. Nucleus irregulariter triangularis, granulatus.

Diam. 0,05 mm. Diam. nucl. 0,031 mm. (Tab. XVIII. fig. 118. H). „Stigmarienkohle.“

288. Corpus triangulare. Exosporium $\frac{1}{2}$ — $\frac{1}{3}$ nuclei diametri crassum, in segmenta inaequalia, angulosa indistinctius divisum. Nucleus regulariter triangularis lacunosus.

Diam. 0,035 — 0,042 mm. Diam. nucl. 0,028 mm. (Tab. XVI. fig. 123. A). In carbone laminosa, substantia elastica immixta. Zwickau (Saxonia).

289. Corpus circulari-triangulare. Exosporium $\frac{1}{2}$ nuclei diametri crassum, segmentis usque aequalibus; interior pars Exosporii in lobulos minores imperfecte divisa. Nucleus regulariter triangularis punctulatus.

Diam. 0,04 mm. Diam. nucl. 0,021 mm. (Tab. XIX. fig. 119. D). „Stigmarienkohle.“

290. Corpus regulariter triangulare. Exosporium $\frac{1}{2}$ diametri nuclei crassum, in segmenta latiora imperfecte divisum, segmenta cum costis volvatis connecta supra nucleum percurrentia.

Diam. 0,066 mm. Diam. nucl. 0,032 mm. (Tab. XVIII. fig. 118. G). Kurakino (Rossia Centralis).

291. Corpus irregulariter triangulare (usque fere hexagonale). Exosporium $\frac{1}{2}$ nuclei diametri crassum, in segmenta volviformia imperfecte divisa. Segmenta volvata interna nucleum includentia. Nucleus regulariter triangularis, fissuris late volvatis.

Diam. 0,121 mm. Diam. nucl. 0,046 mm. (Tab. XXVI. fig. 118. P). Metschowk.

292. Corpus orbiculari-triangulare. Exosporium $\frac{1}{2}$ — $\frac{1}{3}$ nuclei diametri crassum, in segmenta subaequalia marginibus subcrenulatis imperfecte divisa. Exosporii interna pars integerrima. Nucleus regulariter triangularis punctulatus.

Diam. 0,041 mm. Diam. nucl. 0,018 mm. (Tab. XX. fig. 118. L). „Stigmarienkohle.“

293. Corpus irregulariter triangulare. Exosporium $\frac{1}{2}$ diametri nuclei crassum in margine in segmenta 3 a — 4 a imperfecta divisum; Exosporii interna pars in lobulos costis connexis supra nucleum percurrentibus divisa. Nucleus irregulariter triangularis.

Diam. 0,055 mm. Diam. nucl. 0,03 mm. (Tab. XX. fig. 118. M). „Kurakinskije.“

✧✧ Exosporium segmentis perfecte evolutis.

294. Corpus circulari-triangulare. Exosporium $\frac{1}{2}$ diametri nuclei crassum, segmentis inaequaliter latis, late rotundatis, segmentis majoribus excavatis.

Diam. 0,075 mm. (Tab. XXV. fig. 99. B). Metschowk.

Subdivisio XXXIV. Exosporium inaequaliter incrassatum, spinis firmis aut acutis aut obtusatis, et verrucis latioribus aut totaliter aut partialiter obtectum.

✧ Exosporii margines verrucis spiniformibus latioribus obtecti.

295. Corpus regulariter triangulare. Exosporium $\frac{1}{4}$ nuclei diametri crassum, verrucis latis. Nucleus punctulatus.

Diam. 0,046 mm. (Tab. IX. fig. 114). In carbone lamellosa. Zwickau (Saxonia).

296. Corpus regulariter triangulare. Exosporium $\frac{1}{3}$ diametri nuclei crassum, verrucis et in marginibus Exosporii et in interiore parte. Nucleus grosse verruculosus.

Diam. 0,053 mm. Diam. nucl. 0,035 mm. (Tab. IX. fig. 115. Malowka.

†† Exosporii marginibus spinis firmis, apice rotundatis et obtusatis armatis.

297. Corpus triangulare, angulis late rotundatis. Exosporium (spin. exclus.) $\frac{1}{2}$ diametri nuclei crassum, spinis dense juxta positis crassis subrotundatis armatum. Spinarum Longitudo Exosporii internae partis liberae dimidium usque aequalis. Nucleus regulariter triangularis, marginibus leviter repandis, angulis late rotundatis, punctulatus. Spinarum Longitudo dimidium Exosporii crassitudinis.

Diam. 0,105 mm. Diam. nucl. 0,056 mm. (Tab. XVIII. fig. 117. A). „Blätterkohle.“

298. Corpus late triangulare. Exosporium (spin. incl.) $\frac{2}{3}$ diametri nuclei crassum, spinis latis verruciformibus. Nucleus irregulariter triangularis, angulis rotundatis, glaberrimus.

Diam. 0,069 mm. Diam. nucl. 0,039 mm. (Tab. XXVI. fig. 117. F). Kurakinskije.

299. Corpus regulariter triangulare. Exosporium (spin. inclus.) $\frac{1}{4}$ diametri nuclei crassum, in marginibus spinis subcylindraceis, apice rotundatis armatus. Nucleus regulariter triangularis, reticulato-granulatus.

Diam. 0,056 mm. (Tab. IX. fig. 122). Pruckscha, Nowgorod (Rossia Centralis).

††† Exosporium marginibus serrulato-crenulatis ad margines versus radiatim plicatis et verruculosus.

300. Corpus regulariter triangulare. Exosporium $\frac{1}{2}$ — $\frac{2}{3}$ nuclei diametri crassum. Nucleus punctulatus.

Diam. 0,042 mm. Diam. nucl. 0,028 mm. (Tab. XVIII. fig. 119. C). Kurakino (Rossia Centralis).

†††† Exosporium marginibus serrato-excisis, denticulis acutis.

301. Corpus regulariter triangulare, angulis late rotundatis. Exosporium $\frac{1}{2}$ nuclei diametri crassum, margines spinis firmis subconicis acutis armati. Nucleus (e latere inferiore) reticulatus, reticulis angulosus.

Diam. 0,069 mm. Diam. nucl. 0,04 mm. (Tab. XX. fig. 74. B). „Stigmarienkohle.“

302. Corpus regulariter triangulare, angulis rotundatis, marginibus spinis latis acutis armatis. Exosporii interna pars subtiliter laminosa, crassitudo $\frac{2}{3}$ nuclei diametri. Nucleus punctulatus.

Diam. 0,039 mm. Diam. nucl. 0,018 mm. (Tab. XXV. fig. 115. B). Pruckscha, Nowgorod.

303. Corpus regulariter triangulare, angulis late rotundatis. Exosporium $\frac{2}{3}$ nuclei diametri crassum, marginibus undato-serratis, prominentiis undato-serratis. Nucleus regulariter triangularis, angulis rotundatis.

Diam. 0,06 mm. Diam. nucl. 0,042 mm. (Tab. XXVI. fig. 115. D). Metschowk.

††††† Exosporium marginibus profundius inciso-dentatis, lobulis spiniformibus obtusis.

304. Corpus ovato-triangulare. Exosporium diametro nuclei aequaliter crassum marginibus spinis firmis rotundatis, densius collocatis armatis. Spinarum longitudo Exosporii internae parti liberae usque aequalis. Nucleus regulariter triangularis lamina marginibus inciso-serratis velatus, punctulatus.

Diam. 0,05 mm. Diam. nucl. 0,02 mm. (Tab. XVIII. fig. 121. A). „Stigmarienkohle.“

305. Corpus orbiculari-triangulare. Exosporium $\frac{2}{3}$ diametri nuclei crassum, marginibus spinis firmis, obtusis, densius juxta collocatis armatis. Spinarum Longitudo paulo longior Exosporii interna parte libera; subtiliter granulosa.

Diam. 0,053 mm. Diam. nucl. 0,024 mm. (Tab. XX. fig. 114. A). In substantia argillaceo-carbonica, truncum Sigillariae replenti. Silesia.

306. Corpus triangulare, angulis late rotundatis. Exosporium nuclei diametro aequaliter crassum, marginibus et interna parte spinis firmis verruciformibus dense obtectis, in angulis spinis latioribus et longioribus singulis immixtis. Lamina nucleum involvens subtiliter laminoso-granulosa. Nucleus regulariter triangularis, punctulatus. Exosporii pars centralis in prominentiis ternis liniiformibus radiantibus producta.

Diam. 0,078 mm. Diam. nucl. 0,031 mm. (Tab. XXV. fig. 114. B.). „Stigmarienkohle.“

††††† Exosporium totum spinis firmis acutis aut obtusis obtectum.

307. Corpus orbiculari-triangularare. Exosporium $\frac{1}{2}$ nuclei diametri crassum, marginibus et superficie spinis firmis obtuso-rotundatis armatis.

Diam. 0,024 mm. (Tab. IX. fig. 120). „Stigmarienkohle.“

308. Corpus ovato-triangularare. Exosporium $\frac{1}{5}$ nuclei diametri crassum, marginibus et superficie tota spinis firmis subcylindraceis, rotundatis armatis.

Diam. 0,053 mm. (Tab. IX. fig. 112). Malowka.

309. Corpus orbiculari-triangularare. Exosporium nuclei diametro aequaliter crassum, marginibus serie duplice spinularum, apice obtuso-dentatis obtectis. Nucleus regulariter triangularis indumento bilamellosa.

Diam. 0,039 mm. Diam. nucl. 0,017 mm. (Tab. XIX. fig. 47. A.). „Stigmarienkohle.“

310. Corpus regulariter triangularare. Exosporium nuclei diametro aequaliter crassum, marginibus et superficie spinis firmis brevioribus, apice dentatis armatis. Nucleus regulariter triangularis, punctulatus.

Diam. 0,042 mm. Diam. nucl. 0,02 mm. (Tab. VI. fig. 74). „Stigmarienkohle“ in carbone compacta. Lewino. (Rossia Centralis).

311. Corpus orbiculari-triangularare. Exosporium $\frac{2}{3}$ diametri nuclei crassum, marginibus spinis firmis, acutis, subconicis, superficie ad nucleum versus spinis decrescentibus armatis. Nucleus regulariter triangularis, punctulatus.

Diam. 0,05 mm. Diam. nucl. 0,02 mm. (Tab. XIX. fig. 115. A.). „Stigmarienkohle.“

Subdivisio XXXV. Exosporium inaequaliter incrassatum, marginibus in lobulos magis aut minus distincte evolutos divisus.

✦ Exosporii margines imperfectius divisi.

312. Corpus triangularare. Exosporium $\frac{1}{2}$ nuclei diametri crassum, in marginibus in lobulos latos irregulariter divisum. Nucleus regulariter triangularis, granulatus.

Diam. 0,056 mm. Diam. nucl. 0,031 mm. (Tab. XVI. fig. 119. A.). „Stigmarienkohle.“ Metschowk (Rossia Centralis).

313. Corpus usque fere hexagonum. Exosporium $\frac{1}{2}$ nuclei diametri crassum. Anguli Exosporium angulis nuclei oppositi latissime truncati, marginibus inciso-crenatis et radialiter plicatis. Nucleus regulariter triangularis, (in latere inferiore) anguloso-reticulatus.

Diam. 0,055 mm. Diam. nucl. 0,026 mm. (Tab. XXVI. 117. D.). „Stigmarienkohle.“

314. Corpus irregulariter triangularare. Exosporium $\frac{3}{4}$ mulei diametri crassum, marginibus irregulariter lobulatis. Nucleus regulariter triangularis, marginibus subrepandis, angulis rotundatis, fissuris volvatis.

Diam. 0,053 mm. Diam. nucl. 0,028 mm. (Tab. XXVII. fig. 117. G.). „Stigmarienkohle.“

✦✦ Exosporii margines perfectius divisi in lobulos varie formatos.

315. Corpus irregulariter hexagonum. Exosporium $\frac{1}{2}$ nuclei diametri crassum, marginibus inciso-lobulatis. Lobuli integerrimi dentiformiter juxta positi. Exosporii interna pars granulato-punctulata. Nucleus orbiculari-triangularis glaberrimus, fissuris indistincte volvatis.

Diam. 0,069 mm. Diam. nucl. 0,029 mm. (Tab. XXVI. fig. 117. E.). Lewino.

316. Corpus irregulariter hexagonum. Exosporium $\frac{1}{2}$ nuclei diametri crassum. Anguli Exosporii angulis nuclei oppositi latissime truncati, marginibus irregulariter inciso-lobulatis, lobulis inaequalibus varie formatis. Nucleus regulariter triangularis, marginibus subrepandis, angulis rotundatis, punctulatis, fissuris in centro apertis.

Diam. 0,056 mm. Diam. nucl. 0,029 mm. (Tab. XIX. fig. 41. D.). „Stigmarienkohle.“

317. Corpus irregulariter triangularare. Exosporium $\frac{2}{3}$ nuclei diametri crassum, marginibus profunde inciso-lobulatis, lobulis latis apice truncatis et emarginatis. Nucleus regulariter triangularis, punctulatus.

Diam. 0,059 mm. Diam. nucl. 0,031 mm. (Tab. XXVI. fig. 117. C.). „Stigmarienkohle.“

Subdivisio XXXVI. Exosporium aequaliter incrassatum, superficie tota verrucis latis rotundatis obtectum.

318. Corpus regulariter triangulare, angulis rotundatis. Exosporium $\frac{1}{2}$ nuclei diametri crassum, marginibus late crenatis. Verrucae marginum et superficiei aequales, numerosae semiglobiformes. Nucleus orbiculari-triangularis.

Diam. 0,063 mm. Diam. nucl. 0,031 mm. (Tab. XXVI. fig. 118. R.). „Stigmarienkohle.“

319. Corpus triangulare, marginibus undulato-crenatis. Exosporium $\frac{2}{3}$ nuclei diametri crassum, interna pars et margines prominentiis verruciformibus seriatim dispositis obtectum. Nucleus irregulariter triangularis, punctulatus.

Diam. 0,066 mm. Diam. nucl. 0,028 mm. (Tab. XXVI. fig. 118. N.). „Stigmarienkohle.“

320. Corpus regulariter triangulare, marginibus latius inciso crenatis. Exosporium $\frac{1}{4}$ nuclei diametri crassum, superficies tota prominentiis verruciformibus latioribus obtecta.

Diam. 0,066 mm. Diam. nucl. 0,054 mm. (Tab. XX. fig. 118. K.). „Stigmarienkohle.“

Subdivisio XXXVII. Exosporium aequaliter incrassatum; margines ac superficies prominentiis gibberiformibus aequalibus acutis et dentatis obtecta.

321. Corpus regulariter triangulare, marginibus subintegerrimis. Exosporium $\frac{1}{4}$ nuclei diametri crassum, prominentiis acutis et angulosis obtectum.

Diam. 0,084 mm. Diam. nucl. 0,058 mm. (Tab. XXVI. fig. 118. Q.). Kurakinskije.

322. Corpus triangulare, marginibus aequaliter inciso-crenatis. Exosporium $\frac{1}{2}$ nuclei diametri crassum, margines et interna pars prominentiis latioribus obtusis apice dentatis obtecta. Nucleus regulariter triangularis lamina granulosa involuta, punctulata.

Diam. 0,069 mm. Diam. nucl. 0,039 mm. (Tab. XVI. fig. 130. A.). Zwickau. (Saxonia).

323. Corpus triangulare, marginibus dupliciter inciso-crenatis. Exosporium $\frac{2}{3}$ nuclei diametri crassum, margines et interna pars prominentiis obtusis, apice inciso-crenatis obtecta. Nucleus (e latere inferiore) lacunoso perforatus.

Diam. 0,066 mm. Diam. nucl. 0,028 mm. (Tab. XVIII. fig. 130. B.). „Stigmarienkohle.“

324. Corpus regulariter triangulare, marginibus subinciso-dentatis. Exosporium $\frac{2}{3}$ nuclei diametri crassum, margines et interna pars prominentiis dentatis obtecta. Nucleus regulariter triangularis lamina granulosa involutus.

Diam. 0,052 mm. Diam. nucl. 0,024 mm. (Tab. XLIX. fig. 118. S.). „Stigmarienkohle.“

Subdivisio XXXVIII. Exosporium aequaliter incrassatum, margines et superficies volvis rotundatis obtecta.

325. Corpus triangulare, marginibus subundatis. Exosporium $\frac{1}{3}$ (et paulo magis) nuclei diametri crassum, superficies 4is—5is volvis obtectum.

Diam. 0,066 mm. Diam. nucl. 0,039 mm. (Tab. IX. fig. 119). „Stigmarienkohle.“

326. Corpus triangulare, marginibus subundulatis. Exosporium $\frac{1}{2}$ nuclei diametri crassum, volvis 6is—7is, in centro partim cohaerentibus obtectum.

Diam. 0,056 mm. Diam. nucl. 0,035 mm. (Tab. XVI. fig. 118. A.). Blätterkohle. Kurakinskije. (Rossia Centralis).

327. Corpus triangulare, marginibus undulatis. Exosporium $\frac{1}{2}$ — $\frac{1}{3}$ nuclei diametri crassum, volvis 4is—5is latioribus obtectum. Nucleus fissuris volvatis.

Diam. 0,078 mm. Diam. nucl. 0,05 mm. (Tab. XXVI. fig. 118. O.). Kurakinskije.

328. Corpus triangulare, marginibus subundatis. Exosporium usque $\frac{1}{2}$ nuclei diametri crassum, volvis 4is—5is majoribus obtectum.

Diam. 0,091 mm. Diam. nucl. 0,053 mm. (Tab. IX. fig. 118). Blätterkohle. Zwickau?

329. Corpus ovali-triangularis. Exosporium $\frac{1}{4}$ — $\frac{1}{5}$ nuclei diametri crassum, volvis latioribus 5is—6is obtectum.

Diam. 0,091 mm. Diam. nucl. 0,059 mm. (Tab. XLVII. fig. 271. C.). Zwickau. (Saxonia).

330. Corpus triangulare, marginibus undatis. Exosporium usque $\frac{1}{2}$ diametri nuclei crassum volvis latioribus 3is — 4is obtectum. Nucleus regulariter triangularis reticulari-lacunosum.

Diam. 0,08 mm. Diam. nucl. 0,05 mm. (Tab. XVI. fig. 119. B). Blätterkohle.

331. Corpus ovato-triangulare, angulis late rotundatis, marginibus subundatis. Exosporium $\frac{1}{5}$ nuclei diametri, volvis latioribus 4is — 5is, partim cohaerentibus obtectum. Nucleus ovato-triangularis granulatus.

Diam. 0,105 mm. Diam. nucl. 0,081 mm. (Tab. XVI. fig. 118. B). Zwickau.

332. Corpus ovato-triangulare, marginibus subundulatis. Exosporium $\frac{1}{4}$ nuclei diametri crassum, volvis tenuioribus 6is — 7is marginalibus obtectum. Nucleus fissuris late volvatis.

Diam. 0,053 mm. Diam. nucl. 0,043 mm. (Tab. XLIX. A. fig. 5. fig. 5. a. familia minor ex cellulis 12is composita. Magn. $\frac{1}{1}$). „Stigmarienkohle.“ Saepissime occurrunt cellulae complures (8ae — 16ae) in familias minores consociatae.

333. Corpus irregulariter triangulare, marginibus subundulatis. Exosporium $\frac{1}{3}$ diametri nuclei crassum, volvis tenuioribus 6is — 7is cohaerentibus obtectum.

Diam. 0,059 mm. Diam. nucl. 0,042 mm. (Tab. XXVIII. fig. 118. U). Metschowk.

Subdivisio XXXIX. Exosporium volvulis parenchymatico-reticulariter connexis inductum.

334. Corpus ovato-triangulare, marginibus undulato-dentatis. Exosporium volvulis latioribus parenchymatico connectis, marginibus crenulato-dentatis inductum. Areolae irregulariter polygonae, perfecte clausae.

Diam. 0,078 mm. Diam. nucl. 0,059 mm. (Tab. XXV. fig. 108. B). Kurakinskije.

335. Corpus regulariter triangulare, marginibus subtiliter inciso-crenatis. Exosporium volvulis parenchymatice-connectis obtectum; areolae regulariter polygonae, in angulis in denticulos productae.

Diam. 0,05 — 0,053 mm. (Tab. IX. fig. 113. fig. a. Specimen magn. $\frac{4}{1}$).

Subdivisio XL. Exosporii incrassati exterior pars in lobulos structura complicita evoluta. Lobuli pedicello subconico, cum substantia interna Exosporii connecti, et capitulo semiellipsoidico extrorsum laminoso composito.

336. Corpus ovato-triangulare. Exosporium $\frac{2}{3}$ nuclei diametri crassum; margines Exosporii in lobulos 18os — 20os evoluti. Nucleus liberus, granulatus.

Diam. 0,066 mm. Diam. nucl. 0,035 mm. (Tab. XVI. fig. 125. A). „Stigmarienkohle“ (Rossia). Zwickau (Saxonia).

337. Corpus ovato-triangulare. Exosporium $\frac{2}{3}$ nuclei diametri crassum; margines Exosporii in lobulos (18os) evoluti. Nucleus liberus, granulatus.

Diam. 0,087 mm. Diam. nucl. 0,039 mm. (Tab. IX. fig. 125). „Stigmarienkohle.“

338. Corpus ovato-triangulare. Exosporium $\frac{2}{3}$ nuclei diametri crassum, in marginibus in tota superficie lobuli expliciti; lobuli in marginibus (30i) distinctius discernendi cum pedicellis, in centrali parte densius juxta positi ac articulis brevioribus inter se conjuncti.

Diam. 0,078 mm. Diam. nucl. 0,039 mm. (Tab. XXVI. fig. 125. C). Lewino, Metschowk.

339. Corpus ovato-triangulare. Exosporium $\frac{1}{2}$ nuclei diametri crassum, et in marginibus et in tota superficie lobulis explicitis; lobuli in marginibus (30i) distinctius discernendi cum pedicellis gracillioribus, in centrali parte densius juxta positi ac articulis brevioribus inter se conjunctis.

Diam. 0,087 mm. Diam. nucl. 0,05 mm. (Tab. XXVII. fig. 125. B). Lewino, Metschowk.

Subdivisio XLI. Exosporium inaequaliter sed regulariter triangulatim incrassatum, angulis paulo productis.

340. Corpus usque fere hexagonum, marginibus rectis, angulis truncatis. Exosporium glaberrium, subtiliter radialiter striatum $\frac{1}{2}$ nuclei diametri crassum. Nucleus regulariter triangularis subtiliter punctulatus.

Diam. 0,042 mm. Diam. nucl. 0,024 mm. (Tab. XLIX. C. fig. 44. fig. 44 in Tab. III. delenda). Devonische Kohle.“ Metschowk (Rossia).

341. Corpus sicut praecedentis. Exosporium $\frac{2}{3}$ nuclei diametri crassum, in quodam angulo volvula singula cum cavernula singula evoluta. Nucleus regulariter triangularis.

Diam. 0,029 mm. (Tab. XXVIII. fig. 44. D). Metschowk.

342. Corpus triangulare, angulis obtuso-rotundatis. Exosporium $\frac{1}{3}$ nuclei diametri crassum, in quodam angulo tuberculum singulum latiore evolvens.

Diam. 0,042 mm. (Tab. XV. fig. 44. B. Specimen a Zwickau. fig. b. Specimen a Metschowk angulis crenulatis). Zwickau in laminis carbonis materia elastica immixtis. Metschowk (Rossia).

343. Corpus triangulare, angulis obtuso-rotundatis. Nucleus indistinctius separatus de Exosporio.

Diam. 0,035 mm. (Tab. XV. fig. 6. A). Zwickau.

344. Corpus triangulare, angulis truncatis crenulatis. Exosporium $\frac{1}{4}$ diametri nuclei crassum.

Diam. 0,031 mm. (Tab. XXI. fig. 79). Metschowk.

Subdivisio XLII. Exosporium inaequaliter regulariter triangulatim incrassatum et angulis productis.

345. Corpus regulariter triangulare, marginibus subrectis, angulis productis apice truncatis. Exosporium in angulis usque $\frac{1}{2}$ nuclei diametri crassum, glaberrimum. Nucleus regulariter triangulare, punctulatus.

Diam. 0,063 mm. Diam. nucl. 0,032 mm. (Tab. III. fig. 34). Pruckscha, Nowgorod.

346. Corpus regulariter triangulare, marginibus repandis, angulis truncato-rotundatis. Exosporium in angulis verrucosis usque $\frac{1}{2}$ diametri nuclei crassum. Nucleus glaberrimus.

Diam. 0,035 mm. (Tab. XXIV. fig. 77. A). Metschowk.

347. Corpus usque fere hexagonum, marginibus obtusangule emarginatis, angulis latissime truncatis. Exosporium glaberrimum, in angulis $\frac{2}{3}$ nuclei diametri crassum. Nucleus regulariter triangularis, punctulatus.

Diam. 0,059 mm. Diam. nucl. 0,031 mm. (Tab. III. fig. 36). Metschowk.

348. Corpus triangulare, marginibus obtusangule emarginatis, angulis, rectangularibus late truncatis. Exosporium in angulis $\frac{1}{2}$ nuclei diametri crassum, glaberrimum. Nucleus regulariter triangularis, punctulatus.

Diam. 0,046 mm. Diam. nucl. 0,031 mm. (Tab. XXVIII. fig. 36. A). Metschowk, Kurakinskije.

349. Corpus usque fere triangulari-hexagonum, marginibus obtusangule-emarginatis, angulis latissime truncato-rotundatis. Exosporium in angulis usque $\frac{1}{2}$ diametri nuclei crassum, cavernulis oblongis radialiter positae impletum. Nucleus regulariter triangularis, punctulatus.

Diam. 0,053 mm. Diam. nucl. 0,04 mm. (Tab. III. fig. 42). Pruckscha, Nowgorod.

Subdivisio XLIII. Exosporium inaequaliter incrassatum, uno latere integerrimo altero latere lobulato-diviso.

350. Corpus triangulare, uno latere lobulato-diviso, alteris lateribus subintegerrimis. Exosporium inaequaliter crassum, maximum crassitudinis $\frac{2}{3}$ nuclei diametri, introrsum subtiliter laminosum. Nucleus regulariter triangularis, punctulatus, fissuris subtiliter volvatis.

Diam. 0,059 mm. Diam. nucl. 0,028 mm. (Tab. XVI. fig. 124. A). In carbone compacta. Kurakinskije.

351. Corpus triangulare, uno latere crenulato-incisum, alteris lateribus subintegris. Exosporium inaequaliter crassum, maximum crassitudinis $\frac{2}{3}$ nuclei diametri, introrsum subtiliter excentrice laminosum. Nucleus excentricus regulariter triangularis, punctulatus.

Diam. 0,046 mm. Diam. nucl. 0,031 mm. (Tab. XVI. fig. 124. B). „Devonische Kohle.“

Haec formae valde consentiunt in structura Exosporii cum cellulis Triletoïdibus sine dubio in connexu organico cum plantulis Algoidicis, ex cellulis distinctissimis extitutis (Tab. LXXXIII. fig. 25. C. fig. 28. C). Incertum est, formas, huius Subdivisiones esse collocandas in serie Triletum.

Subdivisio XLIV. Exosporium inaequaliter regulariter triangulatim incrassatum, angulis productis.

352. Corpus regulariter triangulare, marginibus late repandis, angulis truncatis, inciso-dentatis.

Exosporium in angulis usque $\frac{1}{2}$ diametri nuclei crassum. Nucleus triangularis, marginibus repandis, angulis productis-glaberrimis.

Diam. 0,05 mm. Diam. nucl. 0,028 mm. (Tab. XXII. fig. 37. A). „Stigmarienkohle.“

353. Corpus regulariter triangulare, marginibus subrectis, angulis productis rotundatis inciso-dentatis. Exosporium in angulis $\frac{2}{3}$ diametri nuclei crassum. Nucleus regulariter triangularis, punctulatus.

Diam. 0,053 mm. Diam. nucl. 0,021 mm. (Tab. III. fig. 37). Malowka.

Subdivisio XLV. Exosporium inaequaliter regulariter triangulatim incrassatum, angulis, obtusatis et crenulato-incisis.

✦ Angulis productis, late obtusatis, crenulato incisis, lobulis integris.

354. Corpus fere regulariter triangulari-hexagonum. Exosporium in angulis $\frac{1}{3}$ (et paulo magis) nuclei diametri crassum, angulis latissime truncatis, inciso crenatis. Nucleus regulariter triangularis, glaberrimus.

Diam. 0,056 mm. Diam. nucl. 0,034 mm. (Tab. III. fig. 35). „Stigmarienkohle.“

355. Corpus usque fere hexagonum. Exosporium in angulis $\frac{1}{3}$ (et paulo minus) nuclei diametri crassum, angulis latissime truncatis, inciso-crenatis et verruculis singulis obtectis. Exosporii interior pars subtiliter laminosa. Nucleus regulariter triangularis, glaberrimus.

Diam. 0,042 mm. Diam. nucl. 0,028 mm. (Tab. XV. fig. 45. A. 44. A. Tab. VI. fig. 71). Lewino, Metschowk.

✦✦ Angulis productis, late obtusatis, crenulato-incisis, lobulis separatis globuliformibus.

356. Corpus triangulari-hexagonum. Exosporium in angulis $\frac{1}{3}$ nuclei diametri crassum, angulis latissime truncatis, inciso-crenatis, lobulis distincte separatis, globuliformibus. Nucleus regulariter triangularis, granulatus.

Diam. 0,056 mm. Diam. nucl. 0,039 mm. (Tab. XXII. fig. 41. H). „Stigmarienkohle.“

357. Corpus triangulari-hexagonum trilobulatum. Exosporium in angulis $\frac{1}{3}$ — $\frac{1}{4}$ nuclei diametri crassum, angulis latissime truncatis (usque fere nuclei diametri aequaliter latis), inciso-crenatis, lobulis distincte separatis, globuliformibus. Exosporium infra angulos subtiliter concentrice lamellosum et punctulatum. Nucleus regulariter triangularis, furfuraceo-verruculosus, fissuris volvatis.

Diam. 0,125 mm. Diam. nucl. 0,087 mm. (Tab. III. fig. 43). In carbone compacta. Malowka.

Subdivisio XLVI. Exosporium inaequaliter triangulatim incrassatum, angulis productis, obtusatis et crenulato-incisis.

✦ Anguli aequaliter formati, crenulato-incisi.

358. Corpus fere hexagonum trilobulatum, marginibus obtusangule emarginatis, angulis latissime obtusatis, inciso-crenatis, lobulis distincte separatis, aequalibus, rotundatis. Exosporium in angulis usque $\frac{1}{2}$ nuclei diametri crassum. Nucleus regulariter triangularis, punctulatus.

Forma 1. Anguli profundius inciso-dentati, lobulis regularibus. (Tab. XXII. fig. 41. F. a).

Diam. 0,05 mm. Diam. nucl. 0,031 mm.

Forma 2. Anguli profundius inciso-dentati, lobulis irregularibus, margines singulis lobulis irregularibus. (Tab. XXII. fig. 41. F. fig. b. c).

Diam. 0,05—0,053 mm. Diam. nucl. 0,028 mm.

„Stigmarienkohle“ et in carbone compacta. Kurakinskije.

359. Corpus triangulari-hexagonum trilobulatum, marginibus obtusangule emarginatis, angulis late obtusatis. Exosporium in angulis $\frac{1}{2}$ diametri nuclei crassum, in lobulos 4os — 5os subaequales, apicibus paulo incrassatis et callosis, divisum. Nucleus regulariter triangularis, granulatus, fissuris volvatis.

Diam. 0,05 mm. Diam. nucl. 0,031 mm. (Tab. XX. fig. 14. F). Stigmarienkohle. In carbone compacta. Metschowk.

✦✦ Anguli inaequaliter formati.

360. Corpus irregulariter triangulari-hexagonum trilobulatum, angulis obtusatis, inaequaliter latis.

Exosporium in angulis usque $\frac{1}{2}$ nuclei diametri crassum, angulis unis crenatis, angulis alteris diviso-crenatis. Nucleus irregulariter triangulare.

Diam. 0,046 mm. Diam. nucl. 0,021 mm. (Tab. XLIX. fig. 41. L). „Stigmarienkohle.“

††† Anguli aequaliter formati late obtusati.

361. Corpus triangulari-hexagonum trilobulatum Exosporium in angulis $\frac{1}{2}$ nuclei diametri crassum, angulis inciso-crenulatis, lobulis granulatis.

Diam. 0,035 mm. (Tab. XXII. fig. 38. A). Metschowk.

362. Corpus triangulari-hexagonum trilobulatum. Exosporium in angulis $\frac{1}{2}$ nuclei diametri crassum angulis late obtusatis, inciso-crenatis et verruculis rotundatis obtectis. Nucleus regulariter triangularis, punctulatus.

Diam. 0,053 mm. Diam. nucl. 0,025 mm. (Tab. III. fig. 38. b).

Forma 1. Angulis et marginibus inciso-crenatis.

Diam. 0,046 mm. Diam. nucl. 0,025 mm. (Tab. III. fig. 38. a). „Stigmarienkohle“ in carbone compacta. Malowka.

†††† Anguli longius producti, profundius incisi.

363. Corpus triangulare trilobulatum, marginibus late emarginatis, angulis late obtusatis. Exosporium in angulis $\frac{1}{2}$ nuclei diametri crassum, in lobulos 9os — 11os aequales divisum. Nucleus regulariter triangularis, punctulatus.

Diam. 0,059 mm. Diam. nucl. 0,031 mm. (Tab. III. fig. 39. a. b). In carbone compacta. Metschowk. Malowka. Lewino.

364. Corpus triangulare trilobulatum, marginibus late emarginatis, angulis late obtusatis et rotundatis. Exosporium in angulis $\frac{1}{2}$ nuclei diametri crassum, in lobulos 7os — 9os inaequales ad margines descrescentes divisum. Nucleus triangularis marginibus repandis.

Diam. 0,056 mm. Diam. nucl. 0,028 mm. (Tab. XXII. fig. 40. A). Metschowk.

365. Corpus triangulare trilobulatum, marginibus latissime emarginatis, angulis longe productis, late obtusatis et subrotundatis. Exosporii crassitudo in angulis usque nuclei diametro subaequans. Anguli in lobulos 8os — 9os apicibus rotundatis profundius divisi. Nucleus regulariter triangularis, punctulatus.

Diam. 0,056—0,075 mm. Diam. nucl. 0,028—0,031 mm. (Tab. III. fig. 40. a. fig. b. Specimen angulis gracilioribus). „Blätterkohle“ in carbone compacta. Malowka.

366. Corpus triangulare trilobulatum, marginibus late emarginatis, angulis longius productis. Exosporium in angulis $\frac{2}{3}$ (et paulo magis) nuclei diametri crassum. Anguli irregulariter incisi et lobulati.

Diam. 0,063 mm. Diam. nucl. 0,031 mm. (Tab. XIX. fig. 39. B). „Stigmarienkohle.“

367. Corpus triangulare trilobulatum, marginibus late emarginatis, angulis longius productis. Exosporium in angulis usque $\frac{1}{2}$ nuclei diametri crassum. Anguli in lobulos 6os — 7os apicibus rotundatis profundius incisi. Nucleus regulariter triangularis, glaberrimus.

Diam. 0,053—0,057 mm. Diam. nucl. 0,032—0,037 mm. (Tab. XVII. fig. 39. A). „Stigmarienkohle“ in carbone compacta. Malowka.

††††† Anguli inaequaliter formati. Angulus usus minor, anguli alteri duplo (et magis) latiores.

368. Corpus triangulare, inaequaliter trilobulatum. Exosporium in angulis nuclei diametro usque aequaliter crassum. Anguli aequales dupplo latiores angulo minore, rotundati, crenato incisi, lobulis 13is — 14is rotundatis; angulus minor 5 lobulatus. Nucleus regulariter triangularis, granulatus.

Diam. 0,061 mm. Diam. nucl. 0,026 mm. (Tab. XVII. fig. 41. A). „Stigmarienkohle.“

369. Corpus irregulariter ovato-triangulare, indistinctius trilobulatum. Exosporium in angulis $\frac{1}{2}$ nuclei diametri crassum. Anguli aequales $\frac{1}{3}$ latiores angulo minore, rotundati in lobulos inaequales numerosos profundius incisi. Lobulus minor saepe divisus, lobuli in 6os — 8os lobulos divisi. Nucleus regulariter triangularis, marginibus repandis, punctulatus.

Diam. 0,163 mm. Diam. nucl. 0,028 mm. (Tab. XVII. fig. 41. C). „Stigmarienkohle.“

370. Corpus irregulariter ovato-triangulare, indistinctius trilobulatum. Exosporium in angulis $\frac{1}{3}$ nuclei diametri crassum. Anguli aequales dupplo latiores angulo minore, rotundati, in lobulos numerosos aequales incisi, marginibus verrucis obtectis. Angulus minor in lobulos 7os — 8os rotundatos divisus. Nucleus regulariter triangularis, indumento extrorsum subtiliter lamelloso, fissuris subtiliter volvatis.

Diam. 0,053 mm. Diam. nucl. 0,035 mm. (Tab. XVII. fig. 41. B). „Stigmarienkohle.“

Subdivisio XLVII. Exosporium inaequaliter triangulatim evolutum. Exosporii lobuli indistinctius separati.

371. Corpus irregulariter ovato-triangulare. Exosporium usque $\frac{2}{3}$ nuclei diametri crassum, irregulariter profundius inciso-lobulatum. In speciminibus cum lobulis distinctius evolutis lobuli latiores 7—8 lobulati. Nucleus regulariter triangularis, granulatus.

Diam. 0,046 mm. Diam. nucl. 0,024 mm. (Tab. XX. fig. 14. E).

Forma. Exosporio verruculoso (Tab. XX. fig. 14. E. dextra figura). Stigmarienhohle. In carbone compacta. Kurakino.

Subdivisio XLVIII. Exosporium aequaliter triangulatim incrassatum, angulis intergerrimis, et superficie tota subtiliter plicata et verruculosa.

372. Corpus hexagonum, marginibus subrepandis, angulis latissime obtusatis. Exosporium $\frac{1}{3}$ nuclei diametri crassum, in margine toto crenato-incisum (profundius in angulis); subtiliter radialiter plicatum et verruculis obtectum. Lobuli marginum aequales rotundati. Nucleus regulariter triangularis, marginibus subrepandis.

Diam. 0,059 mm. Diam. nucl. 0,035 mm. (Tab. XXII. fig. 41. J). Stigmarienkohle.

Subdivisio XLIX. Exosporium aequaliter triangulatim incrassatum, angulis profundius repetito regulariter lobulatis.

373. Corpus triangulari-hexagonum, trilobulatum. Exosporium in angulis $\frac{1}{2}$ nuclei diametri. Anguli lateraliter dilatati, rotundati, in lobulos 6s — 7s subcuneatos, apice lobulato incisos divisi. Nucleus regulariter triangularis, punctulatus.

Diam. 0,059 mm. Diam. nucl. 0,028 mm. (Tab. III. fig. 41). „Stigmarienkohle“ et in carbone compacta. Metschowk.

374. Corpus triangulare, trilobatum, marginibus late emarginatis, angulis late obtusatis. Exosporium in angulis diametro nuclei usque aequaliter crassum. Anguli in lobulos 4os — 6os profundius divisi, lobuli repetito lobulati, lobulis ultimis globuliformibus. Nucleus regulariter triangularis punctulatus.

Diam. 0,063 mm. Diam. nucl. 0,021 mm. (Tab. XXII. fig. 41. K. fig. a. Angulus major auctus). „Stigmarienkohle.“

375. Corpus triangulare usque triangulari-hexagonum. Exosporium in angulis $\frac{1}{2}$ — $\frac{3}{4}$ nuclei diametri crassum. Margines et anguli Exosporii profundius repetito lobulati. Lobuli ultimi globuliformes. Nucleus regulariter triangularis, punctulatus.

Diam. 0,069 mm. Diam. nucl. 0,035 mm. (Tab. XXII. fig. 41. G). „Stigmarienkohle.“

376. Corpus triangulari-hexagonum, trilobulatum, marginibus late emarginati, angulis late obtusatis. Exosporium in angulis $\frac{2}{3}$ diametri nuclei crassum. Margines crenati, anguli profundius inciso-lobulati. Lobuli apice crenato aut subdivisio. Nucleus regulariter triangularis, punctulatus, fissuris volvatis in centro apertis.

Diam. 0,075 mm. Diam. nucl. 0,032 mm. (Tab. XXII. fig. 41. G. fig. a). In carbone compacta. Metschowk. „Stigmarienkohle.“

Subdivisio L. Exosporium aequaliter incrassatum imperfecte de nucleo separatum. Nucleus et Exosporium cum substantia granulosa partim cohaerentia.

377. Corpus regulariter triangulare. Exosporium indistincte evolutum, crassum, lamina imperfecte evoluta de nucleo separatum. Nucleus homogeneus fissuris irregulariter apertis, $\frac{2}{3}$ diametri radii nuclei longis.

Diam. 0,084 mm. (Tab. IXLIX. C. fig. 53). Bexbach, Saarbrücken (Prussia Rhen.).

378. Corpus triangulare, marginibus subundatis. Exosporium $\frac{1}{4}$ nuclei diametri crassum, irregulariter laminosum, inhomogeneum, ex substantia granulosa et ex substantia cavernulis minoribus impleta formatum. Substantia granulosa nuclei in uno latere connecta cum substantia granulosa Exosporii.

Diam. 0,14 mm. Diam. nucl. 0,113 mm. (Tab. XX. fig. 146. A). „Stigmarienkohle.“

379. Corpus ovato-triangulare. Exosporium imperfecte disjunctum de Nucleo, $\frac{1}{6}$ nuclei diametri crassum, subhomogeneum, partim connectum cum substantia Nuclei. Fissurae $\frac{2}{3}$ radii nuclei longae.

Diam. 0,11 mm. Diam. nucl. 0,089 mm. (Tab. XXVIII. fig. 66. A). Zwickau.

380. Corpus triangulare, marginibus undatis. Exosporium imperfectum disjunctum de Nucleo, $\frac{1}{5}$ nuclei diametri crassum, homogeneum, partim cum substantia nuclei connectum. Fissurae excentrice positaе, inaequales.

Diam. 0,125 mm. Diam. nucl. 0,1 mm. (Tab. XXVIII. fig. 151. A). Zwickau.

Subtribus II. Nucleus semiellipticus.

Subdivisio LI. Exosporium tenuissimum membranaceum, integrum.

381. Corpus semiellipticum. Exosporium dispersis nodulis. Fissurae inaequales usque ad angulos pertinentes.

Long. 0,05 mm. Lat. 0,031 mm. (Tab. XLIII. fig. 154. B). „Stigmarienkohle.“

382. Corpus semiellipticum. Exosporium et nucleus imperfecte conservata. Exosporium punctulatum.

Long. 0,053 mm. Lat. 0,035 mm. (Tab. XXIX. fig. 152). Bexbach (Bavaria Rhenana).

383. Corpus late semiellipticum. Exosporium punctulato-granulatum, fissurae margines non attingentes.

Long. 0,042 mm. Lat. 0,035 mm. (Tab. XXIX. fig. 154). Malowka.

384. Corpus oblongo-semiellipticum. Exosporium verruculis dispersis. Fissurae indistinctae, inaequales.

Long. 0,31 mm. Malowka.

385. Corpus regulariter semi-ellipticum, marginibus subcrenulatis. Exosporium crassiusculum ($\frac{1}{4}$ nuclei diametri transversalis), granulatum. Fissurae distinctae radiales.

Long. 0,03 mm. (Tab. XXXIX. fig. 152. A). Kurakinskije.

386. Exosporium crassiusculum marginibus subcrenulatis ($\frac{1}{5}$ — $\frac{1}{6}$ nuclei diametri transversalis) furfuraceo-granulatum, fissurae $\frac{2}{3}$ diametri longae, volvatae.

Long. 0,069 mm. Lat. 0,05 mm. (Tab. XXXIV. fig. 152. B). Zwickau.

387. Exosporium crassiusculum, marginibus subcrenulatis, verruculoso-exasperatum. Fissurae recurvae, extra centrum corporis positaе.

Long. 0,151 mm. Lat. 0,1 mm. (Tab. XXXIX. fig. 154. A). Zwickau.

Subdivisio LII. Exosporium tenerum, lacunoso-perforatum, lacunulis angulosis et parenchymatice conjunctis.

388. Corpus late semiellipticum, marginibus subundulatis. Exosporium lacunoso-perforatum, lacunulis in seriebus dispositis angulosis.

Long. 0,05 mm. Lat. 0,042 mm. (Tab. XXIX. fig. 155). Zwickau.

389. Corpus regulariter semiellipticum, marginibus undulato-crenatis. Exosporium regulariter lacunosoperforatum, lacunulis angulosis, diametro $\frac{1}{12}$ diametri transversalis.

Long. 0,087 mm. Lat. 0,059 mm. (Tab. XXIX. fig. 156). Malowka.

390. Corpus regulariter semiellipticum, marginibus denticulatis. Exosporium regulariter lacunosoperforatum, lacunulis angulosis in angulis apiculatis, diametro $\frac{1}{8}$ diametri transversalis.

Long. 0,091 mm. Lat. 0,056 mm. (Tab. XXXIX. fig. 156. A). Zwickau.

391. Corpus semiovato-ellipticum marginibus integerrimis. Exosporium crassiusculum, regulariter lacunosoperforatum, lacunulis angulosis, in angulis nudis, diametro $\frac{1}{12}$ diametri transversalis.

Long. 0,11 mm. Lat. 0,088 mm. (Tab. XXXIX. fig. 156. B). Zwickau.

Subdivisio LIII. Exosporium aequaliter incrassatum, membranaceum, homogenum, glaberrimum.

392. Corpus regulariter semiellipticum. Exosporium $\frac{1}{4}$ nuclei diametri transversalis. Nucleus lacunosopunctulatus. Fissurae concentricae.

Long. 0,087 mm. Lat. 0,069 mm. (Tab. XXIX. fig. 158). „Blätterkohle.“

393. Corpus irregulariter semiellipticum. Exosporium inaequaliter incrassatum usque $\frac{1}{2}$ diametri transversalis nuclei crassum. Nucleus punctulatus, fissuris imperfecte evolutis.

Long. 0,078 mm. Lat. 0,053 mm. Long. nucl. 0,05 mm. (Tab. XXXIX. fig. 163. B). „Blätterkohle.“

394. Triletes, in singulo idemque imperfecto sed determinabili Specimine observatus, hoc loco est ponendus.

Corpus regulariter? semiellipticum. Exosporium membranaceum inaequaliter incrassatum, in angulis $\frac{2}{3}$ diametri longitudinalis. Nucleus regulariter semiellipticus.

Long. 0,48 mm. Lat. 0,181 mm. Nucl. Long. 0,138 mm. Lat. 0,129 mm. (Tab. XLIX. fig. 158. B. magn. $\frac{1}{1}$). In carbone compacta. Lewino.

Subdivisio LIV. Exosporium incrassatum, $\frac{1}{3}$ — $\frac{1}{4}$ diametri transversalis nuclei, plus minusve regulariter circumscriptum, granulosum et granuloso-verruculosum.

395. Corpus et nucleus regulariter semiellipticum. Exosporium $\frac{1}{3}$ — $\frac{1}{4}$ diametri transversalis nuclei, verruculoso-exasperatum. Nucleus punctulatus.

Long. 0,125 mm. Lat. 0,084 mm. Nucl. Long. 0,084 mm. Lat. 0,053 mm. (Tab. XXIX. fig. 162): Metschowk. Saepissime occurrunt in superficie parasitulae.

396. Corpus et nucleus regulariter semiellipticum. Exosporium $\frac{1}{3}$ diametri transversalis nuclei granulato-exasperatum. Nucleus indistinctius inaequaliter divisus.

Long. 0,075 mm. Lat. 0,053 mm. Nucl. Long. 0,05 mm. Lat. 0,028 mm. (Tab. XXIX. fig. 161). Zwickau.

397. Corpus et nucleus irregulariter semiellipticum. Exosporium in angulis crassius, punctulato-granulatum. Nucleus indistincte divisus.

Long. 0,069 mm. Lat. 0,031 mm. (Tab. XXIX. fig. 160). Metschowk.

Formam huc pono, nucleo imperfecte semielliptico et indistinctius diviso, Exosporio $\frac{1}{2}$ diametri transversalis nuclei crasso. Long. 0,059 mm. Lat. 0,039 mm. (Tab. XXIX. fig. 157).

398. Corpus et nucleus irregulariter semiellipticum. Exosporium inaequaliter incrassatum, densius verruculosum. Nucleus verruculosus indistincte divisus.

Long. 0,115 mm. Lat. 0,081 mm. Nucl. Long. 0,078 mm. Lat. 0,053 mm. (Tab. XXIX. fig. 163). Malowka.

399. Corpus et nucleus irregulariter semiellipticum. Exosporium inaequaliter incrassatum, furfuraceo-granulatum. Nucleus excentricus granulatus, fissuris distinctis.

Long. 0,126 mm. Lat. 0,087 mm. Nucl. Long. 0,056 mm. Lat. 0,05 mm. (Tab. XXIX. fig. 164). Metschowk, Malowka.

400. Corpus et nucleus regulariter semiellipticum. Exosporium inaequaliter incrassatum, marginibus crenato-denticulatis, et interna parte verruculis in seriebus concentricis dispositis exasperata, angulis angulosis, acutiusculis. Nucleus verruculoso-granulatus, fissuris latioribus longioribus.

Long. 0,087 mm. Lat. 0,066 mm. Nucl. Long. 0,059 mm. Lat. 0,042 mm. (Tab. XXXIX. fig. 161. A).
Zwickau.

Subdivisio LV. Exosporium aequaliter incrassatum, verruculis obtectum.

401. Corpus et nucleus regulariter semiellipticum. Exosporium inaequaliter incrassatum, verruculis acutiusculis obtectum, $\frac{2}{3}$ diametri transversalis. Nucleus fissuris regularibus.

Long. 0,056 mm. Lat. 0,042 mm. Nucl. Long. 0,024 mm. Lat. 0,02 mm. (Tab. XXIX. fig. 165).
Malowka.

402. Corpus ovato-semiellipticum, marginibus serrulato-dentatis. Exosporium $\frac{1}{4}$ diametri transversalis nuclei crassum, margines verrucis acutiusculis obtecti. Nucleus irregulariter divisus.

Long. 0,066 mm. Lat. 0,046 mm. Nucl. Long. 0,053 mm. Lat. 0,025 mm. (Tab. XXIX. fig. 166).
Zwickau.

Subdivisio LVI. Exosporium aequaliter incrassatum, $\frac{1}{3}$ nuclei diametri crassum, in tota superficie cavernulis angulatis et rotundatis densius impletum.

403. Corpus late ovato-semiellipticum, marginibus serrulato-dentatis. Exosporium usque $\frac{1}{2}$ nuclei diametri crassum, cavernulis minoribus impletum.

Long. 0,063 mm. Lat. 0,05 mm. Nucl. Long. 0,042 mm. Lat. 0,025 mm. (Tab. XXIX. fig. 167).
Zwickau.

404. Corpus ovato-semiellipticum, marginibus crenulatis. Exosporium cavernulis majoribus rotundatis impletum.

Long. 0,084 mm. Lat. 0,053 mm. (Tab. XXXIX. fig. 156. C). Lewino.

405. Corpus late ovato-semiellipticum. Exosporium cavernulis majoribus angulatis impletum.

Long. 0,056 mm. Lat. 0,05 mm. (Tab. XLIX. fig. 156. F). „Stigmarienkohle.“

406. Corpus late ovato-semiellipticum, marginibus crenulatis. Exosporium cavernulis minoribus rotundatis impletum.

Long. 0,046 mm. Lat. 0,035 mm. (Tab. XXIX. fig. 169). „Stigmarienkohle.“

407. Corpus late semi-ellipticum, marginibus crenulato-undulatis. Exosporium cavernulis majoribus rotundatis (13 is — 15 is) impletum.

Long. 0,069 mm. Lat. 0,056 mm. (Tab. XXIX. fig. 168). „Blätterkohle.“

Subdivisio LVII. Exosporium aequaliter incrassatum $\frac{1}{2}$ nuclei diametri crassum, in marginibus cavernularum serie impletum.

408. Corpus ovato-semiellipticum, marginibus integerrimis. Exosporium cavernulis oblongis latioribus (22 is — 25 is) impletum. Nucleus lacunosus.

Long. 0,069 mm. Lat. 0,048 mm. Nucl. Long. 0,042 mm. (Tab. XXXIX. fig. 168. A). „Blätterkohle.“

409. Corpus late ovato-semiellipticum, marginibus late inciso-crenatis. Exosporium serie singula cavernularum rotundatarum (10 μ m — 13 μ m) impletum. Nucleus fissuris volvatis.

Long. 0,063 mm. Lat. 0,042 mm. (Tab. XL. fig. 172. A). In carbone compacta. Kurakinskije.

410. Corpus late ovato-semiellipticum, marginibus crenato-dentatis. Exosporium serie singula cavernularum oblongarum (23 μ m — 25 μ m) impletum. Nucleus granulatus indumento granulato involutus.

Long. 0,056 mm. Lat. 0,029 mm. Nucl. Long. 0,029 mm. (Tab. XLIII. fig. 168. B). „Stigmarienkohle.“

Subdivisio LVIII. Exosporium aequaliter incrassatum, subtiliter laminosum.

411. Corpus late ovato-semiellipticum. Exosporium subtiliter laminosum. Nucleus verruculosus, fissuris dupliciter tripartitis.

Long. 0,105 mm. Lat. 0,066 mm. Nucl. Long. 0,065 mm. (Tab. XXXI. fig. 202). Bexbach (Bavaria Rhen.).

412. Corpus irregulariter ovato-semiellipticum, marginibus integerrimis. Exosporium homogenum, subtiliter laminosum. Nucleus fissuris et margine interiore late volvatis.

Long. 0,36 mm. Lat. 0,294 mm. Nucl. Long. 0,185 mm. Lat. 0,125 mm. (Tab. XLIII. fig. 164. A).

413. Corpus irregulariter late ovato-semiellipticum, marginibus subundatis. Exosporium subtiliter laminosum granulatum. Nucleus indistincte divisus.

Long. 0,087 mm. Lat. 0,078 mm. Nucl. Long. 0,059 mm. (Tab. XXXIX. fig. 163. A). Zwickau.

Subdivisio LIX. Exosporium aequaliter incrassatum, marginibus imperfecte incisis.

414. Corpus late ovato-semiellipticum. Exosporium $\frac{2}{3}$ diametri transversalis nuclei crassum, marginibus inaequaliter lobulatis. Nucleus fissuris irregularibus, granulatus.

Long. 0,063 mm. Lat. 0,05 mm. Nucl. Long. 0,035 mm. (Tab. XL. fig. 174. A). Zwickau.

415. Corpus regulariter semiellipticum, marginibus late inciso crenatis. Exosporium $\frac{1}{2}$ diametri transversalis nuclei, glaberrimum in lobulos subaequales (10os — 11os) imperfectius divisum. Nucleus fissuris regularibus late volvatis.

Long. 0,115 mm. Lat. 0,077 mm. Nucl. Long. 0,063 mm. Lat. 0,043 mm. (Tab. XXXIX. fig. 158. A). „Stigmarienkohle.“

416. Corpus irregulariter late ovato-semiellipticum, marginibus in lobulos distinctiores complures inaequaliter divisus. Exosporium $\frac{1}{2}$ diametri nuclei crassum, introrsum subtiliter laminosum. Nucleus marginibus emarginatis, fissuris irregularibus.

Long. 0,069 mm. Lat. 0,066 mm. Nucl. Long. 0,039 mm. (Tab. XXIX. fig. 174). Malowka.

Subdivisio LX. Exosporium subaequaliter incrassatum, usque $\frac{1}{2}$ diametri transversalis nuclei crassum. Nucleus lamina granulosa et lacunulosa, extrorsum marginibus irregulariter exciso-dentatis limitata involuta.

417. Corpus subregulariter late ovato-semiellipticum, marginibus irregulariter subundatis. Exosporium glaberrimum. Lamina nucleum involvens usque $\frac{1}{3}$ Exosporii crassitudinis. Nucleus verruculosus, fissuris excentricis, marginibus volvatis.

Long. 0,16 mm. Lat. 0,125 mm. Nucl. Long. 0,084 mm. Lat. 0,066 mm. (Tab. XXXIX. fig. 173. A). Stigmarienkohle.

Subdivisio LXI. Exosporium aequaliter incrassatum, homogeneous, $\frac{1}{2}$ diametri transversalis nuclei crassum. Nucleus lamina, ex serie singula granulorum minutissimorum moniliforme juxta positorum formata, involutus et de Exosporio sejunctus.

† Exosporium glaberrimum.

418. Corpus ovato-semiellipticum. Exosporium homogeneous. Lamina granulorum de nuclei indumento sejuncta.

Long. 0,039 mm. Lat. 0,025 mm. (Tab. XXIX. fig. 159). „Stigmarienkohle.“

419. Corpus semiellipticum. Exosporium glaberrimum. Lamina granulorum breviter pedicellatorum cum indumento nuclei conjuncta. Nucleus punctulatus.

Long. 0,053 mm. Lat. 0,03 mm. Nucl. Long. 0,024 mm. (Tab. XLIII. fig. 159. A). Stigmarienkohle.“

†† Exosporium singulis nodulis obtectum aut verruculosum.

420. Corpus irregulariter late ovato-semiellipticum, margine singulis nodulis. Lamina granulorum breviter pedicellatorum cum indumento nuclei conjuncta.

Long. 0,042 mm. Lat. 0,031 mm. Nucl. Long. 0,024 mm. (Tab. XXXIX. fig. 164. A). Zwickau.

421. Corpus semiellipticum. Exosporium homogeneous, margine et superficie verruculis obtectum. Granula de nuclei indumento sejuncta. Nucleus punctulatus.

Long. 0,053 mm. Lat. 0,031 mm. Nucl. Long. 0,031 mm. (Tab. XLIII. fig. 159. B). „Stigmarienkohle.“

Subdivisio LXII. Exosporium usque $\frac{1}{2}$ diametri transversalis nuclei crassum. Nucleus lamina, ex serie singula granulorum majorum moniliforme juxta positorum formata, involutus.

422. Corpus late semiellipticum. Exosporium marginibus singulis verruculis obtectum. Granula globuliformia dense juxta posita nucleo insidentia.

Long. 0,063 mm. Lat. 0,051 mm. Nucl. Long. 0,039 mm. Lat. 0,028 mm. (Tab. XLIX. fig. 173. A). „Stigmarienkohle.“

Subdivisio LXIII. Exosporium aequaliter incrassatum, $\frac{1}{2}$ diametri transversalis nuclei crassum, interna pars ex lamina, cavernulis prolongatis juxta positis dense repletis, formata.

423. Corpus semiellipticum, marginibus subrepandis. Lamina cavernulorum $\frac{1}{2}$ Exosporii crassitudinis paulo magis. Nucleus punctulatus, fissuris apertis.

Long. 0,063 mm. Lat. 0,039 mm. Nucl. Long. 0,039 mm. (Tab. XXIX. fig. 173). Malowka.

Subdivisio LXIV. Exosporium aequaliter incrassatum, $\frac{1}{2}$ nuclei diametri transversalis crassum, cum tota superficie marginulis longitudinalibus dentato serratis circumclusa.

424. Corpus regulariter semiellipticum. Nucleus punctulatus.

Long. 0,039 mm. Lat. 0,021 mm. Nucl. Long. 0,022 mm. (Tab. XXXIX. fig. 166. A. Tab. XLIII. fig. 152. B). „Stigmarienkohle“ in carbone compacta. Metschowk.

Subdivisio LXV. Exosporium aequaliter incrassatum, superficie tota volvis prominentibus parenchymatice inter se conjunctis et areolis angulis disjunctis inducta.

425. Volvae prominentes in angulis areolarum cum substantia paulo producta in conulos breves terminantes.

Long. 0,095 mm. Lat. 0,059 mm. (Tab. XLIII. fig. 156. D). Metschowk.

Subdivisio LXVI. Exosporium aequaliter incrassatum $\frac{1}{2}$ diametri transversalis nuclei crassum, verrucis crassis, subconicis obtectum.

426. Exosporium marginibus 9is — 10is verrucis obtectum.

Long. 0,105 mm. Lat. 0,078 mm. (Tab. XXIX. fig. 170). Metschowk.

427. Exosporium marginibus 14is — 16is verrucis obtectum.

Long. 0,055 mm. Lat. 0,039 mm. (Tab. XLIII. fig. 174. B.) Metschowk.

Subdivisio LXVII. Exosporium inaequaliter incrassatum, inhomogeneum, irregulariter laminosum, et in lobulos irregulares subdivisum, usque $\frac{1}{2}$ nuclei diametri transversalis crassum.

428. Exosporium irregulariter lobulatum, lobulis verruculoso-exasperatis, de substantia interne separatis. Nucleus fissuris late volvatis.

Long. 0,133 mm. Lat. 0,078 mm. (Tab. XLIV. fig. 170. A). „Stigmarienkohle.“

429. Exosporium irregulariter incrassatum et lobulatum, substantia interna irregulariter laminosa et cavernulis compluribus repleta.

Long. 0,148 mm. Lat. 0,115 mm. Nucl. Long. 0,081 mm. Lat. 0,063 mm. (Tab. XLIII. fig. 163. D).

Subdivisio LXVIII. Exosporium incrassatum, $\frac{1}{2}$ — $\frac{1}{4}$ diametri transversalis nuclei crassum, volvis latis obtectum, aut superficiem totam aut nucleum inducentibus.

† Volvis latis Nucleum inducentibus.

430. Corpus irregulariter semiellipticum, marginibus undatis. Exosporium $\frac{1}{2}$ nuclei diametri transversalis crassum, bilaminosum. Nucleus volvis recurvis latis inductus.

Long. 0,078 mm. Lat. 0,056 mm. Nucl. Long. 0,057 mm. (Tab. XLIII. fig. 172. C). Kurakinskije.

431. Corpus regulariter semiellipticum. Exosporium $\frac{1}{4}$ diametri transversalis nuclei crassum, subtiliter punctulato-lamellosum. Nucleus volvis latis recurvis inductus.

Long. 0,095 mm. Lat. 0,078 mm. Nucl. Long. 0,063 mm. Lat. 0,057 mm. (Tab. XLIII. fig. 171. E). Zwickau.

432. Corpus irregulariter semiellipticum marginibus subundatis. Exosporium $\frac{1}{2}$ nuclei diametri transversalis crassum, interna pars granulata et de exteriori parte distincte separata. Nucleus granulatus volvis latis recurvis inductus.

Long. 0,1 mm. Lat. 0,066 mm. Nucl. Long. 0,063 mm. Lat. 0,046 mm. (Tab. XLIII. fig. 171. D). „Blätterkohle“

433. Corpus regulariter semiellipticum. Exosporium $\frac{1}{4}$ diametri transversalis nuclei crassum, homogeneum. Nucleus granulatus, volvis compluribus latis longitudinaliter inductus.

Long. 0,125 mm. Lat. 0,082 mm. Nucl. Long. 0,01 mm. Lat. 0,059 mm. (Tab. XLIII. fig. 163. C). Zwickau, inter aliis Triletibus.

††. Volvis latis et Exosporium et Nucleum inducentibus.

434. Corpus irregulariter semiellipticum marginibus undatis. Exosporium $\frac{1}{2}$ nuclei diametri transversalis crassum et nucleus granulosus volvis 3is—4is latis inductum.

Long. 0,078 mm. Lat. 0,056 mm. Nucl. Long. 0,05 mm. Lat. 0,031 mm. (Tab. XXIX. fig. 172). Malowka.

435. Corpus usque fere ovato-ellipticum, marginibus undatis. Exosporium et nucleus volvis 5is—6is latis inductum.

Long. 0,046 mm. Lat. 0,039. mm. Nucl. Long. 0,031 mm. (Tab. XLIII. fig. 171. F). Metschowk.

436. Corpus irregulariter semiellipticum. Exosporium et nucleus prominentibus volviformibus 3is latissimis inductum.

Long. 0,059 mm. Lat. 0,028 mm. (Tab. XXIX. fig. 171). „Stigmarienkohle.“

437. Corpus late semiellipticum, marginibus undatis. Exosporium $\frac{1}{3}$ nuclei diametri transversalis crassum, et nucleus volvis latis 4is—5is rotundatis inductum.

Long. 0,075 mm. Lat. 0,059 mm. Nucl. Long. 0,053 mm. Lat. 0,042 mm. (Tab. XL. fig. 171. C). „Stigmarienkohle.“ In carbone compacta. Kurakinskije.

438. Corpus late semiellipticum. Exosporium inaequaliter incrassatum, usque $\frac{1}{2}$ nuclei diametri transversalis crassum, et nucleus volvis indistinctioribus 2is aut 3is inductum.

Long. 0,053 mm. Lat. 0,046 mm. (Tab. XXXIX. fig. 171. A). „Blätterkohle.“

Subdivisio LXXIX. Exosporium incrassatum, lacunis regularibus aut irregulariter limitatis perforatum, et prominentiis volviformibus aut verruciformibus obtectum.

439. Corpus semiellipticum, marginibus crenato undulatis. Exosporium et nucleus prominentiis volviformibus triangulatim dispositis obtectum. Fissurae regulariter dispositae a volvis perfossae.

Long. 0,066 mm. Lat. 0,059 mm. (Tab. XL. fig. 171. B). Zwickau.

Subtribus III. Nucleus ellipticus.

Subdivisio LXX. Exosporium tenerrimum glaberrimum $\frac{1}{15}$ — $\frac{1}{50}$ diametri transversalis corporis; Nucleus punctulatus et verruculoso-granulatus.

† Formae minores.

440. Corpus regulariter ellipticum, nucleo granulato, fissuris tenuissimis, Exosporio tenuissimo.

Long. 0,059 mm. Lat. 0,05 mm. (Tab. XL. fig. 175 C.). Zwickau.

441. Corpus regulariter ellipticum, nucleo subtiliter punctulato, fissuris tenuissimis, Exosporio tenuissimo.

Long. 0,053 mm. Lat. 0,042 mm. (Tab. XL. fig. 175 B.). Zwickau.

442. Corpus regulariter ellipticum, nucleo granulato-punctulato, fissuris in centro corporis positae brevioribus usque $\frac{1}{2}$ diametri corporis longis, marginibus volvatis.

Long. 0,095 mm. Lat. 0,077 mm. (Tab. XXX. fig. 175). Zwickau.

443. Corpus regulariter ellipticum, nucleo inaequaliter verruculoso-granulato, fissuris brevioribus extra centrum corporis positae marginibus volvatis, Exosporio crassiusculo, $\frac{1}{15}$ corporis diametri transversalis.

Long. 0,059 mm. Lat. 0,053 mm. (Tab. XLI. fig. 178. E.). Zwickau.

444. Corpus irregulariter ellipticum, saepius plicatum, Exosporio crassiusculo, Nucleo punctulato, fissuris subtilioribus.

Long. 0,069 mm. Lat. 0,05 mm. (Tab. XL. fig. 175. A.). Zwickau.

†† Formae magnae.

445. Corpus regulariter ovato ellipticum, Exosporio crassiusculo, $\frac{1}{28}$ corporis diametri transversalis crasso, subhomogeneo, in polo singulo incrassato et paulo rostriformiter producto, Nucleo granuloso-verruculoso et fissuris longioribus regulariter triangulatis e centro positis, marginibus late volvatis.

Maxima forma Triletum ellipticorum.

Long. 1,11 mm. Lat. 0,827 mm. Exospor. 0,028 mm. Long. fissur. 0,33 mm. (Tab. XLIV. fig. 176. E.). Specimen horizontaliter dissectum magn. $\frac{1}{2}$). In carbone laminosa. Bexbach (Bavaria Rhen.). In planitiebus fissis carbonis compactae apparent impressiones circulares nudis oculis bene discernendae. Disculi minutuli per scalpellum facile disjungi possunt de carbone et sicut lamina lapidosa in tabula vitrea praeparari possunt ad assequendas sectiones microscopicas.

446. Corpus regulariter ovato-ellipticum, polo singulo paulo attenuato, Exosporio crassiusculo, $\frac{1}{36}$ corporis diametri transversalis crasso, subhomogeneo, Nucleo granuloso-verruculoso et fissuris inaequalibus, extra centrum corporis decurrentibus, late volvatis.

Long. 0,508 mm. Lat. 0,405 mm. Exospor. 0,017 mm. (Tab. XXX. fig. 176. Specimen naturale ex carbone compacta dissolutione cum kalio caustico acceptum. Magn. $\frac{1}{4}$). „Devonische Kohle.“ In carbone laminosa a Bexbach inveniuntur Specimina, quae exacte congruunt in magnitudine ac structura cum Speciminibus formationis Rossiae.

447. Corpus regulariter ovato-ellipticum, polo singulo paulo attenuato, Exosporio crassiusculo, $\frac{1}{36}$ corporis diametri transversalis crasso, ex binis laminis composito, Nucleo granuloso-verruculoso et fissuris subaequalibus, late volvatis.

Long. 0,527 mm. Lat. 0,430 mm. Exosp. 0,014 mm. (Tab. XL. fig. 176 A.). Specimen horizontaliter percussum. Magn. $\frac{1}{4}$). In vena carbonis, substantia elastica immixta. Zwickau. Specimina in „Devonische Kohle“ maxime consentiunt in structura. Long. 0,495 mm. Lat. 0,384 mm.

448. Corpus regulariter ovato-ellipticum, Exosporio tenuissimo, $\frac{1}{68}$ corporis diametri transversalis crasso, ex lamina singulo composito, Nucleo et Exosporio subtiliter verruculoso, fissuris insymmetrice positis, marginibus late volvatis.

Long. 0,59 mm. Lat. 0,496 mm. Exospor. 0,007 mm. (Tab. XLIV. fig. 176. F). Specimen in polo incompletum. Magn. $\frac{1}{2}$ fig. a. Exosporii pars major aucta. „Devonische Kohle.“

Subdivisio LXXI. Exosporium tenerimum, $\frac{1}{20}$ corporis diametri transversalis crassum. Nucleus verruculosus.

† Nucleus singulis verruculis dispersis.

449. Corpus regulariter ellipticum, Exosporio singulis verruculis dispersis, Nucleo punctulato, fissuris regularibus.

Long. 0,039 mm. Lat. 0,031 mm. (Tab. XLIII. fig. 177. B). Zwickau.

450. Corpus regulariter ellipticum, Exosporio et Nucleo singulis verruculis dispersis.

Long. 0,031 mm. Lat. 0,024 mm. (Tab. XXX. fig. 177). Zwickau. In carbone compacta. Kurakinskije.

451. Corpus regulariter ellipticum, Exosporio et Nucleo singulis verruculis dispersis.

Long. 0,020 – 0,022 mm. (Tab. XLIII. fig. 177. A).

†† Nucleus et Exosporium densius verruculosum.

452. Corpus regulariter ellipticum; Exosporio et Nucleo densius verruculis oblecto.

Long. 0,039 mm. Lat. 0,031 mm. (Tab. XXX. fig. 178). In carbone compacta. Kurakinskije.

453. Corpus regulariter ellipticum, Exosporio et Nucleo granulis densius oblecto.

Long. 0,05 mm. Lat. 0,042 mm. (Tab. XLIV. fig. 178. F. fig. a. Exosporii pars major aucta). Lewino.

453. A. Corpus regulariter ovato-ellipticum, Exosporio et Nucleo verruculis rotundatis dense obtecto. Long. 0,053 mm. Lat. 0,042 mm. (Tab. XLIV. fig. 178. G. fig. a. Exosporii pars major aucta). „Stigmariankohle.“

Subdivisio LXXII. Exosporium tenerrimum, spinulis gracilioribus densius obtectum.

454. Corpus regulariter ellipticum, Exosporio et nucleo spinulis subtilioribus densius obtecto. Long. 0,025 mm. Lat. 0,022 mm. (Tab. XLIX. C. fig. 178. G). Malowka.

455. Corpus regulariter ellipticum, Exosporio et nucleo spinulis acutis laxius positis obtecto. Long. 0,052 mm. Lat. 0,046 mm. (Tab. XLIV. fig. 177. C). Lewino.

Subdivisio LXXIII. Exosporium subincrassatum, $\frac{1}{16}$ — $\frac{1}{18}$ corporis diametri transversalis crassum, cum nucleo verrucis densissime obtectum.

456. Corpus regulariter ellipticum, verrucis rotundatis minoribus, breviter cylindraceis, densissime obtectum. Fissurae excentrice positae, breviores.

Long. 0,075 mm. Lat. 0,066 mm. (Tab. XLV. fig. 180. H. fig. a. Exosporii pars cum nucleo major aucta). „Stigmarienkohle.“

457. Corpus regulariter ellipticum, verrucis rotundatis latioribus subconicis in seriebus parallelis dispositis densissime obtectum.

Long. 0,063 mm. Lat. 0,056 mm. (Tab. XLV. fig. 180. I). Stigmarienkohle et in carbone compacta. Metschowk.

458. Corpus regulariter ellipticum, verrucis rotundatis latioribus subconicis in seriebus parallelis dispositis densissime obtectum.

Long. 0,084 mm. Lat. 0,066 mm. (Tab. XLV. fig. 180. F). „Stigmarienkohle.“

Subdivisio LXXIV. Exosporium subincrassatum, subtiliter laminosum. Superficies Exosporii est divisa in areolas binas inaequales per prominentiam liniiformem in axi longitudinali Corporis decurrentem. Lamina interna areolae majoris et prominentiae lamina externa cum serie singula granulorum oblongorum denticuliforme juxta positorum ornata.

459. Corpus regulariter ovato ellipticum, polis paulo altenuatis. Fissurae excentrice positae de laminis interioribus discessis de laminis exterioribus Exosporii limitantur.

Long. 0,129 mm. Lat. 0,11 mm. (Tab. XLIII. fig. 154. A). „Stigmarienkohle.“

Subdivisio LXXV. Exosporium subincrassatum, ex laminis binis compositum. Lamina interna reticulato-lacunoso perforato, lamina externa homogenea.

460. Corpus ovato-ellipticum, polis late rotundatis. Lamina externa Exosporii $\frac{1}{16}$ corporis diametri transversalis crassa, lamina interna lacunulis irregulariter limitatis cribrose perforata. Fissurae in centro corporis positae marginibus undato-volvatis.

Long. 0,11 mm. Lat. 0,084 mm. (Tab. XLIII. fig. 156. E). „Devonische Kohle.“

Subdivisio LXXVI. Exosporium subincrassatum, prominentiis volviformibus parenchymatico-reticulari cohaerentibus obtectum.

461. Corpus regulariter ovato-ellipticum, marginibus dispersis nodulis latis. Anguli areolarum laterum rectangularum in conulos breves producti.

Long. 0,087 mm. Lat. 0,069 mm. (Tab. XLV. fig. 180. E). Metschowk.

462. Corpus ovoideo-ellipticum, marginibus crenulatis. Substantia inter areolas rotundatas minores in conulos breves producta.

Long. 0,056 mm. Lat. 0,046 mm. (Tab. XLIV. fig. 118. D). Metschowk.

Subdivisio LXXVII. Exosporium subincrassatum, $\frac{1}{14}$ — $\frac{1}{50}$ corporis diametri transversalis crassum, lacunosum perforatum, lacunulis majoribus et minoribus rotundatis.

✦ Exosporium lacunulis minoribus perforatum.

463. Corpus regulariter ovali-ellipticum, marginibus crenulato undulatis. Exosporii tota superficies lacunulis rotundatis perforata. Fissurae tenerrimae.

Long. 0,091 mm. Lat. 0,078 mm. (Tab. XL. fig. 175. D). Zwickau.

464. Corpus ovato, ellipticum, polis obtusis, usque fere subrectangulare, marginibus subundulatis. Exosporii superficies subtiliter perforato-lacunosa et verruculosa.

Long. 0,066 mm. Lat. 0,046 mm. (Tab. XL. fig. 178. C). „Blätterkohle.“

465. Corpus regulariter late ovato-ellipticum, marginibus integerrimis. Exosporii bilamellosi tota superficies lacunulis rotundatis perforata. Fissurae tenerrimae.

Diam. 0,164 mm. Lat. 0,145 mm. (Tab. XLI. fig. 176. D). Zwickau.

✠✠ Exosporium lacunulis majoribus subangulosis perforatum.

466. Corpus regulariter late ovato-ellipticum marginibus integerrimis. Exosporium canaliculis supra lacunas cylindraceis usque ad superficiem exteriorem apertis cribrose perforatum. Lacunulae majores subrotundatae. Fissurae extra centrum corporis positae apertae, et marginibus latius volvatis.

Long. 0,157 mm. Lat. 0,135 mm. (Tab. XLI. fig. 180. A). In carbone compacta. Kurakinskije.

467. Corpus late ovato-ellipticum, marginibus crenato-undulatis. Exosporium lacunis majoribus angulosis perforatum. Fissurae in centro corporis positae usque ad margines pertinentes, ab areolis superficieis intersectae.

Long. 0,088 mm. Lat. 0,079 mm. (Tab. XXX. fig. 180). In carbone compacta. Lewino.

468. Corpus late ovato-ellipticum, marginibus undatis. Exosporium $\frac{1}{10}$ diametri transversalis crassum homogeneous, superficies interna lacunulis majoribus subangulatis perforata.

Long. 0,047 mm. Lat. 0,035 mm. (Tab. XLIV. fig. 180. B). Metschowk.

Subdivisio LXXVIII. Exosporium aequaliter incrassatum, $\frac{1}{5}$ — $\frac{1}{16}$ corporis diametri transversalis crassum, homogeneous, integerrimum. Formae majores.

✠ Exosporium $\frac{1}{12}$ — $\frac{1}{16}$ corporis diametri transversalis crassum.

469. Corpus irregulariter late ovato-ellipticum. Exosporium $\frac{1}{12}$ diametri transversalis corporis crassum, subtiliter punctulatum; fissuris excentrice positae brevioribus.

Long. 0,078 mm. Lat. 0,05 mm. (Tab. XL. fig. 178. A). Specimen parasitulis globuliformibus obtectum). Zwickau.

470. Corpus regulariter late ovato-ellipticum. Exosporium $\frac{1}{16}$ corporis diametri transversalis crassum, tota superficies grossius verruculosa. Fissurae in centro dispositae, saepius late apertae.

Long. 0,135 mm. Lat. 0,115 mm. (Tab. XLV. fig. 189. B). Zwickau. In carbone laminosa.

471. Corpus ovato-ellipticum. Exosporium $\frac{1}{10}$ diametri transversalis corporis crassum, exasperatum. Fissurae in Centro dispositae, breviores, volvatae.

Long. 0,138 mm. Lat. 0,115 mm. (Tab. XLI. fig. 191. A). Zwickau.

✠✠ Exosporium $\frac{1}{5}$ — $\frac{1}{10}$ corporis diametri transversalis crassum.

472. Corpus ovato-ellipticum Exosporio punctulato, Nucleo verruculoso, fissuris excentricis longioribus, volvatis.

Long. 0,118 mm. Lat. 0,091 mm. (Tab. XLI. fig. 189. A). Zwickau.

473. Corpus late ovato-ellipticum, Exosporio $\frac{1}{8}$ corporis diametri transversalis crasso, furfuraceo-verruculoso, Nucleo punctulato fissuris in Centro positae longioribus.

Long. 0,113 mm. Lat. 0,105 mm. (Tab. XXXI. fig. 189). In carbone compacta. Malowka.

474. Corpus irregulariter late ovato-ellipticum, Exosporio $\frac{1}{7}$ — $\frac{1}{8}$ corporis diametri transversalis crasso, glaberimo et homogeneo, Nucleo granulato, fissuris concentricis?

Long. 0,129 mm. Lat. 0,115 mm. Nucl. Long. 0,075 mm. Lat. 0,066 mm. (Tab. XLVI. fig. 189. A. e latere inferiore). Stigmarienkohle et in carbone a Malowka.

475. Corpus late ovato-ellipticum, Exosporio homogeneo verruculoso, $\frac{1}{5}$ — $\frac{1}{6}$ diametri transversalis corporis crasso, Nucleo granulato-exasperato, fissuris excentrice positae.

Long. 0,138 mm. Lat. 0,115 mm. Nucl. Long. 0,087 mm. Lat. 0,066 mm. (Tab. XXXI. fig. 190). Malowka.

475 A. Corpus late ovato-ellipticum, Exosporio homogeneo, glabro, $\frac{1}{5}$ diametri transversalis corporis crasso.

Long. 0,066 mm. Lat. 0,05 mm. Nucl. Long. 0,031 mm. (Tab. XXXI. fig. 187). ibidem.

476. Corpus late ovato-ellipticum, Exosporio subhomogeneo et indistincter sublamelloso, polo singulo paulo attenuato, granulato-exasperato, Nucleo exasperato, fissuris subcentricis.

Long. 0,132 - 0,14 mm. Lat. 0,105—0,11 mm. Nucl. Long. 0,1. Lat. 0,069 mm. (Tab. XXXI. fig. 191) forma corpore paulo graciliore Nucl. Long. 0,1. Lat. 0,062 mm. In carbone compacta. Malowka.

✠✠ Exosporium $\frac{1}{8}$ — $\frac{1}{10}$ corporis diametri transversalis crassum. Fissurae marginibus volvatis.

477. Corpus regulariter ovato-ellipticum. Exosporium homogeneous, glaberrimum. Nucleus glaberimus et subtiliter punctulatus, fissuris centricis longioribus, in centro apertis, marginibus latius volvatis.

Long. 0,125 mm. Lat. 0,115 mm. Nucl. Long. 0,105 mm. Lat. 0,091 mm. Zwickau.

478. Corpus irregulariter ovato-ellipticum. Exosporium $\frac{1}{9}$ — $\frac{1}{10}$ corporis diametri crassum, granulato-verruculosum sicut Nucleus. Fissurae excentrice positae volvatae.

Long. 0,075 mm. Lat. 0,069 mm. (Tab. XL. fig. 176 c). Zwickau. Incertum hanc formam esse connectam an non cum forma quadam exacte circulari, vulgarissime in carbone laminosa Saxonica, iisdem dimensionibus.

Subdivisio LXXIX. Exosporium inaequaliter incrassatum, $\frac{1}{4}$ — $\frac{1}{9}$ integerrimum corporis diametri transversalis crassum, homogeneous.

479. Corpus late ovato-ellipticum¹, Exosporio inaequaliter crasso, $\frac{1}{5}$ — $\frac{1}{9}$ corporis diametri transversalis crasso, glaberrimo et punctulato. Nucleus punctulatus, fissuris excentricis.

Long. 0,1 mm. Lat. 0,063 mm. (Tab. XXX. fig. 182). „Devonische Kohle.“

480. Corpus irregulariter semi-ellipticum, Exosporio inaequaliter crasso ($\frac{1}{2}$ — $\frac{1}{6}$ diametri transversalis), Nucleus regulariter ovato-ellipticus punctulatus, fissuris inaequalibus.

Long. 0,113 mm. Lat. 0,069 mm. Nucl. Long. 0,047 mm. Lat. 0,035 mm. (Tab. XXX. fig. 183). Malowka.

481. Corpus anguste ovato-ellipticum. Exosporium subaequaliter crassum ($\frac{1}{3}$ — $\frac{1}{4}$ diametri transversalis corporis), glaberrimum indumento crassiusculo; Nucleus irregulariter ovato ellipticus granulatus, fissuris indistinctioribus.

Long. 0,524 mm. Lat. 0,26 mm. Nucl. Long. 0,25 mm. Lat. 0,11 mm. Indument. Exosp. 0,007 mm. (Tab. XXX. fig. 135. Magn. $\frac{1}{4}$). „Stigmarienkohle.“

482. Corpus irregulariter semi-ellipticum. Exosporium inaequaliter crassum ($\frac{1}{3}$ — $\frac{1}{5}$ diametri transversalis corporis), glaberrimum. Nucleus regulariter ovato-ellipticus, punctulatus, fissuris centricis.

Long. 0,439 mm. Lat. 0,293 mm. Nucl. Long. 0,23 mm. Lat. 0,132 mm. (Tab. XLV. fig. 183. A. Magn. $\frac{1}{1}$). Metschowk.

483. Corpus inaequaliter ovato-ellipticum. Exosporium $\frac{1}{3}$ — $\frac{1}{4}$ diametri transversalis corporis crassum glaberrimum. Nucleus ovatus granulatus.

Long. 0,031 mm. Lat. 0,02 mm. Nucl. Long. 0,01 mm. (Tab. XLI. fig. 187. A). Zwickau.

Subdivisio LXXX. Exosporium crasissimum, aequaliter incrassatum, $\frac{1}{2}$ — $\frac{1}{3}$ diametri transversalis corporis crassum, homogeneous, integerrimum. Formae majores.

484. Corpus regulariter ovato-ellipticum. Exosporium dense granuloso-lacunulosum, marginibus, irregulariter undulatis. Nucleus regulariter ovato-ellipticus, granulatus, fissuris centralibus.

Long. 0,115 mm. Lat. 0,084 mm. Nucl. Long. 0,039 mm. Lat. 0,031 mm. (Tab. XXX. fig. 186). Lewino.

485. Corpus ovato-ellipticum, marginibus undatis. Nucleus late ovato-ellipticum subtiliter punctulatus, fissuris distinctis, centricis. Exosporium lacunoso-verruculosum, extrorsum distinctius dupliciter conturatum.

Long. 0,125 mm. Lat. 0,078 mm. Nucl. Long. 0,039 mm. Lat. 0,035 mm. (Tab. XXX. fig. 184). Bexbach. (Bayaria Rhen.).

Subdivisio LXXXI. Exosporium aequaliter incrassatum, plusminusve lobulato-divisum, $\frac{1}{4}$ — $\frac{1}{6}$ diametri transversalis corporis crassum. Formae majores.

486. Corpus ovato-ellipticum, marginibus undato-incisis. Exosporium $\frac{1}{4}$ diametri transversalis corporis crassum, imperfectius lobulato-divisum, inhomogeneum, lacunulis et cavernulis centraliter positae impletum. Nucleus regulariter ovato-ellipticus fissuris centralibus.

Long. 0,125 mm. Lat. 0,11 mm. Nucl. Long. 0,066 mm. Lat. 0,053 mm. (Tab. XXXII. fig. 208).
Forma vulgarissima in carbone compacta a Malowka.

487. Corpus regulariter ovato-ellipticum. Exosporium $\frac{1}{4}$ corporis diametri transversalis crassum, usque ad dimidium in lobulos subaequales, 10os — 12os, truncatos, rotundatos, verruculosos divisum, interna pars indistincte punctulato-laminosa. Nucleus regulariter ellipticus, fissuris centralibus.

Long. 0,118 mm. Lat. 0,097 mm. Nucl. Long. 0,066 mm. Lat. 0,047 mm. (Tab. XXXII. fig. 206).
Malowka.

488. Corpus irregulariter ovato-ellipticum, singulis lobulis irregularibus. Exosporium homogeneum, glaberrimum (saepe a Leptoideis parasitice infectum), usque $\frac{1}{5}$ corporis diametri transversalis crassum. Nucleus regulariter ovato-ellipticus dense granuloso-verruculosus fissuris subregularibus.

Long. 0,129 mm. Lat. 0,105 mm. Nucl. Long. 0,078 mm. Lat. 0,066 mm. (Tab. XLVI fig. 205. A).
Specimen Exosporio a Leptoideis (α) infecto. „Stigmarienkohle.“ Malowka.

489. Corpus irregulariter ovato-ellipticum. Exosporium lobulis irregularibus irregulariter divisum, $\frac{1}{4}$ — $\frac{1}{5}$ diametri transversali corporis crassum; interna pars subhomogenea. Lobuli inaequales, inciso-crenulato-verruculosi. Nucleus regulariter ovato-ellipticus, verruculoso-volvatus.

Long. 0,14 mm. Lat. 0,136 mm. Nucl. Long. 0,091 mm. Lat. 0,075 mm. (Tab. XLV. fig. 207. A).
Malowka, Metschowk.

490. Corpus irregulariter ellipticum, marginibus irregulariter incisis. Exosporium $\frac{1}{4}$ diametri transversalis corporis crassum, irregulariter grosse lobulatum, lobulis inaequalibus verruculoso-exasperatis, totam superficiem inducentibus. Nucleus regulariter ellipticus verruculosus.

Long. 0,132 mm. Lat. 0,078 mm. Nucl. Long. 0,069 mm. Lat. 0,042 mm. (Tab. XLI. fig. 191. B).
Pruckscha, Nowgorod.

491. Corpus irregulariter late ovato-ellipticum, marginibus irregulariter undatis. Exosporium $\frac{1}{7}$ diametri transversalis corporis crassum, marginibus profundius emarginato-undatis verruculosus, superficie singulo lobulo prominente. Nucleus irregulariter late ellipticus, fissuris irregularibus.

Long. 0,129 mm. Lat. 0,11 mm. (Tab. XXXII. fig. 206). „Stigmarienkohle.“

492. Corpus late ovato-ellipticum, marginibus subregulariter incisis. Exosporium $\frac{1}{7}$ diametri transversalis corporis crassum, lobulis 13is — 15is subaequalibus, calloso-verruculosus; interna pars granulosa. Nucleus regulariter ovato-ellipticus fissuris centralibus, superficie lacunoso-punctulata.

Long. 0,132 mm. Lat. 0,11 mm. Nucl. Long. 0,095 mm. Lat. 0,075 mm. (Tab. XXXII. fig. 207).
Malowka. „Stigmarienkohle.“

Subdivisio LXXXII. Exosporium $\frac{1}{2}$ — $\frac{1}{3}$ diametri transversalis corporis crassum, lobulato-incisum. Formae minores.

493. Corpus usque fere trapezicum, marginibus lateralibus integerrimis, polis dilatatis dupliciter lobulato-incisis. Exosporium in angulis $\frac{1}{2}$ diametri transversalis corporis crassum, marginibus integerrimis polis incisis, lobulis subcuneatis inciso-dentatis. Nucleus regulariter ellipticus punctulatus.

Long. 0,05 mm. Lat. 0,035 mm. Nucl. Long. 0,035 mm. Lat. 0,019 mm. (Tab. XLVI. fig. 191. C).

494. Corpus ovato-ellipticum, marginibus inciso-crenatis. Exosporium $\frac{1}{3}$ diametri transversalis corporis crassum, marginibus et interna parte lobulato incisis, lobulis marginalibus 19is — 21is integerrimis. Nucleus regulariter ellipticus granulatus fissuris tenuissimis, lamina ex granulis singulis composita velatus.

Long. 0,056 mm. Lat. 0,039 mm. Nucl. Long. 0,02 mm. Lat. 0,017 mm. (Tab. XXXII. fig. 209).
Malowka.

Subdivisio LXXXIII. Exosporium incrassatum, $\frac{1}{5}$ — $\frac{1}{7}$ diametri transversalis corporis crassum, in tota superficie verrucis latioribus, aut spinis firmis obtectum. Formae minores.

✧ Superficies verrucis latioribus, humilioribus obtecta.

495. Corpus regulariter ovato-ellipticum, marginibus regulariter undulato-crenatis. Exosporium in tota superficie (in latere inferiore) verrucis latis seriatim dispositis obtectum.

Long. 0,066 mm. Lat. 0,056 mm. (Tab. XLI. fig. 179. C). Zwickau.

✧✧ Superficies verrucis productis obtecta.

496. Corpus regulariter ellipticum, marginibus profundius undulato-crenatis. Exosporium $\frac{1}{4}$ diametri transversalis corporis crassum, in tota superficie (in latere inferiore) verrucis productis seriatim dispositis subconicis, obtectum. Nucleus regulariter ellipticus.

Long. 0,042 mm. Lat. 0,028 mm. Nucl. Long. 0,02 mm. Lat. 0,014 mm. (Tab. XLIV. fig. 181. B). Zwickau.

497. Corpus circulari-ellipticum, marginibus profundius inciso-crenatis. Exosporium $\frac{1}{6}$ diametri transversalis corporis crassum, in tota superficie (in latere inferiore) verrucis latis, productis, subconicis, rotundatis obtectum. Nucleus circulari-ellipticus.

Long. 0,069 mm. Lat. 0,063 mm. Nucl. Long. 0,05 mm. Lat. 0,042 mm. (Tab. XXX. fig. 181). In carbone compacta. Malowka.

✧✧✧ Superficies tota et margines lateris superioris spinis firmis conicis acutis armata.

498. Corpus ovato-ellipticum, marginibus crenato-dentatis. Exosporium $\frac{1}{4}$ diametri transversalis corporis crassum, spinis firmis acutis obtectum. Nucleus circulari-ellipticus granulatus, fissuris centralibus.

Long. 0,059 mm. Lat. 0,042 mm. Nucl. Long. 0,025 mm. Lat. 0,02 mm. (Tab. XXX. fig. 181. A). „Stiomarienkohle.“

Subdivisio LXXXIV. Exosporium subincrassatum, $\frac{1}{9}$ — $\frac{1}{14}$ diametri transversalis corporis crassum, subtiliter lamellosum, ex lamellis binis-compluribus compositum. Formae minores.

✧ Exosporium regulariter incrassatum.

499. Corpus regulariter ovali-ellipticum. Exosporium bilamellosum. Nucleus subtiliter punctulatus, fissuris centralibus, marginibus subtiliter volvatis.

Long. 0,042 mm. Lat. 0,035 mm. (Tab. XLI. fig. 178. D). In carbone compacta. Kurakino (Rossia Centralis).

500. Corpus regulariter circulari-ellipticum. Exosporium subtiliter 4 lamellosum, laminae internae crassiores. Nucleus glaberrimus, singulis nodulis, fissuris regularibus, margine subtiliter volvatis.

Long. 0,039 mm. Lat. 0,031 mm. (Tab. XLIV. fig. 175. E). In carbone compacta. Kurakinskije.

501. Corpus regulariter ovato-ellipticum. Exosporium subtiliter bilamellosum. Nucleus subtiliter granulatus, fissuris nudis.

Long. 0,059 mm. Lat. 0,053 mm. (Tab. XL. fig. 178. B). Zwickau.

✧✧ Exosporium inaequaliter incrassatum.

502. Corpus irregulariter ovato-ellipticum. Exosporium inaequaliter bilamellosum. Nucleus ellipticus, punctulatus.

Long. 0,039 mm. Lat. 0,031 mm. (Tab. XXXI. fig. 200). „Blätterkohle.“

Subdivisio LXXXV. Exosporium aequaliter incrassatum, $\frac{1}{5}$ — $\frac{1}{8}$ corporis diametri transversalis crassum, distincte lamellosum.

✧ Lamellae Exosporii aequaliter incrassatae.

503. Corpus irregulariter ovato-ellipticum. Exosporium $\frac{1}{5}$ diametri transversalis corporis crassum, bi—3 lamellosum. Nucleus ellipticus granulatus, fissuris nudis.

Long. 0,081 mm. Lat. 0,05 mm. Nucl. Long. 0,05 mm. Lat. 0,031 mm. (Tab. XXXI. fig. 201). „Blätterkohle.“

503. A. Corpus circulari-ellipticum. Exosporium $\frac{1}{3}$ diametri transversalis corporis crassum, subtiliter lamellosum. Nucleus circulari-ellipticus.

Long. 0,053 mm. Diam. nucl. 0,069—0,084 mm, (Tab. XXXI. fig. 199). ibidem.

504. Corpus circulari-ellipticum. Exosporium $\frac{1}{8}$ diametri transversalis corporis crassum, plurilamellosum, lamellis 4is — 5is subaequalibus. Nucleus exasperatus fissuris volvatis.

Long. 0,1 mm. Lat. 0,087 mm. Nucl. Long. 0,075 mm. Lat. 0,066 mm. (Tab. XXXII. fig. 203). „Stigmarienkohle.“

✠✠ Exosporium inaequaliter incrassatum, lamellae inaequales.

505. Corpus irregulariter ovato-ellipticum. Exosporium usque $\frac{1}{5}$ diametri transversalis corporis crassum, 3—4 lamellosum, lamella media granulosa et inaequaliter incrassata. Nucleus irregulariter ellipticus granulatus.

Long. 0,066 mm. Lat. 0,053 mm. Nucl. Long. 0,039 mm. Lat. 0,031 mm. (Tab. XXXII. fig. 204). In carbone compacta. Lewino.

505. A. Corpus late ovato-ellipticum. Exosporium $\frac{1}{7}$ diametri transversalis crassum, 2 lamellosum, lamina exterior inaequaliter incrassata.

Long. 0,04 mm. Lat. 0,029 mm. Nucl. Long. 0,031 mm. Lat. 0,024 mm. (Tab. XLII. fig. 221. A). Metschowk.

Subdivisio LXXXVI. Exosporium incrassatum, integerrimum, $\frac{1}{3}$ — $\frac{1}{5}$ diametri transversalis corporis crassum, interna pars ex lamina granulosa integerrima et marginibus inciso-lobulatis formata.

† Interna pars Exosporii ex lamina granulata marginibus dentatis formata.

506. Corpus irregulariter ovato-ellipticum. Exosporium membranaceum, plicatum. Lamina interior $\frac{1}{2}$ diametri transversalis nuclei crassa. Nucleus regulariter ellipticus, granulatus.

Long. 0,069 mm. Lat. 0,056 mm. Nucl. Long. 0,025 mm. Lat. 0,018 mm. (Tab. XLV. fig. 195. A). Metschowk.

†† Interna pars Exosporii ex lamina granulosa marginibus inciso-dentatis formata.

507. Corpus circulari-ellipticum. Exosporii interna pars granuloso-punctulata, lobulis numerosis. Nucleus ellipticus lacunosus.

Long. 0,066 mm. Lat. 0,046 mm. (Tab. XXXI. fig. 195). Malowka.

508. Corpus ovato-ellipticum. Exosporii interna pars granuloso-lacunulosa, extrorsum in lobulos numerosos divisa, $\frac{1}{2}$ Exosporii crassitudinis crassa.

Long. 0,19 mm. Lat. 0,135 mm. Nucl. Long. 0,095 mm. Lat. 0,078 mm. (Tab. XXXI. fig. 196). In carbone compacta. Kurakinskije.

Subdivisio LXXXVII. Exosporium incrassatum, $\frac{1}{4}$ — $\frac{1}{12}$ diametri transversalis corporis crassum, volvis latioribus, in axi longitudinali corporis decurrentibus et Nucleum partim involventibus.

† Totum corpus volvis 3is — 5is longitudinalibus involutum.

509. Corpus ovali-ellipticum, marginibus undulato-crenatis. Exosporium volvis 4is — 5is rotundatis. Nucleus regulariter ellipticus, fissuris a volvis marginatis.

Long. 0,056 mm. Lat. 0,042 mm. (Tab. XXX. fig. 179). Bexbach (Bavaria Rhen.).

510. Corpus oblongo-ellipticum. Exosporium inaequaliter incrassatum, in polis usque nuclei diametro transversali aequaliter crassum, in marginibus $\frac{1}{3}$ diametri. Volvae rotundatae e polis subincrassatis supra nucleum decurrentes. Nucleus regulariter ovato-ellipticus, granulatus.

Long. 0,145 mm. Lat. 0,075 mm. Nucl. Long. 0,059 mm. Lat. 0,049 mm. (Tab. XLIV. fig. 179. B). Malowka.

511. Corpus irregulariter ovato-ellipticum polis subattenuatis, marginibus subundulatis. Exosporium usque $\frac{1}{3}$ diametri transversalis corporis crassum, volvis brevioribus et singulis longioribus longitudinaliter decurrentibus. Nucleus ovato-ellipticus punctulatus, fissuris subvolvatis.

Long. 0,1 mm. Lat. 0,078 mm. Nucl. Long. 0,042 mm. Lat. 0,031 mm. (Tab. XLV. fig. 179. C). „Stigmarienkohle.“

512. Corpus orbiculari-ellipticum, marginibus undatis. Exosporium $\frac{1}{8}$ diametri transversalis corporis crassum, volvis 3is — 4is latis, e margine supra nucleum decurrentibus.

Long. 0,087 mm. Lat. 0,081 mm. (Tab. XLI. fig. 179. A). „Blätterkohle.“

Forma minor. Nucleo fissuris volvis marginatis.

Long. 0,083 mm. Lat. 0,068 mm. (Tab. XLI. fig. 179. B).

†† Exosporium volvis gibberiformibus obtectum.

513. Corpus irregulariter ovato-ellipticum, marginibus irregulariter repandis. Exosporium inaequaliter incrassatum, marginibus et interna parte volvis gibberiformibus nucleum partim involventibus obtectum, glaberrimum. Nucleus ovato-ellipticus, granulatus, fissuris volvatis.

Long. 0,125 mm. Lat. 0,113 mm. Nucl. Long. 0,075 mm. Lat. 0,056 mm. (Tab. XLIV. fig. 172. D). Pruckscha, Nowgorod.

514. Corpus ovato-ellipticum, marginibus undatis. Exosporium inaequaliter incrassatum, marginibus latis gibberiformibus rotundatis nucleum partim inducentibus obtectis. Nucleus regulariter ellipticus punctulatus.

Long. 0,075 mm. Lat. 0,035 mm. (Tab. XL. fig. 172. B). „Blätterkohle.“

Subdivisio LXXXVIII. Exosporium incrassatum, $\frac{1}{6}$ — $\frac{1}{9}$ diametri transversalis corporis crassum, homogeneous, glaberrimum. Nucleus spinulis densius aut laxius positus obtectus.

515. Corpus orbiculari-ellipticum. Nucleus regulariter ovato-ellipticus, distincte linea dupliciter conturata limitatus, in superficie tota spinulis gracilioribus, acutis obtectus. Fissurae subexcentricae.

Long. 0,056 mm. Lat. 0,05 mm. Nucl. Long. 0,042 mm. Lat. 0,031 mm. (Tab. XXXI. fig. 197). Malowka.

516. Corpus ovato-ellipticum. Nucleus ellipticus, in superficie spinulis latis laxius positus obtectus.

Long. 0,063 mm. Lat. 0,05 mm. (Tab. XXXI. fig. 198). Malowka.

Subdivisio LXXXIX. Exosporium incrassatum. Nuclei superficies granulis oblecta.

517. Corpus ellipticum. Exosporium $\frac{1}{6}$ diametri transversalis corporis crassum. Nucleus granulis majoribus obtectus.

Long. 0,042 mm. Lat. 0,028 mm. (Tab. XXXI. fig. 193). Kurakinskije.

518. Corpus ovato-ellipticum. Nucleus granulis minoribus obtectus.

Long. 0,042 mm. Lat. 0,025 mm. (Tab. XXXI. fig. 194). Nucleo $\frac{1}{3}$ minore praecedente. Kurakinskije.

Subdivisio LXXXX. Exosporium incrassatum homogeneous, $\frac{1}{4}$ — $\frac{1}{6}$ diametri transversalis corporis crassum. Nuclei margines serie singula granulorum minutissimorum moniliformiter conjunctorum oblectae.

† Exosporium spinulis singulis aut laxius positus obtectum.

519. Corpus ovato-ellipticum. Exosporium spinulis laxius positus obtectum. Nucleus serie granulorum de indumento nuclei separata involutus.

Long. 0,05 mm. Lat. 0,035 mm. Nucl. Long. 0,024 mm. Lat. 0,017 mm. (Tab. XLIV. fig. 192. B). „Stigmarienkohle.“

520. Corpus irregulariter ovato-ellipticum. Nucleus excentricus serie granulorum de nuclei indumento separata involutus.

Long. 0,066 mm. Lat. 0,04 mm. Nucl. Long. 0,024 mm. Lat. 0,018 mm. (Tab. XLIX. fig. 159. C). „Stigmarienkohle.“ Metschowk.

†† Exosporium glaberrimum.

521. Corpus orbiculari-ellipticum. Exosporium $\frac{1}{4}$ diametri transversalis corporis crassum, punctulatum. Nucleus orbiculari-ellipticus, punctulato-exasperatus, fissuris subtiliter volvatis. Granula breviter pedicellata et nucleo indumento insidentia.

Long. 0,115 mm. Lat. 0,01 mm. Nucl. Long. 0,059 mm. Lat. 0,054 mm. (Tab. XLI. fig. 192. A). Zwickau.

522. Corpus ovato-ellipticum. Exosporium glaberrimum, $\frac{1}{3}$ — $\frac{1}{4}$ diametri transversalis nuclei crassum. Nucleus irregulariter ovato-ellipticus, granulatus. Granula indumento nuclei insidentia.

Long. 0,063 mm. Lat. 0,042 mm. Nucl. Long. 0,024 mm. Lat. 0,018 mm. (Tab. XXXI. fig. 192). Kurakinskije.

Subtribus IV. Nucleus orbicularis.

Subdivisio LXXXXI. Corpus regulariter orbiculare. Exosporium tenuissimum, $\frac{1}{24}$ — $\frac{1}{42}$ diametri corporis crassum, homogeneous, unilamellosum, glaberrimum aut punctulatum.

† Exosporium glaberrimum.

523. Fissurae subtiliter volvatae.

Diam. 0,042 mm. (Tab. XXXII. fig. 211. Tab. XXXIII. fig. 220). Kurakinskije.

†† Exosporium subtiliter punctulatum.

524. Fissurae regulariter centrales usque fere ad Exosporium adtingentes.

Diam. 0,05—0,053 mm. (Tab. XXXII. fig. 210. Tab. XLII. fig. 220. A). Blätterkohle. In carbone compacta. Pruckscha, Nowgorod, Kurakinskije, Metschowk.

Forma major. Diam. 0,063 mm.

525. Exosporium subtiliter punctulatum. Fissurae subexcentricae.

Diam. 0,029 mm. (Tab. XXXIII. fig. 220. F). „Stigmarienkohle.“

526. Exosporium subtiliter bilamellosum, subtiliter granulatum.

Diam. 0,078 mm. (Tab. XXXII. fig. 214. 215). Metschowk, Lewino. „Stigmarienkohle.“

527. Exosporium subtiliter granulatum. Fissurae subtiliter volvatae.

Diam. 0,087 mm. „Devonische Kohle“, „Stigmarienkohle.“ Zwickau (Saxonia).

528. Exosporium punctulato-tuberculatum. Fissurae excentricae.

Diam. 0,087 mm. (Tab. XLII. fig. 220. C). „Blätterkohle.“

529. Exosporium glaberrimum. Nucleus singulis nodulis. Fissurae late volvatae.

Diam. 0,11 mm. (Tab. XXXII. fig. 213). „Stigmarienkohle, Blätterkohle.“

530. Exosporium glaberrimum, crassiusculum. Fissurae latissime volvatae.

Diam. 0,105—0,125 mm. (Tab. XXXII. fig. 212. 212. a).

531. Exosporium et Nucleus punctulatum. Fissurae usque radio nuclei aequales subtiliter volvatae.

Diam. 0,145 mm. (Tab. XXXIII. fig. 219). Malowka. „Stigmarienkohle.“

532. Nucleus lacunuloso-punctatus. Forma e maximis Triletum orbicularium propinquarum.

Diam. 0,158 mm. (Tab. XLVII. fig. 220. H. Magn. $\frac{1}{1}$). „Stigmarienkohle.“

533. Exosporium tenerrimum membranaceum. Fissurae subtiliter volvatae. Formam ex maximis ex his Triletibus observavi tantum in Speciminibus incompletis cum Exosporio in paniculos conscisso; sed aliqua probabilitate concludi potest, formam discoidei corporis antehac fuisse circulariter circumscriptam.

Diam. 0,475 mm. Long. fissurar. 0,11 mm. Crass. Exosp. 0,035 mm. (Tab. XLIX. fig. 220. M. Magn. $\frac{1}{2}$. Specimen conscissum, latere uno cum fissura conscissa et partibus Exosporii discedentibus, latere altero fissuris completis). Metschowk.

534. Corpus usque fere regulariter octagonum, angulis rotundatis, marginibus subrectis. Exosporium tenuissimum membranaceum. Fissurae regulariter centricae, paulo apertae, $\frac{2}{3}$ radii corporis longae, marginibus late dupliciter volvatis, areolam triangulariter circumscriptam formantes.

Diam. 0,552 mm. (Tab. XLVII. fig. 243. B. Magn. $\frac{1}{2}$. Huius Subdivisionis Triletum forma maximis dimensionibus hucusque cognitum. „Stigmarienkohle.“

535. Corpus regulariter orbiculare. Fissurae regulariter centrales.

Diam. 0,014 mm. (Tab. XXXII. fig. 217). E Triletibus propinquis forma minutissima omnium Triletum. Diametrorum ratio cum praecedente = 1 : 39 ad circiter adaequat cum ratione inter maximam formam Pahnellacearum (Eremosphaera) et minimam formam harum plantarum (Pleurococcus). In carbone compacta. Kurakinskije (Rossia). Zwickau (Saxonia).

Subdivisio LXXXXII. Exosporium subincrassatum et tenerrimum, nodulis, granulis aut verruculis obtectum.

† Exosporium tenerrimum.

536. Corpus circulare? Exosporium subtiliter crenulatum, granulis densissime obtectum. Fissurae excentrice positaе, minores, $\frac{1}{5}$ diametri longae, volvatae.

Long. 0,292 mm. Lat. 0,25? mm. (Tab. XLVII. fig. 220. J. magn. $\frac{1}{4}$. fig. a. Margines pars major aucta). In speciminibus perpaucis observata, omnibus superficie valde plicata, ex quibus non potest dici aliquid certi de priore forma. Metschowk.

†† Exosporium subincrassatum.

537. Corpus regulariter circulare, Exosporio subincrassato, cum nucleo dense furfuraceo-granulaceo. Fissurae excentrice positaе, volvatae.

Diam. 0,38 mm. Exosp. 0,01 mm. (Tab. XLVII. fig. 220. L. Magn. $\frac{1}{2}$). Zwickau.

538. Corpus regulariter circulare, Exosporio subincrassato cum nucleo verruculoso-lacunuloso, fissuris centricis, volvatis.

Diam. 0,05 mm. (Tab. XLII. fig. 222. A). Blätterkohle. Zwickau, Bexbach.

539. Corpus ovato-circulare, Exosporio subincrassato, verruculoso-granulato.

Diam. 0,028 mm. (Tab. XXXIII. fig. 222). Malowka, Zwickau.

††† Exosporium subincrassatum verruculis latioribus obtectum.

540. Corpus regulariter circulare. Exosporium et Nucleus verruculis latioribus obtectum. Fissurae tenuissimae,

Diam. 0,046 mm. (Tab. XXXIII. fig. 224). „Devonische Kohle.“

541. Corpus ovato-circulare usque regulariter circulare. Exosporium reticulato-verruculosum.

Diam. 0,031 mm. (Tab. XXXIII. fig. 226). Kurakinskije.

542. Corpus regulariter circulare. Exosporium et Nucleus verruculis acutiusculis dense obtectum. Fissurae excentricae.

Diam. 0,042—0,046 mm. (Tab. XLVII. fig. 222. B). „Stigmarienkohle.“

543. Corpus regulariter circulare. Exosporium et Nucleus verruculis crassioribus densius positus obtectum. Fissurae excentricae.

Diam. 0,035 mm. (Tab. XLIX. fig. 225. A). Kurakinskije.

Subdivisio LXXXXIII. Exosporium subincrassatum, bilamellosum. Fissurae volvatae de laminis internis a lamina exteriori Exosporii secessis limitatae.

544. Corpus ovato-circulare. Lamina interna in polis corporis sejuncta et fissuram centralem includens. Exosporium et Nucleus dense verruculoso-exasperatum.

Diam. Long. 0,512 mm. Diam. Lat. 0,485 mm. Exospor. 0,0125 mm. (Tab. XLVII. fig. 220. K). Zwickau.

545. Corpus irregulariter circulare. Exosporium distinctissime bilamellosum. Lamina interna in uno latere corporis sejuncta et fissuram centralem leviter curvatam includens. Exosporium glaberrimum, Nucleus subtiliter punctulatus.

Diam. 0,125 mm. (Tab. XLII. fig. 220. D). Zwickau.

Subdivisio LXXXXIV. Exosporium tenerrimum, perforatum aut subtiliter perforato-granulosum.

546. Corpus regulariter circulare. Exosporium subtiliter perforatum. Fissurae centrales.

Diam. 0,059 mm. (Tab. XLII. fig. 220. E). „Stigmarienkohle.“ Zwickau.

547. Corpus regulariter circulare. Exosporium subtiliter perforatum. Fissurae centrales, paulo apertae, marginibus late volvatis.

Diam. 0,105 mm. (Tab. XLVII. fig. 220. G). Metschowk. Zwickau.

548. Corpus regulariter circulare. Exosporium subtiliter perforatum. Fissurae longiores nudaе.

Diam. 0,059 mm. (Tab. XLVI. fig. 220. F. fig. a. marginis pars major aucta). Pruckscha, Nowgorod.

549. Corpus ovato-circulare. Exosporium lacunulis oblongis majoribus perforatum. Fissurae excentricae, minores.

Diam. Long. 0,066 mm. Diam. Lat. 0,059 mm. (Tab. XLV. fig. 180. g. fig. a. marginis pars major aucta).

Subdivisio LXXXXV. Exosporium subincrassatum, sublamellosum, ex lamellis binis compositum.

550. Corpus regulariter circulare. Exosporium bilamellosum glaberrimum. Nucleus punctulatus, fissuris radio aequalibus.

Long. 0,026 mm. (Tab. XLII. fig. 218. A). Kurakinskije.

551. Corpus regulariter circulare, Exosporium bilamellosum, subtiliter verruculosum.

Diam. 0,042 mm. Diam. nucl. 0,033 mm. (Tab. XXXIII. fig. 218. B). Kurakinskije.

552. Corpus regulariter circulare, Exosporium bilamellosum Nucleus punctulato-tuberculatus.

Diam. 0,1 mm. Diam. nucl. 0,089 mm. (Tab. XLII. fig. 220. B). Zwickau.

Subdivisio LXXXXVI. Exosporium subincrassatum, prominentiis liniiformibus parenchymatice conjunctis obtectum, areolas angulosas formantes. Substantia in angulis paulo producta.

✚ Formae majores, prominentiis crassioribus.

553. Corpus regulariter circulare. Exosporium areolis 17is—20is obtectum.

Diam. 0,081 mm. Diam. areolar. 0,014—0,017 mm. (Tab. XXXVIII. fig. 268). Metschowk.

554. Corpus regulariter circulare. Exosporium areolis 13is—15is obtectum.

Diam. 0,066 mm. Diam. areol. 0,014—0,017 mm. (Tab. XXXVIII. fig. 269). „Blätterkohle.“

555. Corpus regulariter circulare. Exosporium areolis minoribus 35is—38is obtectum.

Diam. 0,1 mm. Diam. areolar. 0,01—0,013 mm. (Tab. XXXVIII. fig. 271). „Blätterkohle Stigmarienkohle.“

556. Corpus regulariter circulare. Exosporium areolis 24is—26is obtectum.

Diam. 0,1 mm. Diam. areolar. 0,01—0,014 mm. Kurakino. Metschowk.

557. Corpus regulariter circulare. Exosporium areolis minoribus 35is—38is obtectum.

Diam. 0,127 mm. Diam. areolar. 0,008—0,01 mm. (Tab. XXXVIII. fig. 270). „Blätterkohle.“

✚✚ Formae minores, prominentiis Exosporii et areolis subtilissimis.

558. Corpus regulariter circulare, areolis subtilibus marginibus dentatis.

Diam. 0,042 mm. (Tab. XLIX. A. fig. 271. C). Lewino. Blätterkohle.

Subdivisio LXXXXVII. Exosporium incrassatum $\frac{1}{6}$ — $\frac{1}{14}$ diametri corporis crassum prominentiis volvi-formibus latis, interdum apice carinatis et cristatis et acuminatis, liniiformibus reticulariter cohaerentibus obtectum.

559. Corpus regulariter circulare, marginibus undatis. Exosporium $\frac{1}{6}$ diametri corporis crassum, areolis 7is majoribus, angulosis et rotundatis, prominentiis apice cristatis. Nucleus circularis, punctulatus.

Diam. 0,081 mm. Diam. nucl. 0,053 mm. (Tab. XLVIII. fig. 269. B). Kurakinskije.

560. Corpus regulariter circulare, marginibus subundulatis. Exosporium $\frac{1}{7}$ diametri corporis crassum, areolis 6is inaequalibus, subangulosis, prominentiis apice rotundatis. Nucleus circularis, granulatus.

Diam. 0,095 mm. Diam. nucl. 0,046 mm. (Tab. XLVIII. fig. 269. C). „Stigmarienkohle.“

561. Corpus regulariter circulare, angulis 9is paulo productis. Exosporium $\frac{1}{11}$ diametri corporis crassum, areolis 4is inaequalibus, subangularibus, prominentiis apice late rotundatis. Nucleus circularis, granulatus.

Diam. 0,078 mm. (Tab. XLVIII. fig. 271. B). „Blätterkohle.“

562. Corpus regulariter hexangulare, marginibus repandis. Exosporium $\frac{1}{7}$ diametri corporis crassum, 7is inaequalibus, subangularibus, prominentiis apice late rotundatis. Nucleus circularis, granulatus.

Diam. 0,05 mm. Diam. nucl. 0,032 mm. (Tab. XLVIII. fig. 269. E). „Stigmarienkohle.“

Subdivisio LXXXXVIII. Exosporium incrassatum, volvis circum circa corpus procurrentibus, parenchymatice connectis aut subliberis obtectum.

✚ Volvis longioribus, apertis areolis.

563. Corpus regulariter hexagonale, marginibus subrectis. Exosporium $\frac{1}{6}$ diametri corporis crassum, volvis 2is — 3is latis connectis circum circa corpus decurrentibus. Nucleus regulariter circularis, granulatus.

Diam. 0,053 mm. Diam. nucl. 0,042 mm. (Tab. XLVII. fig. 269. D). „Stigmarienkohle.“

564. Corpus regulariter circulare. Exosporium $\frac{1}{7}$ diametri corporis crassum, margine serie cavernularum rotundatarum impletum. Tota superficies volvis inaequaliter latis, inter se connectis obtecta. Nucleus regulariter circularis, granulatus.

Diam. 0,063 mm. Diam. nucl. 0,047 mm. (Tab. XLII. fig. 269. B). Kurakinskije.

565. Corpus circulari-polygonale, marginibus subemarginatis. Exosporium volvis irregularibus, partim liberis, partim connectis obtectum. Fissurae minimae, excentricae.

Diam. 0,078 mm. (Tab. XLVIII. fig. 264. D). „Devonische Kohle.“ (Rossia Centralis). In carbone compacta. Abakama (Amur Asia Austral.).

✚✚ Volvis brevioribus inter se connectis, et in angulis gibberiformiter productis.

566. Corpus regulariter circulare, marginibus undato-crenatis. Exosporium $\frac{1}{8}$ diametri corporis crassum, volvis reticulatim inter se conjunctis obtectum. Nucleus regulariter circularis, fissuris a volvis perfossis.

Diam. 0,056 mm. Diam. nucl. 0,042 mm. (Tab. XLII. fig. 271. B). Kurakinskije.

Subdivisio LXXXXIX. Exosporium incrassatum, volvis latioribus et tenuioribus rotundatis, circum circa corpus procurrentibus, liberis aut partialiter inter se conjunctis obtectum.

✚ Volvis latioribus indistinctius evolutis.

567. Corpus anguloso-circulare, marginibus subundulatis. Exosporium $\frac{1}{7}$ diametri corporis crassum, volvis in centro confusis 3is — 4is. Nucleus regulariter circularis, fissuris paulo apertis.

Diam. 0,084 mm. Diam. nucl. 0,063 mm. (Tab. XLV. fig. 264. B). „Blätterkohle.“

568. Corpus anguloso-circulare, marginibus irregularibus. Exosporii margines irregulariter volvati. Nucleus indistinctius separatus fissuris late volvatis.

Diam. 0,059 mm. (Tab. XLVI. fig. 264. C). „Stigmarienkohle.“

569. Corpus anguloso circulare, marginibus repandis, angulis rotundatis. Exosporium $\frac{1}{5}$ — $\frac{1}{6}$ diametri corporis crassum, e marginibus 3is — 4is volvis latioribus obtectum. Nucleus regulariter circularis, granulatus, fissuris apertis.

Diam. 0,078 mm. Diam. nucl. 0,053 mm. (Tab. XLVII. fig. 264. A). Kurakinskije.

✚✚ Volvis distinctis, circum circa Exosporium procurrentibus.

570. Corpus irregulariter anguloso-circulare, marginibus undulatis. Exosporium $\frac{1}{5}$ diametri corporis crassum, volvis 5is — 6is radialibus in centro connectis nucleum includentibus. Nucleus circularis, granulosus.

Diam. 0,066 mm. Diam. nucl. 0,042 mm. (Tab. XLVI. fig. 269. A.). Kurakinskije.

571. Corpus polygono-circulare, marginibus emarginatis. Exosporium $\frac{1}{5}$ diametri corporis crassum, marginibus 5is volvis parallelis, in centro partim conectis obtectum. Nucleus regulariter circularis granulatus.

Diam. 0,063 mm. Diam. nucl. 0,046 mm. (Tab. XLVIII. fig. 264. C). Meschowk Kurakinskije.

572. Corpus irregulariter ovato-ellipticum, angulis paulo productis et attenuatis. Exosporium in angulis usque $\frac{1}{2}$ corporis diametri transversalis crassum, in marginibus volvis gibberiformibus latis partim procurrentibus et in angulis volvis supra Nucleum procurrentibus obtectum. Nucleus regulariter circularis, granulatus.

Diam. Long. 0,138 mm. Diam. Lat. 0,088 mm. Diam. nucl. 0,066 mm. (Tab. XLVIII. fig. 257. A). Lewino.

Subdivisio C. Exosporium subincrassatum, lacunulis angulosis majoribus cribrose-perforatum.

573. Corpus circulare, Exosporio cribrose-perforato areolis planis.

Diam. 0,042 mm. (Tab. XXXVIII. fig. 267). „Stigmarienkohle.“

574. Corpus circulare, marginibus undulato-crenatis. Exosporium lacunoso-perforatum et verrucis latioribus in seriebus concentricis dispositis obtectum.

Diam. 0,056 mm. (Tab. XLVI. fig. 271. A). „Stigmarienkohle.“

575. Corpus circulare, marginibus crenatis. Exosporium lacunoso-perforatum, areolis planis.

Diam. 0,063—0,066 mm. (Tab. XXXVIII. fig. 266). „Stigmarienkohle.“ Malowka.

575 A. Corpus circulare, marginibus subcrenatis. Exosporium areolis planis, indistinctioribus obductum. Fissurae apertae.

Diam. 0,081 mm. (Tab. XXXIII. fig. 227). Metschowk.

576. Corpus circulare marginibus subcrenatis. Exosporium lacunoso-perforatum, angulis areolarum tuberculis singulis obtectis, lacunulis majoribus subrotundatis.

Diam. 0,061 mm. (Tab. XLVII. fig. 227. B). Metschowk.

Forma major. Tuberculis in angulis areolarum crassioribus, fissuris longioribus.

Diam. 0,075 mm. (Tab. XXXIII. fig. 223). Stigmarienkohle. Metschowk.

Subdivisio Cl. Formae maximae Triletum nucleo circulari, diametro 1,64—0,552 mm. Exosporium compactum sed inhomogeneum ex substantia homogenea hyalina et ex granulis et corpusculis bacillaribus intransparentibus compositum, extrorsum glaberrimum aut verrucis latis obtectum.

† Exosporium glaberrimum.

577. Corpus intransparens subcirculare. Exosporium $\frac{1}{18}$ diametri corporis crassum, margines versus ex granulis, centrum versus corpusculis bacillaribus longitudinalibus compositum. Nucleus in segmenta terna imperfectius divisus.

Diam. 0,818 mm. Exospor. 0,042 mm. (Tab. XXXIV. fig. 236. Sectio horizontalis corporis sed non completa. Magn. $\frac{1}{2}$ fig. a. Exosporii pars major aucta. $\frac{570}{1}$). Malowka.

578. Corpus intransparens subcirculare. Exosporium $\frac{1}{20}$ diametri corporis crassum, exterior pars ex corpusculis bacillaribus, radialibus, interior pars ex granulis composita. Nucleus in segmenta terna plus minusve aequalia, lacunis latioribus disiuncta divisus. Segmenta in centro excavata.

Diam. 0,98 mm. Exospor. 0,046 mm. (Tab. XXXIV. fig. 237. Specimen perfecte in centro corporis horizontaliter sectum, laminam tenuissimam, e latere integro et e lateribus binis perforatis formatam, formans. Magn. $\frac{1}{2}$ fig. a. Exosporii pars major aucta $\frac{570}{1}$). Malowka.

579. Corpus intransparens subcirculare. Exosporium crassissimum, $\frac{1}{8}$ diametri corporis crassum, ex substantia subhomogenea compositum. Nucleus triseptatus, in segmenta terna inaequalia divisus.

Diam. 0,552 mm. Exospor. 0,069 mm. (Tab. XXXIV. fig. 235). „Cannelcoal.“ Bradford Anglia.

580. Corpus subtransparens subhexagonum. Exosporium $\frac{1}{15}$ diametri corporis crassum, ex substantia granulosa subhomogenea compositum, cum Nucleo verruculoso-exasperatum. Fissurae regulares, aequales, $\frac{3}{4}$ corporis radii longae, marginibus late volvatis.

Diam. 0,71 mm. Exospor. 0,046 mm. (Tab. XXXVI. fig. 243. A). Specimen magn. $\frac{1}{2}$. Tab. XXXV. fig. 243. Specimen fissuris indistinctius volvatis. Magn. $\frac{1}{4}$). „Stigmarienkohle.“

†† Exosporium verrucis latis obtectum.

581. Corpus circulare usque ovato-circulare. Exosporium $\frac{1}{36}$ corporis diametri crassum, ex substantia fibrillosa compositum, in superficie tota et in marginibus verrucis latis, usque crassitudini Exosporii subaequaliter altis obtectum. Nucleus irregulariter triseptatus, septis irregulariter limitatis, in superficie sphaerulis, de substantia septarum plus minusve sejunctis, numerosis obtectis.

Diam. 1,5—1,65 mm. Diam. sphaerul. 0,031—0,042 mm. Exospor. 0,042 mm. (Tab. XXXV. fig. 238. Specimen in utroque latere horizontaliter sectum. Magn. $\frac{1}{2}$ fig. a. Exosporii pars cum verruca singula

major aucta $\frac{570}{1}$; fig. c. Superficieis septae pars, cum sphaerulis binis inclusis, major aucta. $\frac{570}{1}$). In carbone compacta. Malowka Pruckscha. Nowgorod (Rossia Centralis). Zwickau (Saxonia).

582. Corpus circulare intransparens. Exosporium $\frac{1}{20}$ diametri corporis crassum, ex substantia granulosa compositum, in superficie tota et in marginibus verrucis latis, usque crassitudinis Exosporii dimidio subaequaliter altis obtectum. Nucleus subaequaliter triseptatus, superficie septarum nuda.

Diam. 0,423—0,445 mm. Exospor. 0,036 mm. (Tab. XXXV. fig. 239. Specimen in utroque latere corporis horizontaliter sectum. Magn. $\frac{1}{2}$ fig. a. Exosporii pars cum verruca singula, major aucta. $\frac{570}{1}$). Malowka. Metschowk.

Subdivisio CII. Exosporium-incrassatum, verrucis latioribus obtectum.

† Exosporium verrucis latis, rotundatis obtectum.

583. Corpus circulare, marginibus inciso-crenatis. Exosporium totum verrucis latis, rotundatis obtectum.

Diam. 0,053 mm. Diam. nucl. 0,031 mm. (Tab. XXXVIII. fig. 263). Kurakinskije.

584. Corpus anguloso-circulare, marginibus undulatis. Exosporium $\frac{1}{5}$ diametri corporis crassum, verrucis latissimis, subconicis, rotundatis obtectum.

Diam. 0,091—0,105 mm. Diam. nucl. 0,056 mm. (Tab. XXXVIII. fig. 264). „Blätterkohle.“

585. Corpus anguloso-circulare, marginibus subundulatis. Exosporium subincrassatum, in tota superficie verrucis latissimis, humilioribus, late rotundatis obtectum.

Diam. 0,071 mm. (Tab. XLVIII. fig. 264. E). Kurakinskije.

586. Corpus regulariter circulare. Exosporium subincrassatum, in tota superficie verruculis minoribus, rotundatis, numerosis obtectum. Fissurae apertae, nudaе.

Diam. 0,078—0,095 mm. (Tab. XXXIII. fig. 225). „Devonische Kohle.“

†† Exosporium verrucis acutis aut prolongatis obtectum.

587. Corpus regulariter circulare, marginibus inciso-crenulatis. Exosporium incrassatum, $\frac{1}{4}$ diametri corporis crassum, marginibus et interiore parte spinis subacutis latis obtectis.

Diam. 0,056—0,063 mm. Diam. nucl. 0,031 mm. (Tab. XXXVIII. fig. 265). Metschowk. „Stigmarienkohle.“

588. Corpus circulare. Exosporium subincrassatum, in marginibus et in interiore parte spinis, subcylindricis, obtusiusculis, irregulariter dispersis armatum. Fissurae breviores, subtiliter volvatae.

Diam. (sine spinis) 0,063 mm. (Tab. XLII. fig. 227. A). Zwickau.

Subdivisio CIII. Exosporium incrassatum, $\frac{1}{6}$ — $\frac{1}{15}$ diametri corporis crassum, cavernulis subcylindraceis, radialiter densius positis impletum.

589. Corpus circulare. Exosporium $\frac{1}{15}$ corporis diametri crassum, cavernulis subangustis impletum. Nucleus lacunoso-perforatus. Fissurae excentricae nudaе.

Diam. 0,084 mm. (Tab. XXXVIII. fig. 258. fig. a. Exosporii pars major aucta). „Blätterkohle.“

590. Corpus circulare. Exosporium $\frac{1}{6}$ diametri corporis crassum, cavernulis indistinctioribus impletum.

Diam. 0,063 mm. Diam. nucl. 0,045 mm. (Tab. XXXVIII. fig. 259. Pruckscha. Nowgorod.

591. Corpus regulariter circulare, marginibus crenulatis. Exosporium incrassatum, usque $\frac{1}{3}$ corporis diametri crassum, lacunulis majoribus rotundatis, regulariter in seriebus 3is—4is concentricis dispositis, impletum, lacunulae e marginibus ad centrum decrescentibus. Nucleus regulariter circularis, granulatus.

Diam. 0,091 mm. Diam. nucl. 0,031 mm. (Tab. XXXVIII. fig. 260). Lewino.

591 A. Corpus circulare, marginibus crenato-undulatis. Exosporium incrassatum, circiter $\frac{1}{6}$ diametri corporis crassum. In tota superficie, cum Nucleum parte inducente, lacunulis majoribus, rotundatis perforatum. Nucleus circularis, fissuris ab Exosporii inducente parte perfossis.

Diam. 0,105 mm. Diam. nucl. 0,063 mm. (Tab. XXXVIII. fig. 261). Lewino.

Subdivisio CIV. Exosporium incrassatum, integerrimum $\frac{1}{5}$ — $\frac{1}{10}$ corporis diametri crassum, subhomogeneum, interdum indistinctius lamellosum.

† Exosporium $\frac{1}{4}$ — $\frac{1}{7}$ diametri crassum.

⊙ Exosporium glaberrimum et punctulatum.

592. Corpus hexagonum, marginibus subrectis, Exosporium $\frac{1}{4}$ diametri crassum punctulatum. Nucleus circularis, granulatus.

Diam. 0,078 mm. Diam. nucl. 0,035 mm. (Tab. XXXV. fig. 241). „Stigmarienkohle.“

593. Corpus irregulariter ovato-ellipticum, marginibus irregulariter repandis. Exosporium inaequaliter crassum punctulatus. Nucleus punctulatus.

Long. 0,053 mm. Diam. nucl. 0,028 mm. (Tab. XLII. fig. 231. C). Kurakinskije.

594. Corpus irregulariter circulare. Exosporium $\frac{1}{6}$ diametri crassum, glaberrimum. Nucleus regulariter circularis granulato-verruculosus.

Diam. 0,117 mm. Diam. nucl. 0,069 mm. (Tab. XLVI. fig. 246. A). „Blätterkohle“.

595. Corpus circulare. Exosporium $\frac{1}{5}$ diametri crassum, granulatum. Nucleus circularis, dense granulatus.

Diam. 0,066 mm. Diam. nucl. 0,046 mm. (Tab. XXXIII. fig. 228). Bexbach. (Bavaria Rhen.). Zwickau (Saxonia).

595 A. Corpus circulare. Exosporium homogeneous punctulatum, $\frac{1}{5}$ diametri crassum. Nucleus circularis, punctulatus, fissuris subvolvatis.

Diam. 0,125 mm. Diam. nucl. 0,07 mm. (Tab. XXXIII. fig. 229). Zwickau.

596. Corpus circulare. Exosporium inaequaliter incrassatum, $\frac{1}{7}$ diametri crassum, punctulatus. Nucleus circularis granulatus.

Diam. 0,05 mm. Diam. nucl. 0,031 mm. (Tab. XLII. fig. 231 B). Devonische Kohle.“

597. Corpus circulare. Exosporium aequaliter incrassatum, $\frac{1}{7}$ diametri crassum, subtiliter laminosum, glaberrimum. Nucleus circularis, costis irregularibus, latis obtectus, glaberrimus, fissuris subtiliter volvatis.

Diam. 0,059 mm. Diam. nucl. 0,04 mm. (Tab. XLVIII. fig. 250. A). Lewino.

⊙⊙ Exosporium veruculosum et verrucosum.

598. Corpus ovato-circulare. Exosporium inaequaliter incrassatum, $\frac{1}{4}$ — $\frac{1}{5}$ corporis diametri transversalis crassum, verruculoso-exasperatum. Nucleus circularis, punctulatus.

Long. 0,078 mm. Lat. 0,059 mm. Diam. nucl. 0,035 mm. (Tab. XLII. fig. 230. A). Zwickau.

598 A. Corpus irregulariter circulare, marginibus irregulariter emarginatis. Exosporium verruculosum. Nucleus circularis.

Diam. 0,069 mm. Diam. nucl. 0,05 mm. (Tab. XXXIII. fig. 232).

Forma. Nucleo paulo majore, fissuris subvolvatis.

Diam. 0,078 mm. Diam. nucl. 0,056 mm. (Tab. XXXVI. fig. 247. A).

599. Corpus circulare usque fere ovato-circulare. Exosporium circiter $\frac{1}{5}$ diametri corporis crassum, integerrimum aut marginibus crenulatis, verruculoso-exasperatum et verrucosum, interdum indistinctius laminosum. Nucleus circularis, granuloso-exasperatus, fissuris volvatis aut nudis.

Propter magnam variabilitatem in dimensionibus in Speciminibus compluribus observandam, 5 formae sunt constitutae.

Forma 1. Diam. 0,113 mm. Diam. nucl. 0,063 mm. (Tab. XXXIV. fig. 234. Tab. XXXVI. fig. 244).

Forma 2. Diam. 0,115 mm. Diam. nucl. 0,075 mm. (Tab. XXXV. fig. 233).

Forma 3. Diam. 0,125 mm. Diam. nucl. 0,081 mm. (Tab. XXXVI. fig. 246).

Forma 4. Diam. 0,125 mm. Diam. nucl. 0,087 mm. (Tab. XXXVI. fig. 246. A).

Forma 5. Diam. 0,14 mm. Diam. nucl. 0,082 mm. (Tab. XLV. fig. 189. C).

In carbone compacta. Metschowk. Malowka. Lewino. Forma communissima.

600. Corpus irregulariter hexagonale, marginibus subemarginatis. Exosporium $\frac{1}{4}$ — $\frac{1}{5}$ diametri crassum, inaequaliter verrucosum, homogeneous. Nucleus circularis granulato-verruculosus.

Diam. 0,011 mm. Diam. nucl. 0,066 mm. (Tab. XXXVII. fig. 249). „Blätterkohle.“ In carbone terrosa. Pruckscha. Nowgorod. (Rossia centralis).

601. Corpus circulare usque hexagonali-circulare. Exosporium $\frac{1}{5}$ diametri crassum, verrucoso-incisum. Nucleus circularis verruculosus.

Diam. 0,066 mm. Diam. nucl. 0,039 mm. (Tab. XXXV. fig. 240). Devonische Kohle.

†† Exosporium $\frac{1}{9}$ — $\frac{1}{10}$ diametri crassum.

⊙ Exosporium glaberrimum.

602. Corpus ovato-circulare. Exosporium glaberrimum. Nucleus subtiliter granulatus, fissuris brevissimis, excentrice positis, subtiliter volvatis.

Diam. 0,114 mm. Diam. nucl. 0,087 mm. (Tab. XLVI. fig. 234. B). Zwickau.

⊙⊙ Exosporium verruculosum et verrucosum.

603. Corpus irregulariter circulare. Exosporium verruculosum. Nucleus circularis granulatus.

Diam. 0,078 mm. Diam. nucl. 0,063 mm. (Tab. XLVI. fig. 247. A). Zwickau.

604. Corpus irregulariter anguloso-circulare. Exosporium et Nucleus verruculoso-exasperatum. Nucleus regulariter circularis.

Diam. 0,125 mm. Diam. nucl. 0,105 mm. (Tab. XLII. fig. 234. A). Malowka.

605. Corpus regulariter circulare. In Speciminibus perpaucis observatis, granulato-exasperata pars exterior Exosporii et partim cum parasiticis Plantulis densissime coalescens, indistinctius separata de Exosporii interna parte. Nucleus fissuris dupliciter divisus et volvatis.

Diam. 0,11 mm. Diam. nucl. 0,087 mm. (Tab. XLIX. A. fig. 220. M). Metschowk.

606. Corpus irregulariter hexagonum. Exosporium lacunuloso-verrucosum.

Diam. 0,066 mm. (Tab. XXXV. fig. 242). „Stigmarienkohle.“

607. Corpus subcirculare, marginibus subcrenulatis. Exosporium et Nucleus irregulariter verrucosum.

Diam. 0,042 mm. Diam. nucl. 0,034 mm. (Tab. XXXIII. fig. 221. 221. B). „Stigmarienkohle.“

Subdivisio CV. Exosporium incrassatum circiter $\frac{1}{5}$ Corporis diametri crassum, in lobulos inaequales et subaequales subdivisum, lobulis rotundatis integerrimis aut crenato-incisis.

† Lobulis latioribus, integerrimis.

608. Corpus anguloso-circulare, marginibus undatis. Exosporium indistinctius bilaminosum, glaberrimum. Nucleus circularis, granulis singulis.

Diam. 0,084 mm. Diam. nucl. 0,056 mm. (Tab. XLVI. fig. 247. B). „Blätterkohle.“

†† Lobulis inaequalibus, marginibus crenato-incisis.

609. Corpus irregulariter anguloso-circulare. Exosporium indistinctius laminosum, in lobulos inaequales, marginibus inciso-crenatis, lobulato-verrucosis divisum. Nucleus regulariter circularis, fissuris volvatis.

Diam. 0,11 mm. Diam. nucl. 0,069 mm. (Tab. XXXVI. fig. 247). Malowka.

Forma major. Nucleo exasperato, fissuris late volvatis.

Diam. 0,125 mm. Diam. nucl. 0,078 mm. (Tab. XXXVI. fig. 247. A).

610. Corpus ovato-ellipticum. Exosporium inaequaliter incrassatum, in lobulos 2os aut 3os latos paulo productum. Lobuli marginibus inciso-crenatis, grosse verrucosis. Nucleus regulariter circularis, reticulato-volvatus, fissuris dupliciter volvatis.

Diam. Long. 0,145 mm. Diam. nucl. 0,108 mm. (Tab. XLVIII. fig. 247. C). Kurakinskije.

611. Corpus subcirculare, marginibus irregulariter incisis. Exosporium in lobulos inaequales subdivisum, marginibus verrucoso-incisis. Nucleus regulariter circularis.

Forma 1. Exosporium in lobulos 7os—8os indistinctius evolutos productum.

Diam. 0,115 mm. Diam. nucl. 0,075 mm.

Forma 2. Exosporium in lobulos 9os—10os indistinctius evolutos productum.

Diam. 0,125 mm. Diam. nucl. 0,081 mm.

Forma 3. Corpus irregulariter ovato-circulare marginibus irregulariter profundius emarginatis. Nucleus irregulariter circularis.

Diam. 0,125 mm. Diam. nucl. 0,084 mm.

Forma 4. Corpus subcirculare, marginibus incis. Exosporium in lobulos 12 os — 14 os inaequales distinctiores, marginibus rotundatis et inciso-verrucosis divisum. Nucleus circularis.

Diam. 0,129—0,135 mm. Diam. nucl. 0,084—0,088 mm. (Tab. XXXVII. fig. 256).

Forma 5. Corpus circulare, marginibus subincisis. Exosporium in lobulos numerosos (15 os—17 os) divisum. Nucleus circularis.

Diam. 0,145 mm. Diam. nucl. 0,1 mm. (Tab. XXXVII. fig. 255).

„Stigmarienkohle“ in carbone compacta. Lewino, Metschowk, Malowka, Zwickau.

612. Corpus subcirculare, marginibus profundius incis. Exosporium in lobulos inaequales 6 os — 8 os profundiores, marginibus rotundatis, divisum. Lobuli verrucoso-exasperati. Nucleus circularis, punctato-verruculosus, fissuris volvatis.

Diam. 0,129—0,132 mm. Diam. nucl. 0,063 mm. (Tab. XXXVIII. fig. 257). „Stigmarienkohle.“

613. Corpus circulare, marginibus profundius incis. Exosporium in lobulos subaequales 9 os—10 os, profundiores, subincrassatos, late rotundatos, marginibus integerrimis divisum. Nucleus regulariter circularis, punctulatus.

Diam. 0,138 mm. Diam. nucl. 0,084 mm. (Tab. XXXVIII. fig. 262. Magn. $\frac{1}{4}$). Kurakinskije.

614. Corpus circulare, marginibus profunde incis, lobulis distinctis, numerosis (17 is — 19 is), paulo incrassatis, rotundatis, marginibus verrucoso-incis. Nucleus circularis verrucoso-exasperatus.

Diam. 0,145 mm. Diam. nucl. 0,11 mm. (Vol. II. Tab. LXXXIV. fig. 255. A). Metschowk. „Stigmarienkohle.“

Subdivisio CVI. Exosporium incrassatum, $\frac{1}{4}$ — $\frac{1}{6}$ diametri corporis crassum, distincte bi-plurilamellosum, lamellis homogeneis et inhomogeneis.

✦ Exosporium lamellis inaequalibus, homogeneis.

615. Corpus triangulari-circulare, marginibus crenulatis. Exosporium inaequaliter lamellosum, extrorsum grosse verruculosum. Nucleus regulariter circularis punctulatus.

Diam. 0,125 mm. Diam. nucl. 0,069 mm. (Tab. XLII. fig. 232. A). In carbone laminosa. Zwickau.

616. Corpus circulare, marginibus integerrimis. Exosporium irregulariter lamellosum, cum Nucleo verruculoso-punctulatum. Nucleus fissuris tenerrimis.

Diam. 0,069 mm. Diam. nucl. 0,046 mm. (Tab. XXXVII. fig. 250). Zwickau.

✦✦ Exosporium lamellis inaequalibus, inhomogeneis.

617. Corpus hexagonali-circulare, angulis rotundatis. Exosporium 5—6 lamellosum, lamellis granulosus, inaequaliter incrassatis. Nucleus regulariter circularis granulatus.

Diam. 0,105 mm. Diam. nucl. 0,05 mm. (Tab. XXXVI. fig. 248. Tab. XXXVII. fig. 251).

618. Corpus ovato-ellipticum, marginibus integerrimis. Exosporium inaequaliter incrassatum, lamellis inaequaliter excentrice explicitis, verrucoso-exasperatum. Nucleus regulariter circularis.

Long. 0,132 mm. Lat. 0,081 mm. Diam. nucl. 0,05 mm. (Tab. XXXVII. fig. 252). Malowka.

Subdivisio CVII. Exosporium inaequaliter incrassatum, membranaceum, polis binis productis.

619. Corpus ovato-ellipticum. Exosporium symmetrice evolutum, Nucleus regulariter circularis, punctulatus.

Long. 0,11 mm. Lat. 0,063 mm. Diam. nucl. 0,056 mm. (Tab. XLVII. fig. 231. D). Metschowk.

620. Corpus ovato-ellipticum. Exosporium symmetrice evolutum, subtilissime granulatum, in polis $\frac{1}{2}$ diametri nuclei regulariter circularis crassum.

Long. 0,081 mm. Lat. 0,046 mm. Diam. nucl. 0,043 mm. (Tab. XLVII. fig. 231. C). Metschowk.

621. Corpus ovato-ellipticum. Exosporium membranaceum inaequaliter incrassatum, polo singulo paulo producto, dense granulatum. Nucleus regulariter circularis subtiliter granulatus, fissuris tenuissimis, brevioribus.

Long. 0,1 mm. Lat. 0,087 mm. Diam. nucl. 0,063 mm. (Tab. XLII. fig. 231. A). „Blätterkohle, Stigmarienkohle.“

Subdivisio CVIII. Exosporium inaequaliter incrassatum, membranaceum, integerrimum, in polis paulo productum, $\frac{1}{2}$ — $\frac{1}{4}$ diametri transversalis corporis crassum. Formae majores, 0,461—0,39 mm. longae.

622. Corpus late ovato-ellipticum. Exosporium glaberrimum in circuitu. Nuclei inaequaliter crassum, polis paululo productis, in polis $\frac{1}{4}$ diametri transversalis corporis crassum. Nucleus regulariter circularis lacunuloso-punctatus, fissuris latis.

Long. 0,39 mm. Lat. 0,33 mm. Diam. nucl. 0,23 mm. (Tab. XXXIII. fig. 231). „Stigmarienkohle.“

623. Corpus irregulariter late ovato-ellipticum, marginibus subundatis. Exosporium, glaberrimum, in polis paulo productum, duplo crassius quam in lateribus. Nucleus regulariter circularis, verruculosus.

Long. 0,461 mm. Lat. 0,31 mm. Diam. nucl. 0,24 mm. (Tab. XXXIII. fig. 230. magn. $\frac{1}{1}$). „Stigmarienkohle.“

624. Corpus semi-ovato-ellipticum, marginibus integerrimis. Exosporium glaberrimum, inaequaliter incrassatum, margine uno recto, margine altero convexo, in polis productum, cum crassitudinis in marginibus lateralibus. Nucleus regulariter circularis, fissuris usque margines attingentibus.

Long. 0,398 mm. Lat. 0,24 mm. Diam. nucl. 0,22 mm. (Tab. XXXVII. fig. 254. Magn. $\frac{1}{1}$). „Stigmarienkohle.“ In carbone compacta. Metschowk.

Subdivisio CIX. Exosporium inaequaliter incrassatum, in ternis locis nuclei peripheriae productum, $\frac{1}{3}$ — $\frac{1}{5}$ diametri corporis crassum.

625. Corpus subtriangulare, marginibus subconvexis, crenulatis. Exosporium lacunuloso-verruculosum. Nucleus regulariter circularis granulatus, fissuris tenuissimis.

Diam. 0,069 mm. Diam. nucl. 0,05 mm. (Vol. II. Tab. LXXXIV. fig. 232. D) „Devonische Kohle.“

626. Corpus regulariter triangulare, marginibus dentato incis. Exosporium dense-verrucosum, verrucis in marginibus regulariter dispositis, centrum corporis versus decrescentibus. Nucleus regulariter circularis granulatus, fissuris latioribus, volvatis.

Diam. 0,377 mm. Diam. nucl. 0,24 mm. (Tab. XLVI. fig. 232. B. Magn. $\frac{1}{1}$). „Stigmarienkohle.“

627. Corpus ovato-triangulare, marginibus convexis, integerrimis. Exosporium aequaliter subincrassatum (in polis paulo magis), furfuraceo-verruculosum. Nucleus regulariter circularis, lamina bilaminosa obtectus, granulatus, fissuris dupliciter volvatis. Lamina exterior indumenti nuclei crenulato-divisa.

Diam. 0,394 mm. Diam. nucl. 0,25 mm. (Tab. XLIX. B. fig. 232. C. Magn. $\frac{1}{1}$. Specimen cum plantula singula parasytica (α). Trichostelium conf. (Tab. LI. fig. 24). „Stigmarienkohle.“

Subdivisio CX. Exosporium incrassatum, membranaceum, Nucleum sacculiformiter involvens, cribose-perforatum et reticulariformiter instructum.

628. Corpus circulare, marginibus integerrimis. Exosporium $\frac{1}{4}$ diametri corporis crassum, lacunulis angulosis, densius positis cribose-perforatum. Exosporii pars Nucleum involvens lacunulis angustioribus, rotundatis. Nucleus circularis.

Diam. 0,1 mm. Diam. nucl. 0,046 mm. (Tab. XXXVII. fig. 253. fig. a. Exosporii externae partis pars major aucta. fig. b. Exosporii internae partis, Nucleum inducentis, pars major aucta). „Stigmarienkohle.“

629. Corpus ovato-ellipticum. Exosporium $\frac{1}{2}$ diametri transversalis corporis, usque diametro nuclei aequaliter crassum, membranaceum (in plurimis Speciminibus plicato-rugosum, plicis longioribus longitudinaliter procurrentibus). Superficies tota usque ad Nuclei peripheriam volvulis numerosissimis, regularissime parenchymatico-reticulariter connectis obtectae. Volvularum pars superior spinulis erectis armata. Nucleus regulariter circularis, fissuris subtiliter volvatis.

Diam. Long. 0,293 mm. Diam. Lat. 0,181 mm. Diam. nucl. 0,087 mm. (Tab. XLVIII. fig. 252. A. Specimen completum, Exosporio multipliciter plicato. Magn. $\frac{1}{1}$. fig. a. Exosporii pars major aucta). „Blätterkohle“, „Stigmarienkohle.“ Metschowk.

Subdivisio CXI. Exosporium incrassatum, usque $\frac{1}{4}$ diametri corporis crassum. Substantia compacta. Superficies tota aut margines prominentiis verruciformibus, cavernulis et striis excavatis et homogeneis, seriatim dispositis divisi.

630. Corpus hexagonale, angulis rotundatis, marginibus crenatis. Margines Exosporii in segmentula homogenea radialiter divisi, ab interna lamina distincte sejuncta. Lamina interna inhomogenea, lamina Nucleum involvens granulosa. Nucleus regulariter circularis, fissuris latissime volvatis.

Diam. 0,135 mm. Diam. nucl. 0,078 mm. (Tab. XLIX. fig. 233. A). Lewino.

631. Corpus regulariter circulare, marginibus regulariter undulato-crenatis. Substantia Exosporii tota usque ad Nucleum in lobulos subaequales, apice rotundatos, cavernulis excavatis, radialiter divisa. Exosporii interna pars Nucleum partim involvens. Nucleus regulariter circularis, indumento tenuissimo bilamelloso velatus.

Diam. 0,131 mm. Diam. nucl. 0,066 mm. (Tab. XLVIII. fig. 259. A). „Stigmarienkohle.“

* Omnes Figurae Triletum, ubi non singulatim notatae, sunt amplificatae in ratione 570 : 1.
 Figurae notatae magn. $\frac{1}{4}$ in ratione 285 : 1.
 Figurae notatae magn. $\frac{1}{2}$ in ratione 142 : 1.
 Figurae notatae magn. $\frac{1}{4}$ in ratione 71 : 1.

Loci Figurarum in Tabulis et Numeri in Diagnosibus.

Trileteae.

Numeri in Tabulis.		Numeri in Diagnosibus.	Numeri in Tabulis.		Numeri in Diagnosibus.	Numeri in Tabulis.		Numeri in Diagnosibus.
Tab. I.	fig.	1.	Tab. V.	fig.	55.	Tab. VIII.	fig.	110.
		2.			56.			111.
		3.			57.	Tab. IX.	fig.	112.
		4.			58.			113.
		5.			59.			114.
		6.			61.			115.
		7.			62.			116.
		8.			63.			117.
		9.			64.			118.
		10.			65.			119.
		11.			66.			120.
		12.			67.			121.
		13.			68.			122.
		14.			68.			123.
Tab. II.	fig.	15.	Tab. VI.	fig.	69.			124.
		16.			70.			125.
		17.			71.			126.
		18.			72.			127.
		19.			73.			128.
		20.			74.	Tab. X.	fig.	129.
		21.			75.			130.
		22.			76.			132.
		23.			77.			133.
		24.			78.			134.
		25.			79.			135.
		26.			80.			136.
		27.			81.			137.
		28.			82.			138.
		29.			83.			139.
		30.			84.			140.
		31.			85.	Tab. XI.	fig.	141.
Tab. III.	fig.	32.			86.			142.
		33.	Tab. VII.	fig.	87.			143.
		34.			88.			144.
		35.			89.	Tab. XII.	fig.	145.
		36.			90.			146.
		37.			91.			147.
		38.			92.	Tab. XIII.	fig.	148.
		39.			93.			149.
		40.			94.			150.
		41.			95.			151.
		42.	Tab. VIII.	fig.	96.			1. A.
		43.			97.	Tab. XIV.	fig.	1. B.
		44.			98.			4. A.
		45.			99.			6. A.
Tab. IV.	fig.	46.			100.			7. A.
		47.			101.			9. A.
		48.			102.			17. A.
		49.			103.			18. A.
		50.			104.			18. B.
		51.			105.			18. C.
		51. A.			105.			19. A.
		52.			106.			15. A.
		53.			107.			22. A.
		54.			108.			22. B.
					109.			

Numeri in Tabulis.		Numeri in Diagnosibus.	Numeri in Tabulis.		Numeri in Diagnosibus.	Numeri in Tabulis.		Numeri in Diagnosibus.
Tab. XV.	fig.	23. A. 48.	Tab. XIX.	fig	80. B. 207.	Tab. XXIV.	fig.	50. C. 93.
		26. A. 51.			118. I. 57.			50. E. 100.
		27. A. 64.			119. D. 289.			63. A. 123.
		28. A. 71.			134. A. 257.			50. G. 282.
		36. A. 72.			47. A. 309.			50. F. 100. A.
		44. A. 355.			1 D. 96.			74. D. 128.
		44. B. 342.			1. E. 2.			74. C. 132.
		45. A. 355.			39. B. 366.			65. A. 283.
		47. A. 149.			115. A. 311.			79. D. 212.
		48. A. 92.	Tab. XX.	fig	1. F. 284.			79. C. 208.
		51. A. 89.			14. E. 371.			77. A. 346.
		59. A. 90.			14. F. 359.	Tab. XXV.	fig.	76. A. 87.
		78. A. 200.			55. A. 150.			79. E. 210.
Tab. XVI.	fig.	79. A. 211.			58. B. 166.			79. F. 215.
		82. A. 203.			74. B. 301.			79. G. 221.
		92. A. 179.			89. A. 201.			79. H. 220.
		95. A. 168.			99. A. 198.			79. I. 191.
		118. A. 326.			130. F. 275.			80. C. 209.
		118. B. 331.			114. A. 305.			82. C. 217.
		119. A. 312.			118. M. 293.			85. C. 169.
		123. A. 288.			146. A. 378.			92. B. 232.
		124. A. 350.			118. L. 292.			108. B. 334.
		124. B. 351.			128. A. 274.			99. B. 186.
		125. A. 336.			118. K. 320.			98. B. 294.
		127. A. 266.	Tab. XXI.	fig.	135. C. 247.			114. B. 306.
		126. A. 262.			1. G. 110.	Tab. XXVI.	fig.	115. B. 302.
		127. B. 267.			1. H. 281.			115. C. 127.
		130. A. 322.			2. A. 81.			115. D. 203.
Tab. XVII.	fig.	131. B. 255.			2. B. 13.			117. C. 317.
		132. A. 230.			13. 344.			117. D. 313.
		131. A. 229.			17. B. 68.			117. E. 315.
		132. B. 246.			17. C. 82.			117. F. 298.
		135. A. 147.			3. A. 84.			118. N. 319.
		136. A. 245.			20. A. 59.			118. O. 327.
		1. C. 224.			22. C. 34.			118. R. 318.
		15. A. 85.			22. D. 33.			118. P. 291.
		39. A. 367.			26. C. 54.			118. Q. 321.
		41. A. 368.			26. D. 60.			124. B. 218.
		41. C. 369.			26. E. 61.			118. S. 106.
		41. B. 370.	Tab. XXII.	fig.	27. B. 52.			118. T. 156.
		46. A. 129. A.			26. F. 55.	Tab. XXVII.	fig.	125. C. 338.
		48. B. 266.			27. C. 62.			125. B. 339.
		54. A. 114.			31. 74.			126. C. ⊙ fig. deleta
		79. C. 206.			41. F. 358.			127. B. 276.
Tab. XVIII.	fig.	80. A. 227.			27. D. 66.			127. C. 264.
		79. B. 204.			30. A. 70.			127. D. 268.
		82. B. 205.			28. A. 78.			130. G. 268.
		94. B. 196.			30. B. 15.			130. H. 256.
		85. A. 173.			33. A. 42.			130. I. 242.
		95. B. 177.			37. A. 352.			136. B. 239.
		106. A. 185.			38. A. 361.			136. C. 249.
		117. A. 297.			41. H. 356.			136. D. 250.
		118. C. 154.			41. F. 358.			136. E. 253.
		118. D. 155.			41. G. 375.			136. F. 254.
		118. E. 153.			41. K. 374.			136. G. 252.
		118. F. 56.	Tab. XXIII.	fig.	41. I. 372.	Tab. XXVIII.	fig.	117. G. 314.
		118. G. 290.			44. C. 161.			8. A. 25.
		118. H. 287.			40. A. 364.			26. G. 49.
		121. A. 304.			46. D. 101.			36. A. 348.
		119. C. 300.			46. B. 180.			44. D. 341.
		126. B. 265.			46. C. 181.			79. L. 167.
Tab. XIX.	fig.	130. B. 323.			48. C. 286.			27. E. 65.
		130. C. 261.			48. D. 285.			79. K. 178.
		130. D. 260.			49. B. 225.			79. M. a.l.(Discieae)
		135. B. ⊙ Tab.XLIX.			50. A. 107.			66. A. 379.
		C. fig. 135. B.			49. A. 277.			151. A. 380.
		41. D. 316.			49. C. 226.			62. A. ⊙ fig. deleta
		45. B. 90.			49. D. 279.			99. C. 192.
		46. B. 105.			50. B. 102.	Tab. XXIX.	fig.	118. U. 333.
		130. E. 240.			50. D. 280.			152. 382.

Numeri in Tabulis		Numeri in Diagnosibus	Numeri in Tabulis		Numeri in Diagnosibus	Numeri in Tabulis		Numeri in Diagnosibus			
Tab. XXIX.	fig.	153.	384.	Tab. XXXIII.	fig.	221.	607.	Tab. XL.	fig.	171. B.	439.
		154.	383.			222.	539.			171. C.	437.
		155.	388.			223.	576.			172. A.	409.
		156.	389.			224.	540.			172. B.	514.
		157.	397.			225.	586.			174. A.	414.
		158.	392.			226.	541.			175. C.	440.
		159.	418.			227.	575. a.			175. B.	441.
		160.	397.			228.	595.			175. A.	444.
		161.	396.			229.	595. a.			176. C.	478.
		162.	395.			220. F.	525.			176. A.	447.
		163.	398.			221. B.	607.			178. A.	469.
		164.	399.			230.	623.			175. D.	463.
		165.	401.			231.	622.			176. B.	477.
		166.	402.			232.	598. a.			178. C.	464.
		167.	403.	Tab. XXXIV.	fig.	233.	599.			178. B.	501.
		168.	407.			234.	599.	Tab. XLI.	fig.	176. D.	465.
		169.	406.			235.	579.			179. B.	512.
		170.	426.	236.	577.	178. E.	443.				
		171.	436.	237.	578.	180. A.	466.				
		172.	434.	Tab. XXXV.	fig.	238.	581.			178. D.	499.
		173.	423.			239.	582.			179. A.	512.
		174.	416.			240.	607.			191. B.	490.
Tab. XXX.	fig.	175.	442.			241.	592.			179. C.	495.
		176.	446.	242.	606.	187. A.	483.				
		177.	450.	243.	580.	192. A.	521.				
		178.	452.	Tab. XXXVI.	fig.	243. a.	580.	189. A.	472.		
		179.	409.			244.	599.	191. A.	471.		
		180.	467.			246. A.	599.	Tab. XLII.	fig.	218. A.	550.
		181.	447.	247.	609.	220. A.	524.				
		181. A.	498.	247. a.	609.	220. B.	552.				
		182.	479.	247. A.	598. a.	220. C.	528.				
		183.	480.	248.	617.	220. D.	445.				
		184.	485.	Tab. XXXVII.	fig.	249.	600.			220. E.	546.
		185.	481.			250.	616.			221. A.	505. a.
		186.	484.			251.	617.			227. A.	588.
Tab. XXXI.	fig.	187.	475. a.	252.	618.	222. A.	538.				
		188.	476.	253.	628.	231. C.	593.				
		189.	473.	254.	624.	231. B.	596.				
		190.	475.	255.	611.	231. A.	621.				
		191.	476.	256.	611.	230. A.	598.				
		192.	522.	Tab. XXXVIII.	fig.	257.	612.			234. A.	604.
		193.	517.			258.	598.			271. B.	566.
		194.	518.			259.	590.	232. A.	615.		
		195.	507.	260.	591.	269. B.	564.				
		196.	508.	261.	591. A.	Tab. XLIII.	fig.	152. B.	424.		
		197.	515.	262.	613.			154. B.	381.		
		198.	516.	263.	583.			156. D.	425.		
		199.	503. a.	264.	584.			156. E.	460.		
		200.	502.	265.	587.			159. A.	419.		
		201.	503.	266.	575.			159. B.	421.		
		202.	411.	267.	573.			163. D.	429.		
Tab. XXXII.	fig.	203.	504.	268.	553.			164. A.	412.		
		204.	505.	269.	554.			168. B.	410.		
		205.	487.	270.	557.			154. A.	459.		
		206.	491.	271.	555.			171. D.	432.		
		207.	492.	Tab. XXXIX.	fig.			152. A.	385.	174. B.	427.
		208.	486.					161. A.	400.	172. C.	430.
		209.	494.					158. A.	415.	163. C.	433.
		210.	524.	173. A.	417.			171. E.	431.		
		211.	523.	152. B.	385.	171. F.	435.				
		212.	530.	168. A.	408.	177. A.	451.				
		213.	529.	164. A.	420.	177. B.	449.				
		212. a.	530.	163. B.	393.	Tab. XLIV.	fig.	170. A.	428.		
		214.	526.	163. A.	413.			172. D.	513.		
		215.	526.	154. A.	387.			175. E.	500.		
		216.	527.	156. B.	391.			178. F.	453.		
		217.	525.	156. C.	404.			176. F.	448.		
		218.	551.	156. A.	390.			181. B.	496.		
Tab. XXXIII.	fig.	219.	531.	166. A.	424.			176. E.	445.		
		220.	523.	171. A.	438.			177. C.	455.		

Numeri in Tabulis		Numeri in Diagnosibus	Numeri in Tabulis		Numeri in Diagnosibus	Numeri in Tabulis		Numeri in Diagnosibus
Tab. XLIV.	fig. 180. B.	468.	Tab. XLVII.	fig. 243. B.	534.	Tab. XLIX. A. fig.	2.	104.
	180. D.	462.		220. K.	544.		3. 4.	21.
	179. B.	510.		220. L.	537.		5.	332.
	178. G.	453. a.		227. B.	576.		6.	83.
Tab. XLV.	fig. 180. E.	461.	Tab. XLVIII.	fig. 247. C.	610.	Tab. XLIX. B. fig.	46. E.	103.
	179. C.	511.		222. B.	542.		76. B.	67.
	180. F.	458.		231. C.	620.		127. D.	269.
	180. H.	456.		231. D.	619.		220. M.	605.
Tab. XLVI.	fig. 180. J.	457.	Tab. XLIX.	fig. 159. C.	520.	Tab. XLIX. C. fig.	8. B.	28.
	180. G.	549.		173. A.	422.		118. V.	23.
	183. A.	482.		225. A.	543.		271. C.	558.
	192. B.	519.		233. A.	630.		232. C.	627.
Tab. XLVII.	fig. 220. J.	536.	Tab. XLIX. A. fig.	1.	20.	figura superior	102.	146.
	271. C.	329.					126.	270.
	269. D.	563.					126. C.	263.
	220. G.	547.					130. G.	241.
Tab. XLVIII.	fig. 247. C.	610.	Tab. XLIX. B. fig.	232. C.	627.	figura inferior	53.	377.
	250. A.	597.		102.	146.		62. A.	233.
	264. D.	565.		126.	270.		60.	121.
	257. A.	572.		126. C.	263.		131.	237.
Tab. XLIX.	fig. 159. C.	520.	Tab. XLIX. C. fig.	102.	146.		236.	236.
	173. A.	422.		126.	270.		44.	131.
	225. A.	543.		126. C.	263.		135. B.	248.
	233. A.	630.		130. G.	241.			
Tab. XLIX. A. fig.	1.	20.	Tab. XLIX. B. fig.	232. C.	627.		178. G.	454.
				102.	146.		118. S.	324.
				126.	270.		57.	119.
				126. C.	263.		72. A.	123.
Tab. XLIX. B. fig.	232. C.	627.	Tab. XLIX. C. fig.	102.	146.		130. F.	275.
				126.	270.		135.	235.
				126. C.	263.			
				130. G.	241.			
Tab. XLIX. C. fig.	102.	146.	Tab. XLIX. D. fig.	102.	146.		131. B.	228.
				126.	270.			
				126. C.	263.			
				130. G.	241.			

Errata in mensuris Figurarum.

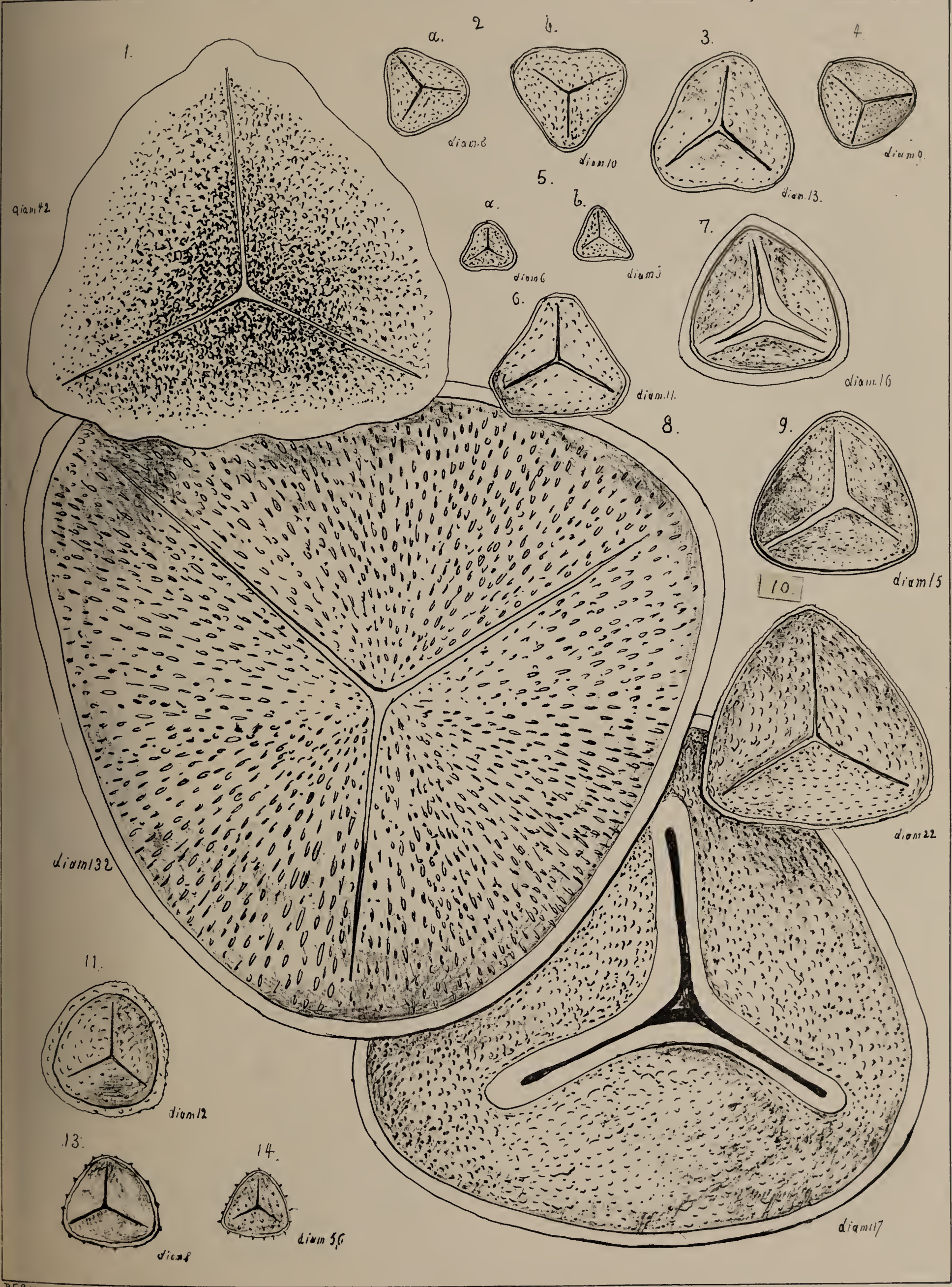
Tab. II.	fig. 26. a.	pone diam. 10.	Tab. XV.	fig. 26. A.	pone diam. 10.
	fig. 28.	pone diam. 10.		fig. 51. B.	pone n. 10.
Tab. III.	fig. 33.	pone diam. 10.	Tab. XIX.	fig. 46. B.	pone n. 10,5.
Tab. IV.	fig. 51. A.	pone nucl. 10.	Tab. XX.	fig. 55. A.	pone diam. 21.
	fig. 52.	pone diam. 21.	Tab. XXIV.	fig. 74. D.	pone n. 4,5.
Tab. V.	fig. 55.	pone nucl. 10.	Tab. XXV.	fig. 115. C.	pone n. 10.
	fig. 57.	pone diam. 18.	Tab. XXXI.	fig. 190.	pone Long. 40.
	fig. 58.	pone diam. 10.		fig. 198.	pone Long. 18.
Tab. VII.	fig. 92.	pone Long. 19, nucl. 11.	Tab. XXXV.	fig. 241.	pone n. 10.
Tab. VIII.	fig. 101.	pone n. 10.	Tab. XXXIX.	fig. 168. A.	pone Lat. 13. n. 12.
	fig. 106.	pone n. 10.	Tab. XLIII.	fig. 174. B.	pone nucl. 10.
Tab. IX.	fig. 124.	pone diam. 41. n. 21.	Tab. XLVI.	fig. 232. B.	pone diam. 102. n. 64. fiss. 22.
Tab. XI.	fig. 142.	pone Exos. 10. verr. 10.	Tab. XLVII.	fig. 231. C.	pone Long. 23.
Tab. XII.	fig. 144.	pone verr. 10.		fig. 231. D.	pone Long. 30.
Tab. XV.	fig. 6. A.	pone diam. 10.	Tab. XLVIII.	fig. 250. A.	pone n. 11,5.
	fig. 18. B.	pone diam. 10.	Tab. Supp. XLIX. B. fig. 2.	pone diam. 9,5.	

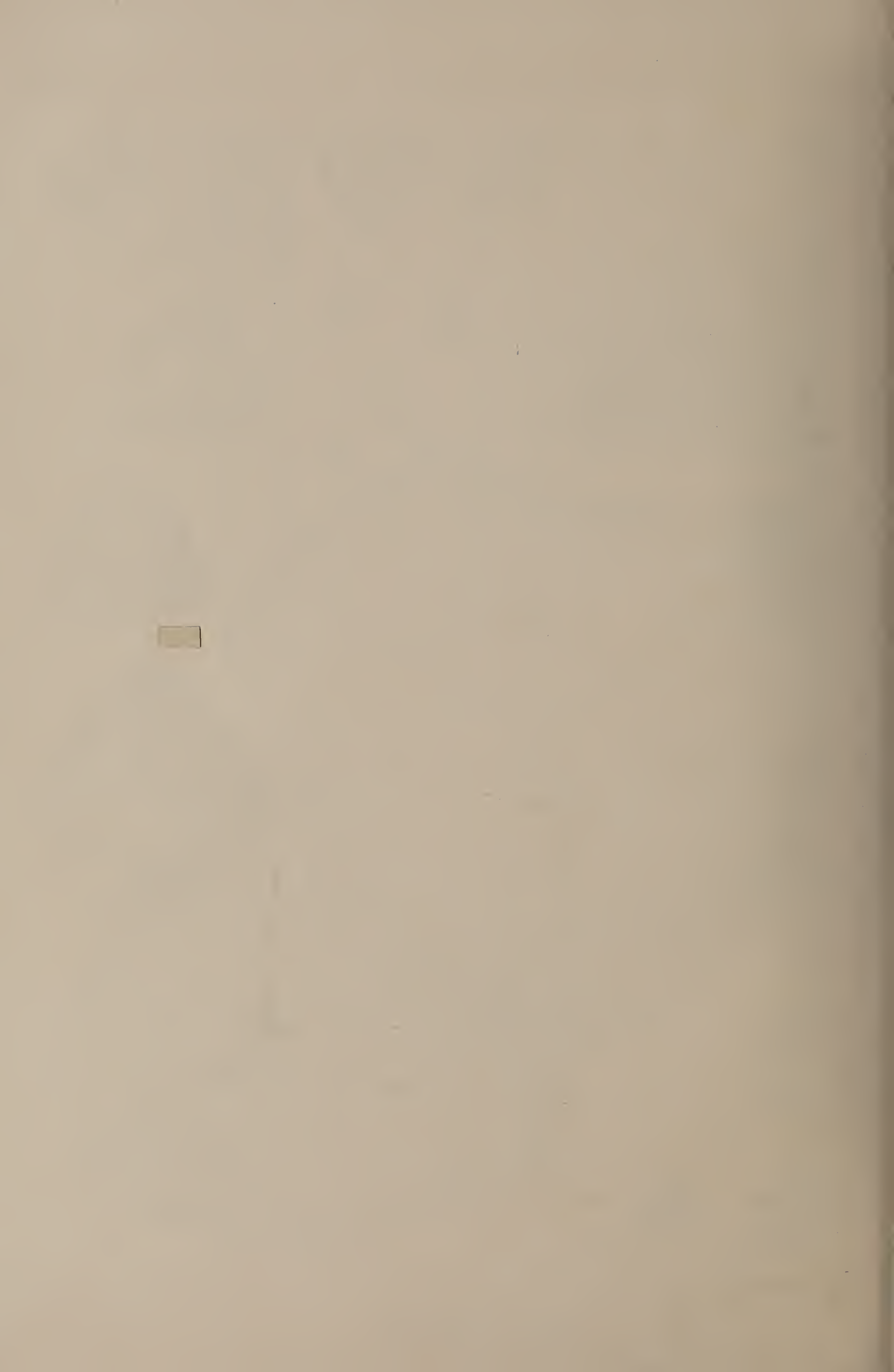
Corrigenda in Figuris.

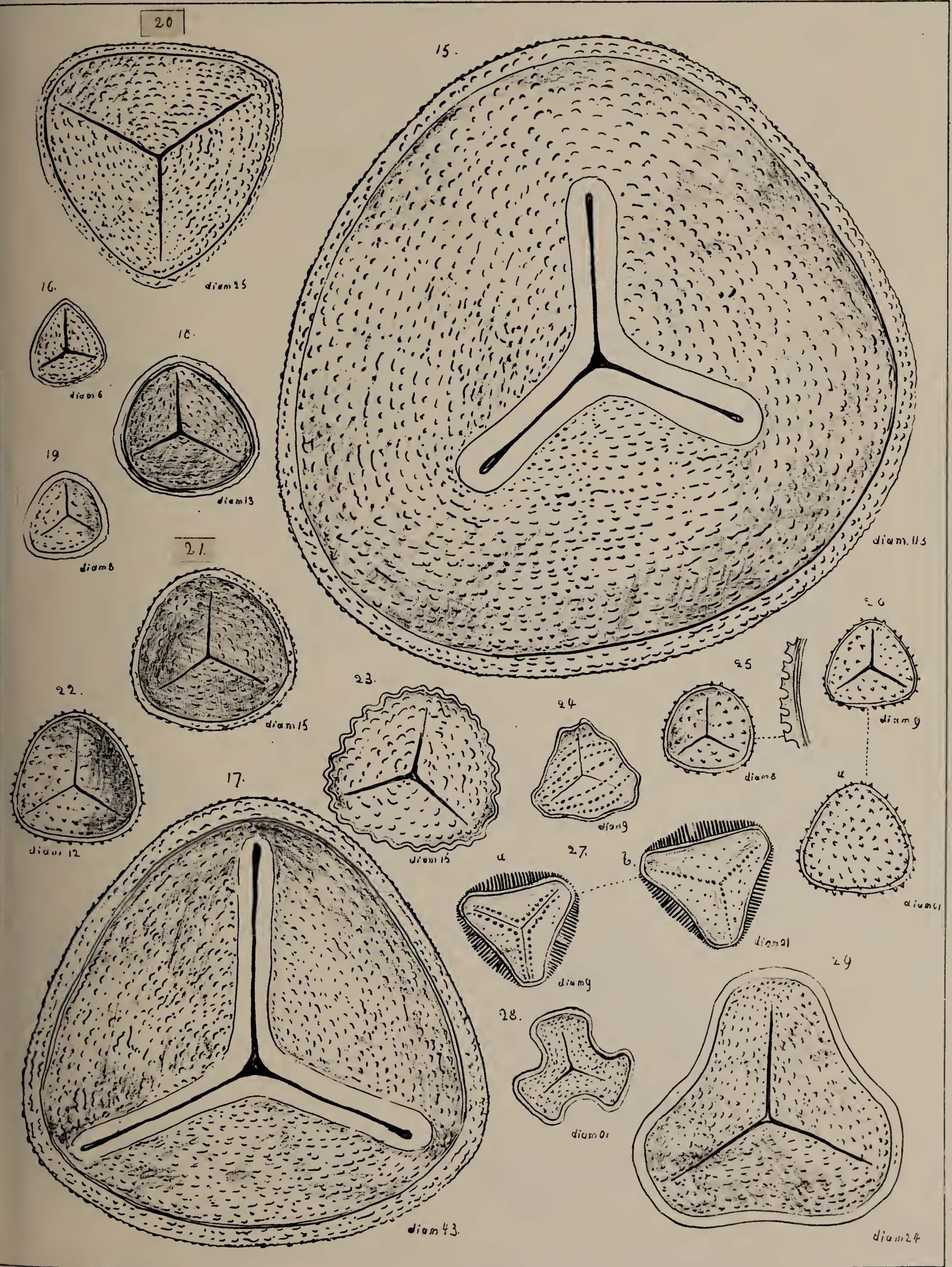
Tab. VII.	fig. 88.	Exosporium bilamellosum; in figura homogeneous.
Tab. XVI.	fig. 95. A.	Exosporium bi- et trilamellosum; in figura homogeneous.
Tab. XXV.	fig. 99. B.	Exosporium bilamellosum; in figura homogeneous.
Tab. XXVIII.	fig. 79. K.	Exosporium bilamellosum; in figura homogeneous.

Errata Typographica et Addenda.

- p. 13. Nr. 131. pone fig. 44. loco 44. A.
p. 13. Nr. 121. pone Tab. XLIX. C. fig. 60. loco Tab. V. fig. 60.
p. 15. Nr. 141. linea ult pone Parasytis loco „par angustis“.
p. 15. Subd. XI. lin. 2. pone cavernosus loco cavernosa lin. 3 pone effectus loco effecta.
p. 16. Nr. 148. adde. forma. Nucleo crassiore. Diam. 0,081 mm. Diam. nucl. 0,056 mm. (Tab. VIII. fig. 104).
p. 18. forma descripta sub Nr. 183 est extinguenda.
p. 24. Nr. 337. pone 237. loco 337.
p. 25. Nr. 248. pone Tab XLIX. C. fig. 135. fig. superior loco Tab. XIX. fig. 135. B.

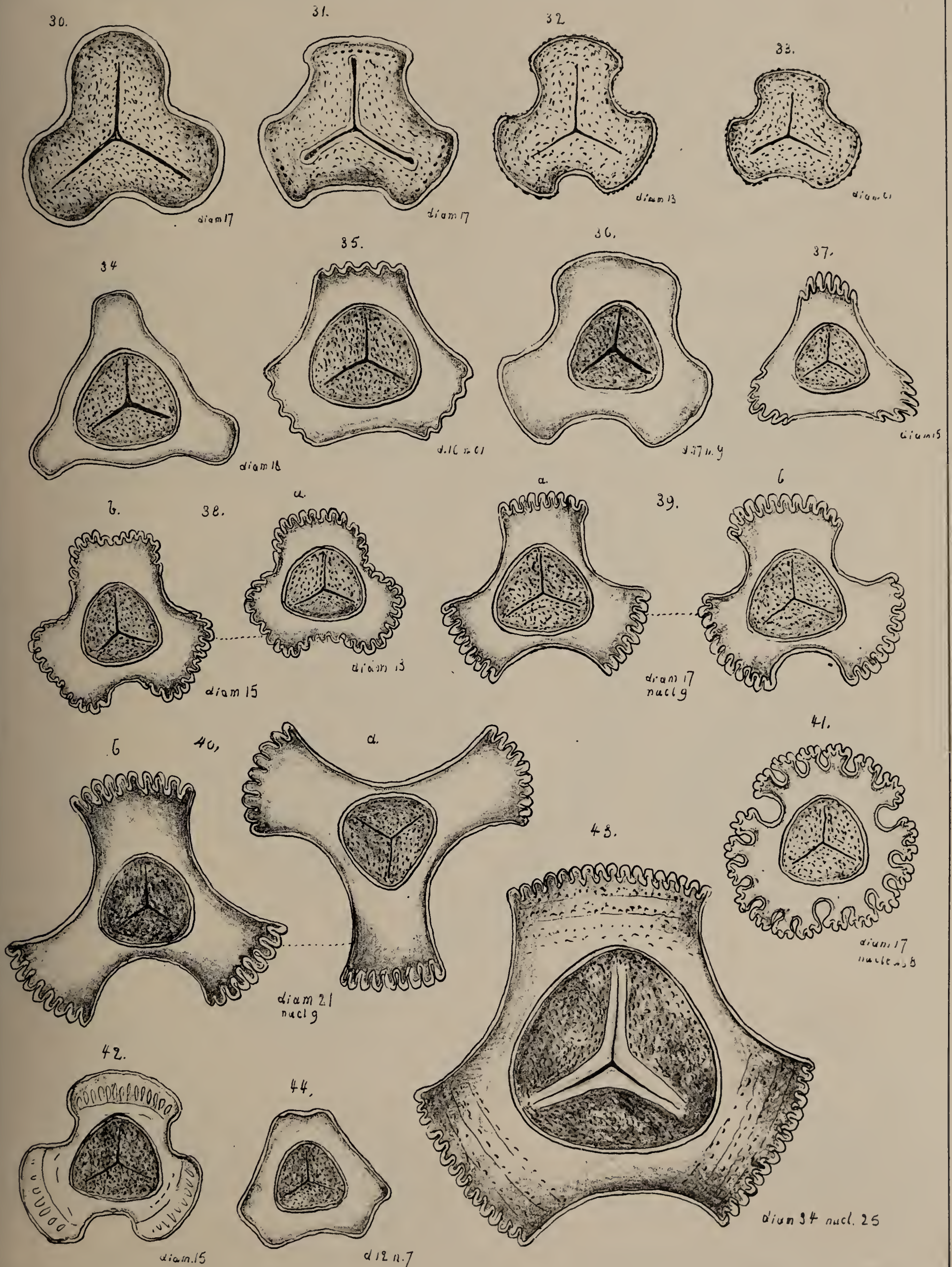


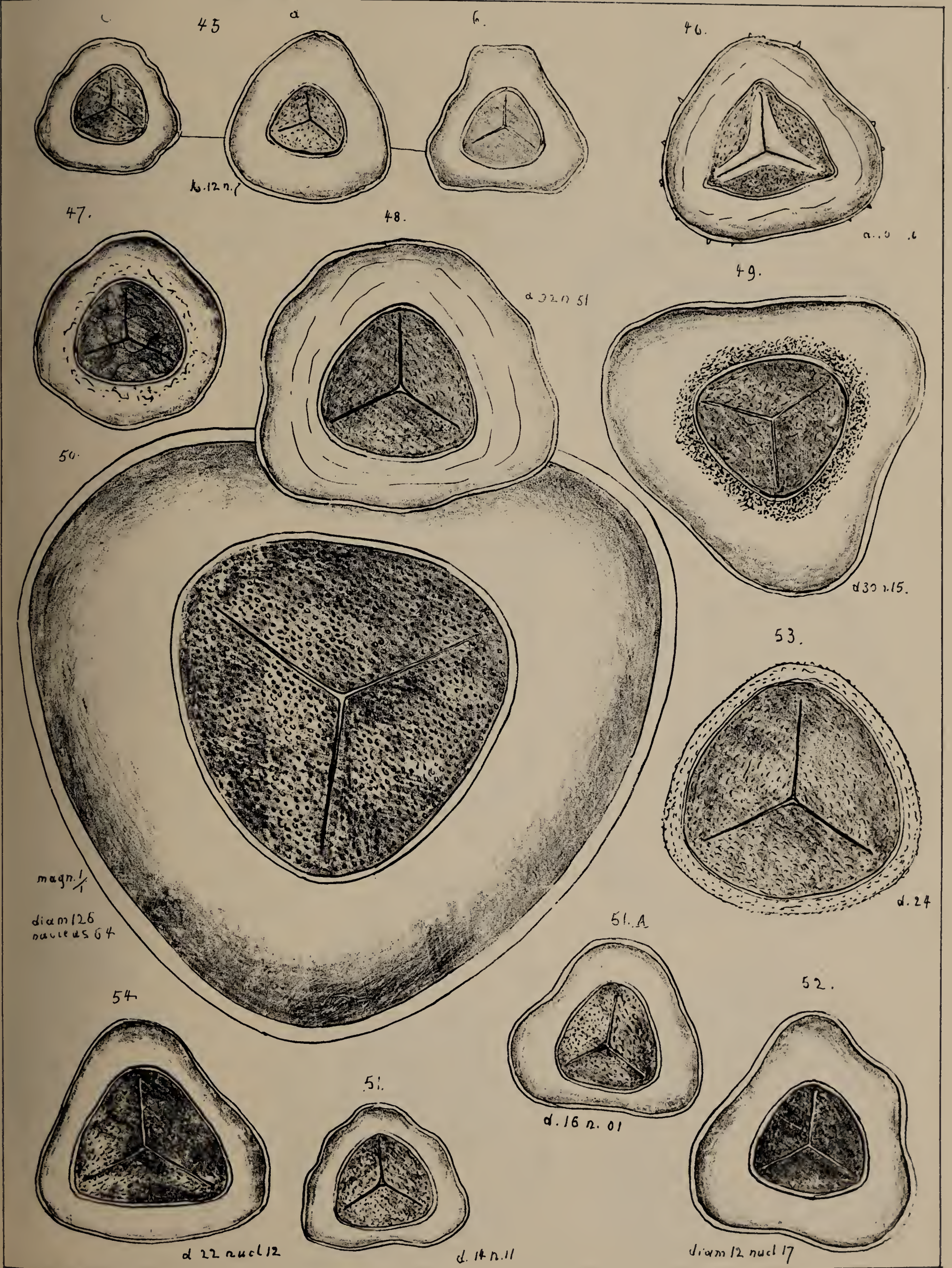




Pf. Reinsch u. d. del. lith. 1887

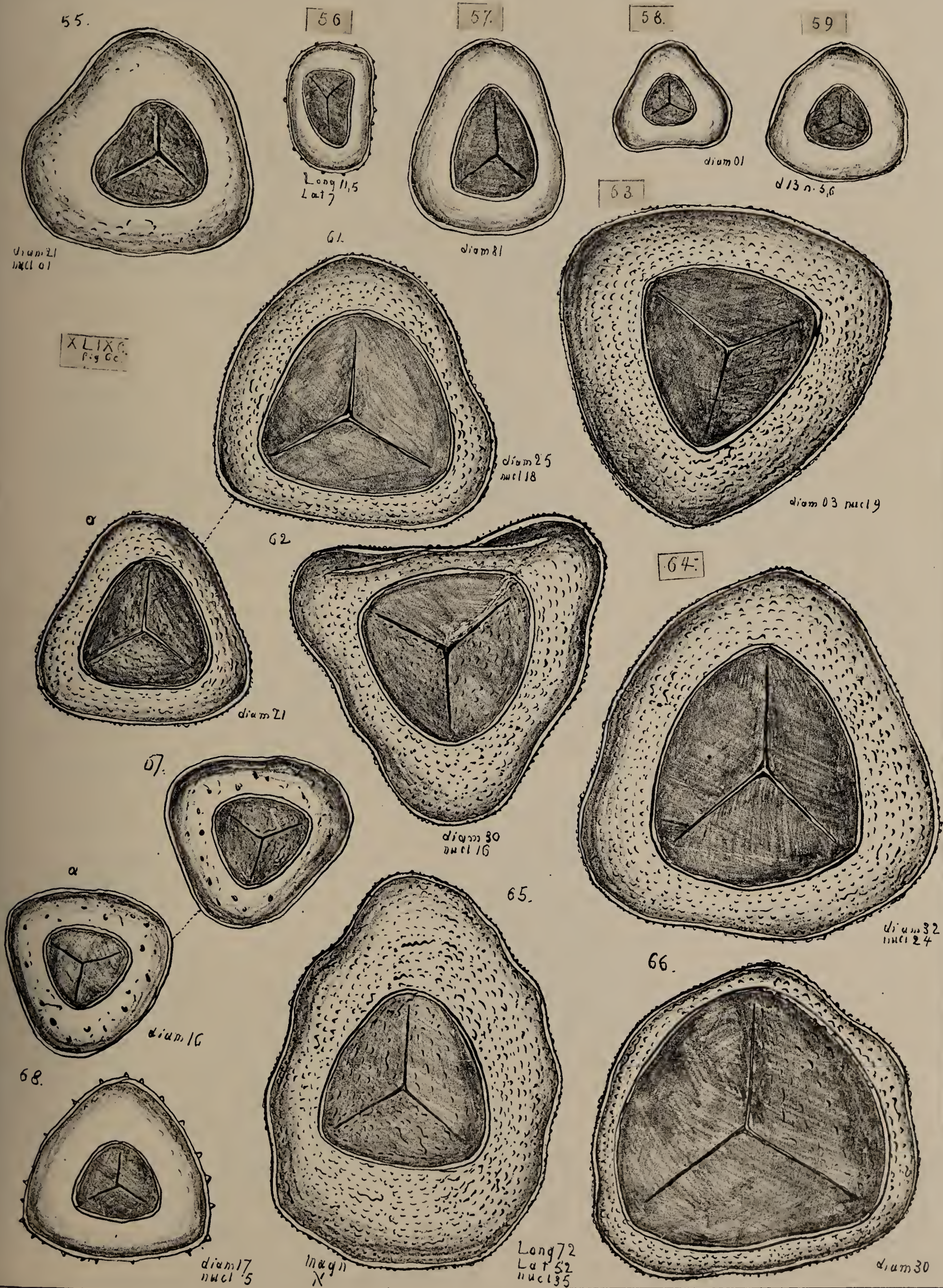
Trib. XI. Trileteae.

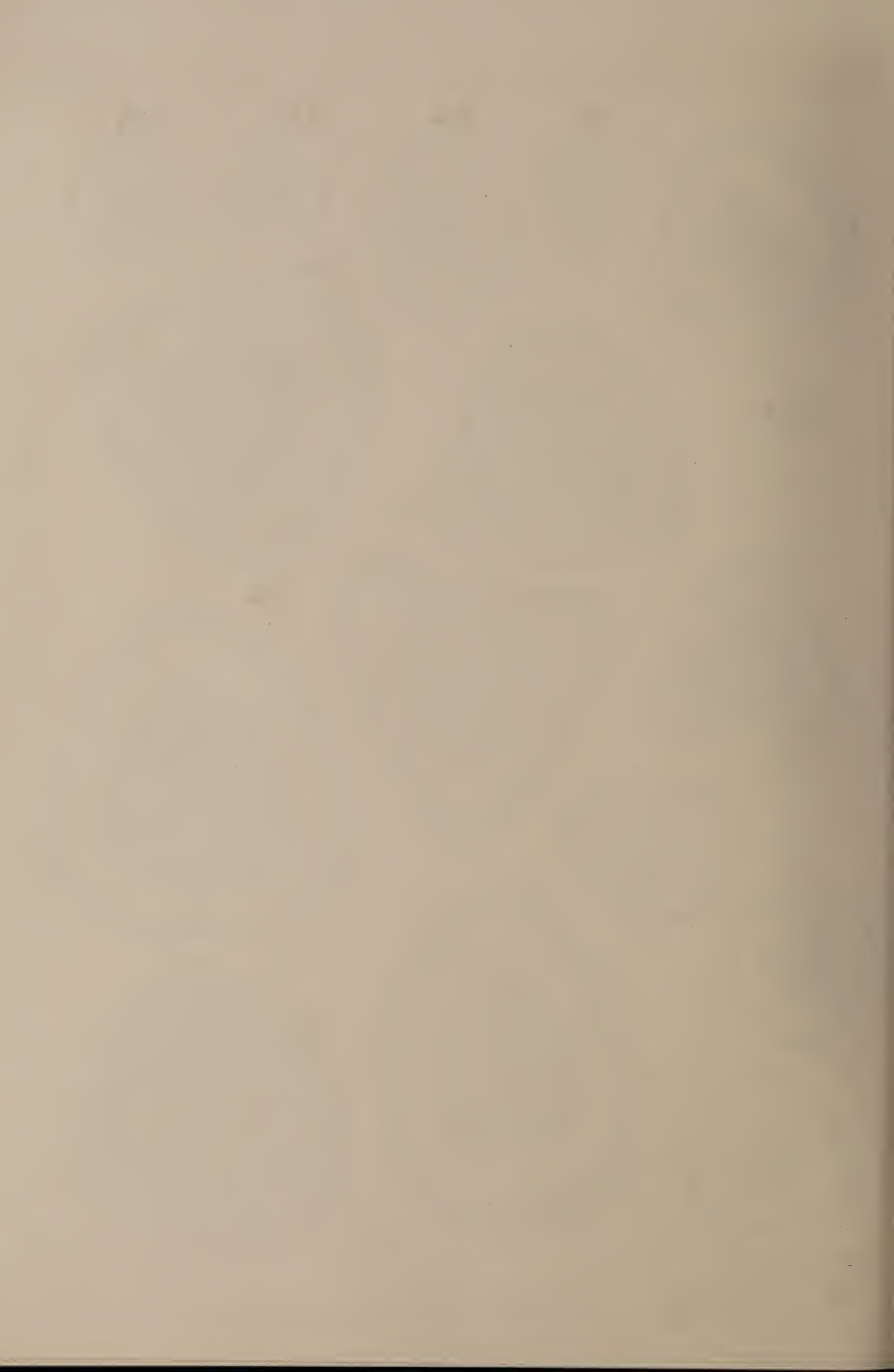


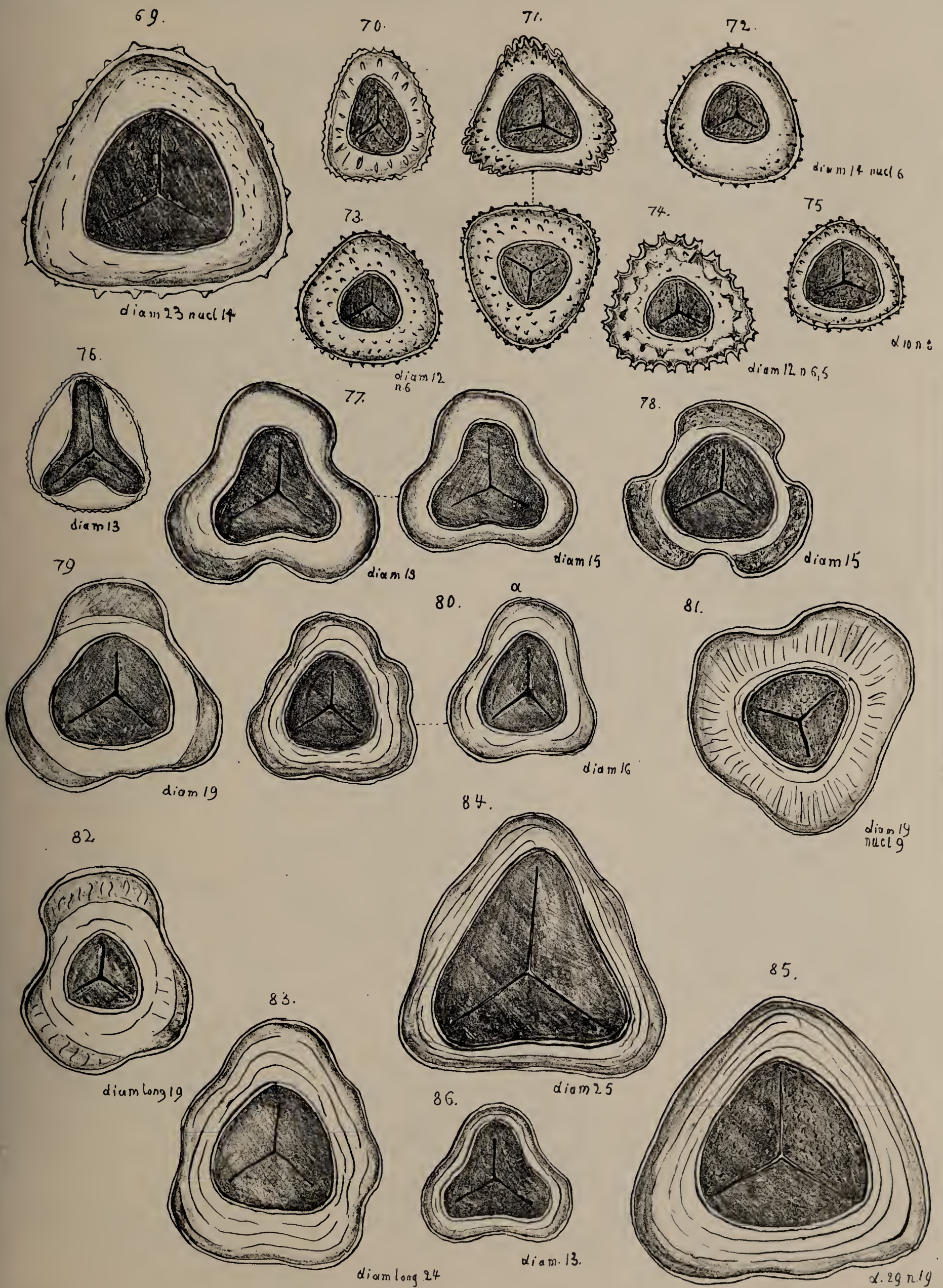


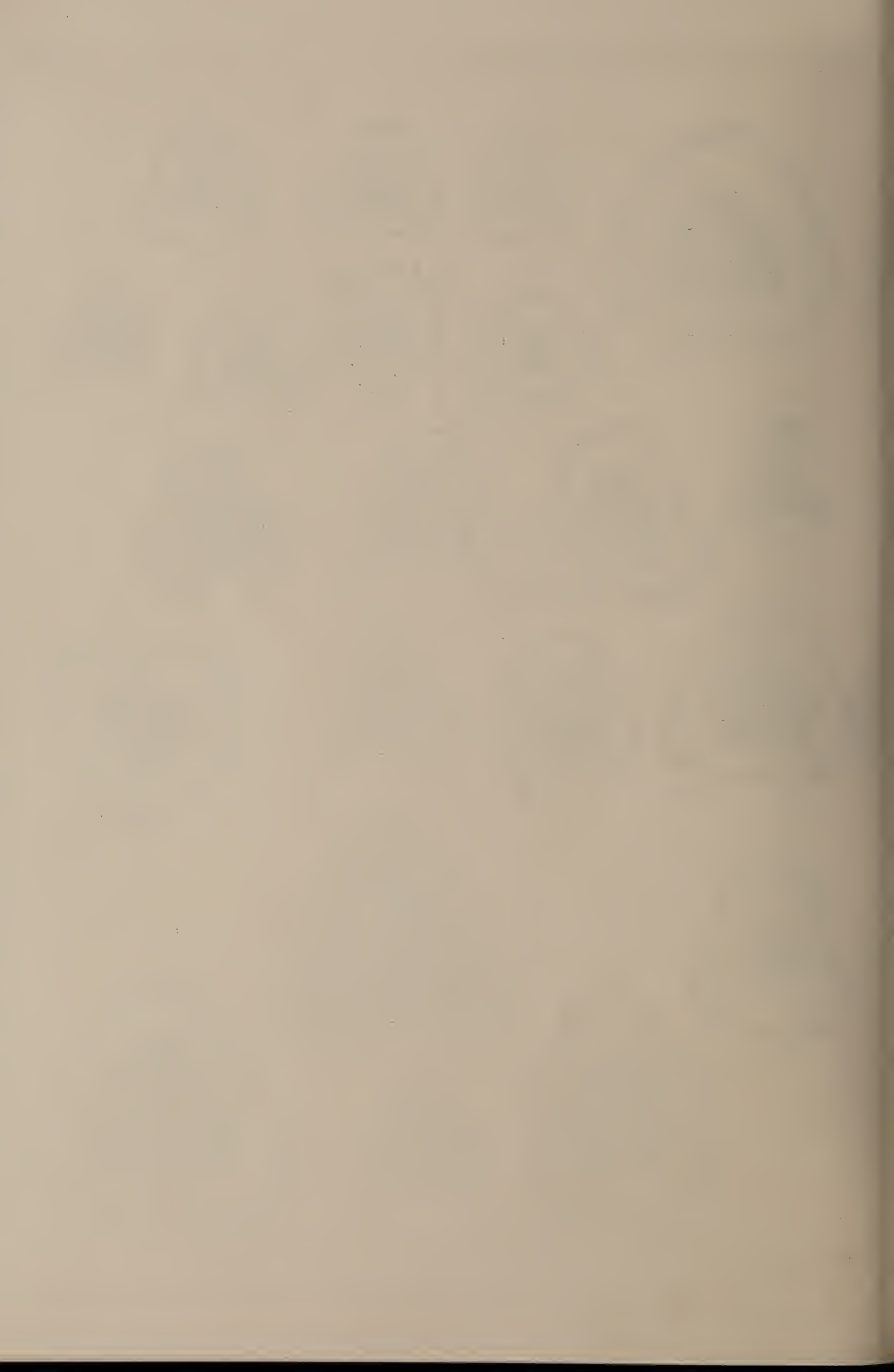
J. F. R. ed. lithogr.

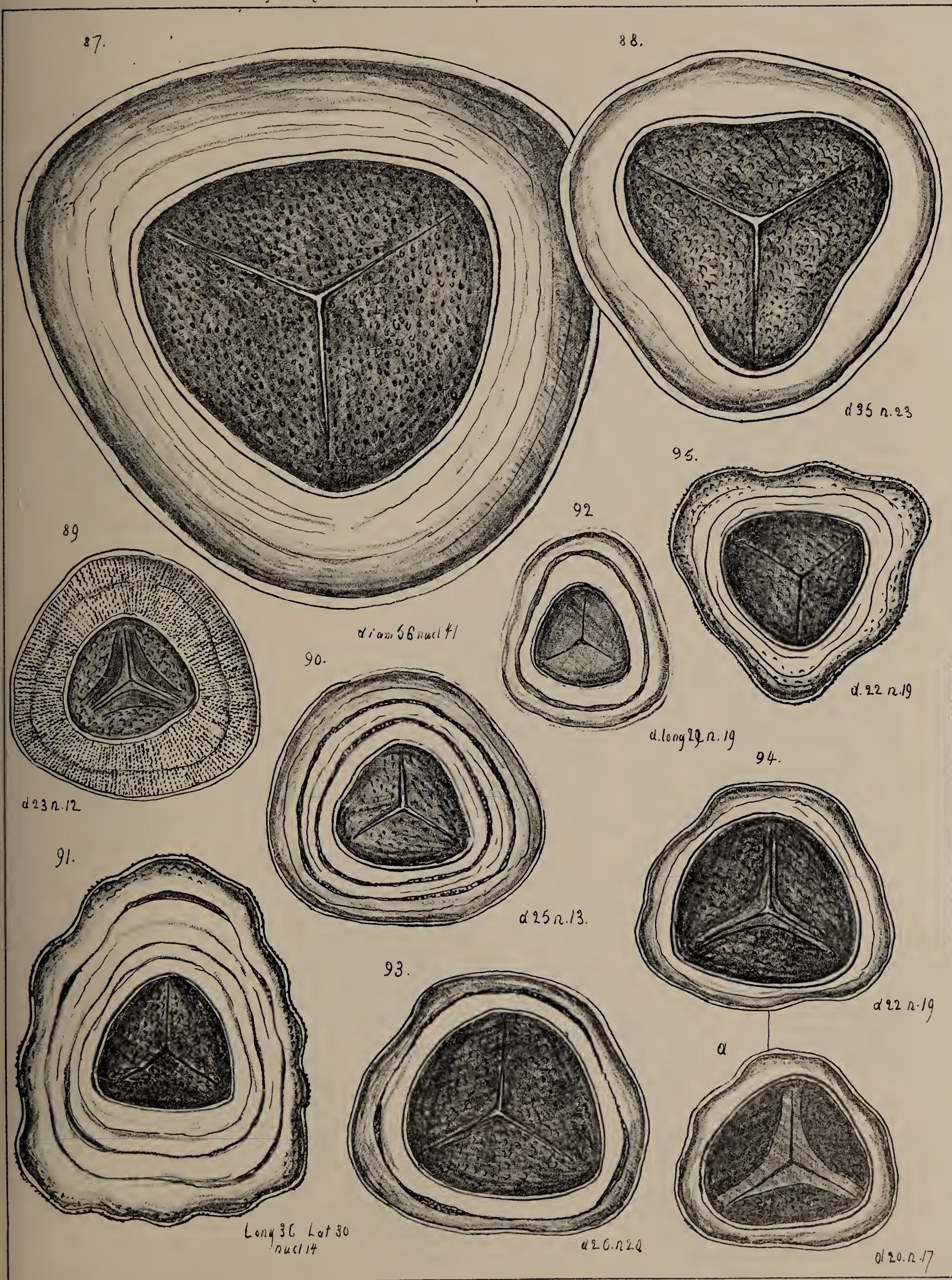




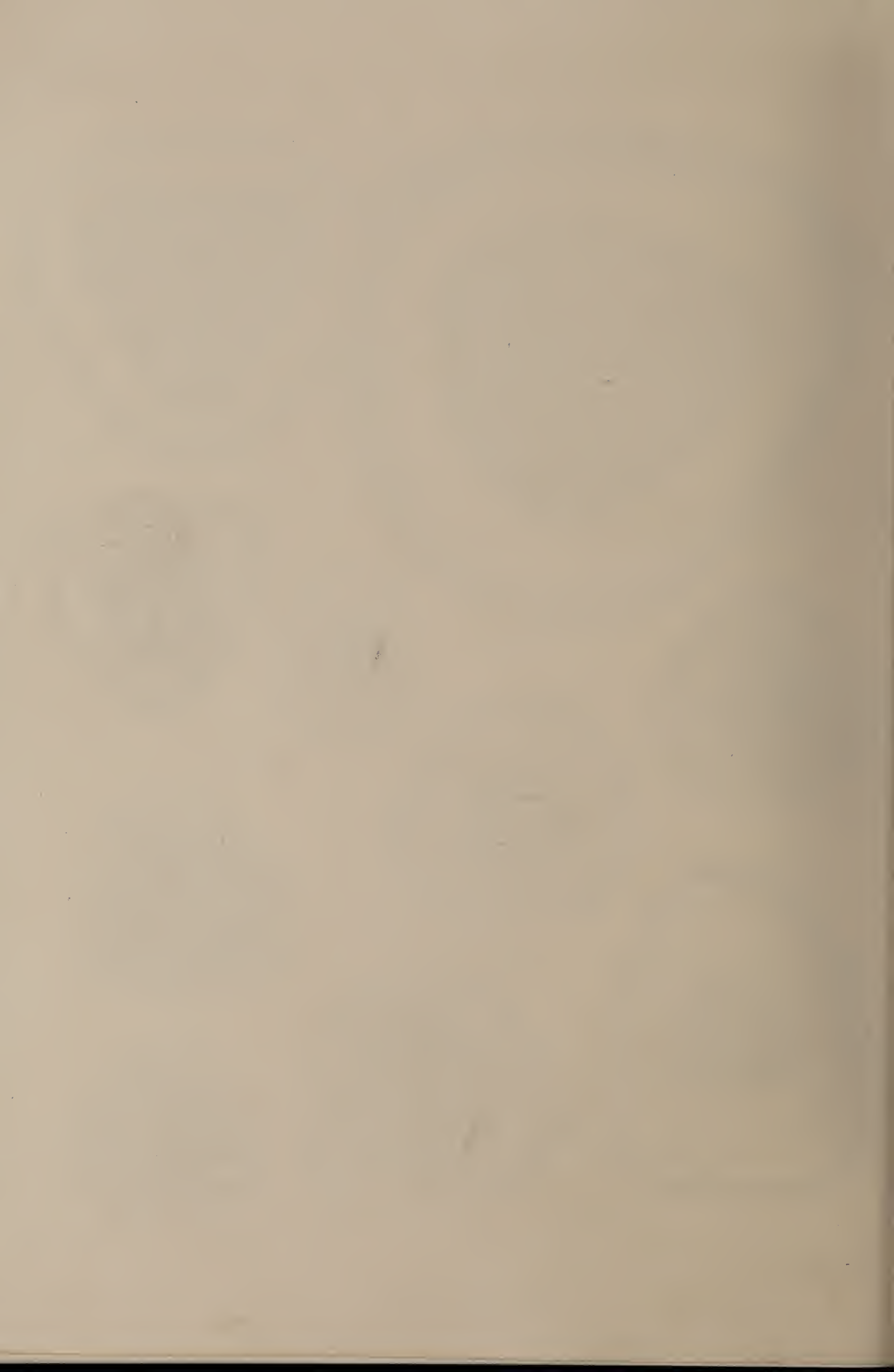


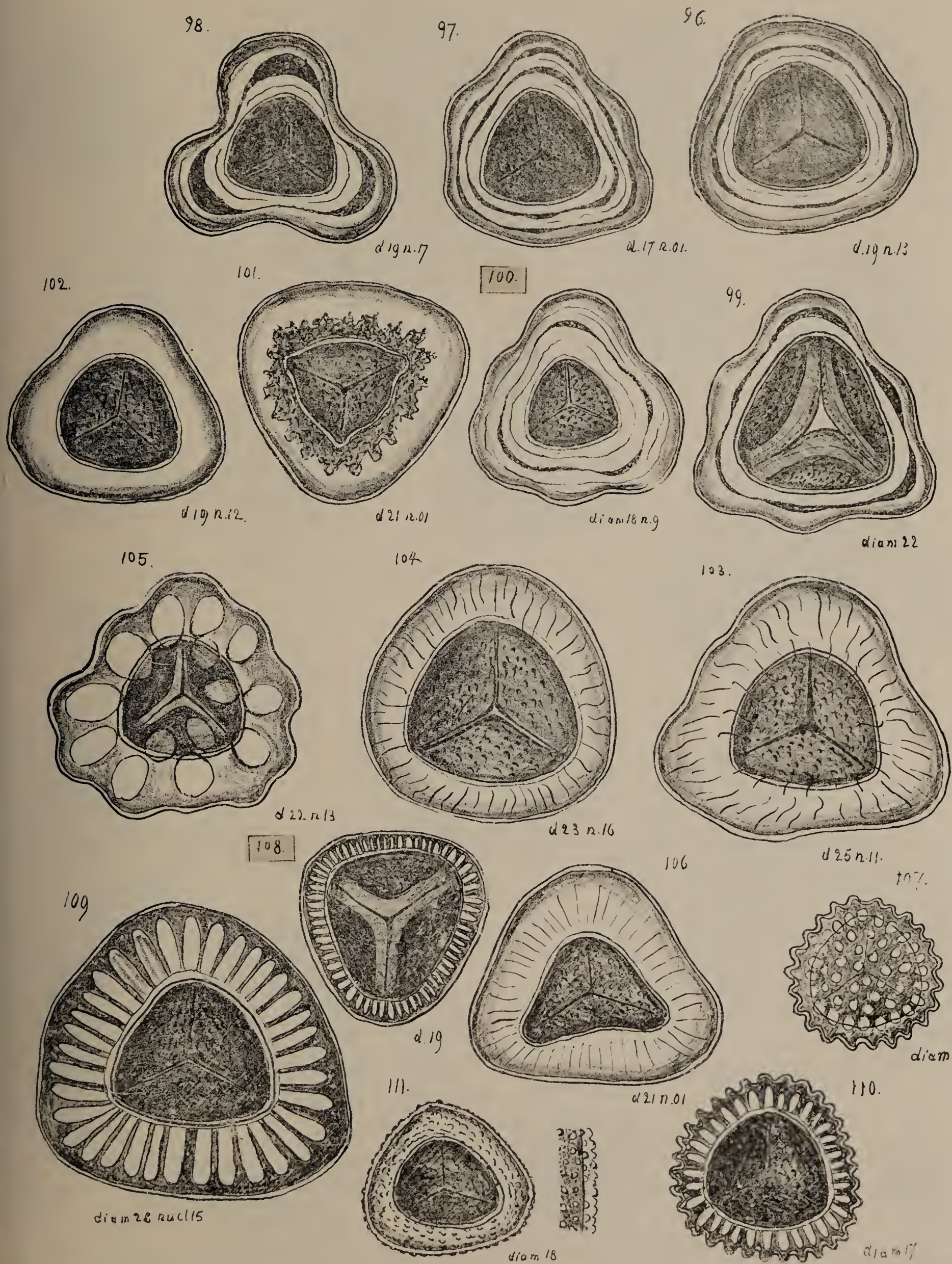


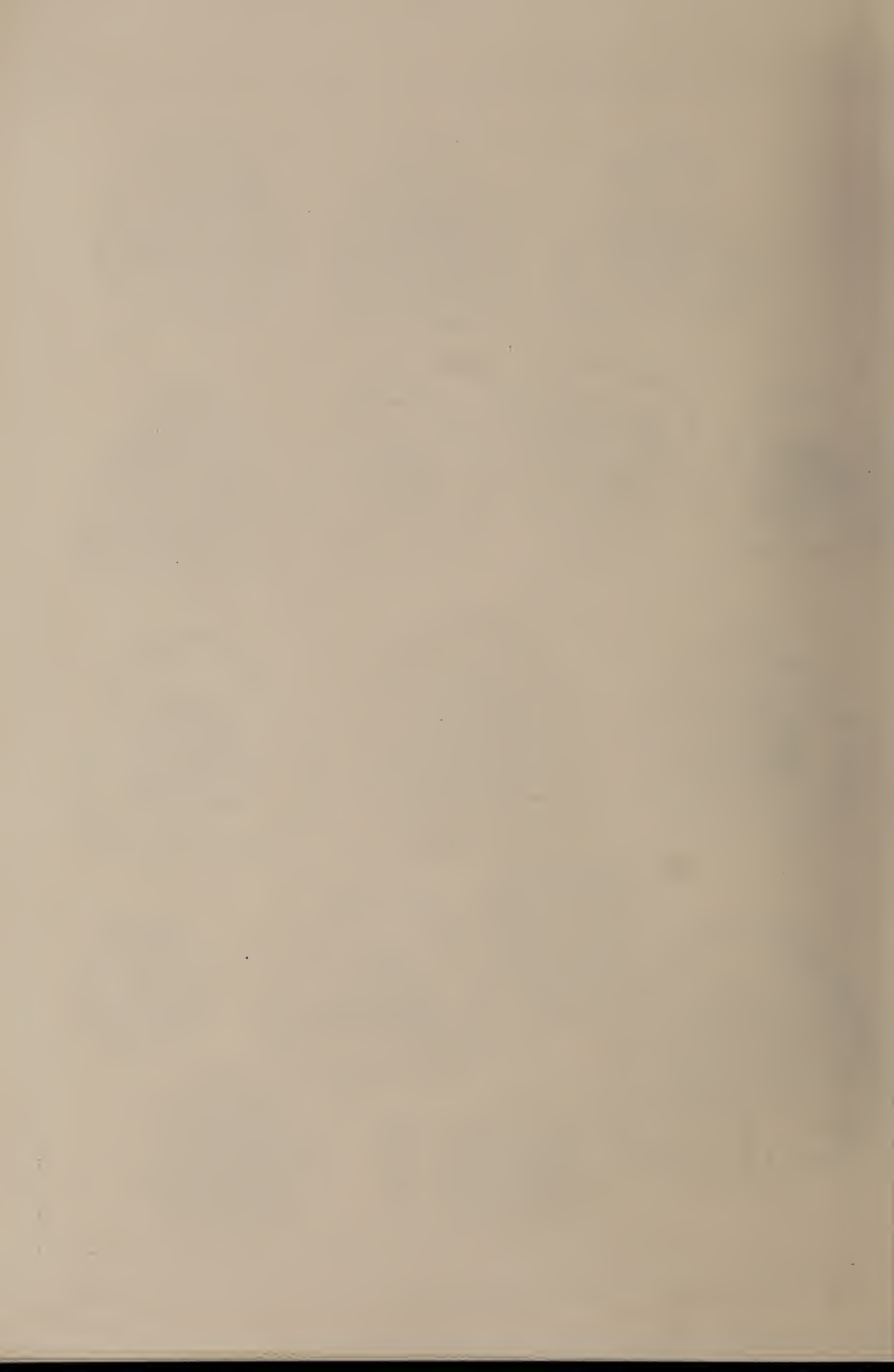


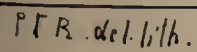


P.F.R. del. lithogr.









133.



α.

d. 21 n. 7.

134.



d. 17 n. 6



d. 18 n. 6

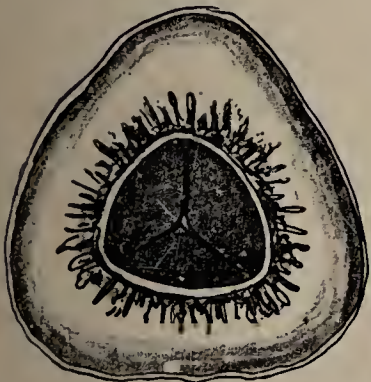
137.



diam 18 n. 9

α

137.6

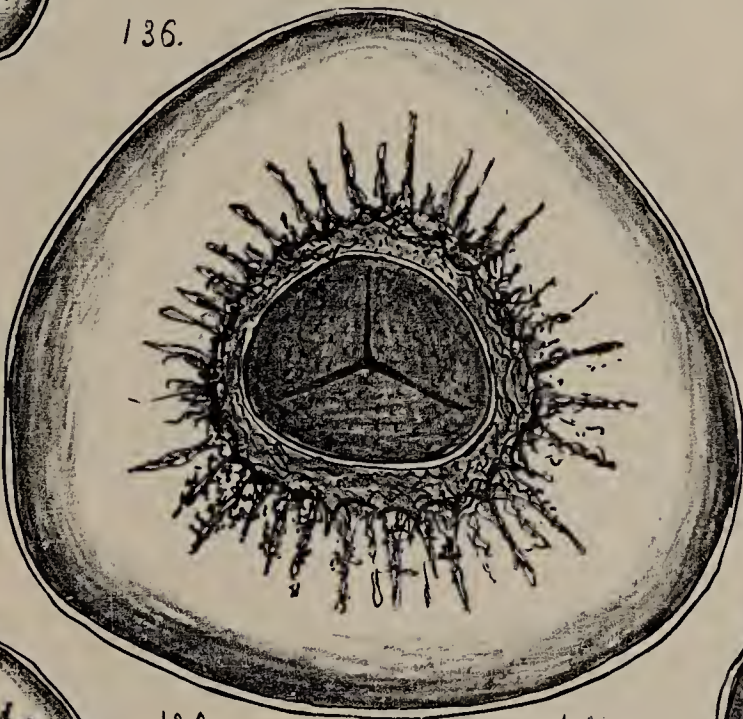


d. 16 n. 7



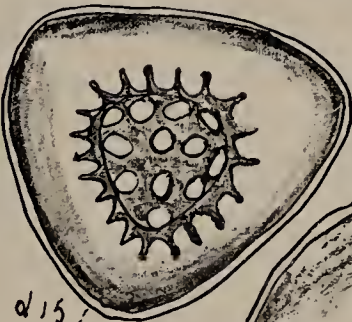
d. 18 n. 8

136.



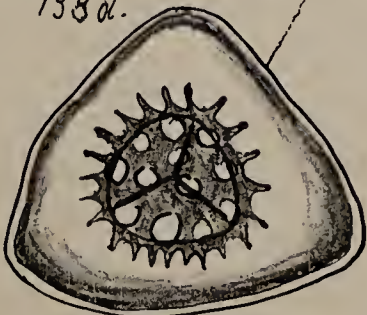
d. 33 n. 9.

138.



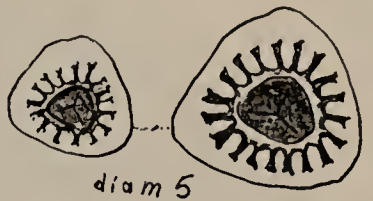
d. 15 n. 6

138α.



d. 15 n. 6

130.

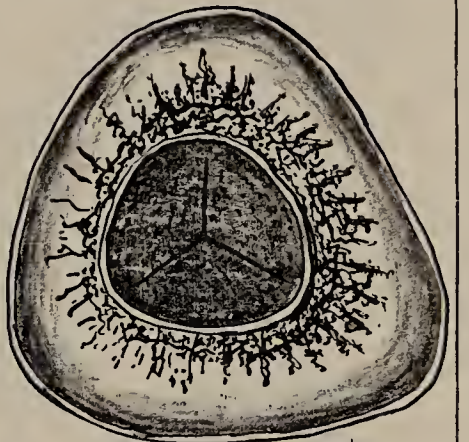


diam 5

132.

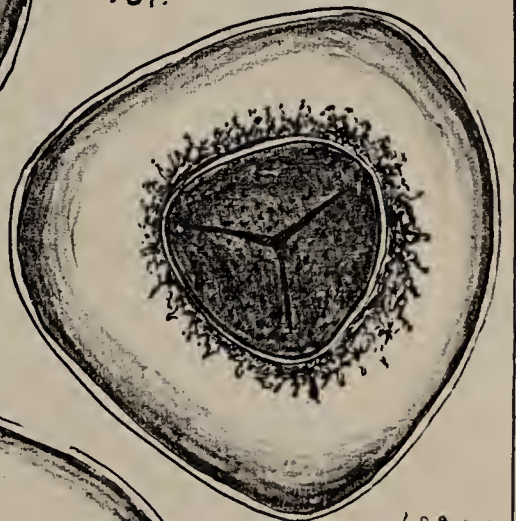


135.



d. 20 n. 9

131.



d. 22 n. 9

139.

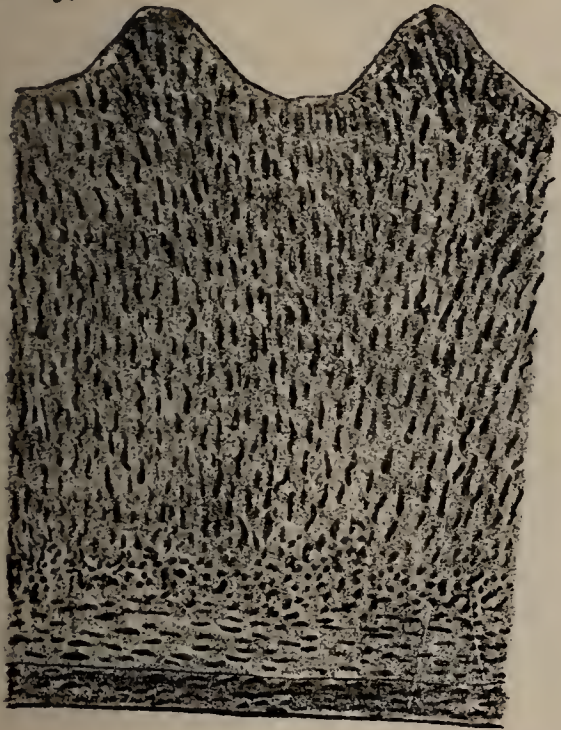


140.



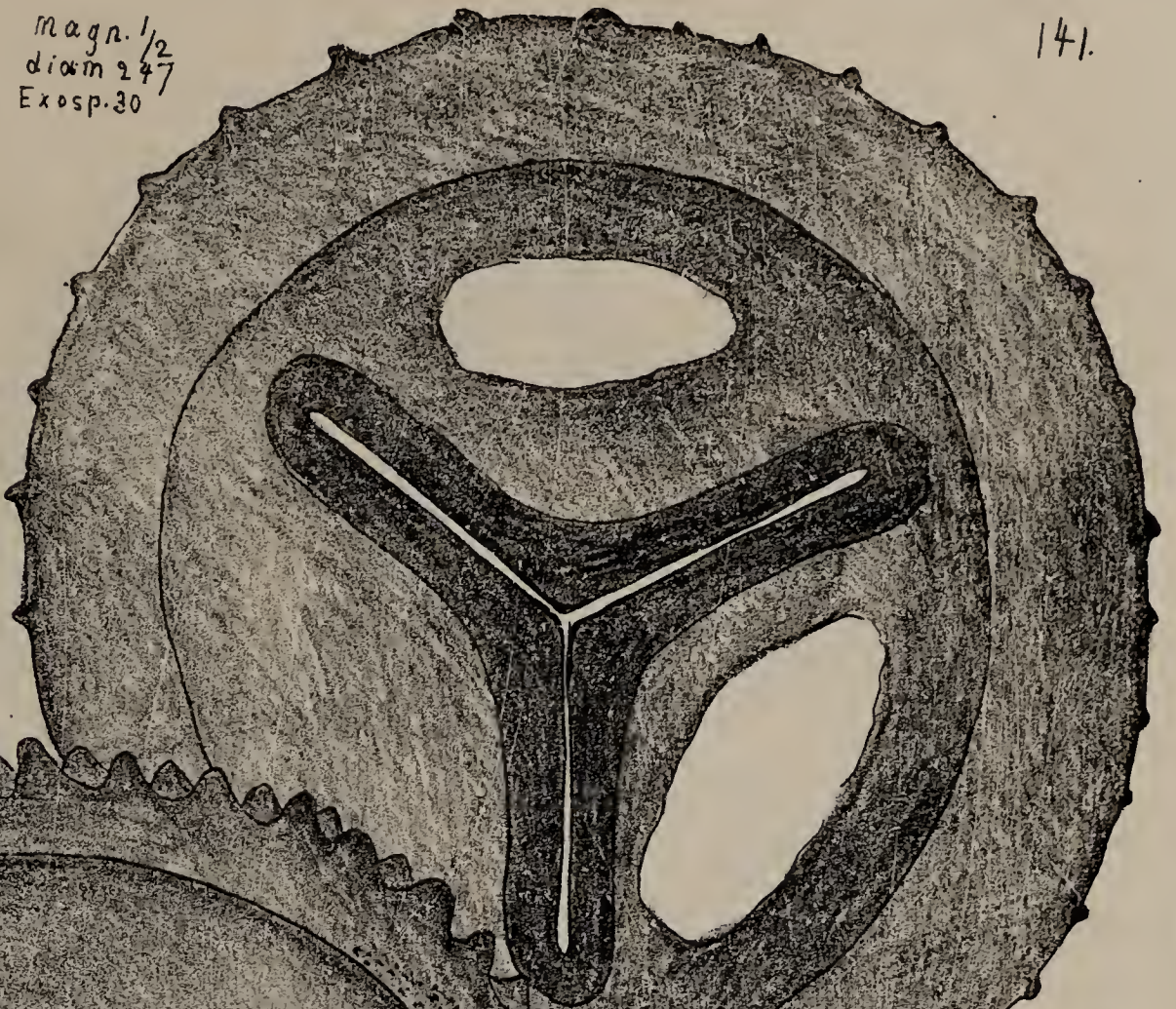
d. 18 n. 11

141. a.

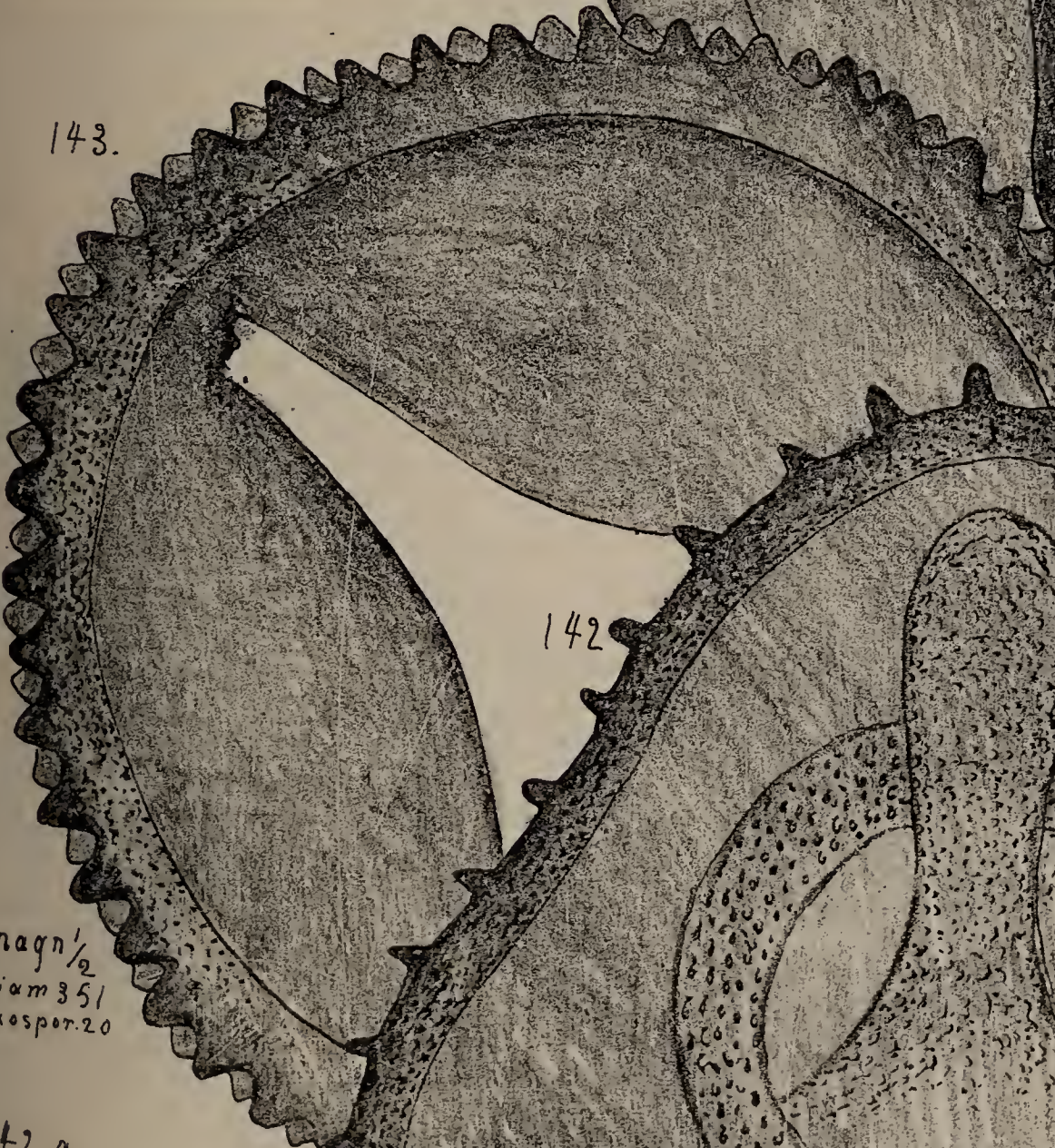


magn. $\frac{1}{2}$
diam 247
Exosp. 30

141.



143.



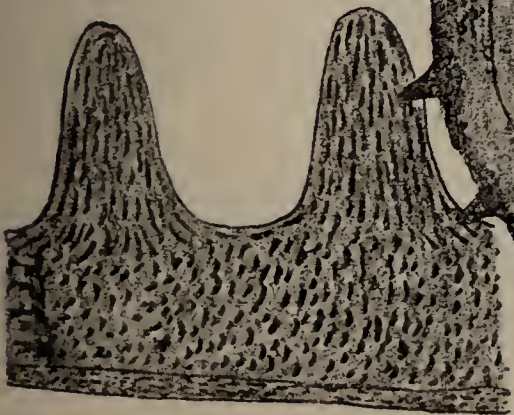
143. a.



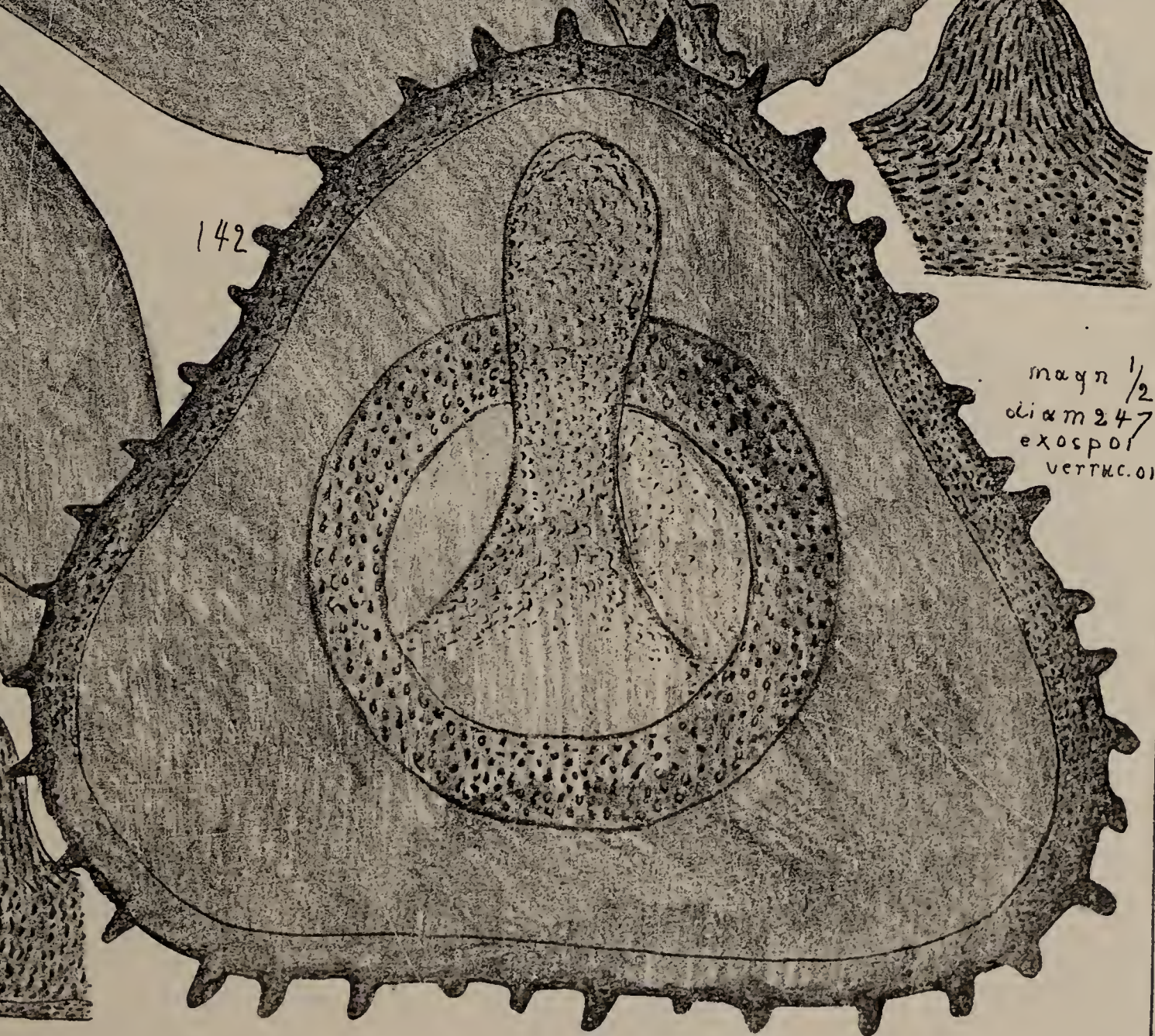
142

magn $\frac{1}{2}$
diam 351
Exosp. 20

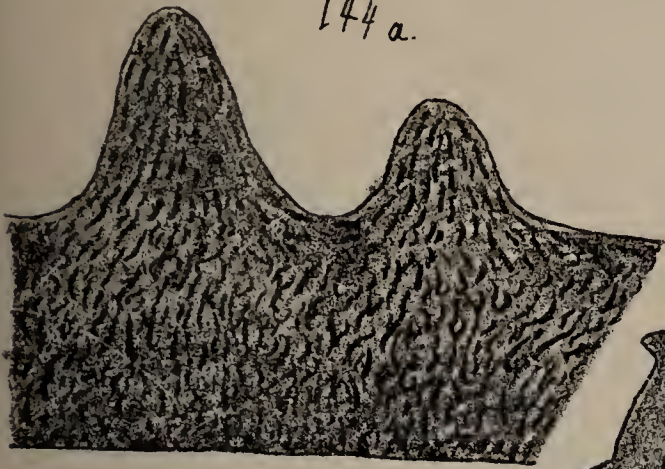
142. a.



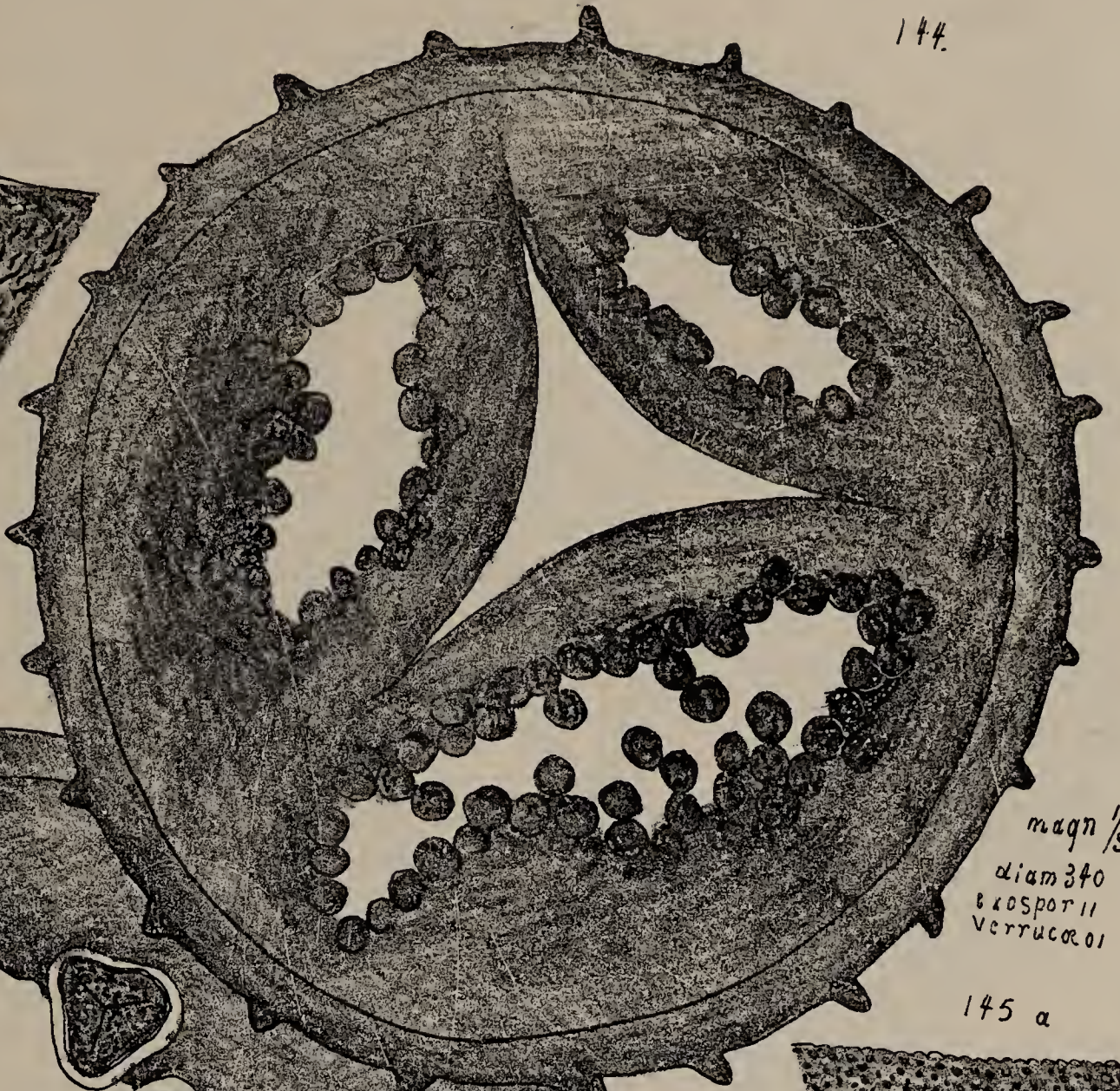
magn $\frac{1}{2}$
diam 247
exosp. 01
vertic. 01



144 a.

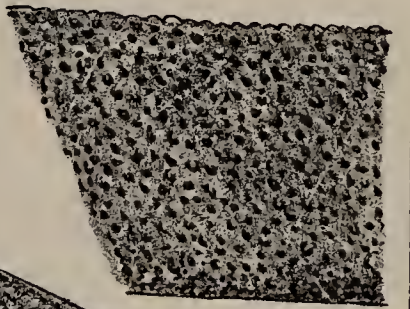


144.



magn $\frac{1}{3}$
diam 340
exosporii
verrucæol

145 a

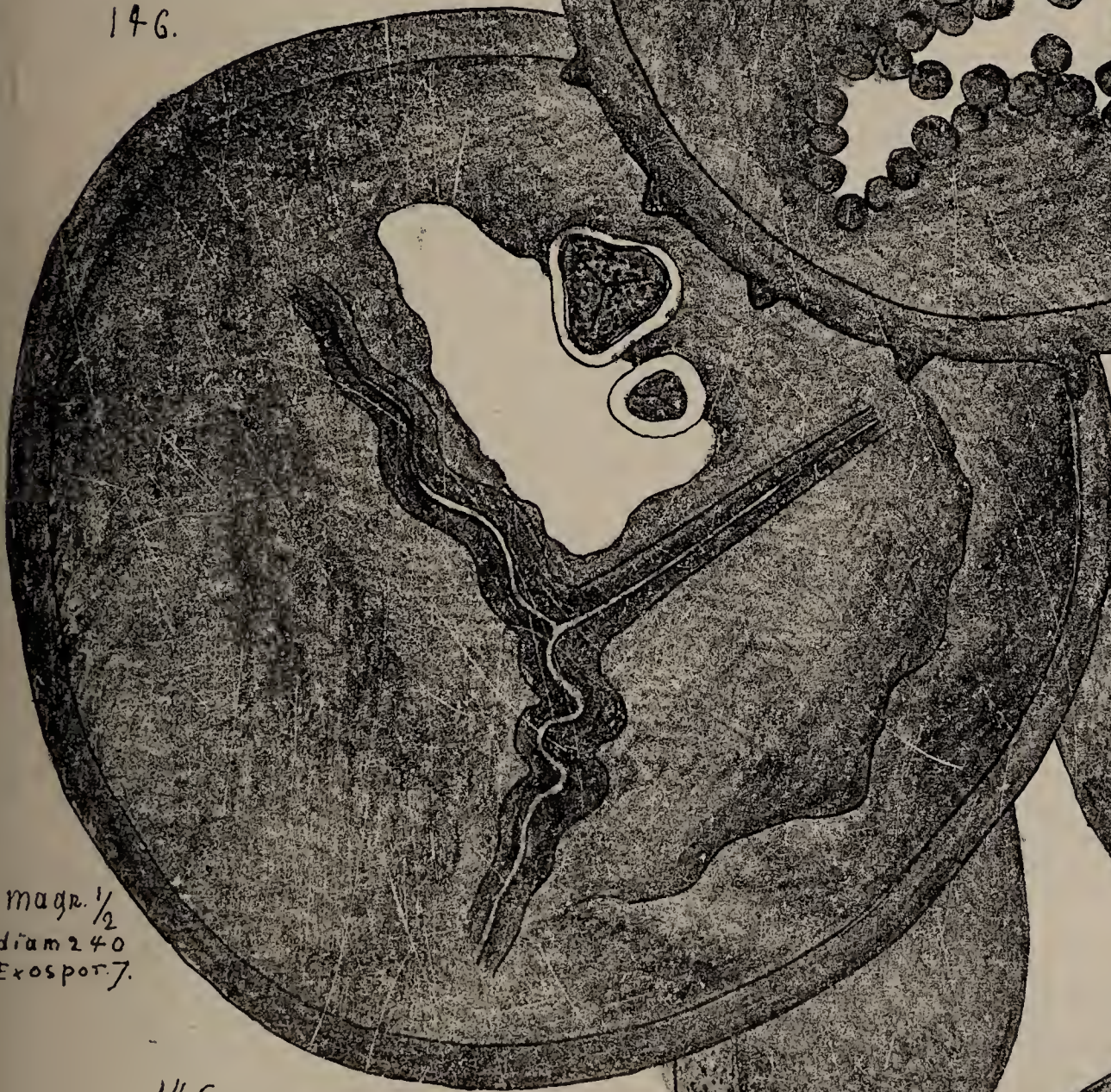


145.



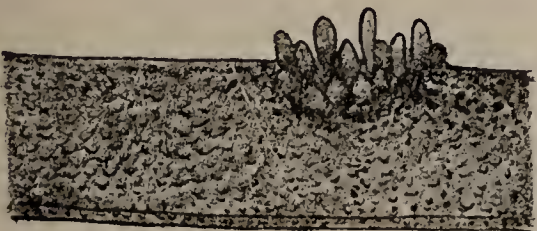
magn $\frac{1}{2}$
diam 215
exosporii 14

146.



magn $\frac{1}{2}$
diam 240
Exosporii 7.

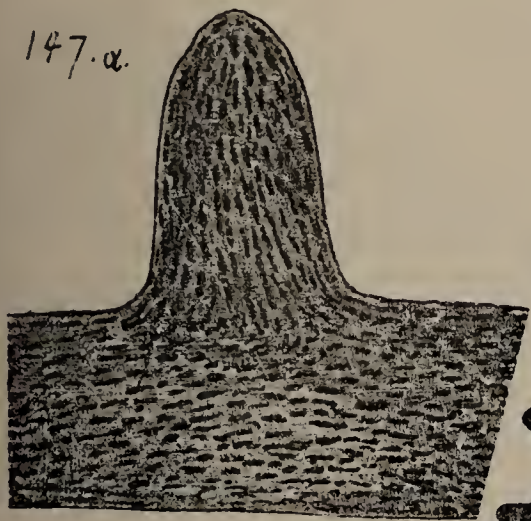
146. a.



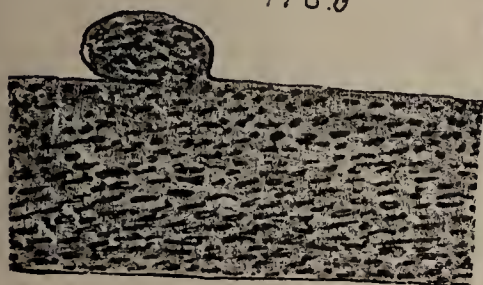
147.α.

147.

magn. $\frac{1}{3}$
diam 390
verruc. 14
diam. sph 12

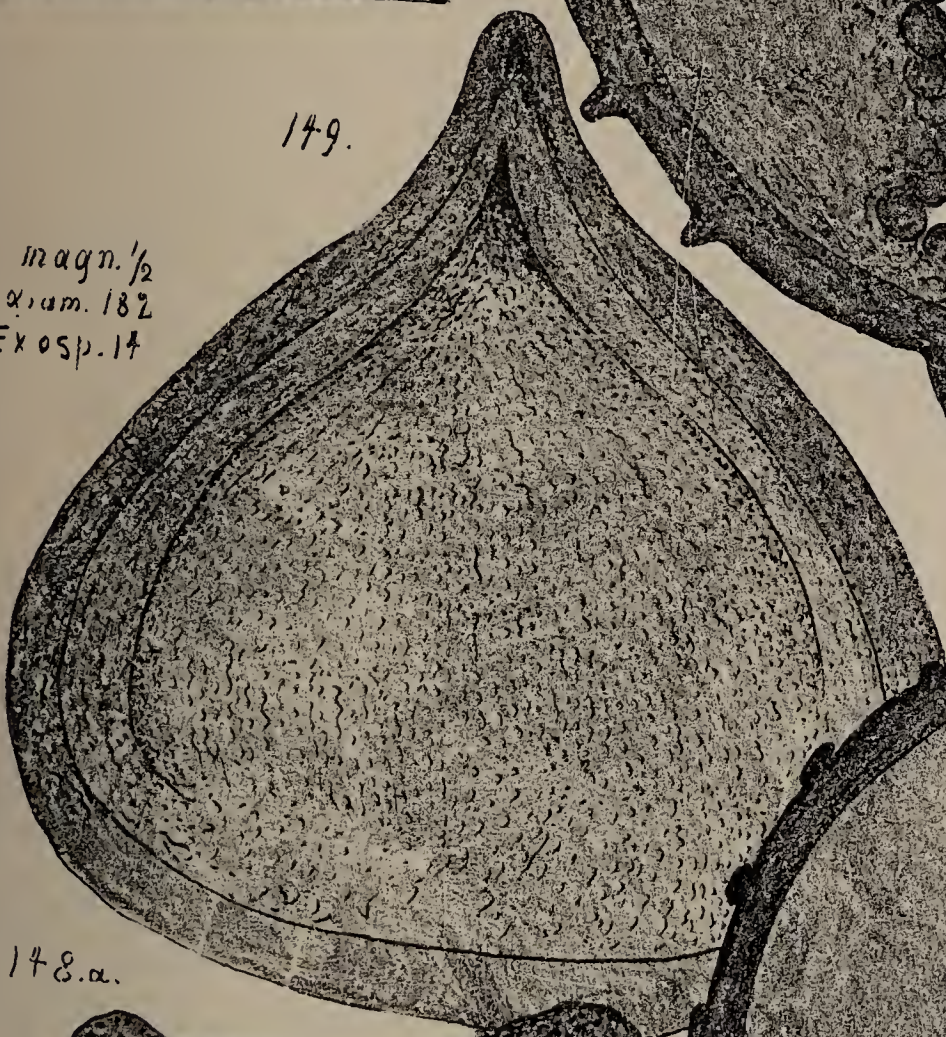


148.β



149.

magn. $\frac{1}{2}$
diam. 182
Exosp. 14



148

148.α.

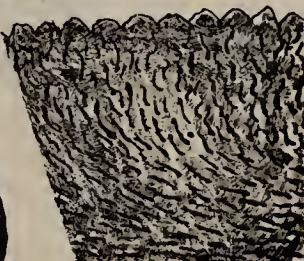


147.c

$\frac{2}{1}$



149.β.



magn. $\frac{1}{4}$
diam 450
Exosp. 9

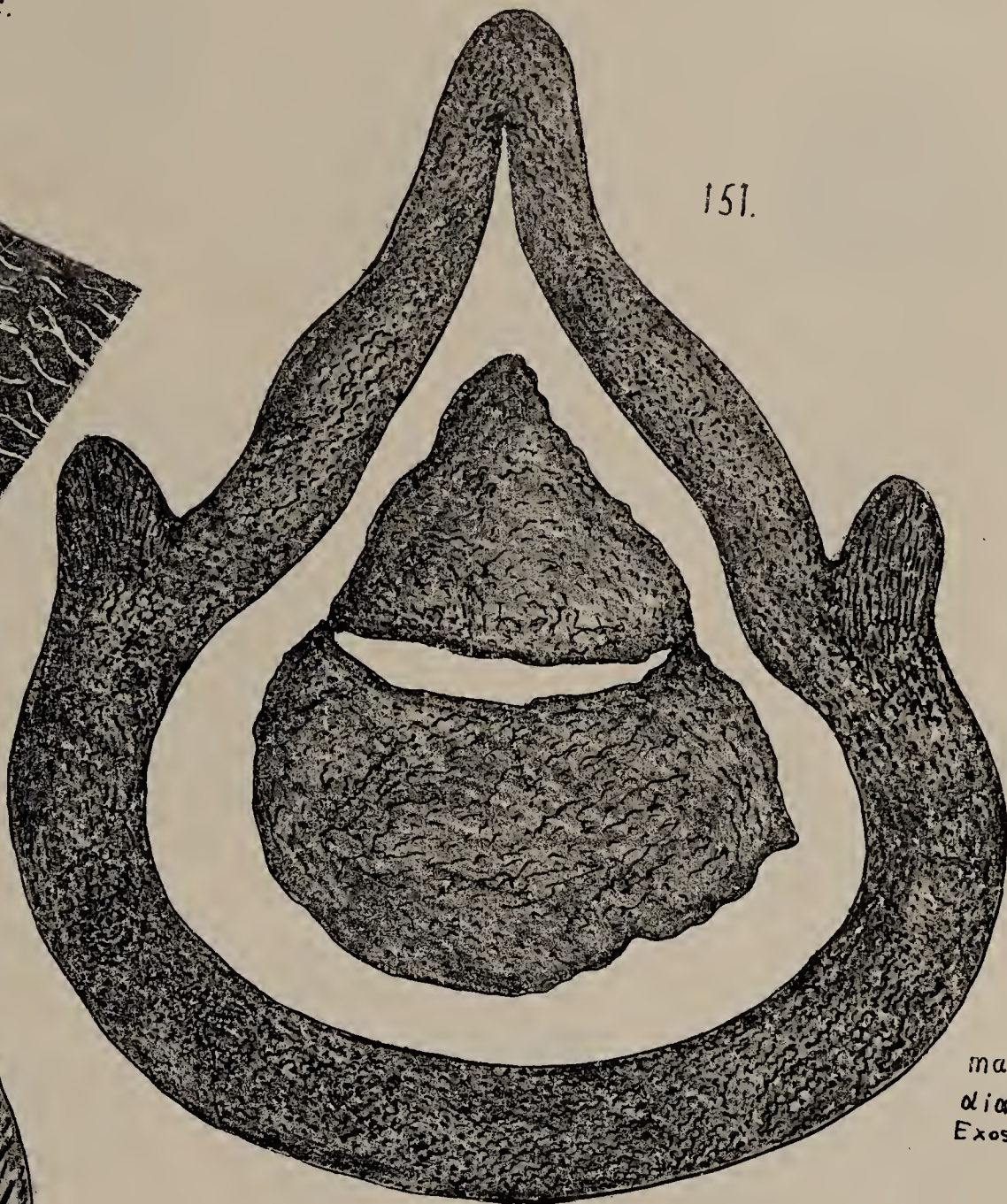


148.C.



$\frac{4}{1}$

151.



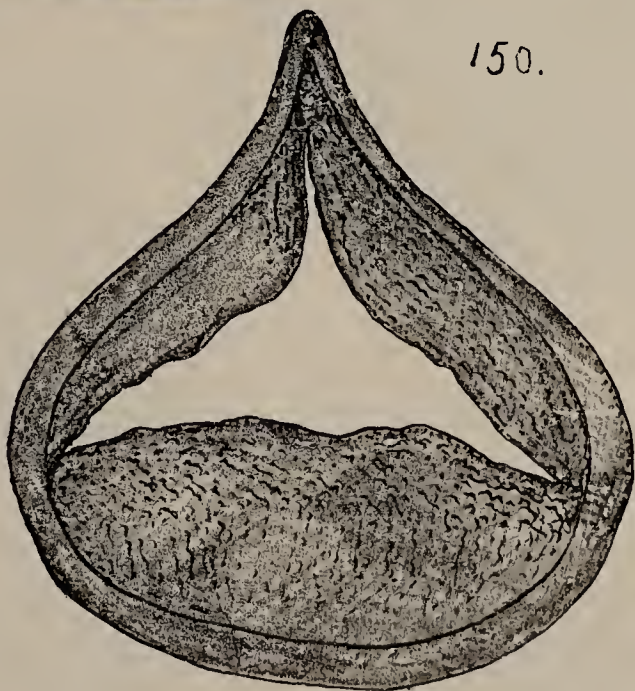
magn. $\frac{1}{2}$
diam. 243
Exospor. 30

151.a



$\frac{1}{2}$

150.

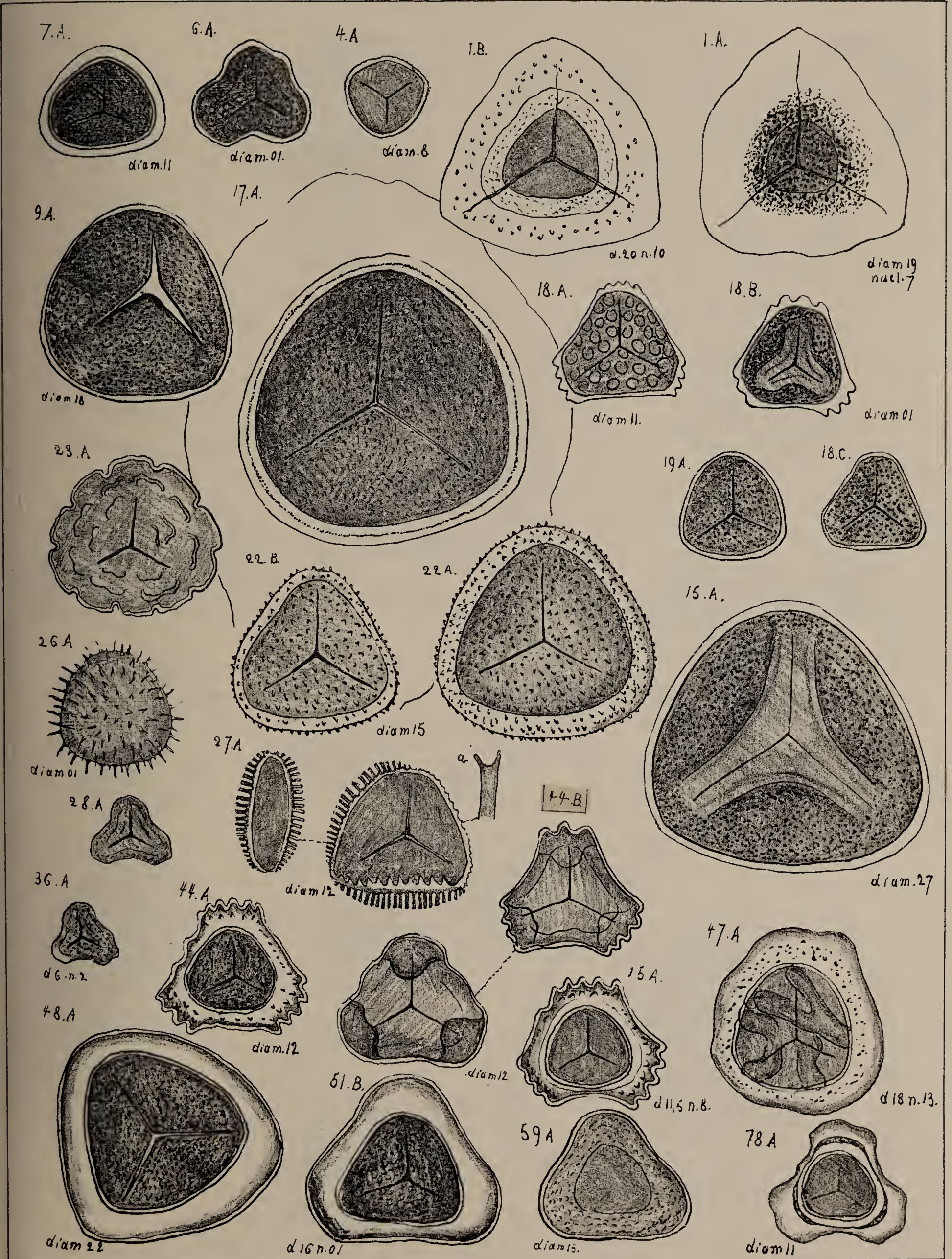


magn. $\frac{1}{4}$
diam 228
Exospor. 14

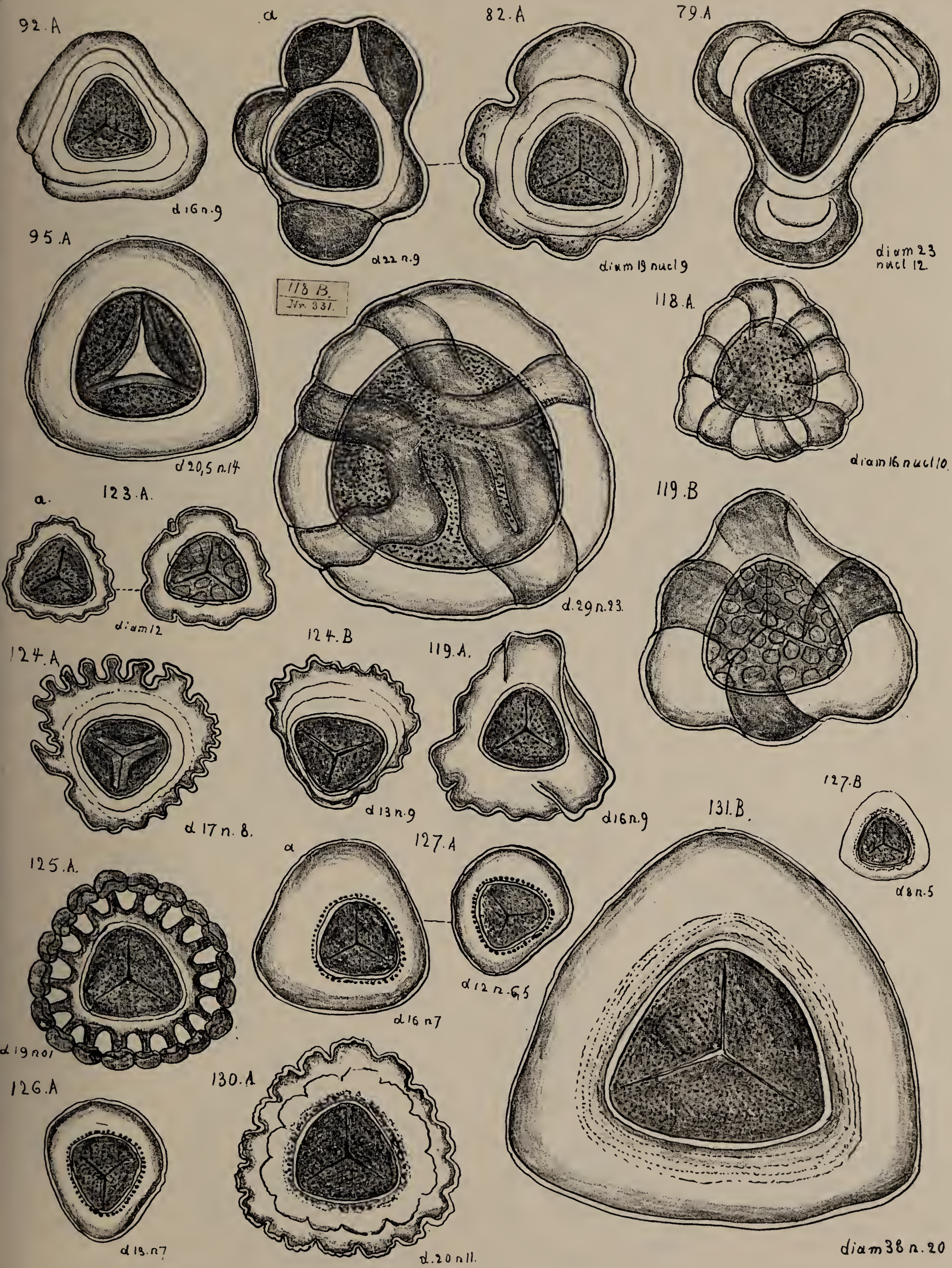
150a.

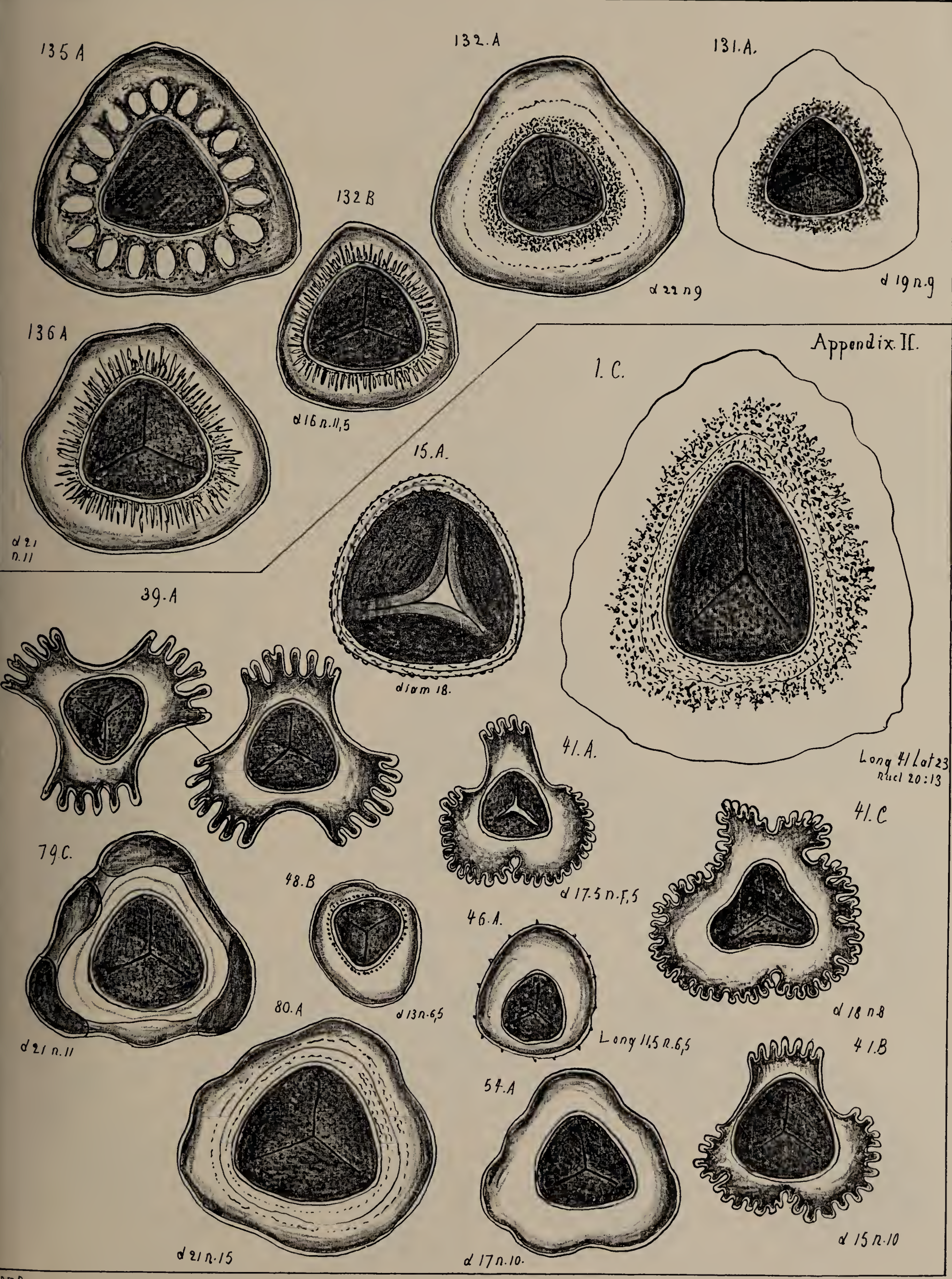


magn. $\frac{2}{1}$



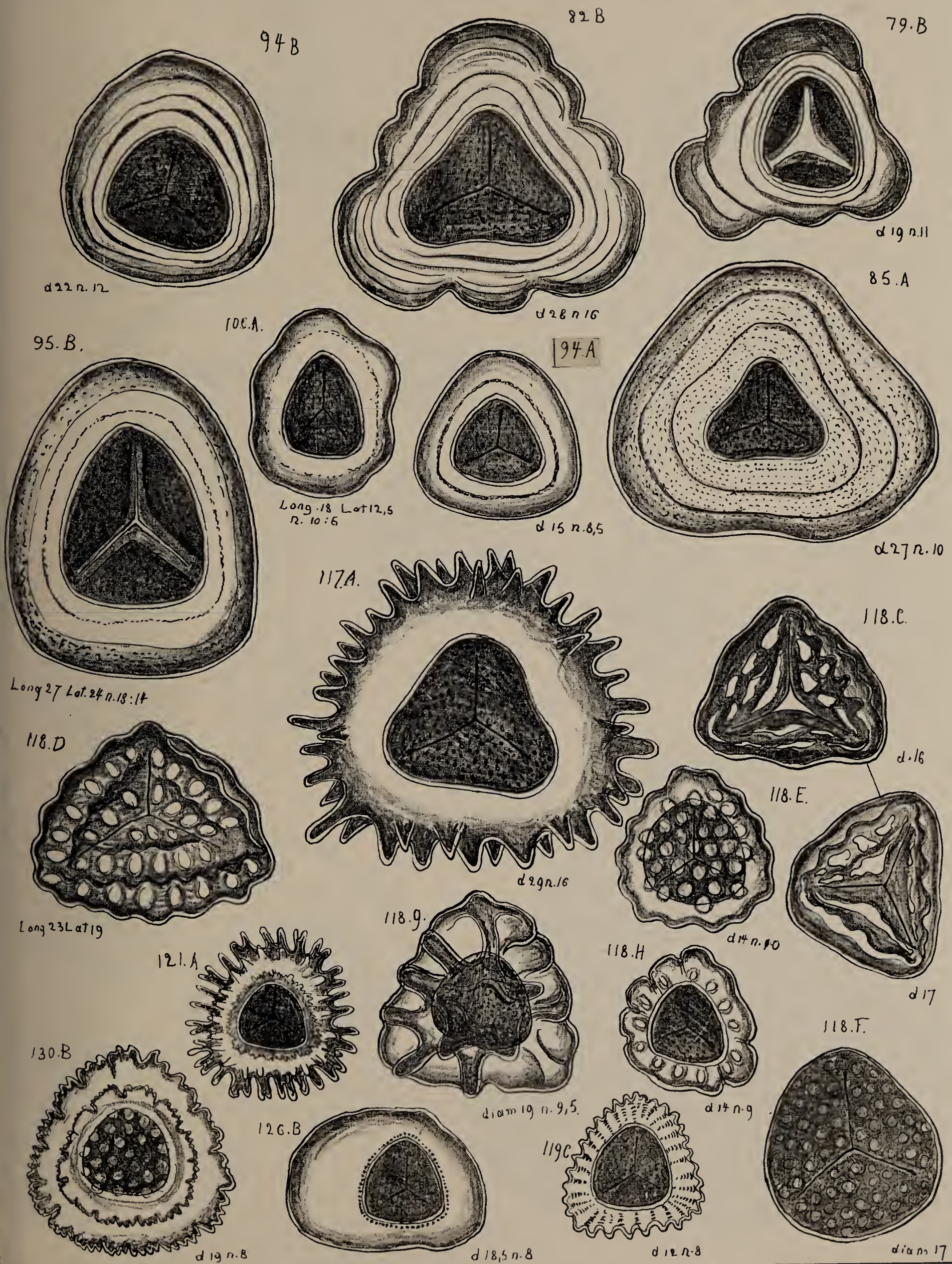
P.F. Reinsch. lithogr.





PFR. del. et lith. 1884.

Trib. XI. Trileteae.



XLIXC
135.B

130.D.

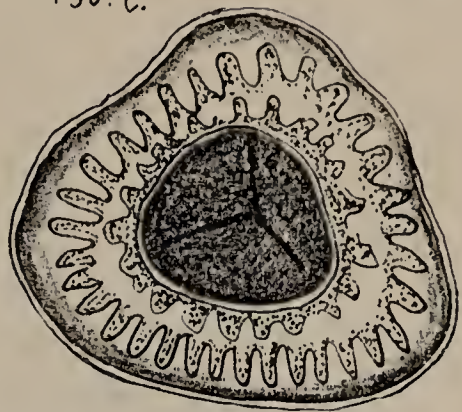
130.C.



d 13 n. 6

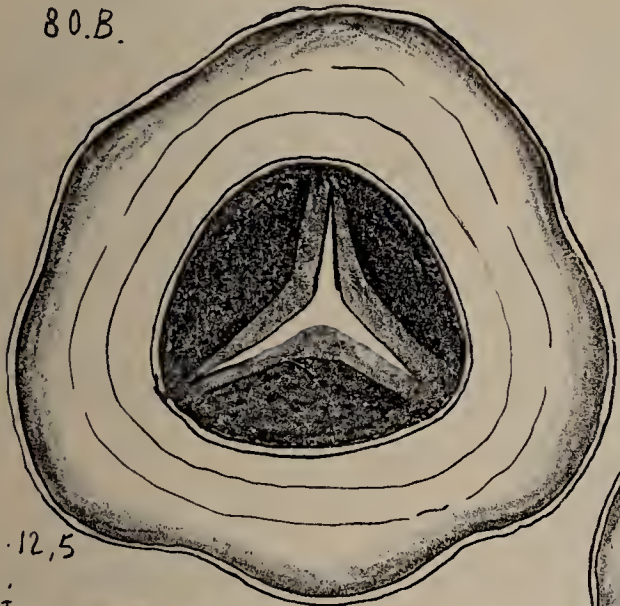


d 15,5 n. 6,5



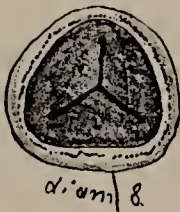
d 17,5 n. 8

80.B.



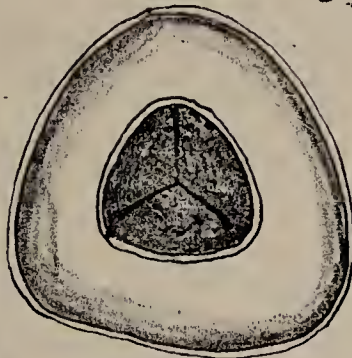
d 28 n. 12,5

130.E.



diam 8

45.B.



d 15 n. 7

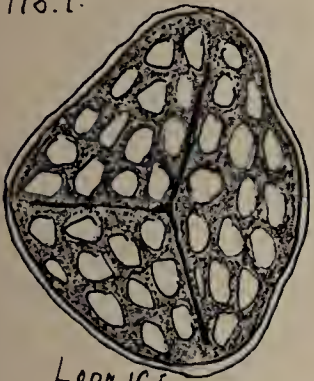
Appendix III.

41.D



d 16 n. 8,5

118.I.



Long 16,5

119.D

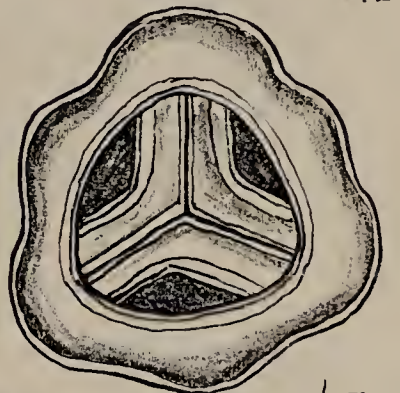


d 11,5 n. 6,5

115.A.



46.B.



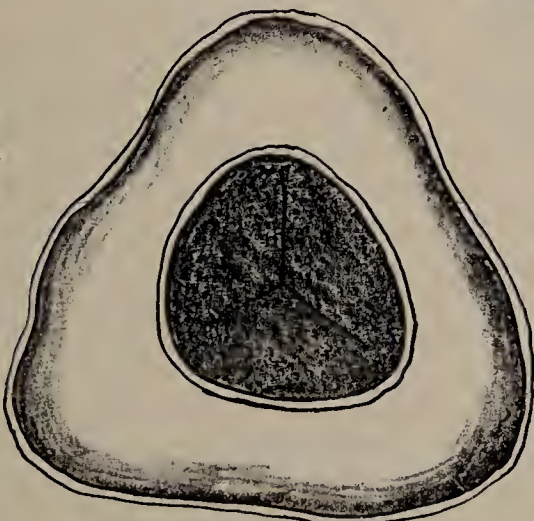
d 17 n. 50,1

134.A



d 15. n. 8

1.D



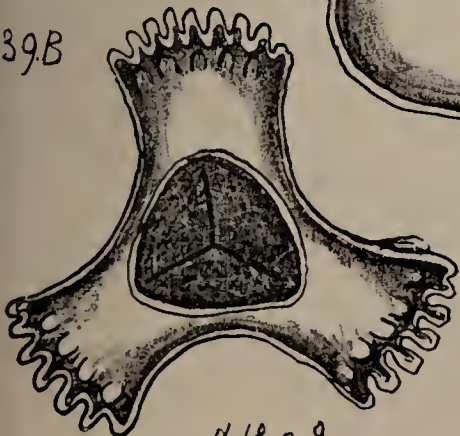
d 50 n. 23.
magn $\frac{1}{1}$

47.A

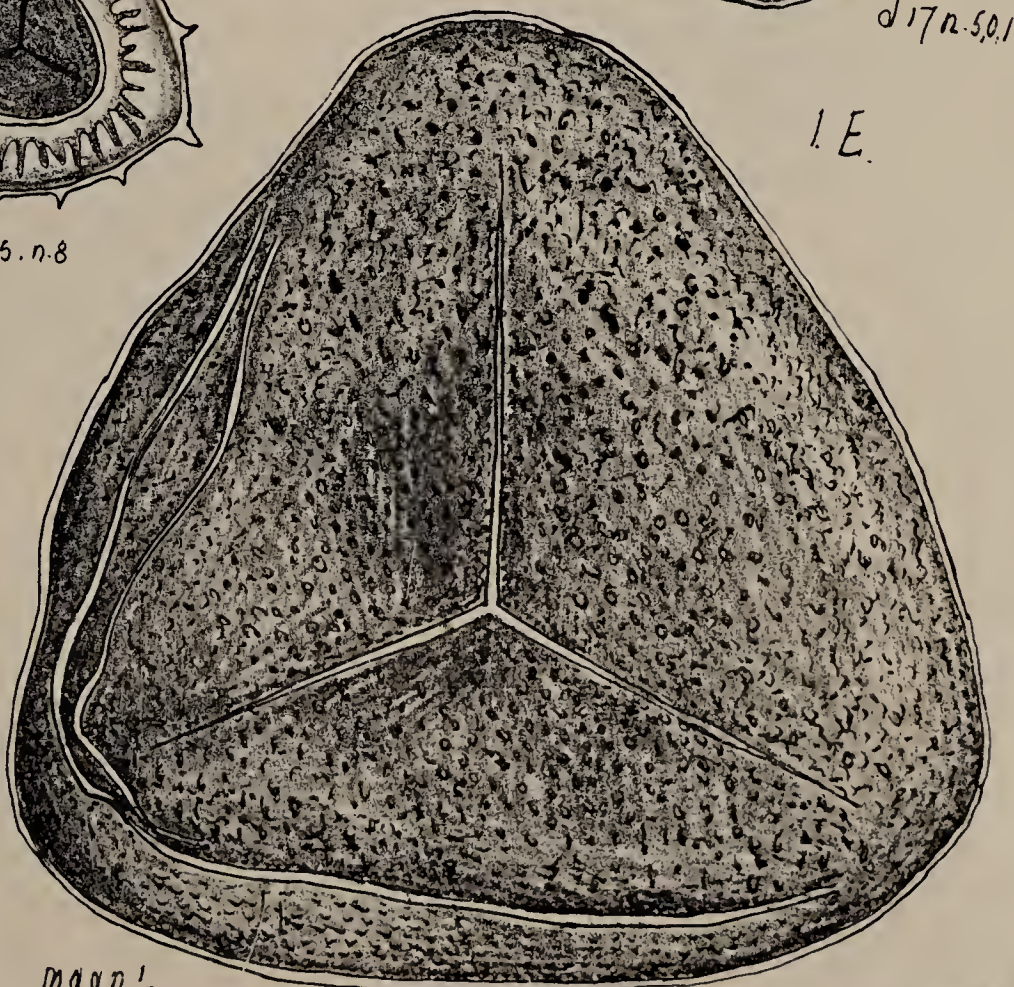


d 11 n. 5

39.B



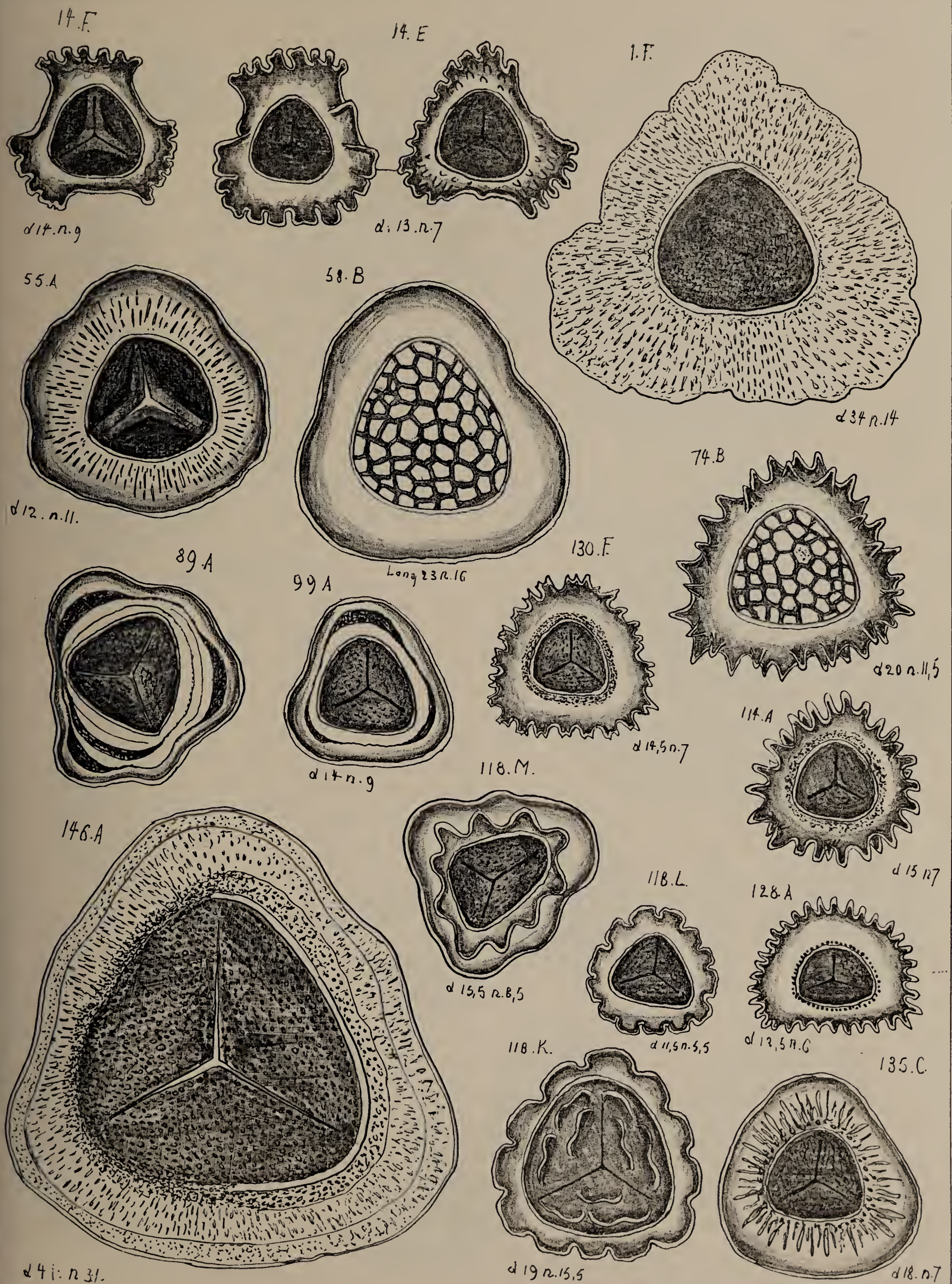
d 18 n. 9

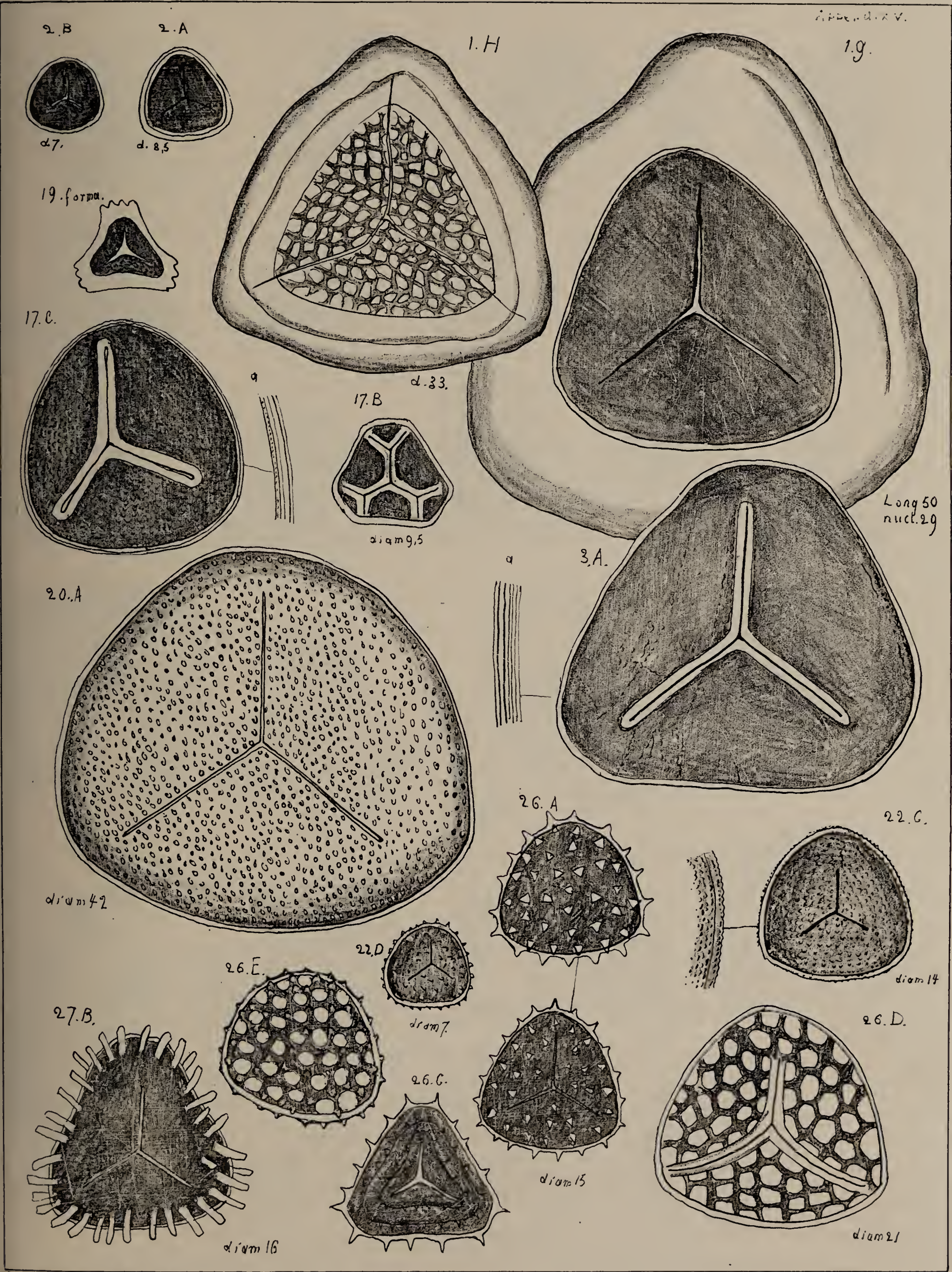


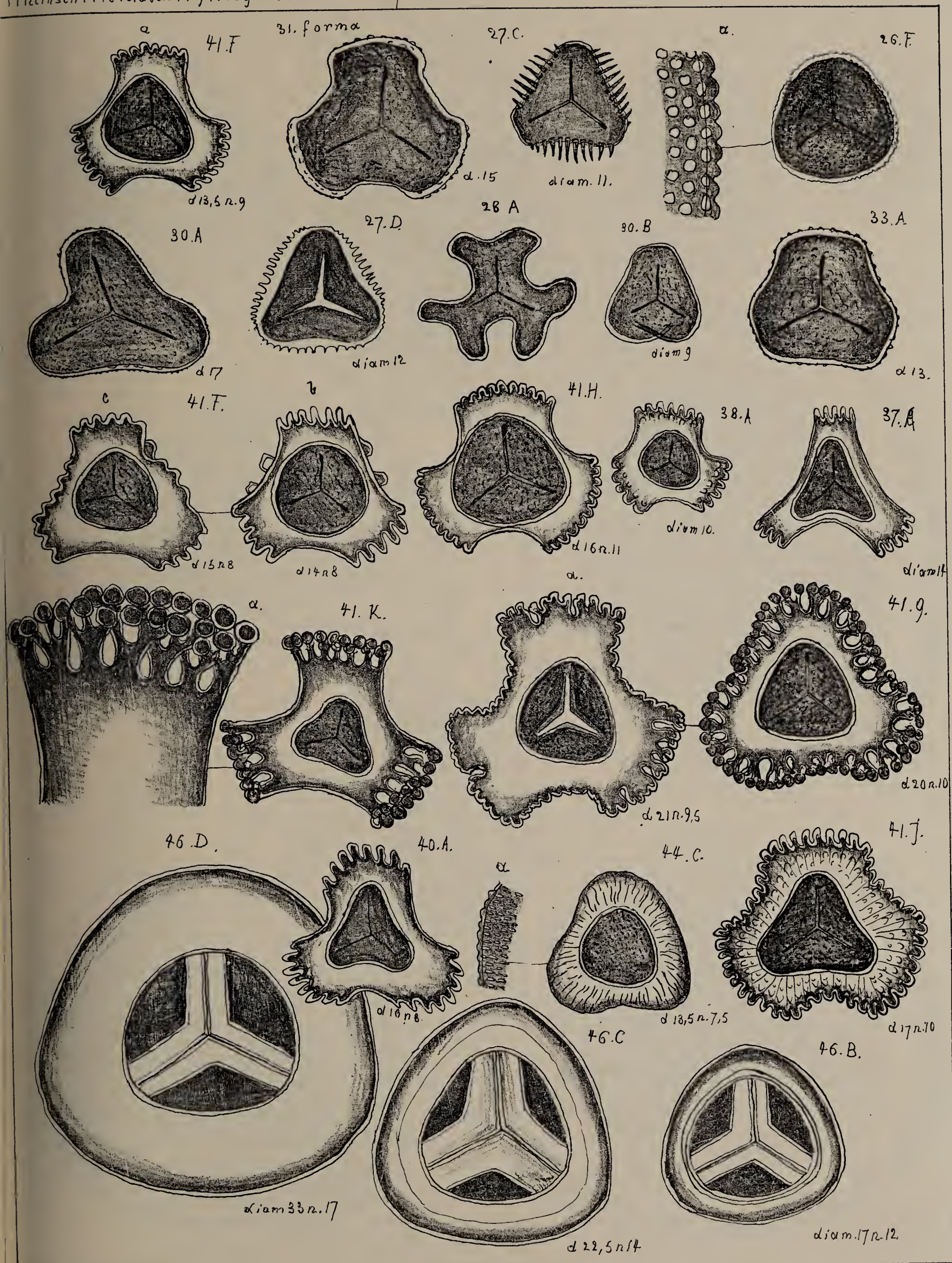
magn $\frac{1}{1}$

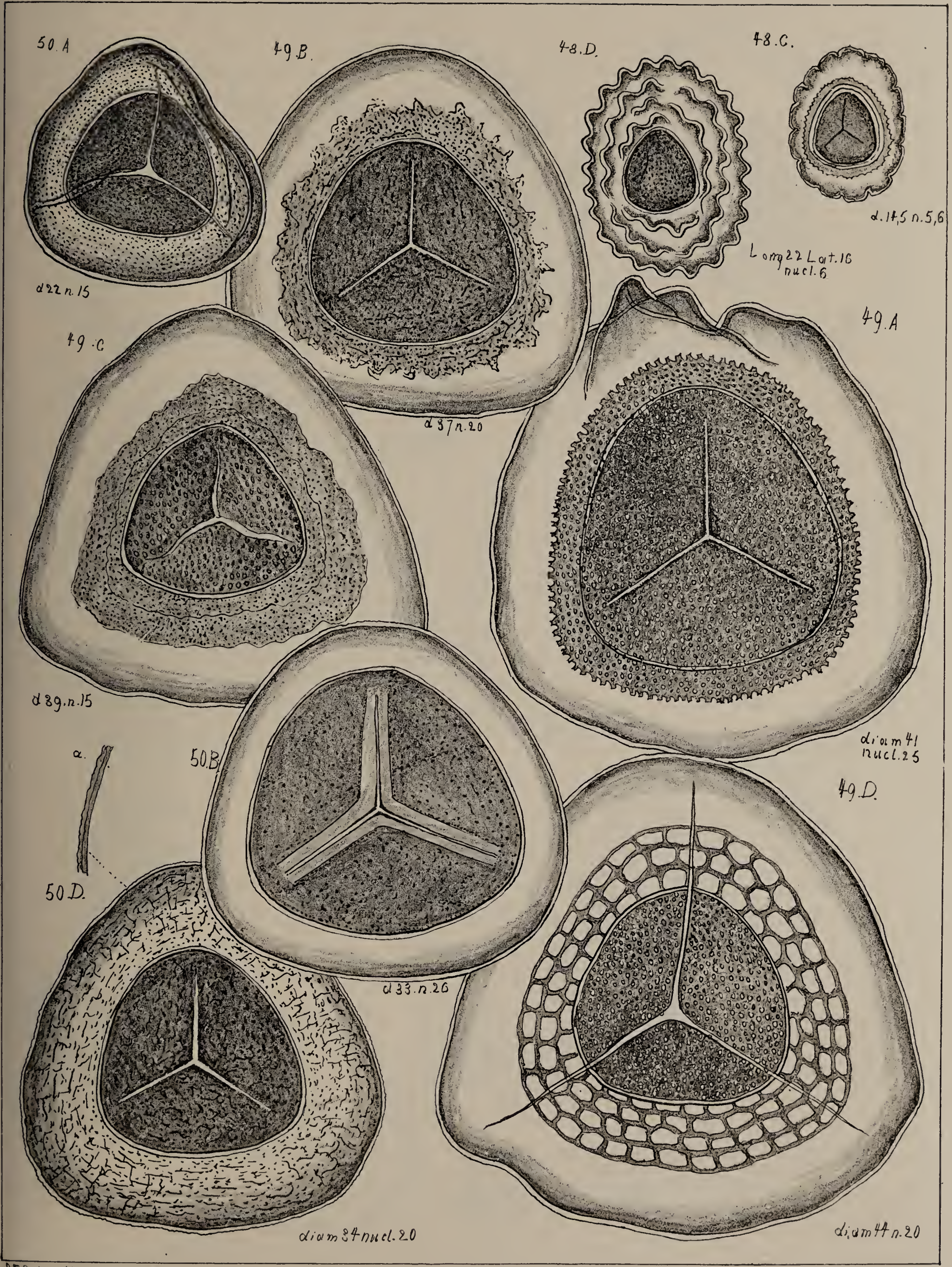
1.E.

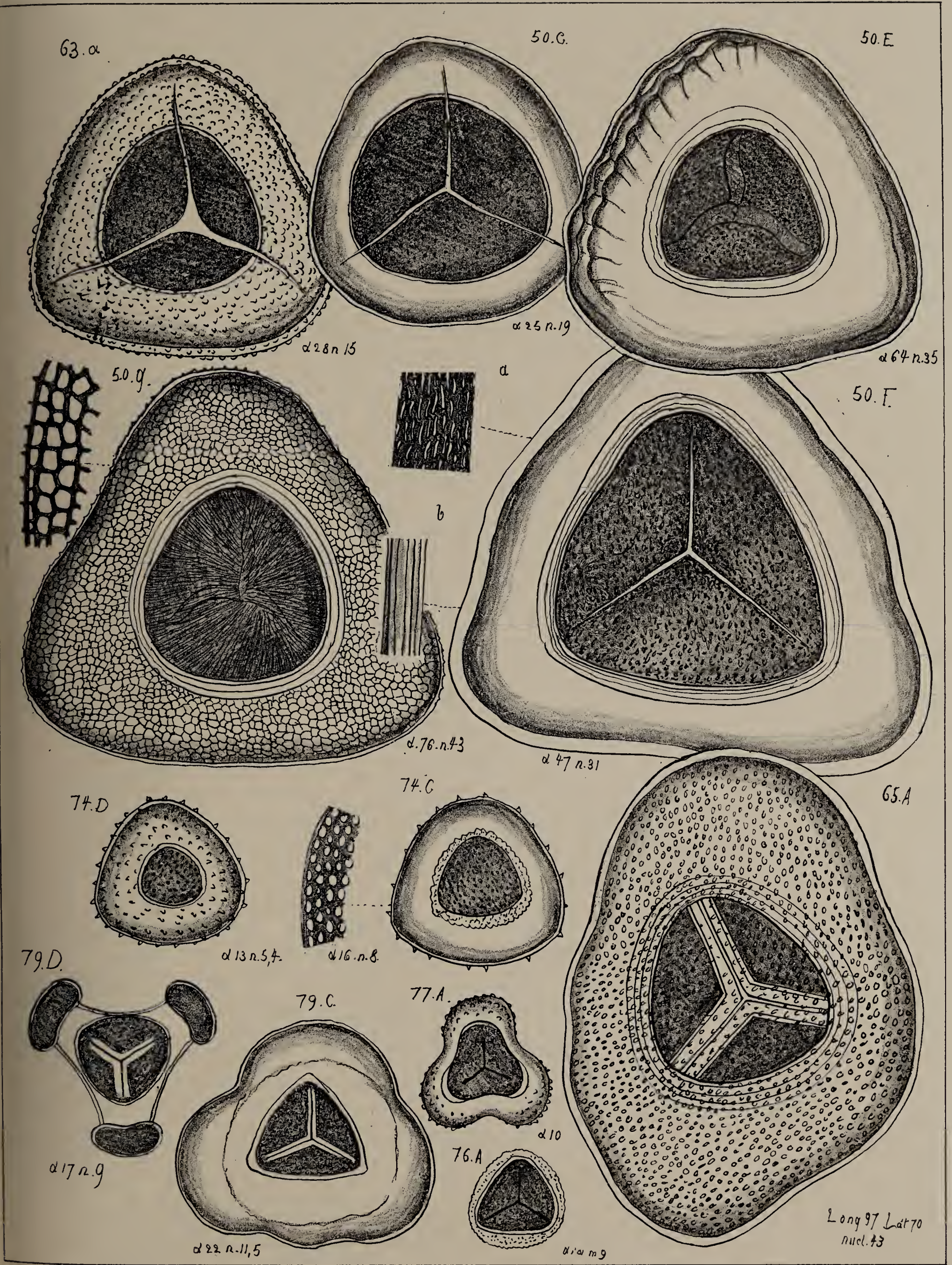
diam 90.



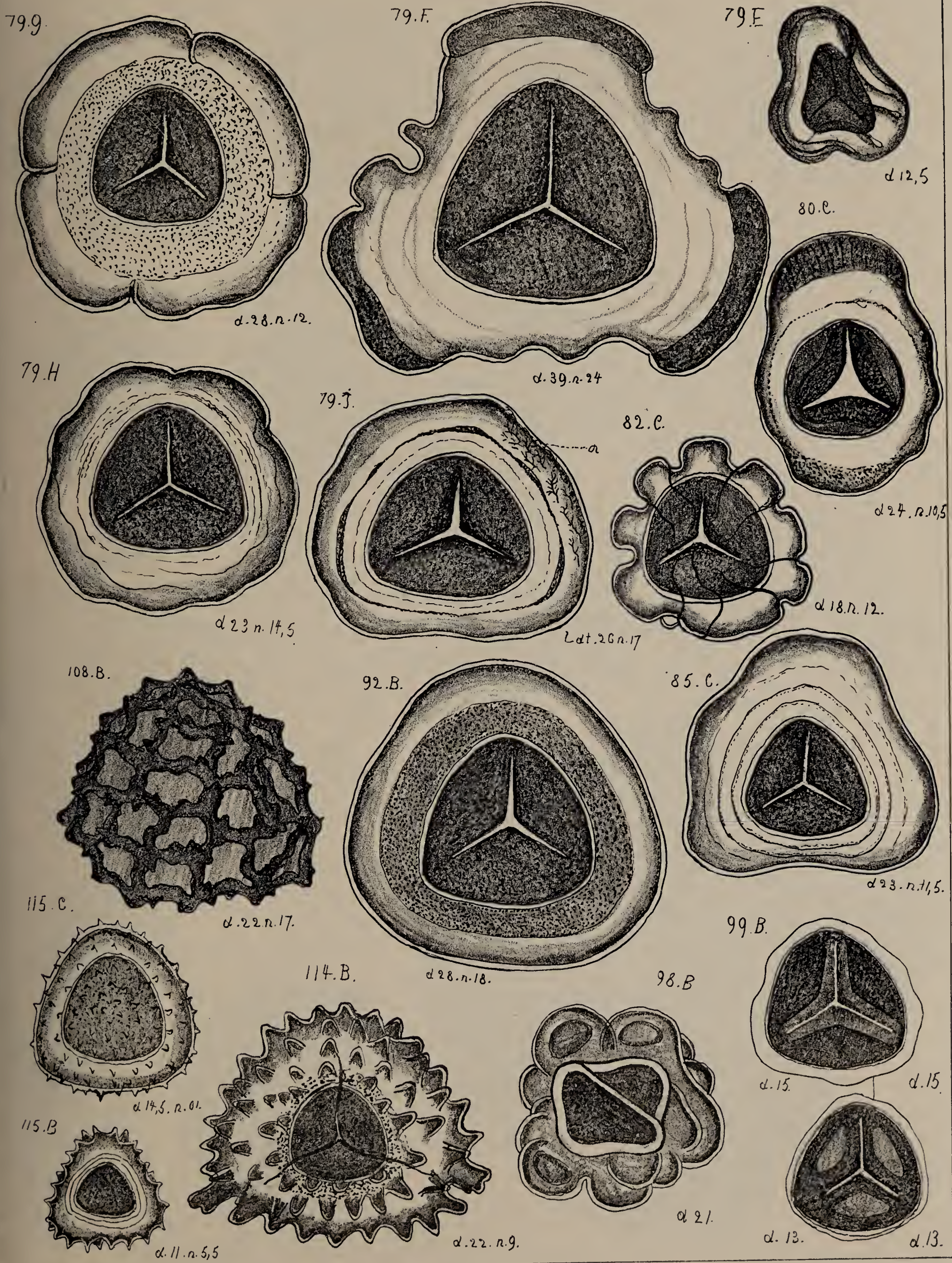




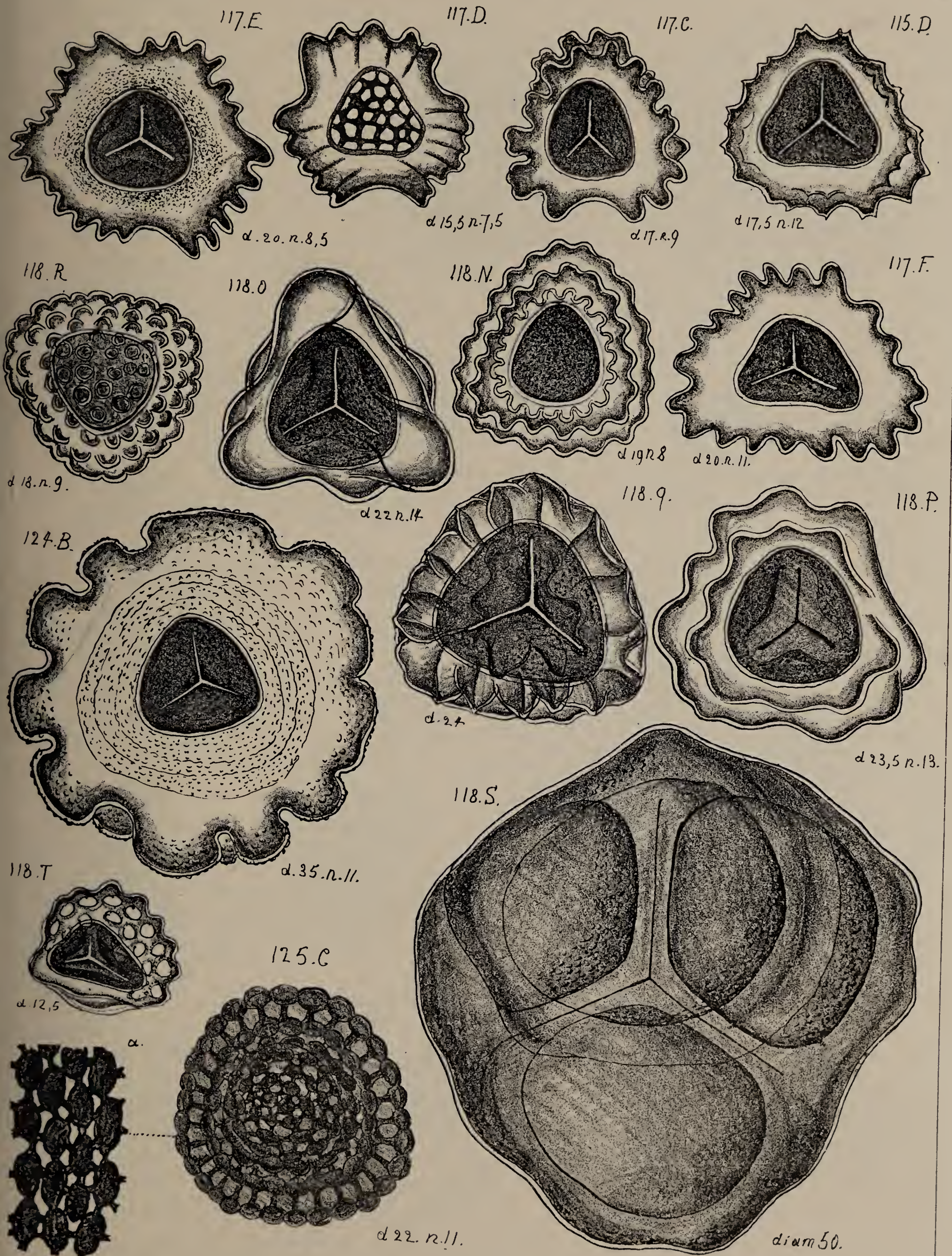


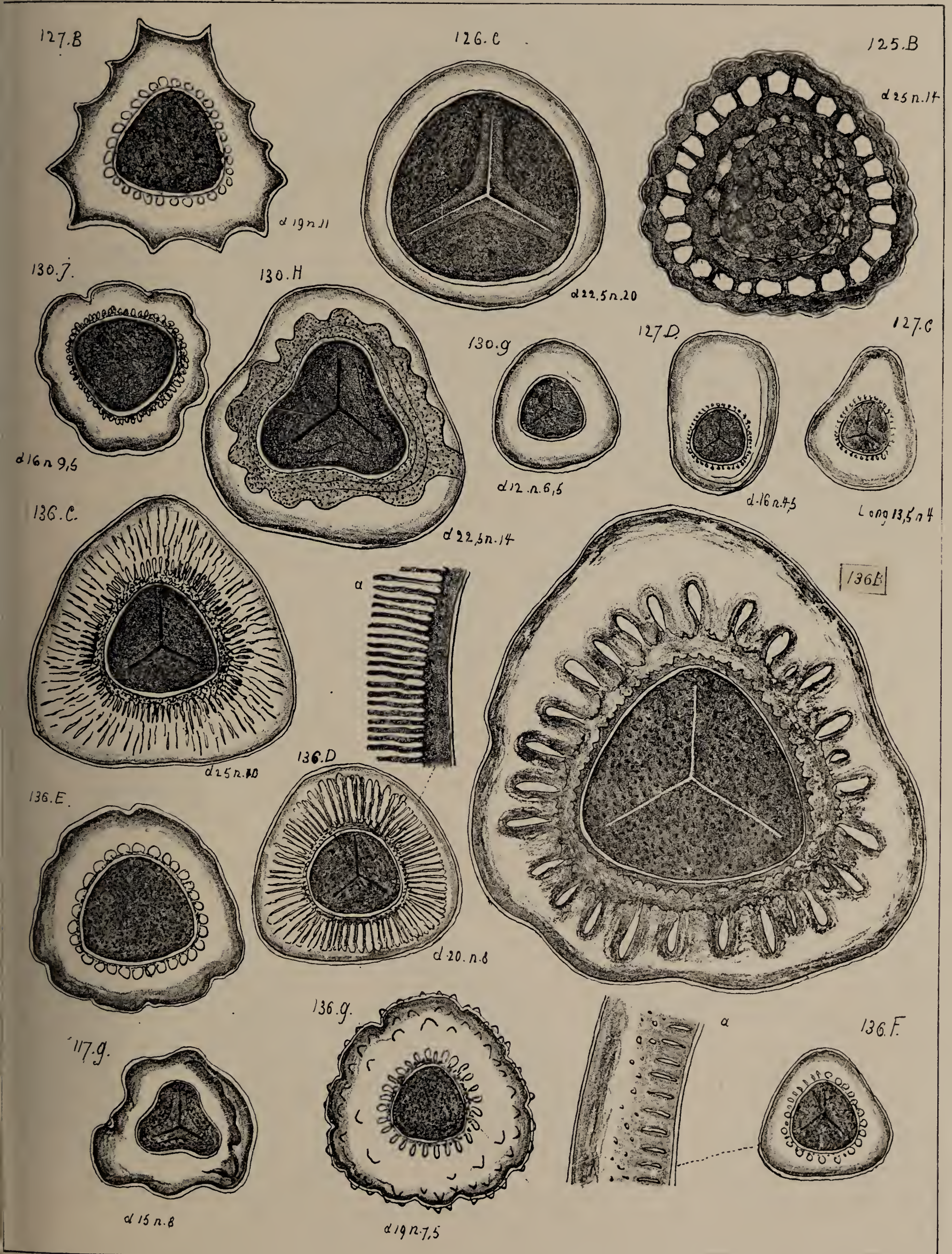


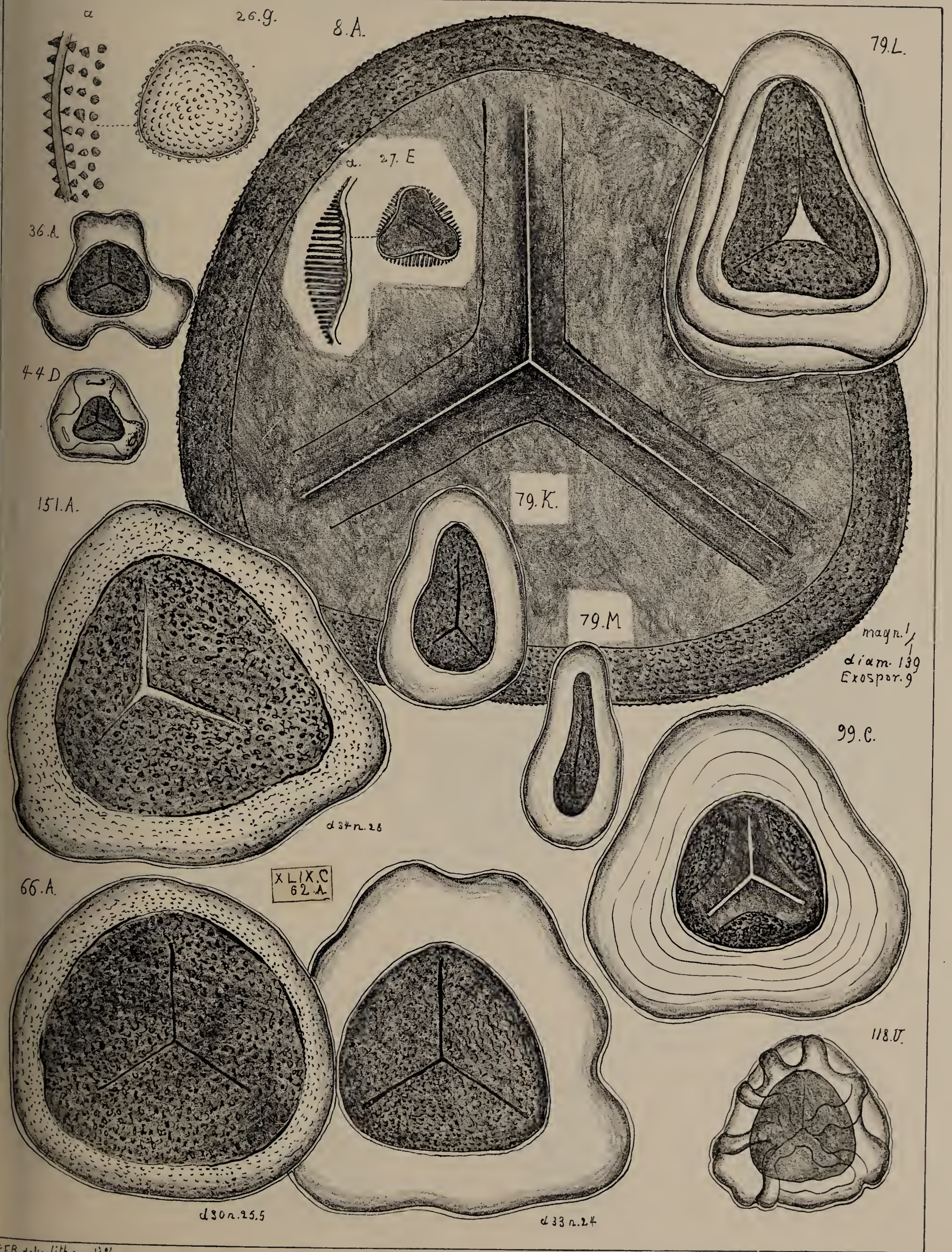
PFR del. n. lithogr. 1887

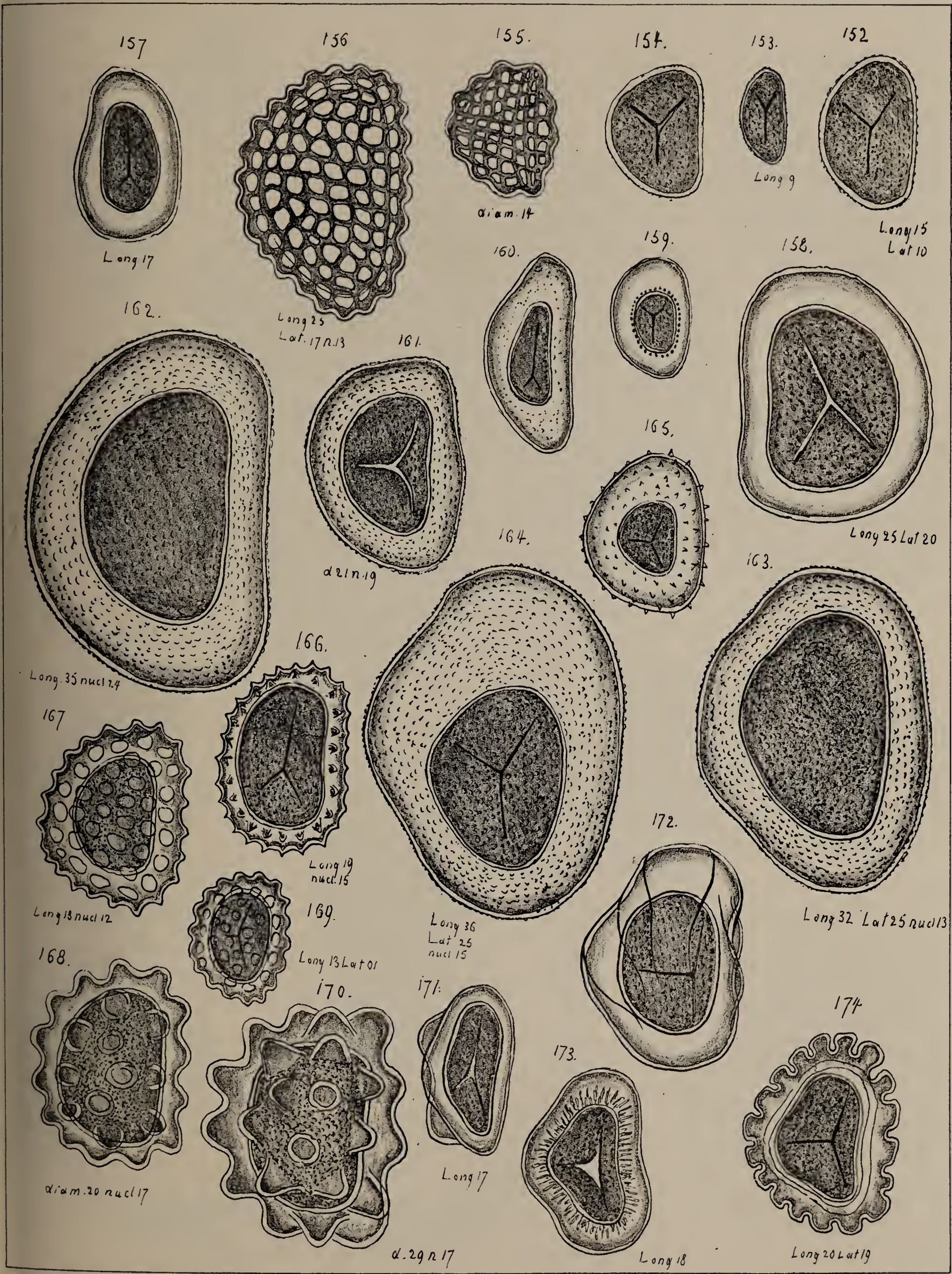


PfR delin. lithogr. 1884

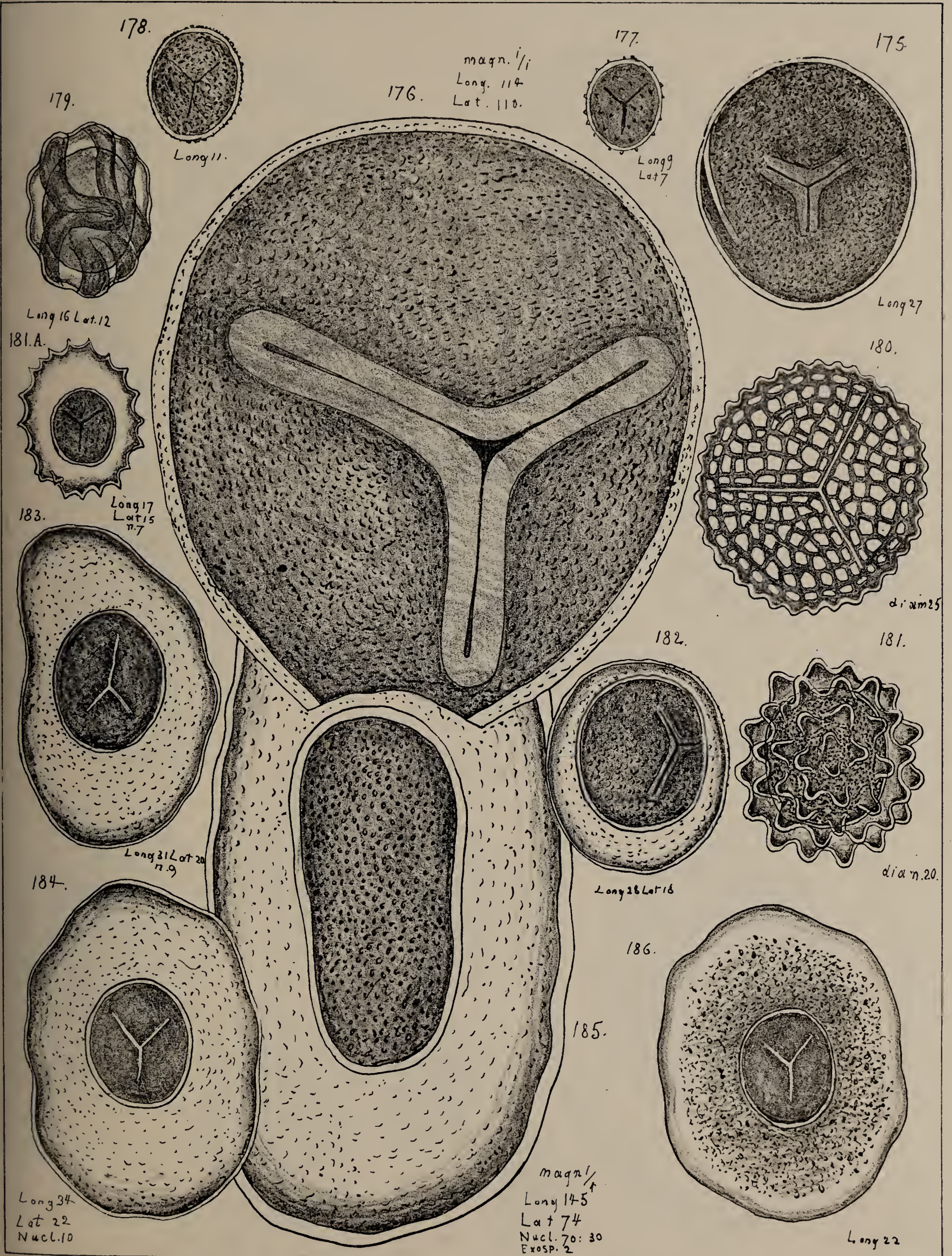






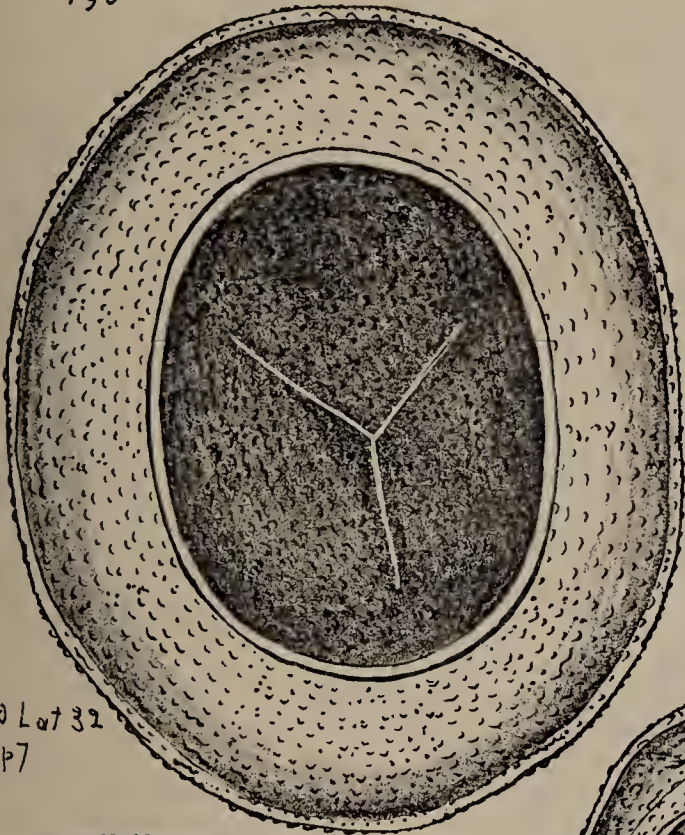


Pf. Reinsch. delin. lithogr. 1884



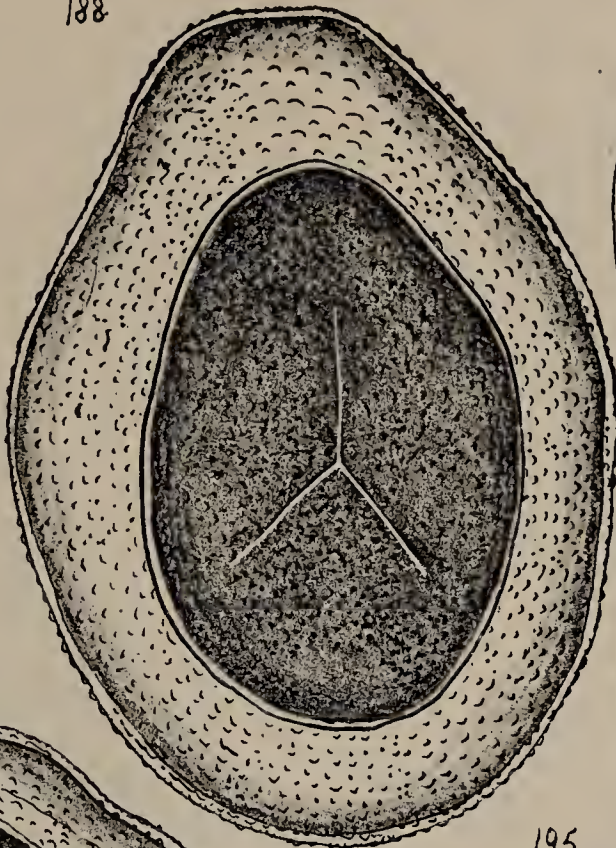
P.F.R. delin. lithogr. 1884.

190.

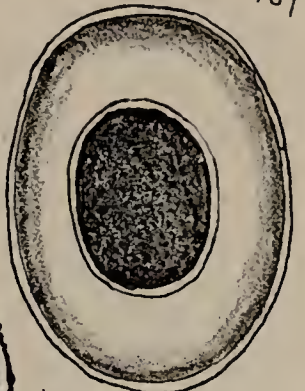


Long 30 Lat 32
Exosp 7

188

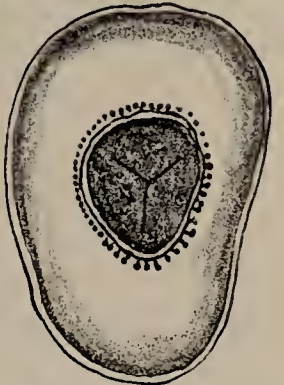


187.

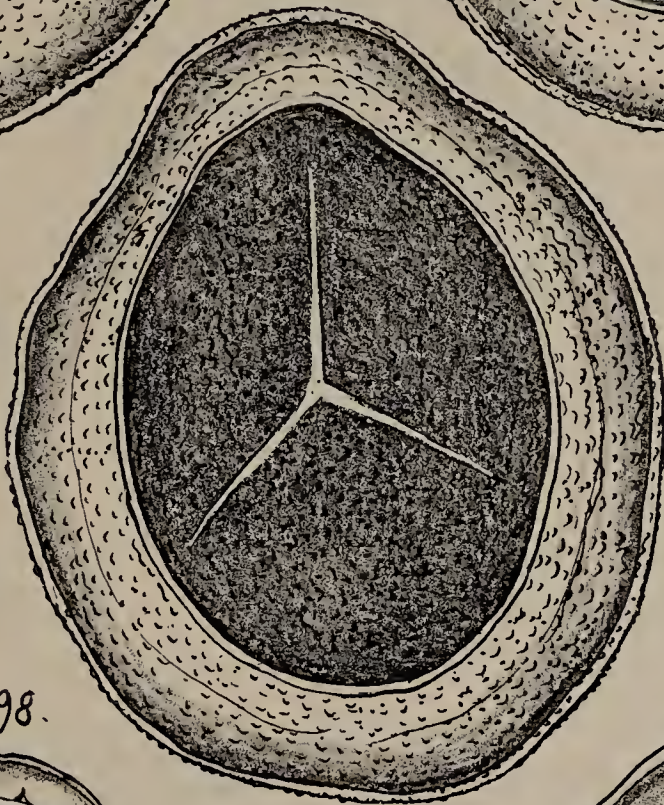


Long 19 Lat 14. n. 8

192



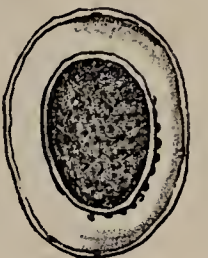
191.



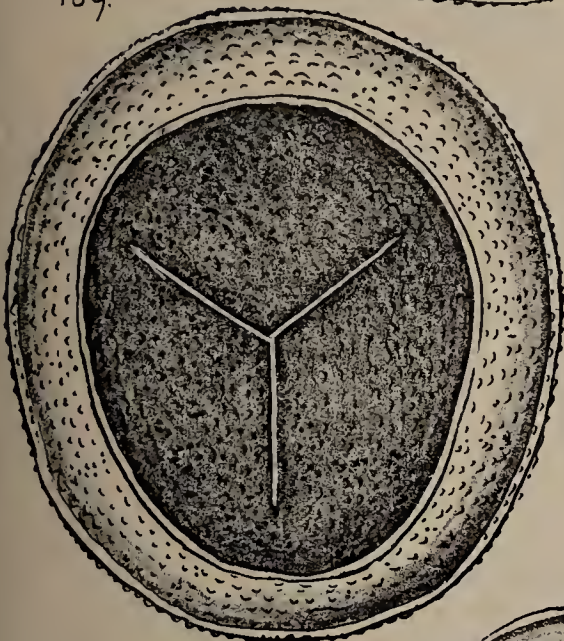
195



193



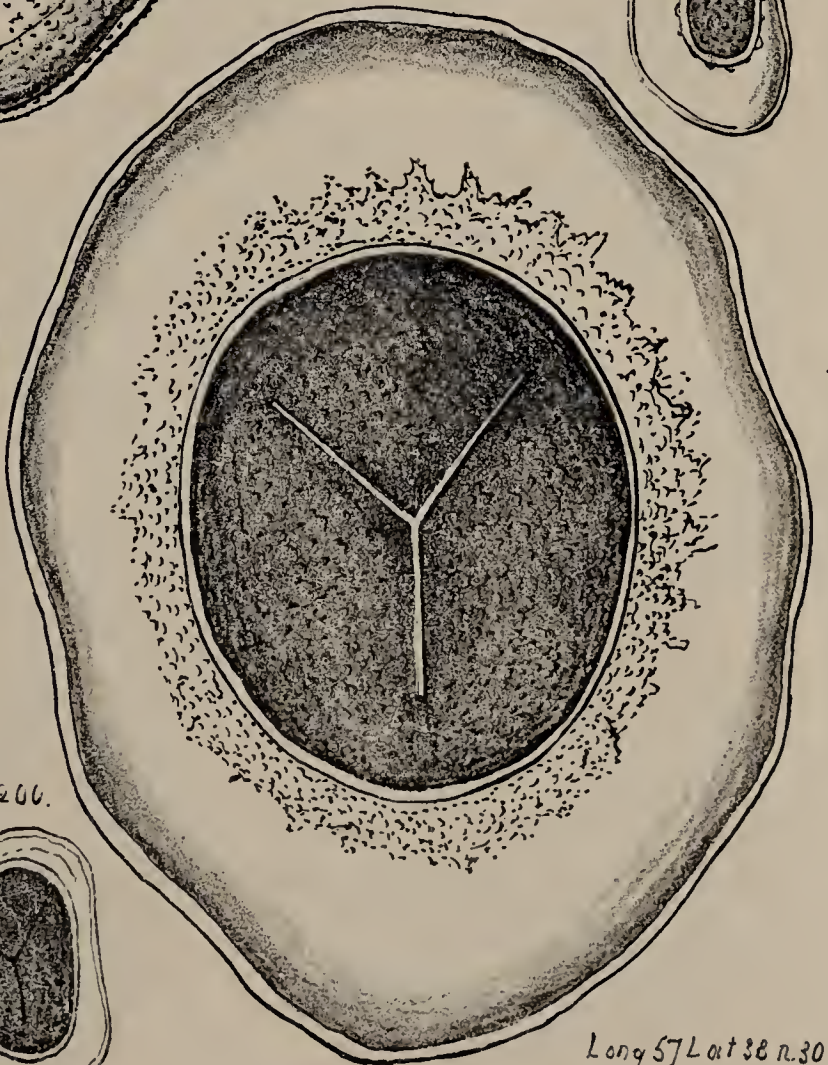
189.



194



196



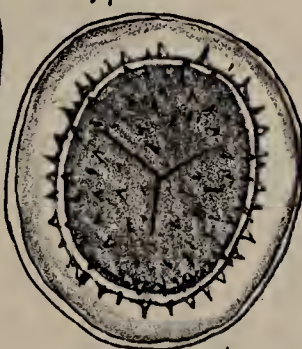
Long 57 Lat 38 n. 30

202.



Long 28 n. 23

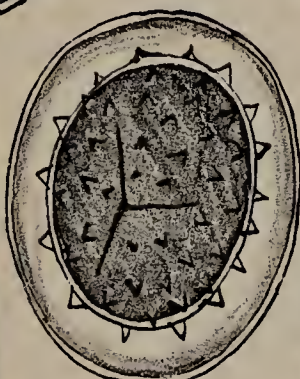
197.



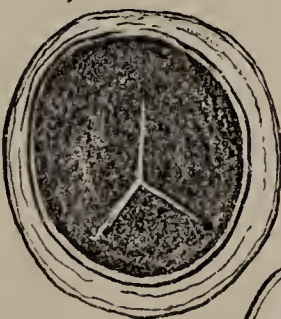
α. 16

Long 28. Lat 14

201

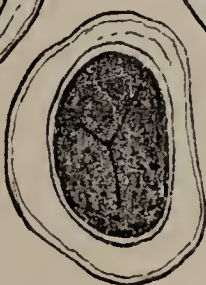


199



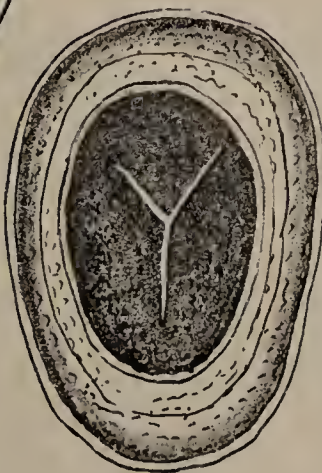
α. 15

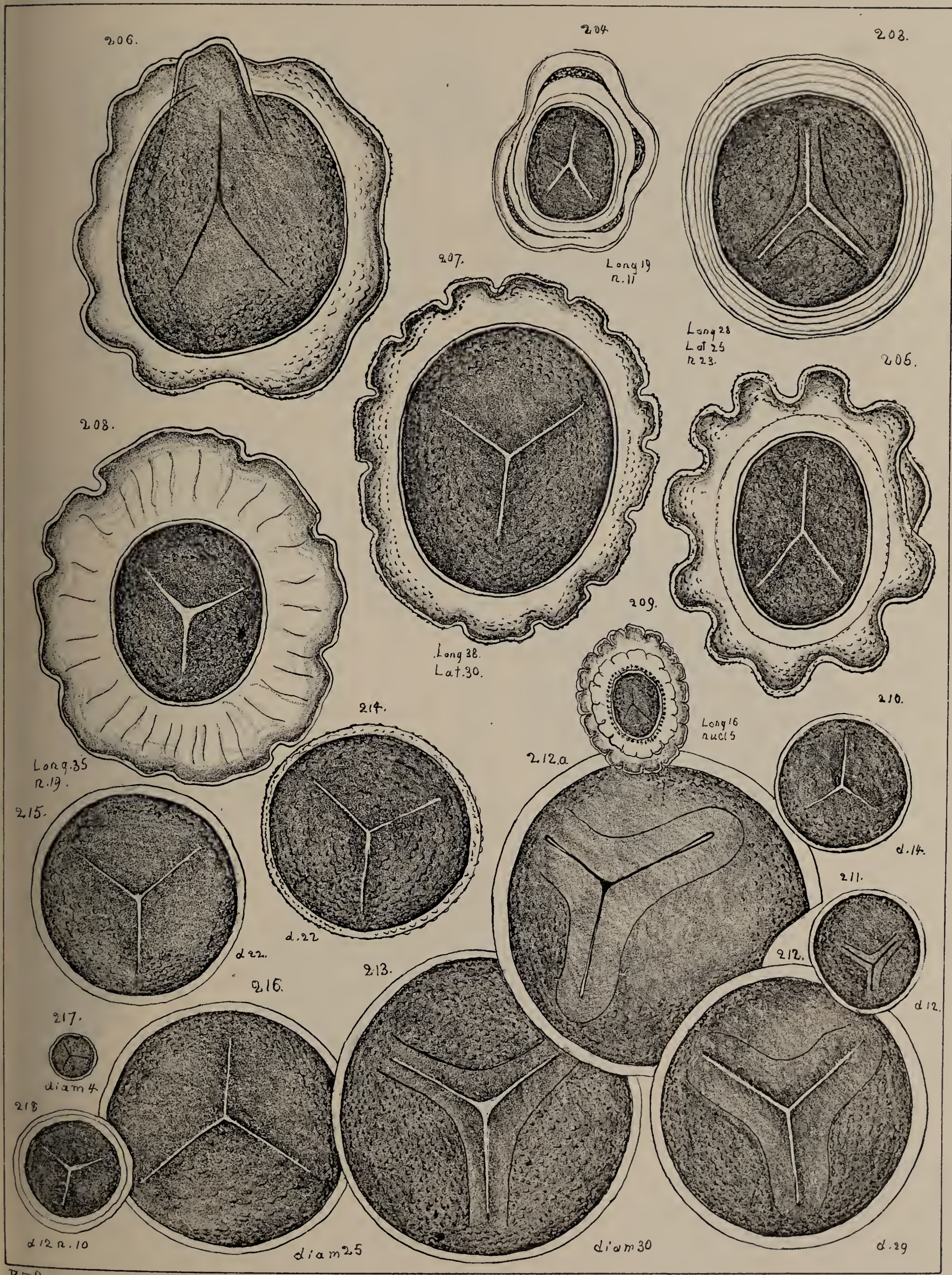
200.



α. 11.

Long 23 n. 14

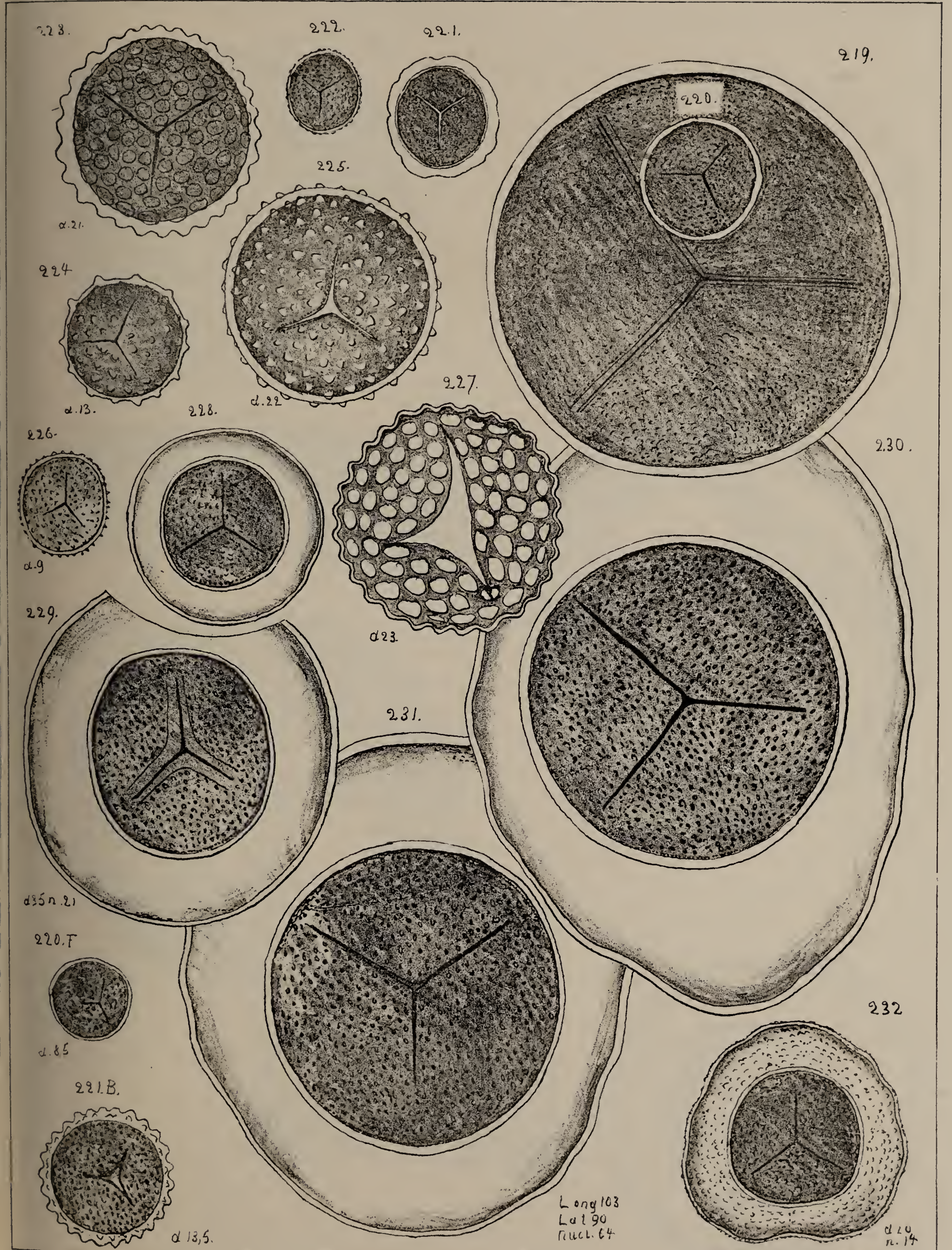




P.F.R. del. lithogr. 1884

Trib. XI. Trileteae





F.F. de la lithogr. 1881



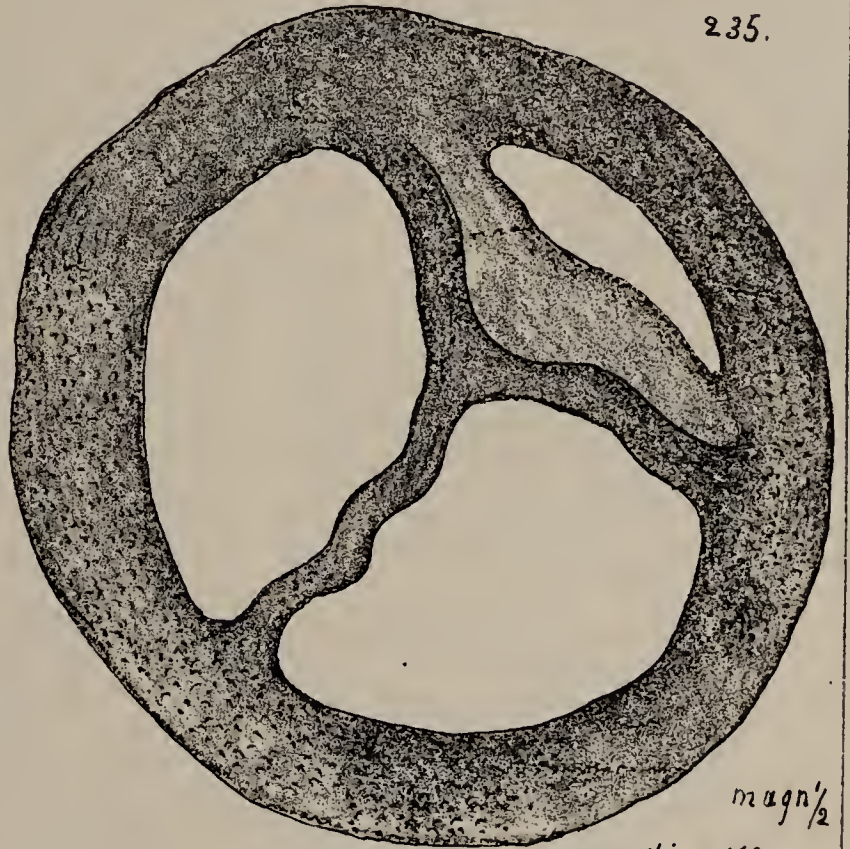
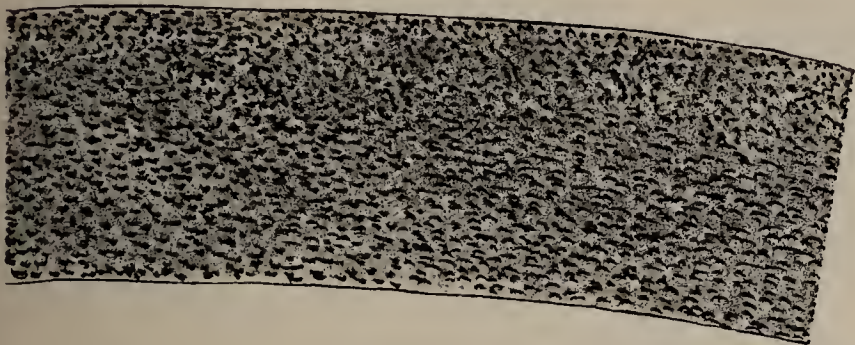
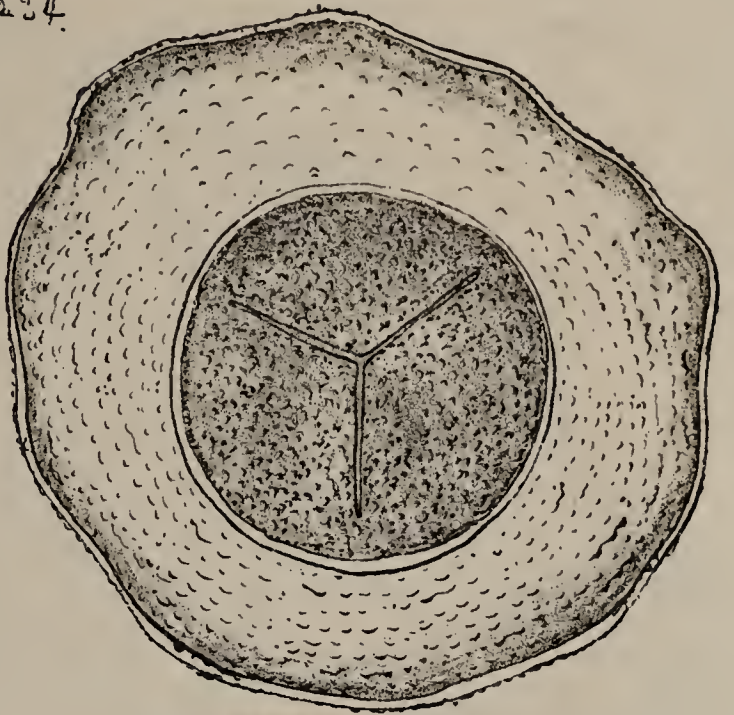


236.

236. a

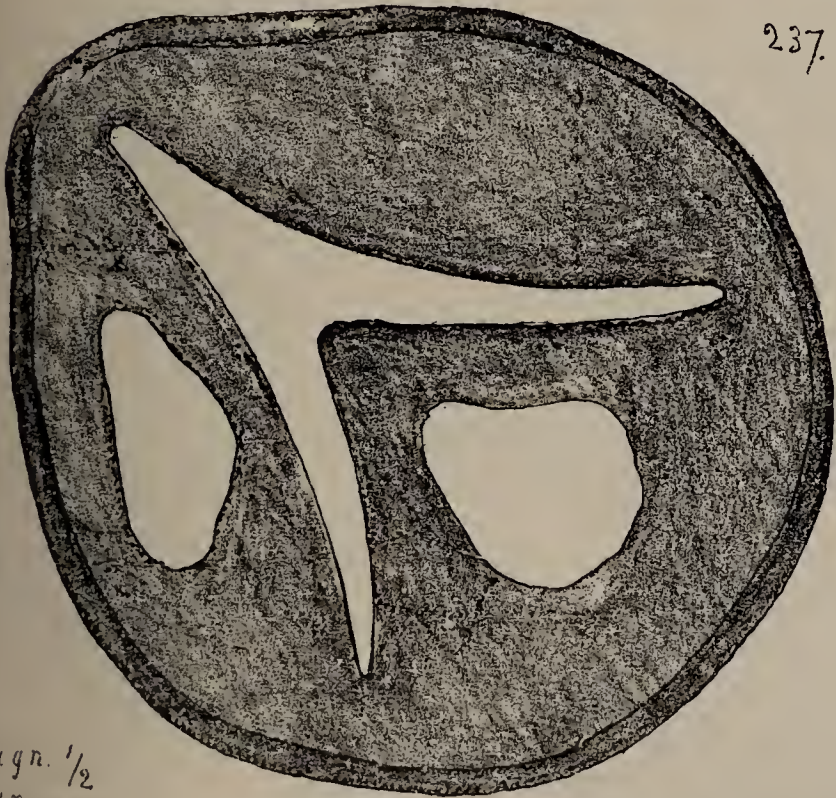
Magn. $\frac{1}{2}$
Diam. 221.
Exospor. 12.

234.



235.

magn $\frac{1}{2}$
diam 156
Exospor. 20



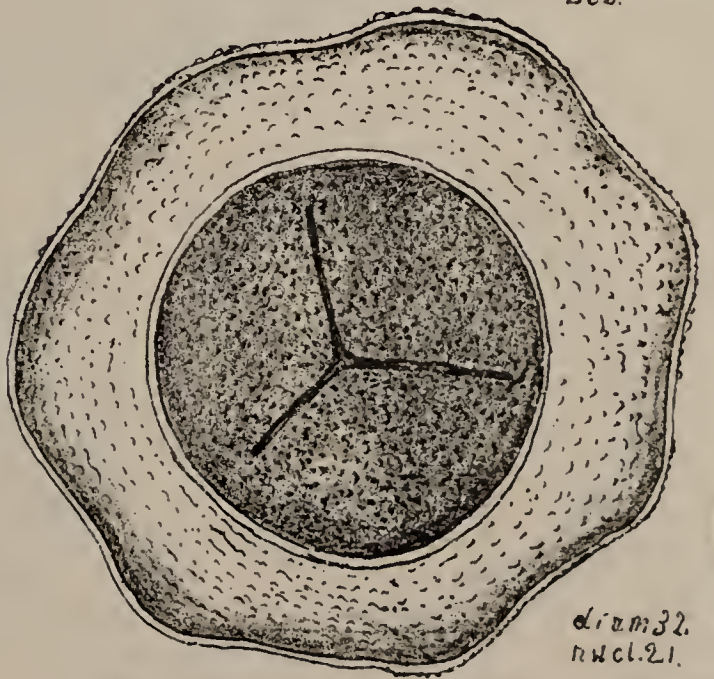
237.

Magn. $\frac{1}{2}$
Diam 203.
Exospor. 13.

237. a.

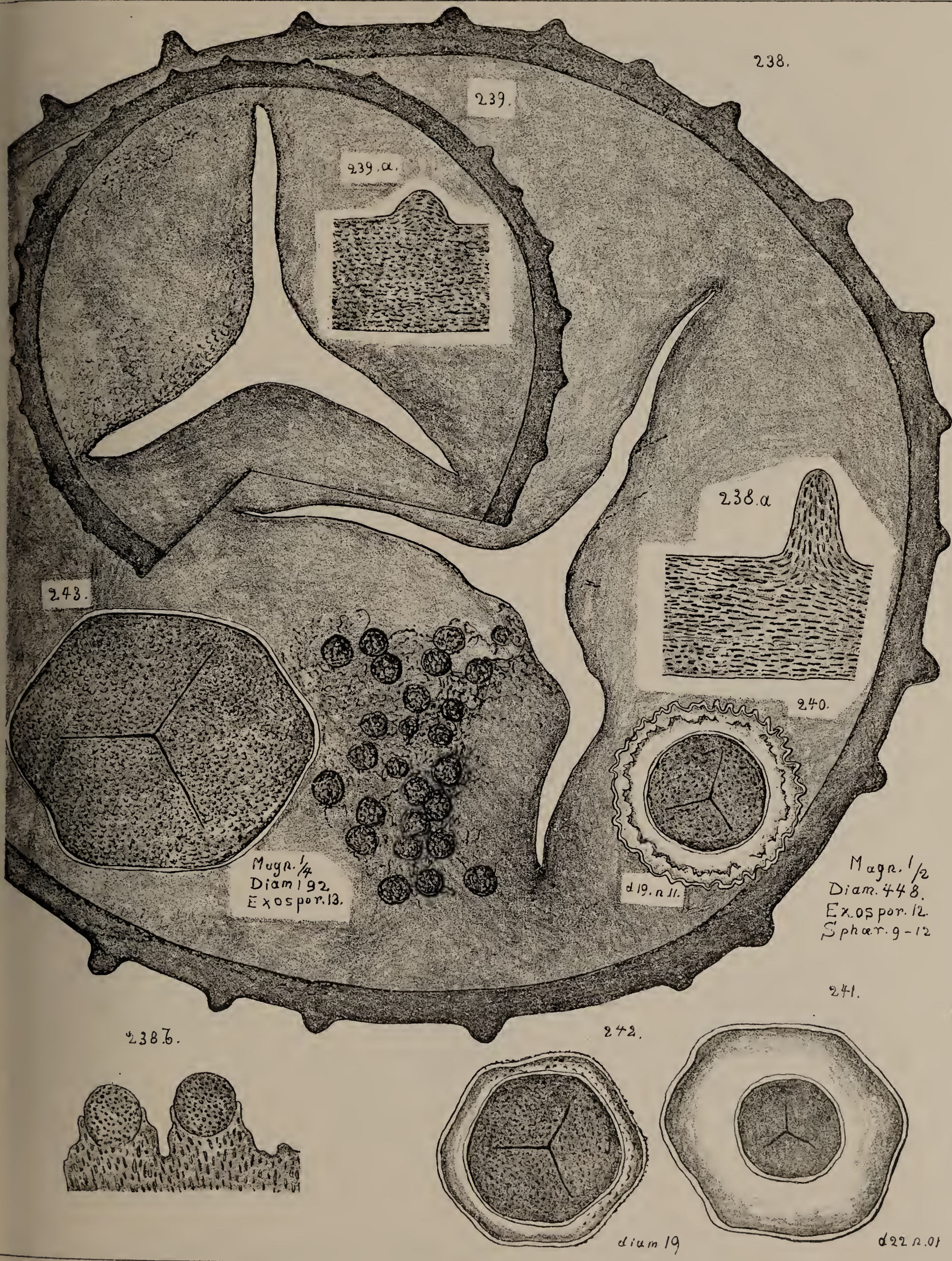


233.



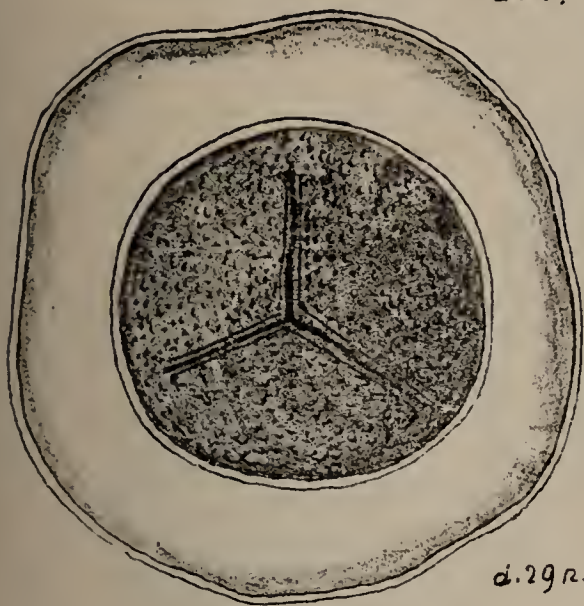
diam 32.
nuc. 21.





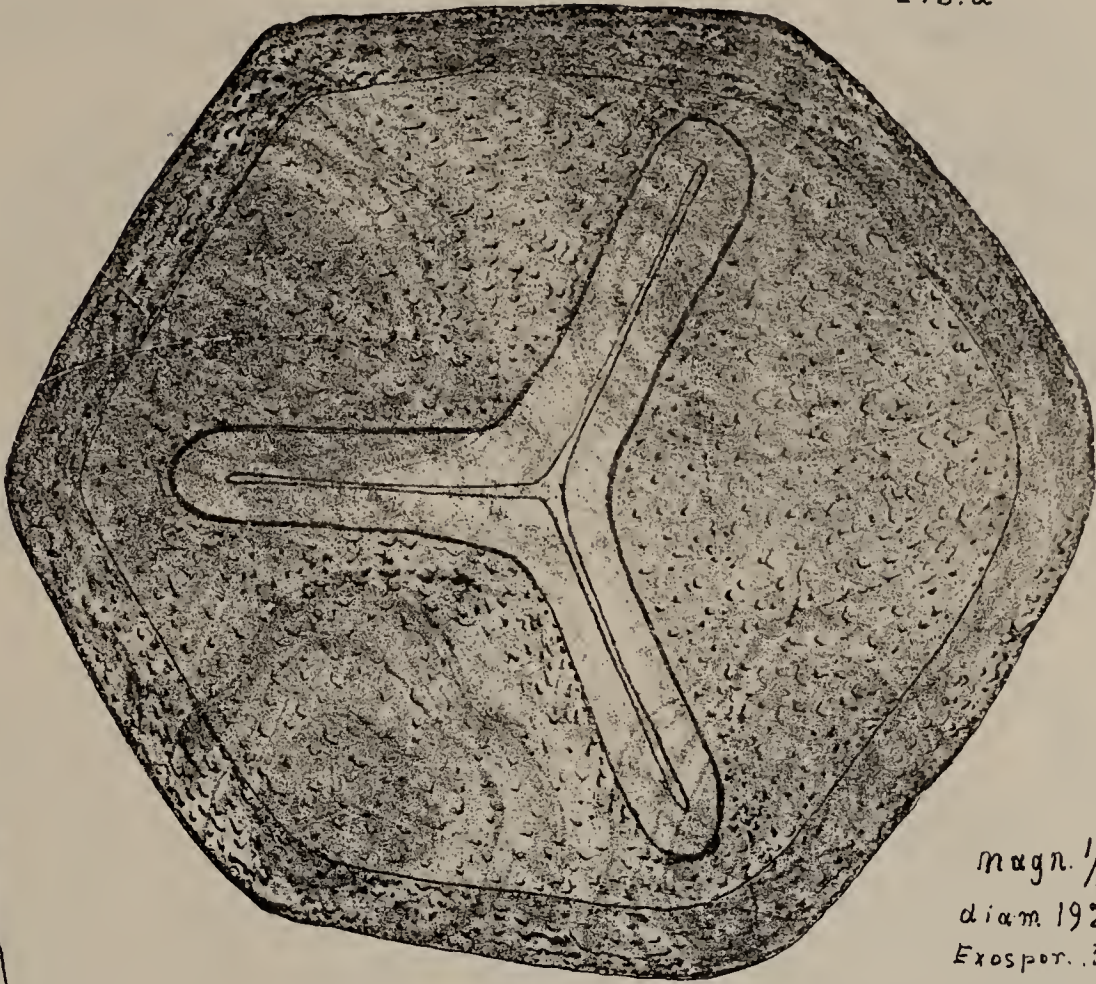


244.



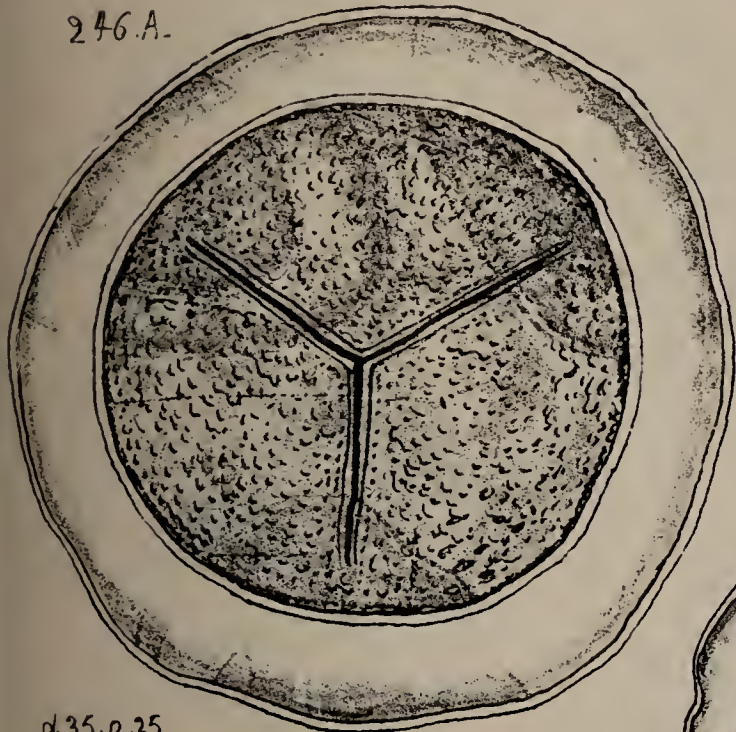
d. 29 n. 16.

243.a



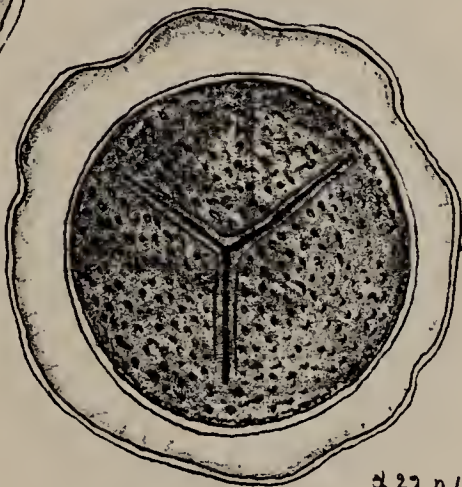
magn. $\frac{1}{2}$
diam. 192
Exospor. 3.

246.A.



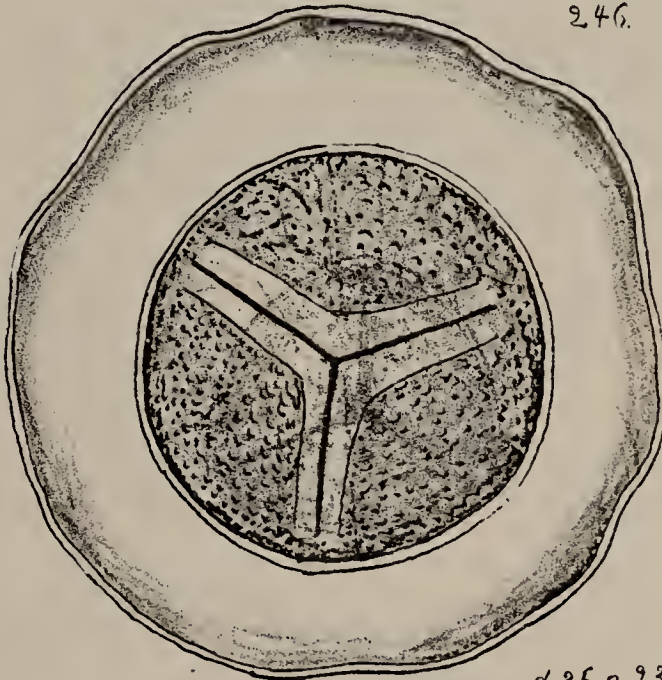
d. 35 n. 25

247.A.



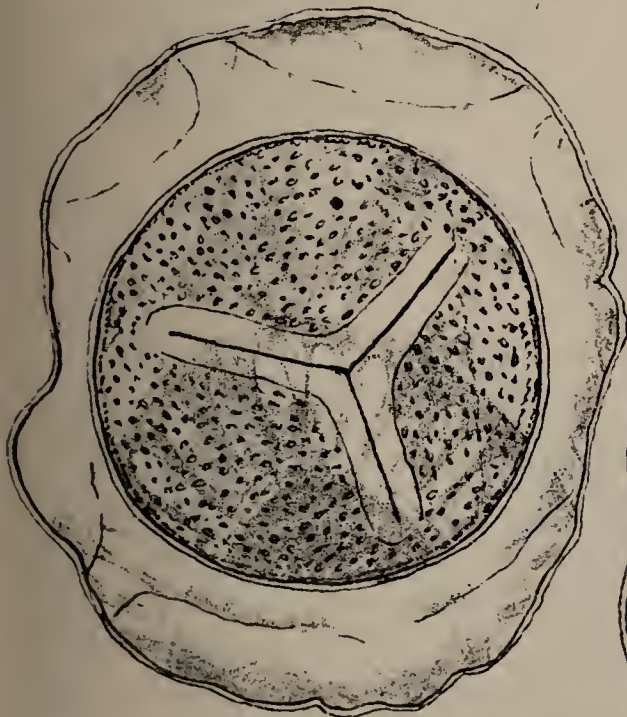
d. 22 n. 16

246.



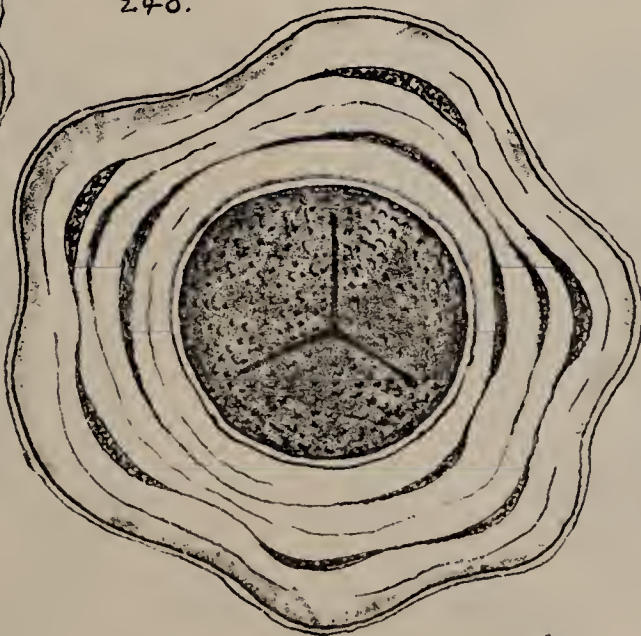
d. 35 n. 23.

247.a.



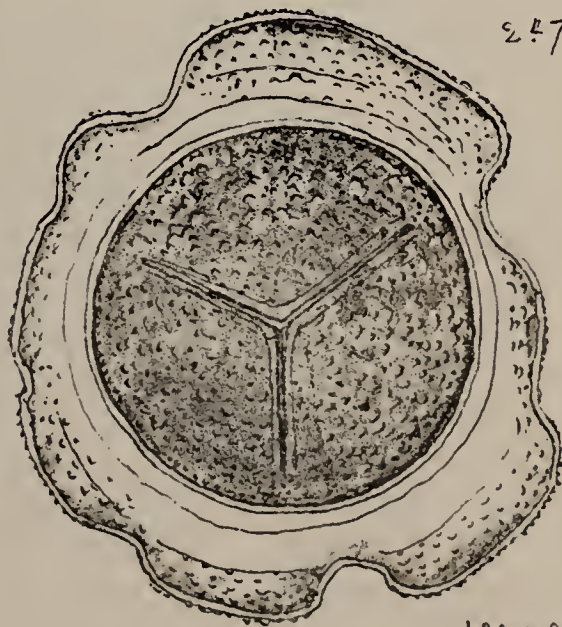
d. 34 n. 22

248.



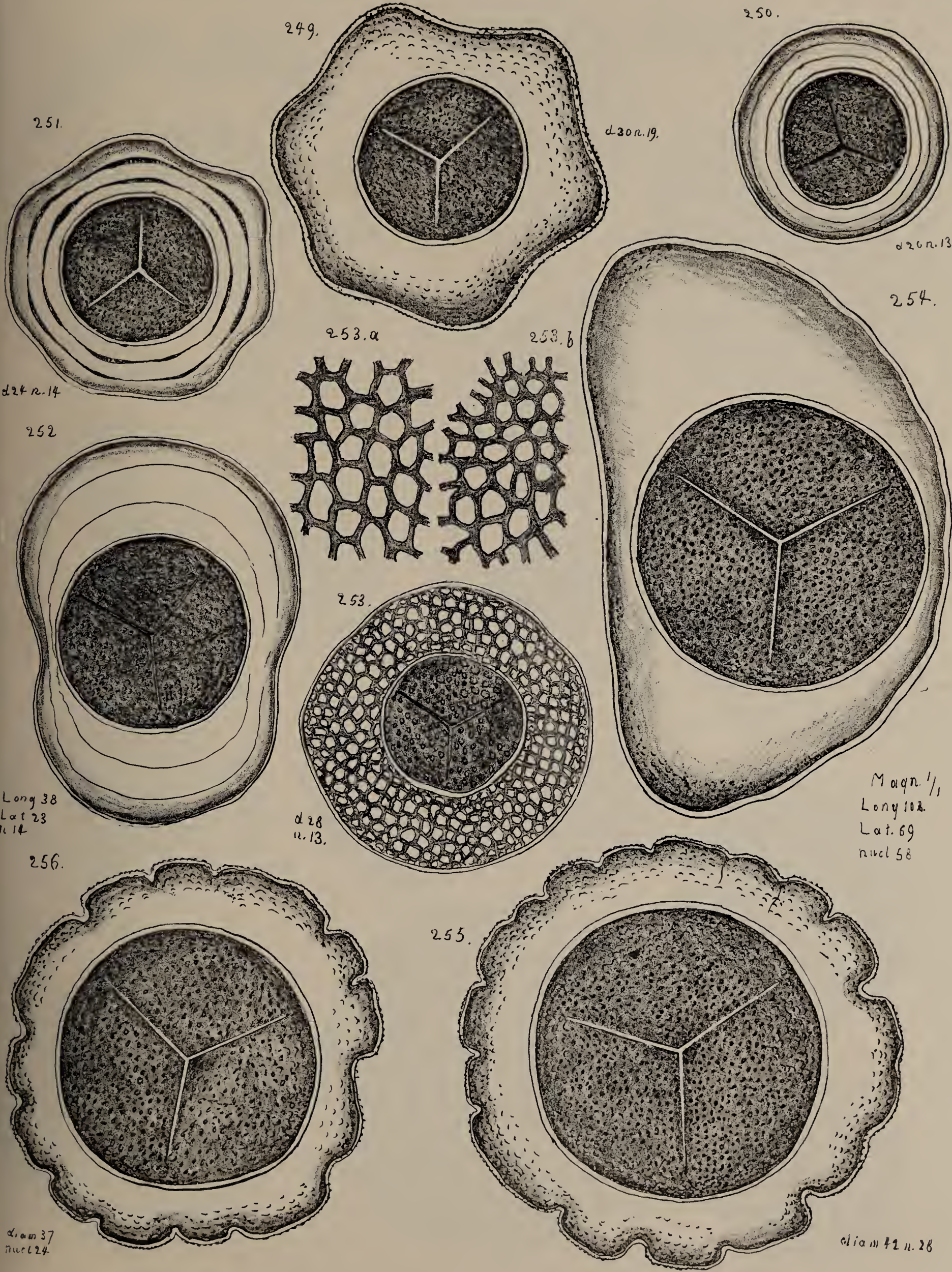
d. 29 n. 14.

247.



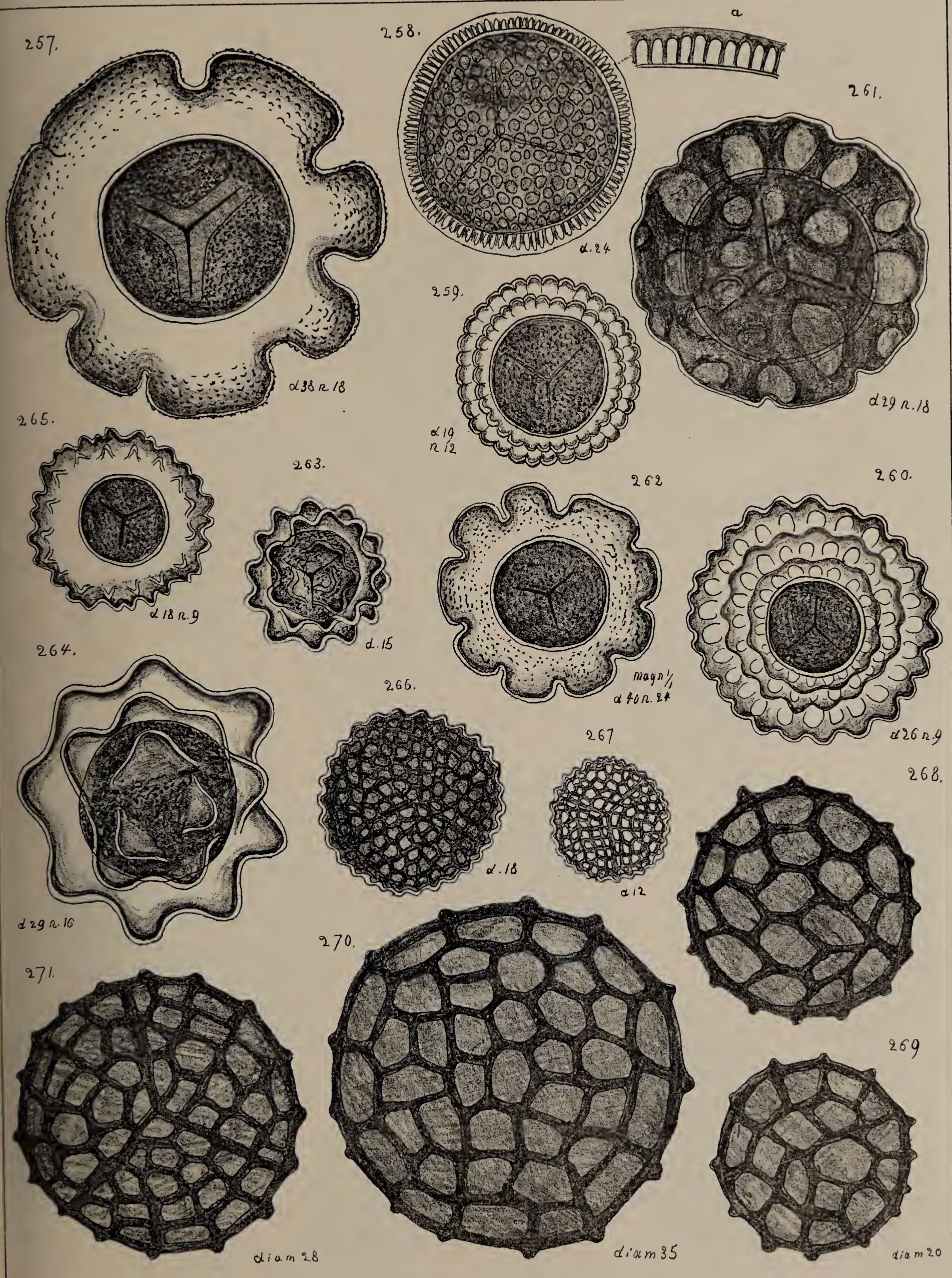
d. 30 n. 20

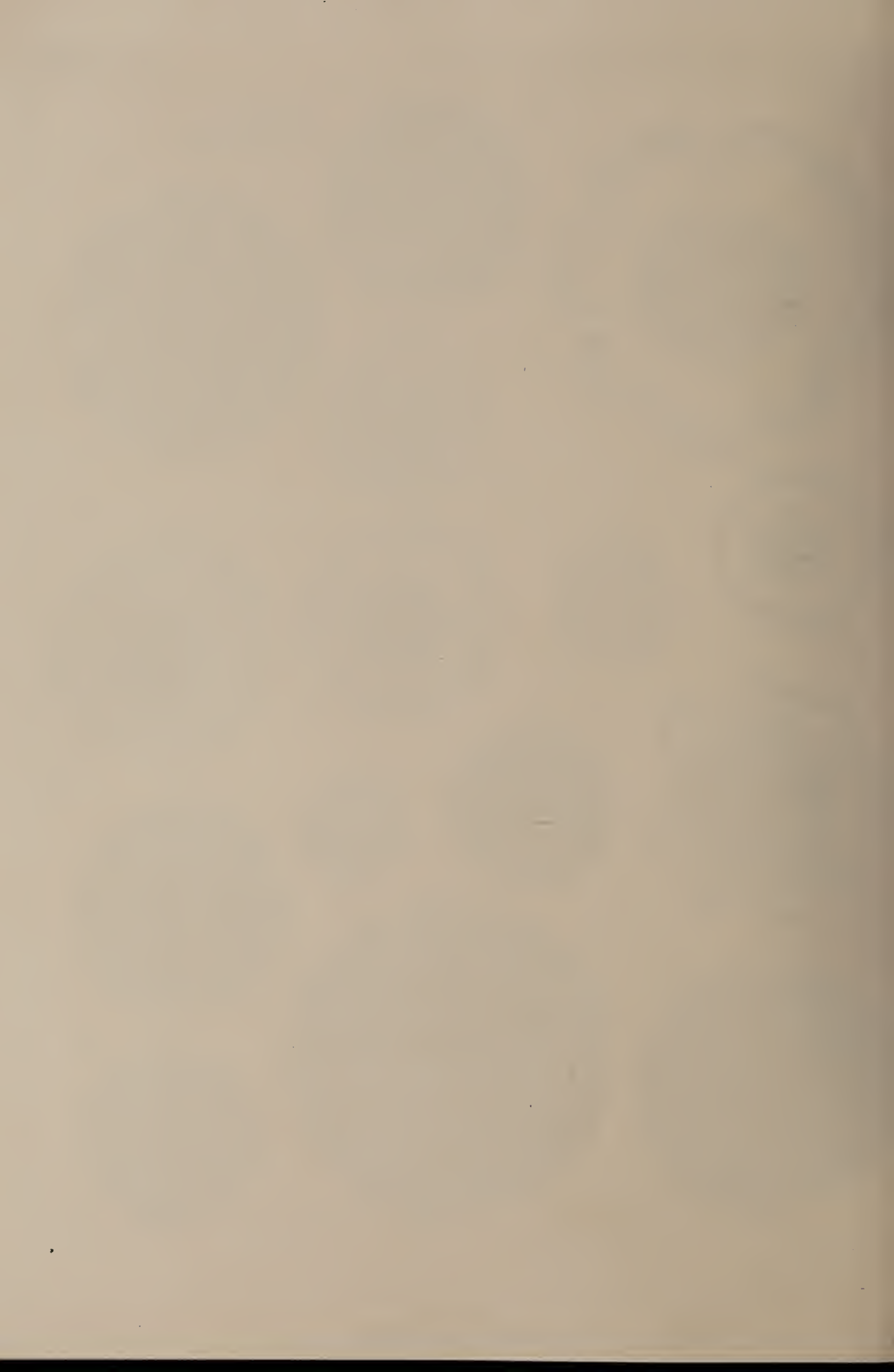


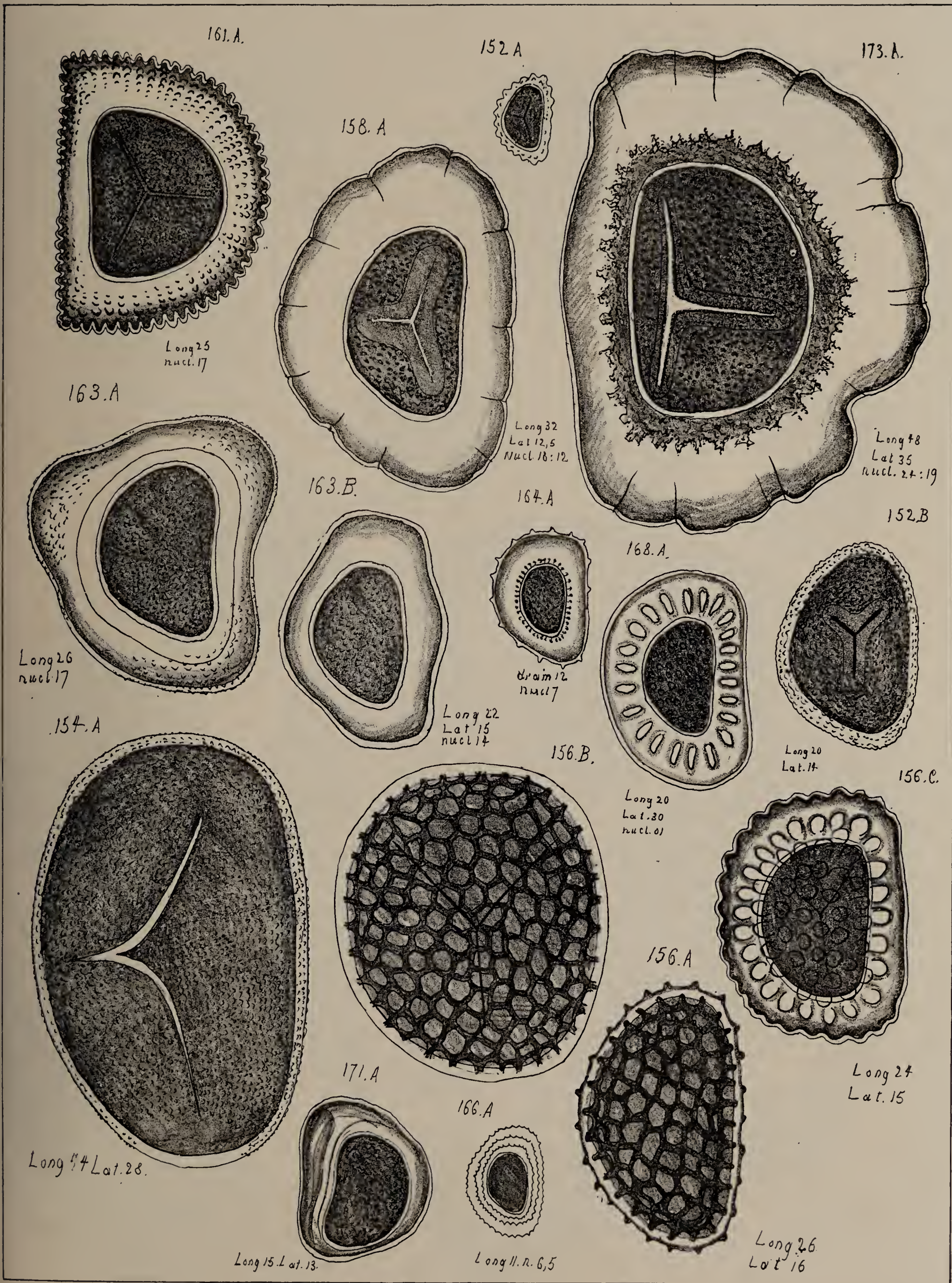


PfR delin. lithogr. 1884



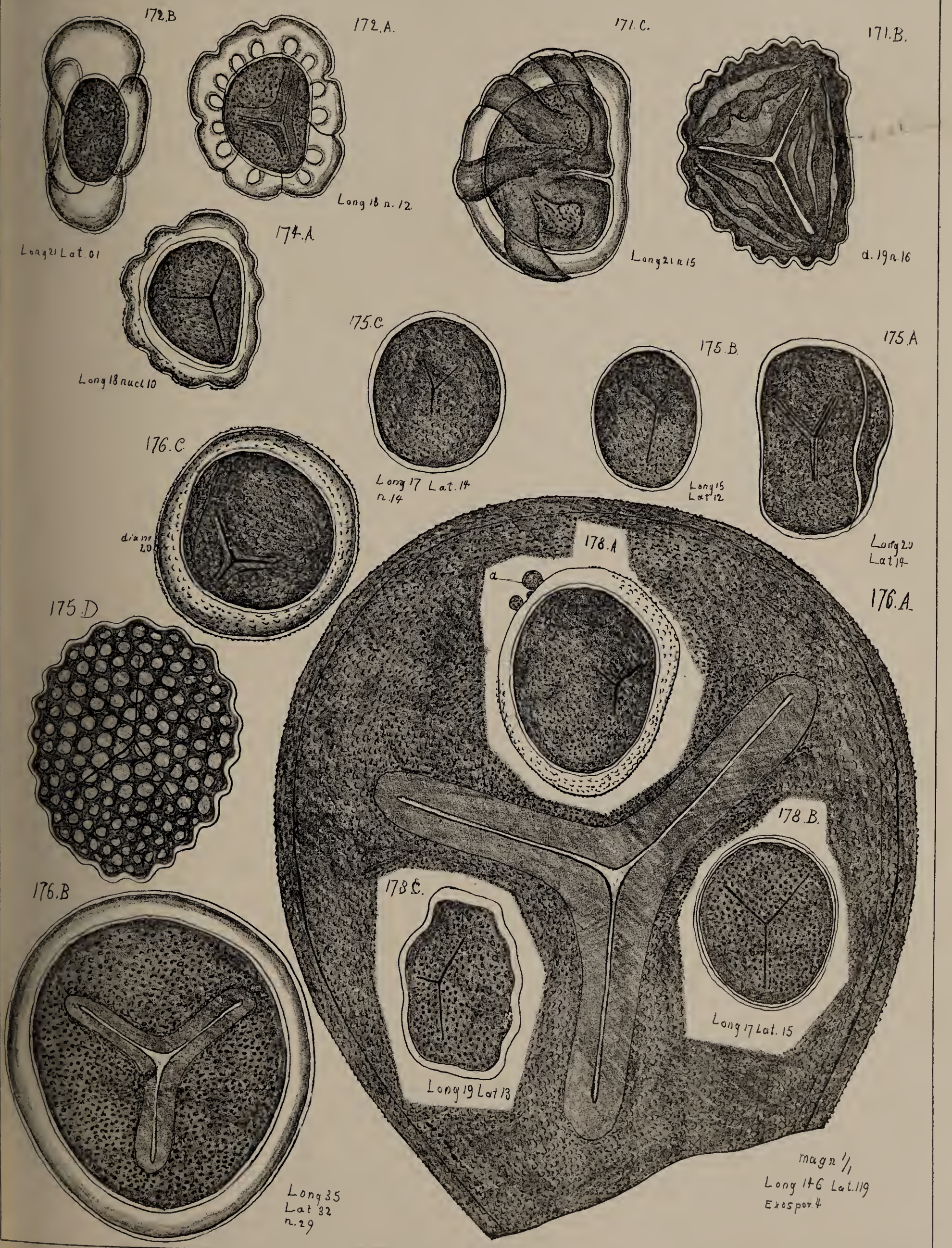




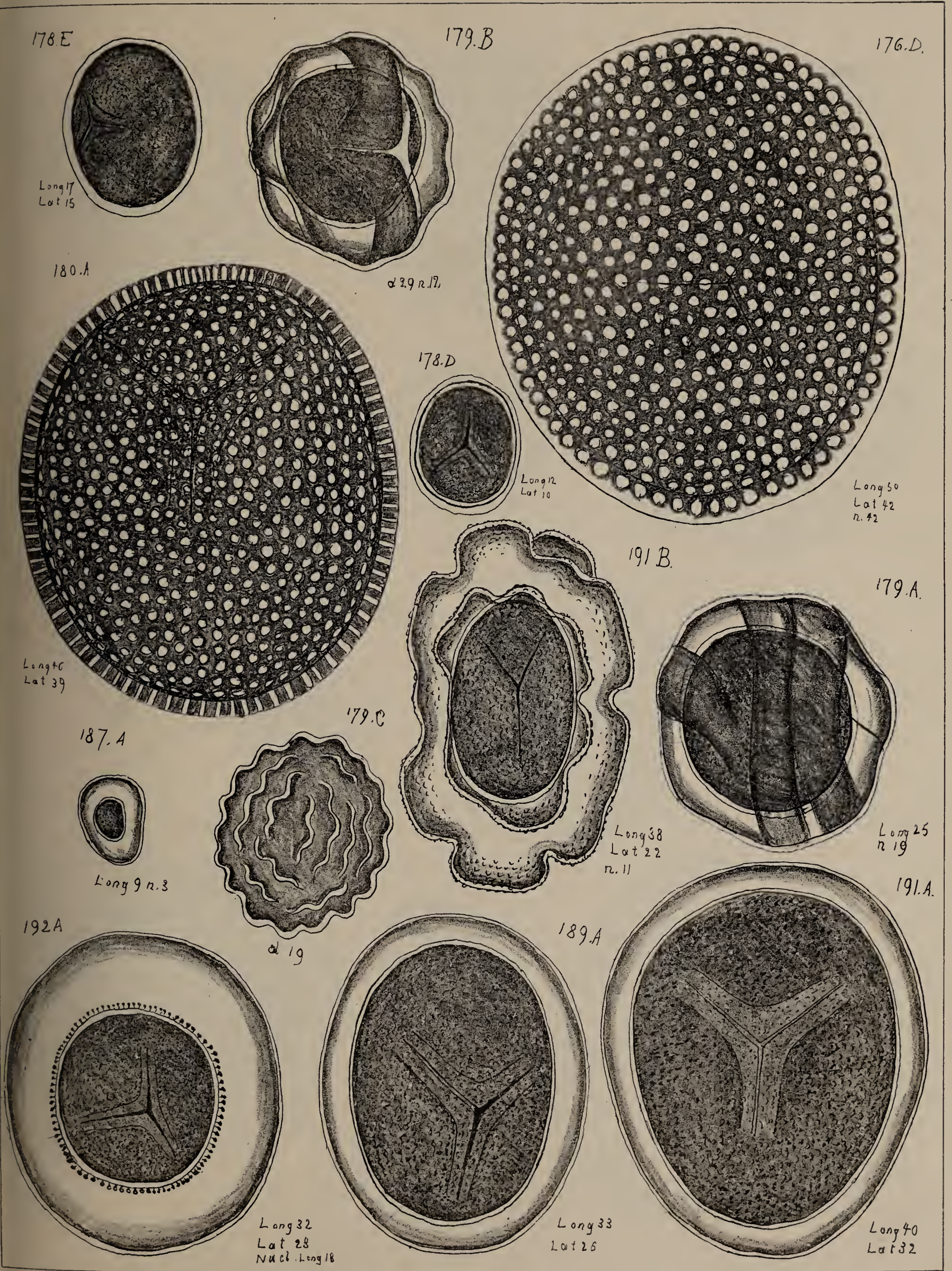


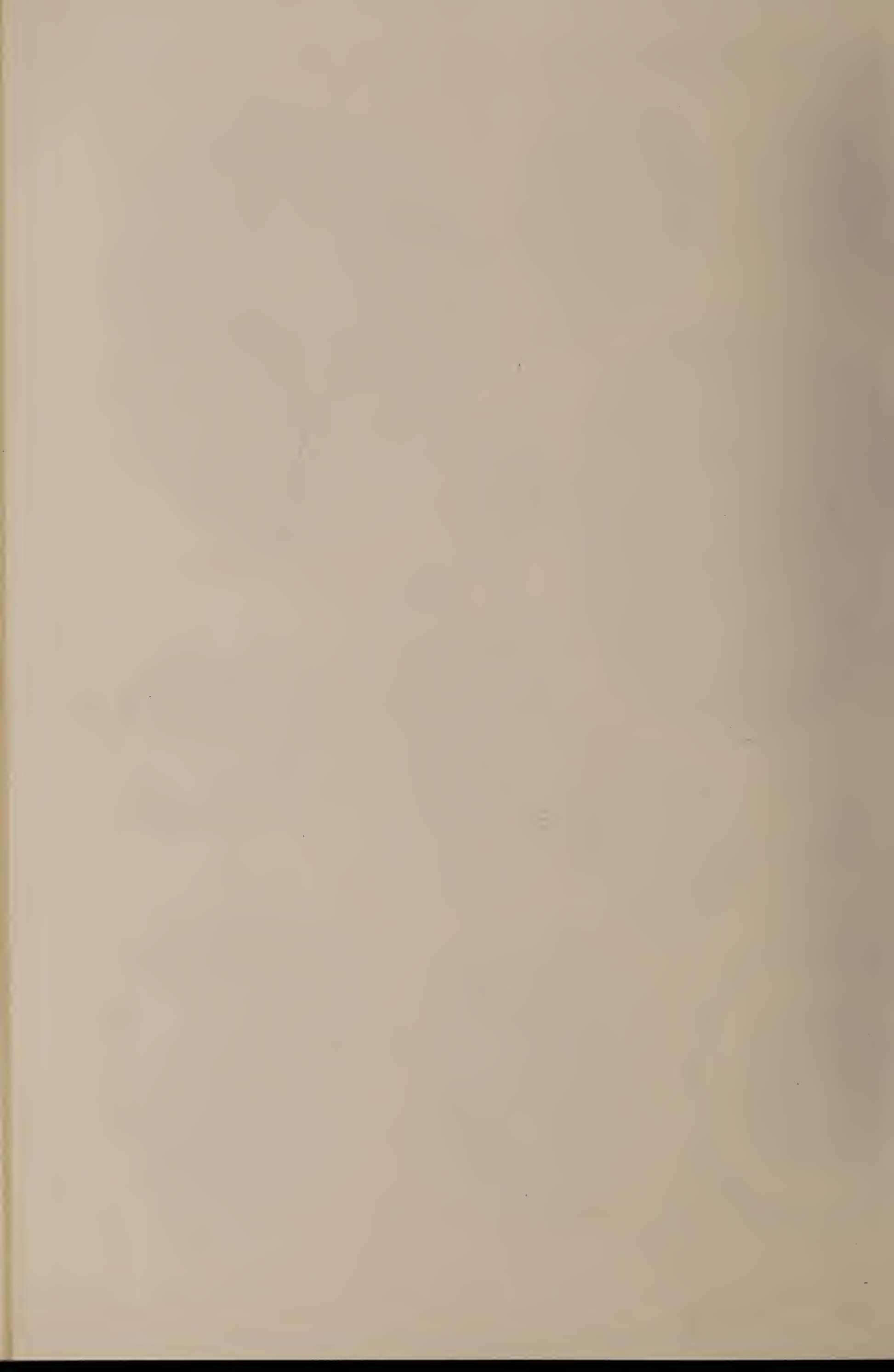
PfR. delin. lithograph. 1883.

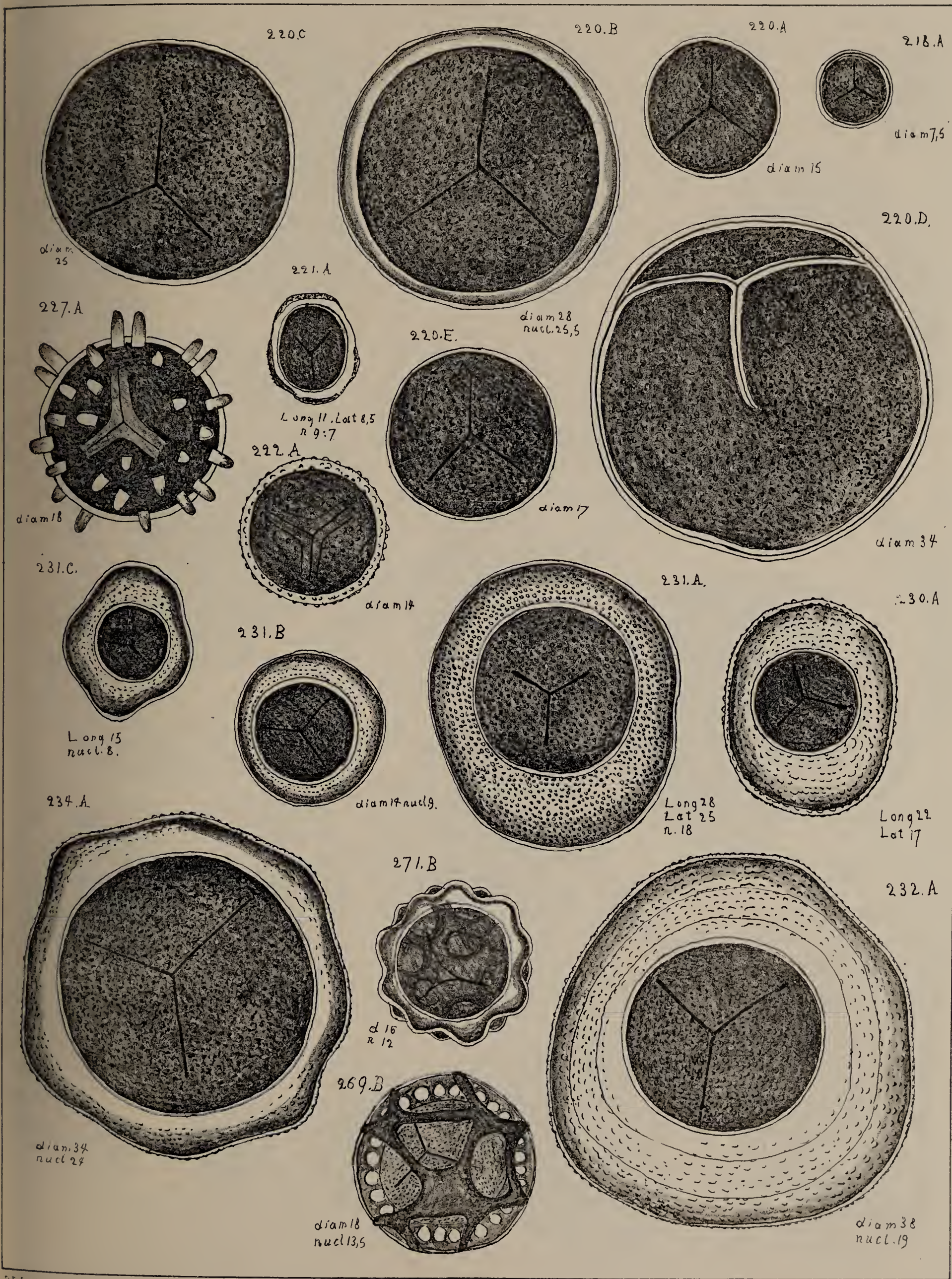




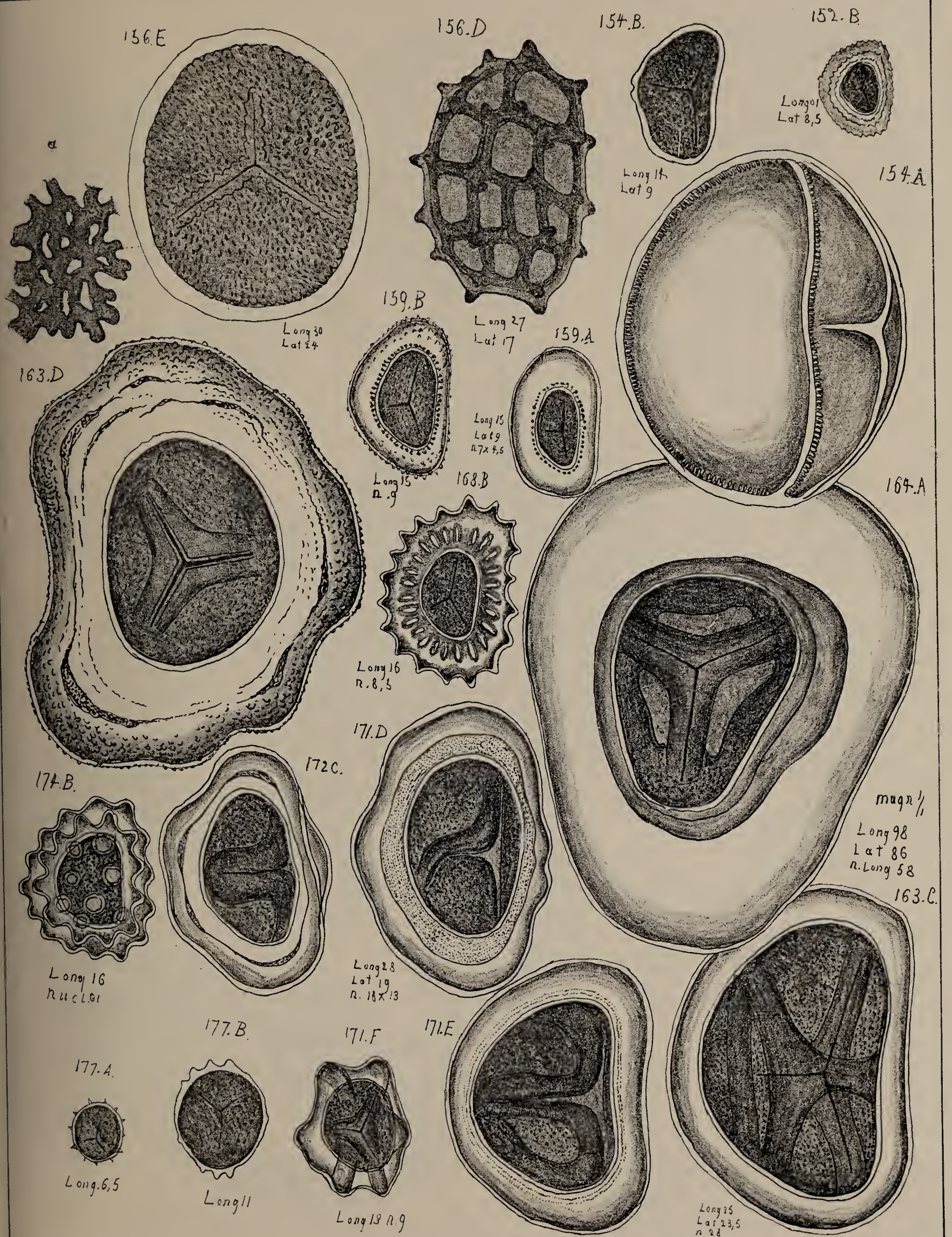




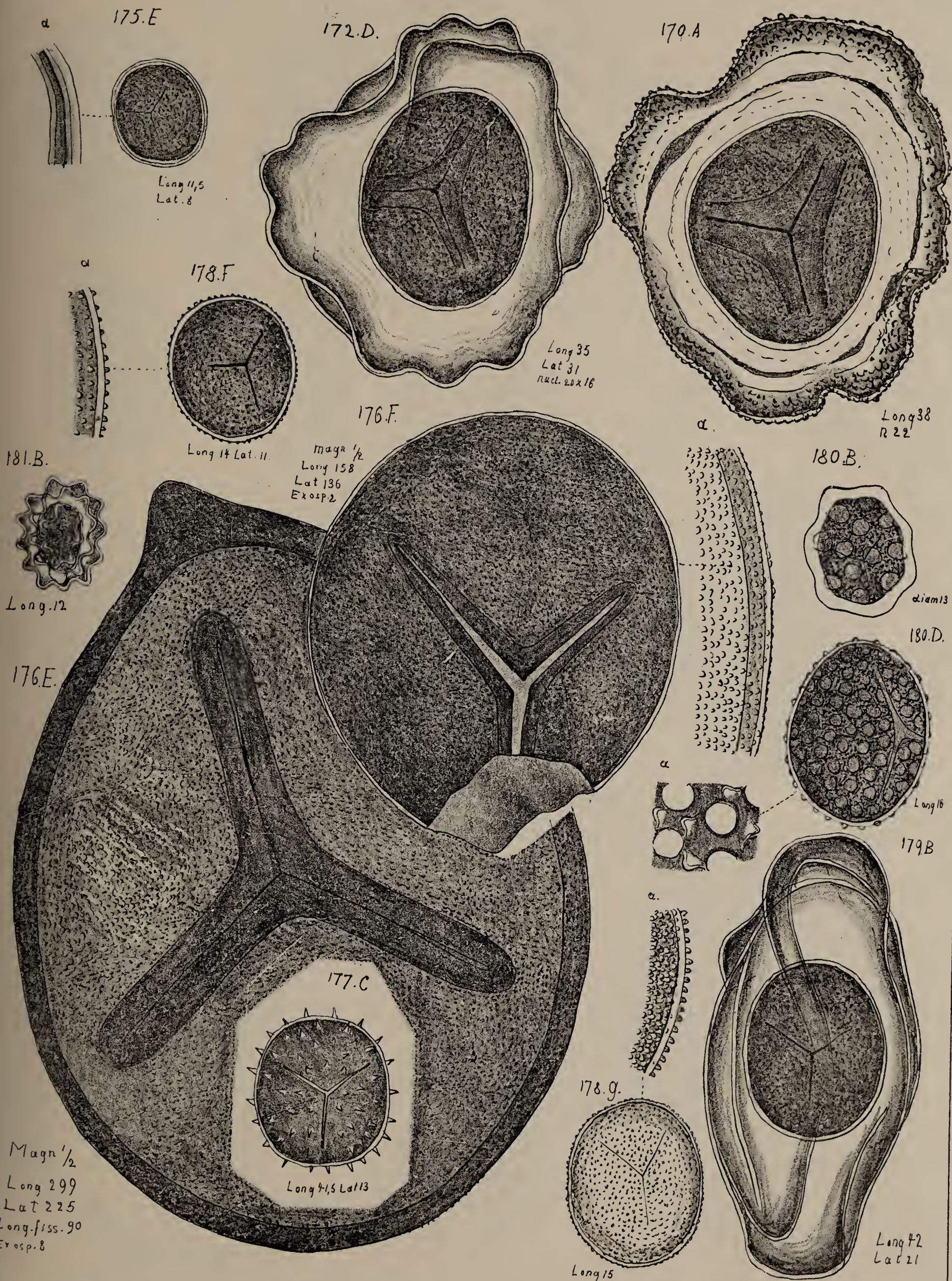


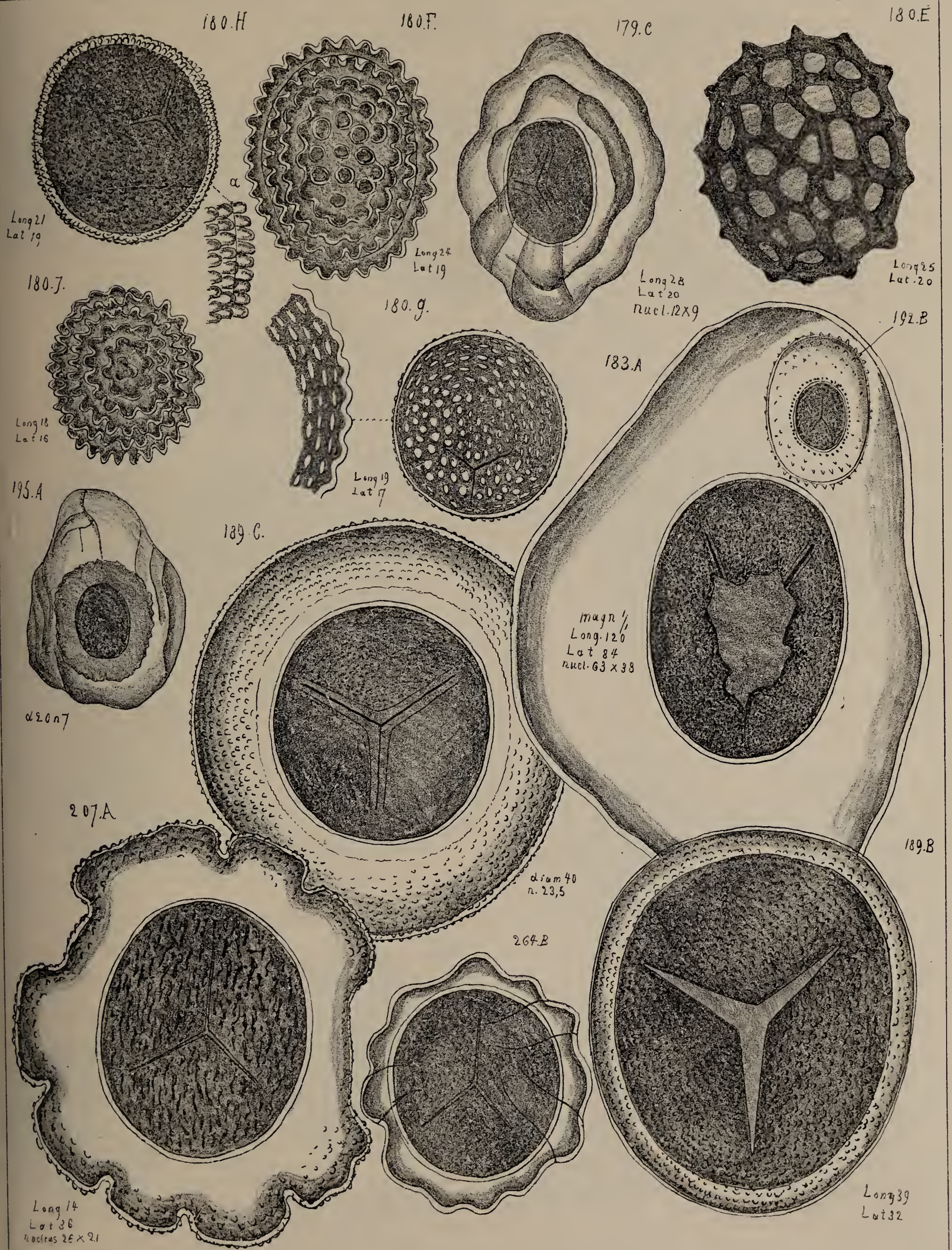






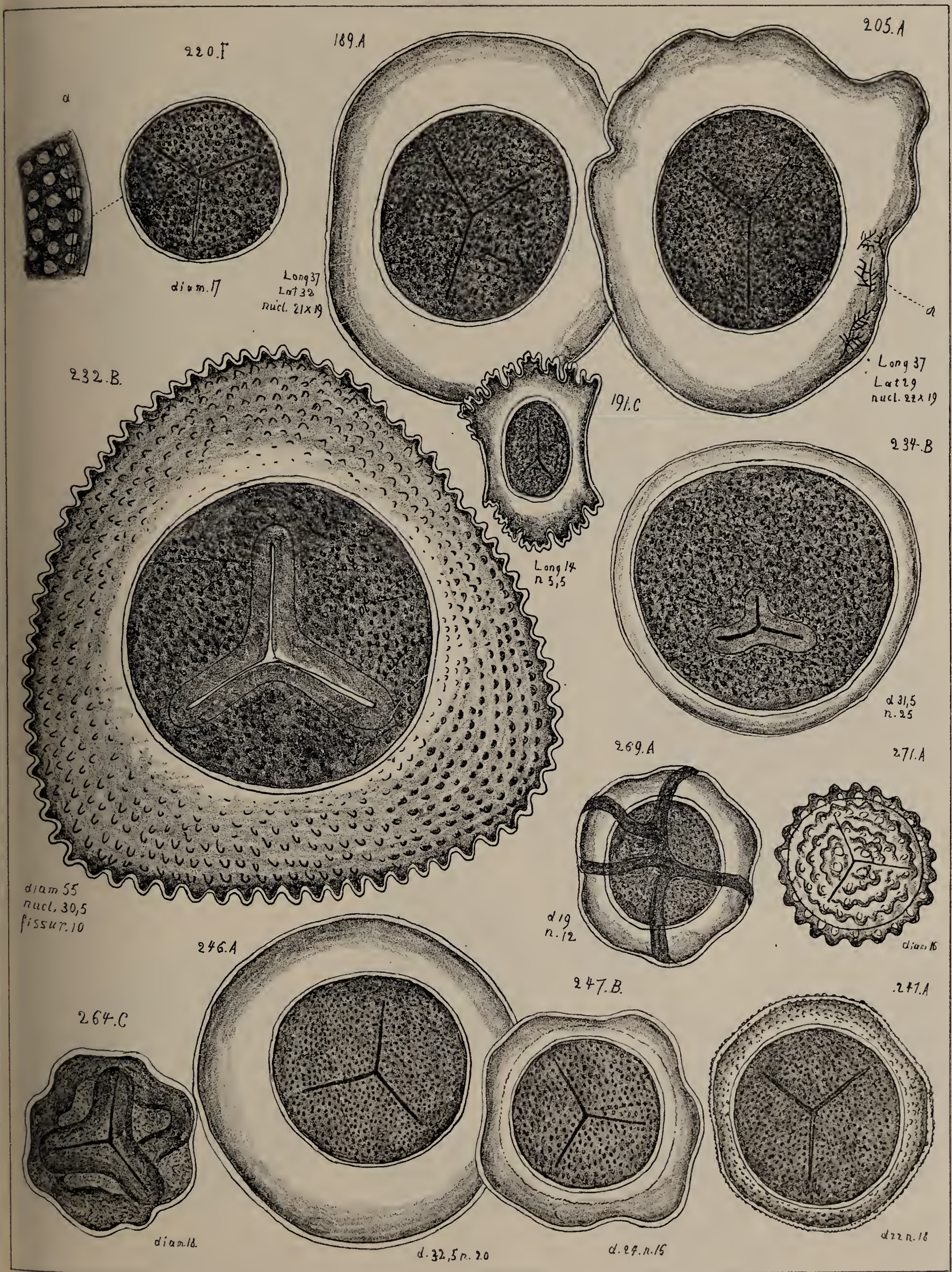
Pf Reinsch delin. lithogr. 1887



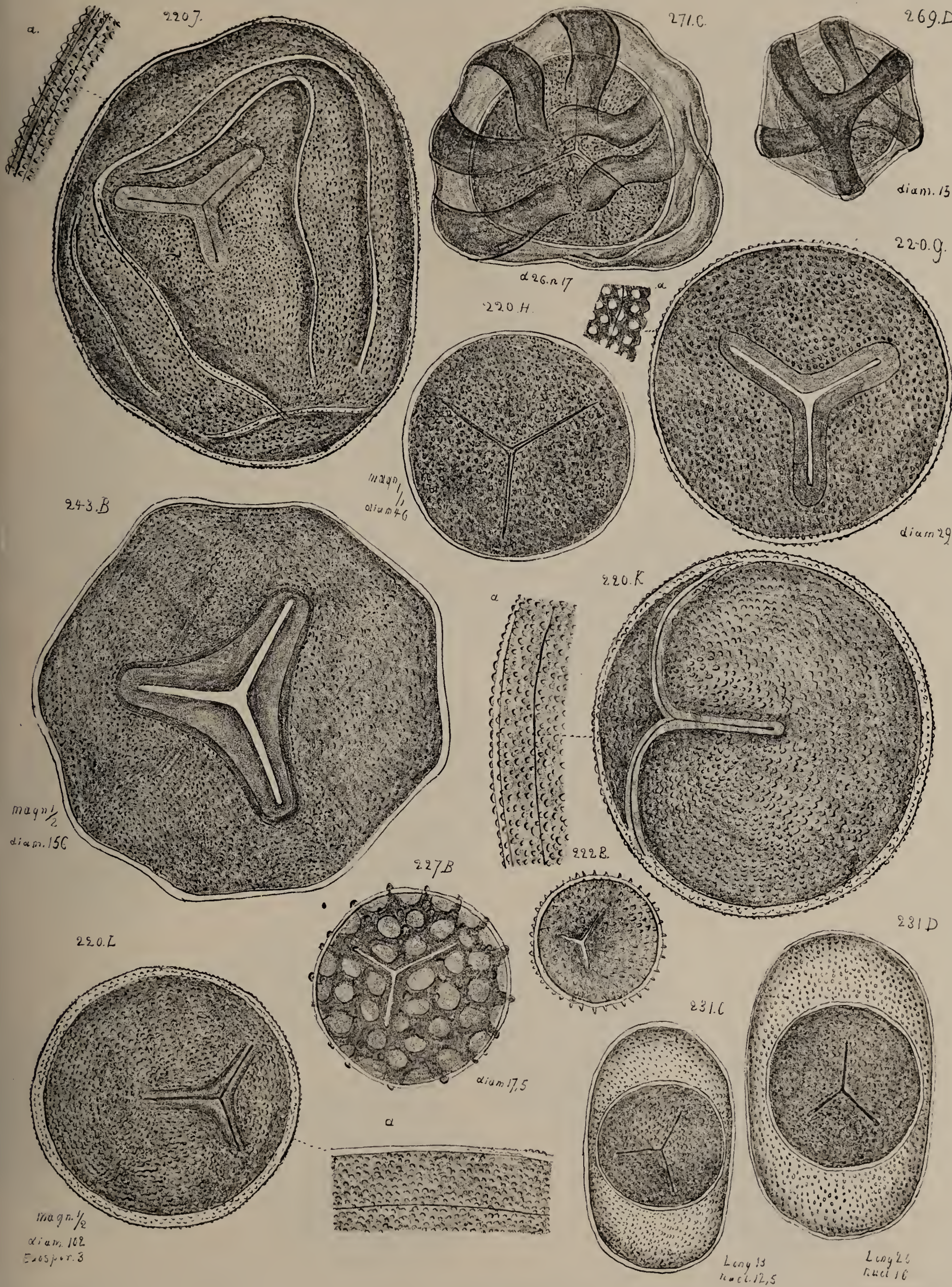


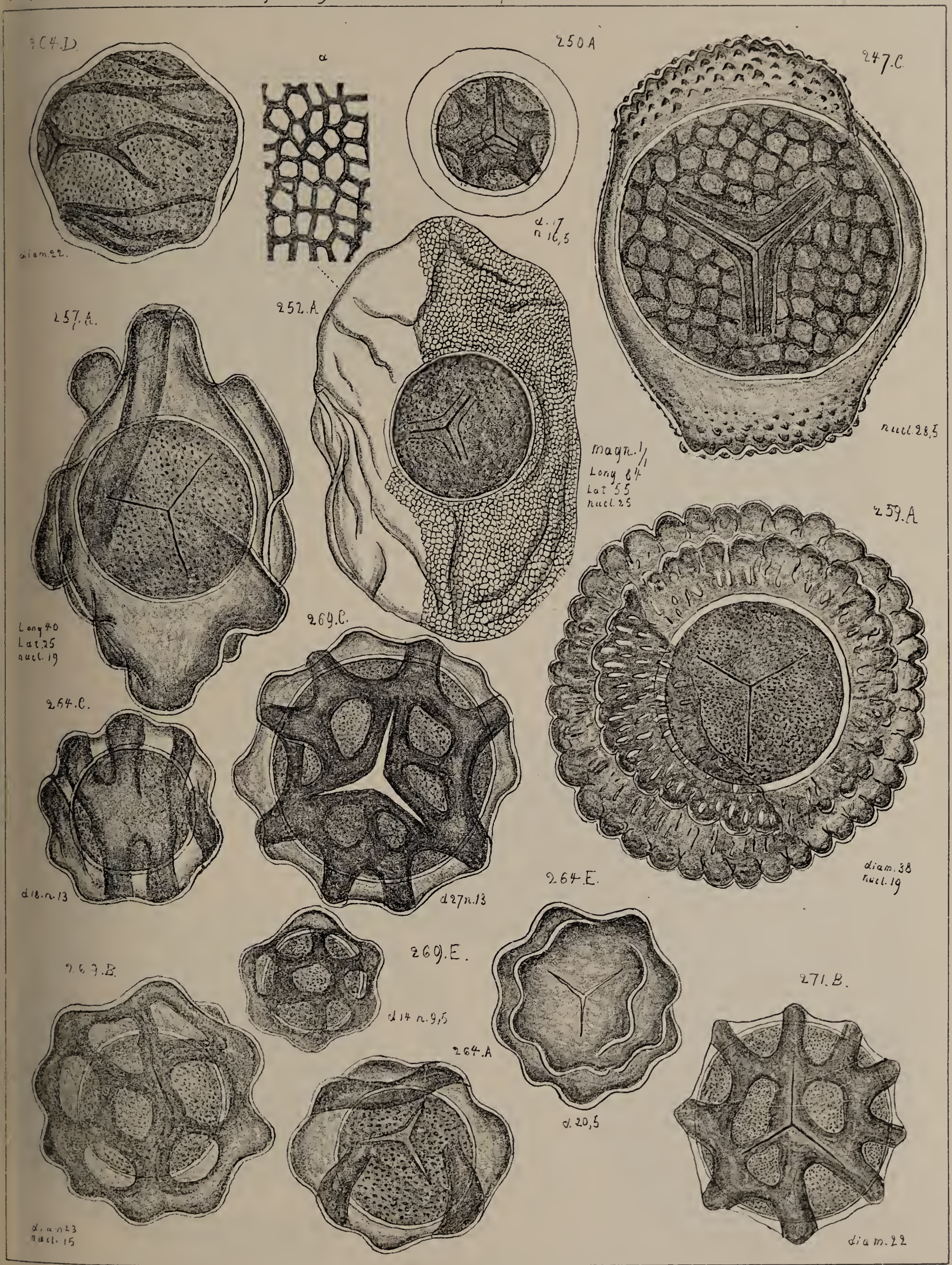
PfReinsch. delin. lithographul 1884.

Trib. XI. Trileteae.



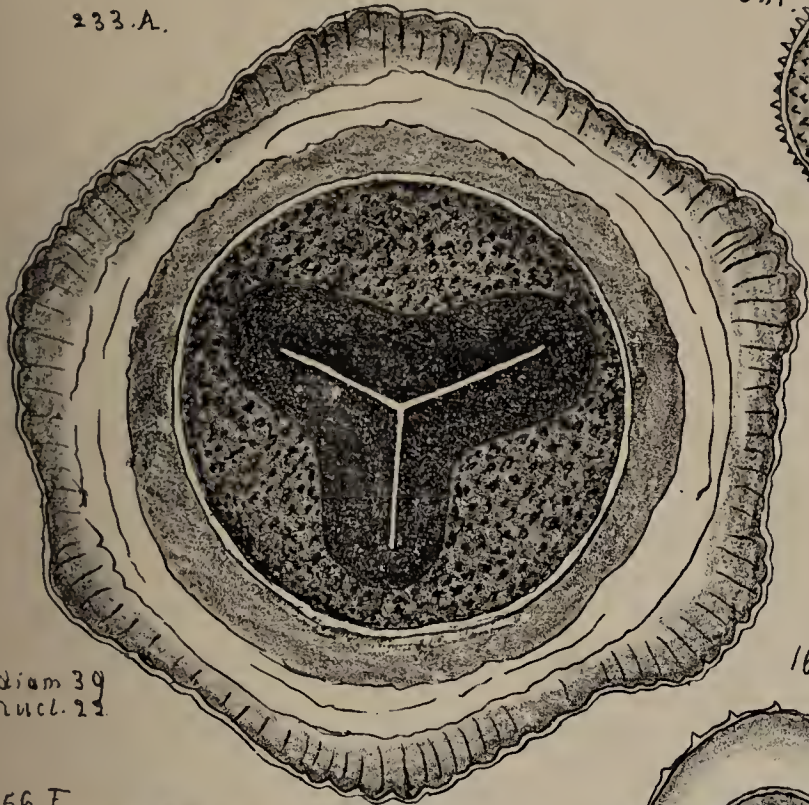
PFR. delin. lithogr. 1884.





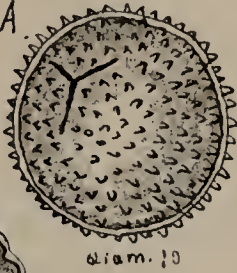
PFReinsch. Lithogr. 1384.

233.A.



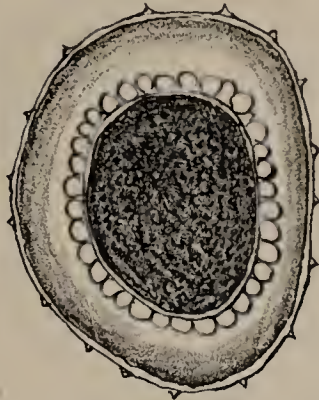
diam 39
nucl. 21

225.A



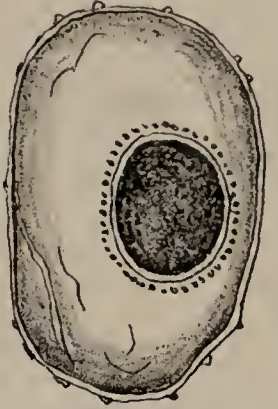
diam. 10

173.A



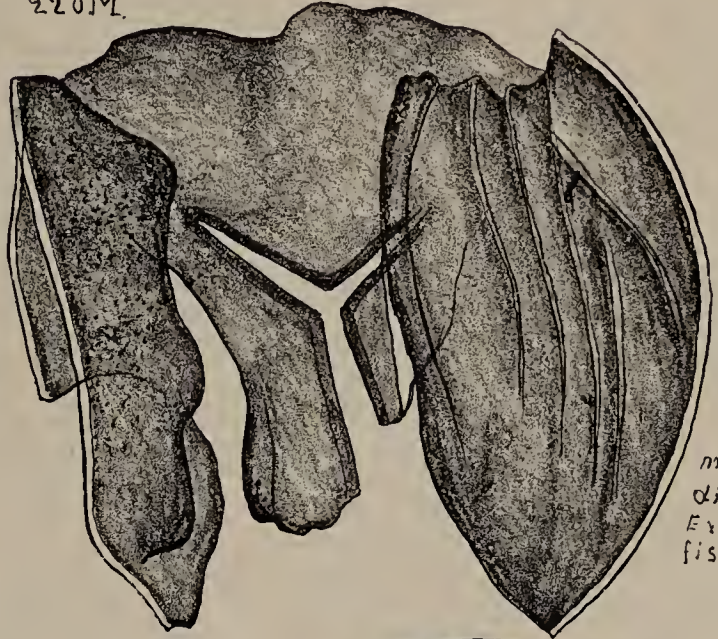
Long 18 Lat 14
nucl 11 x 8

159.C



Long 19
Lat 11
n 6

220.M.



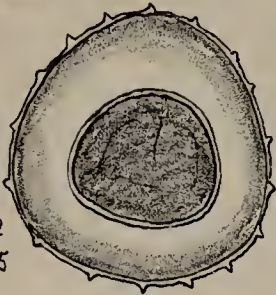
magn. 1/2
diam 129
Exosp. 1
fissur. 30

156.F.



Long 16
Lat 14

163.E.



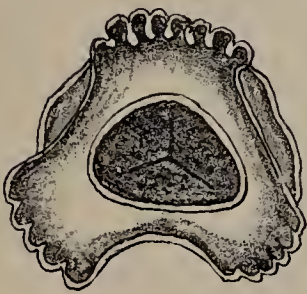
Long 12
nucl 7.5

2.C

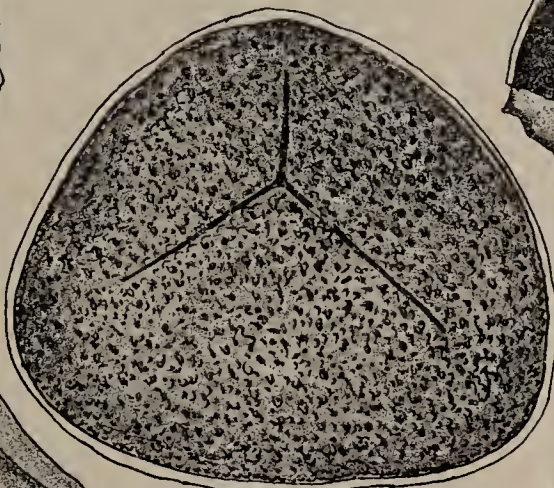


diam 95

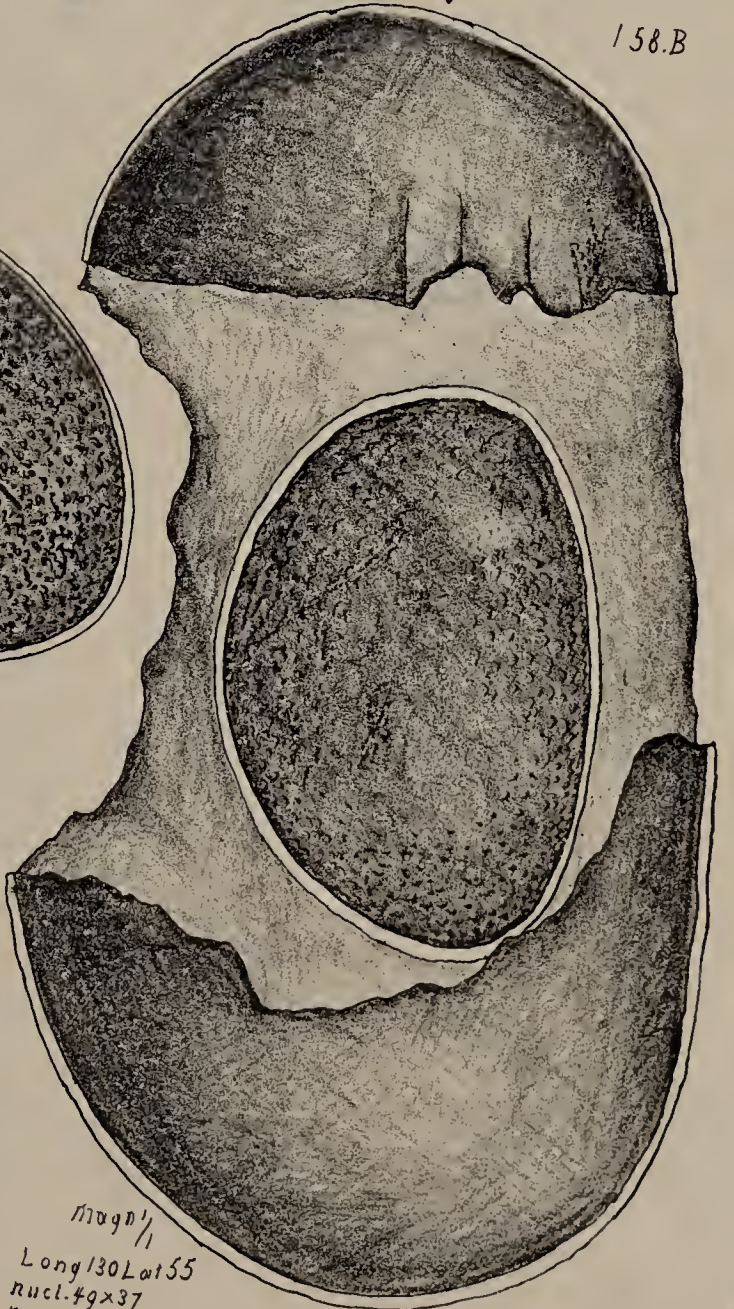
41.L



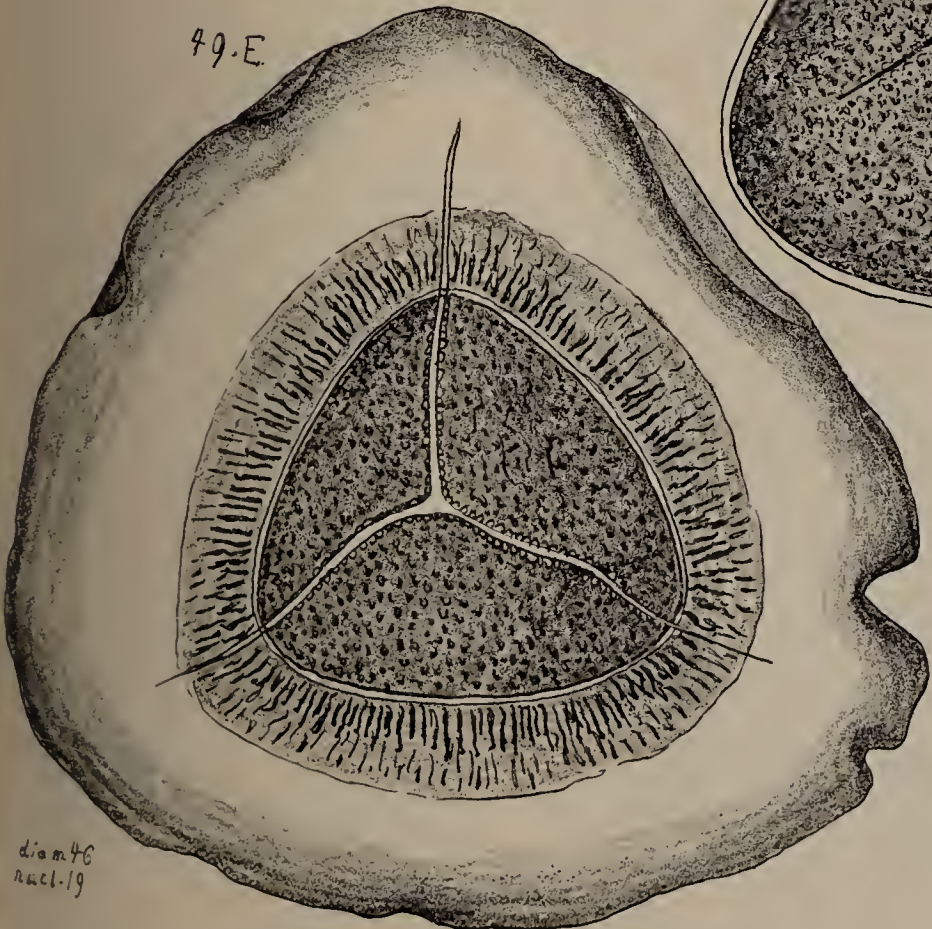
15.B



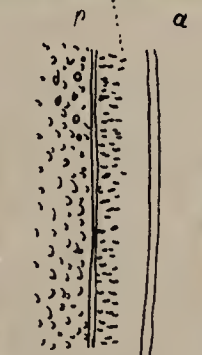
158.B



49.E

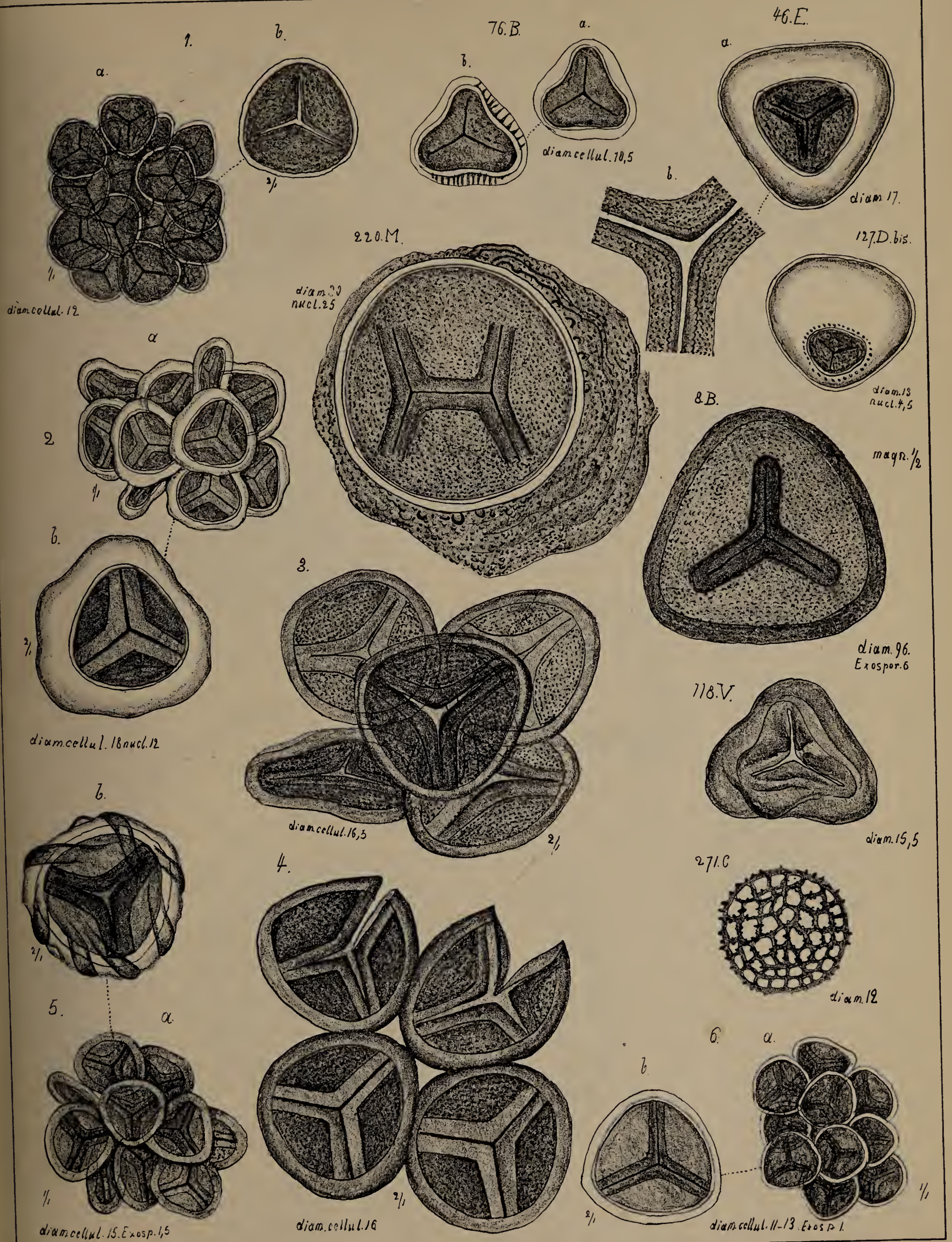


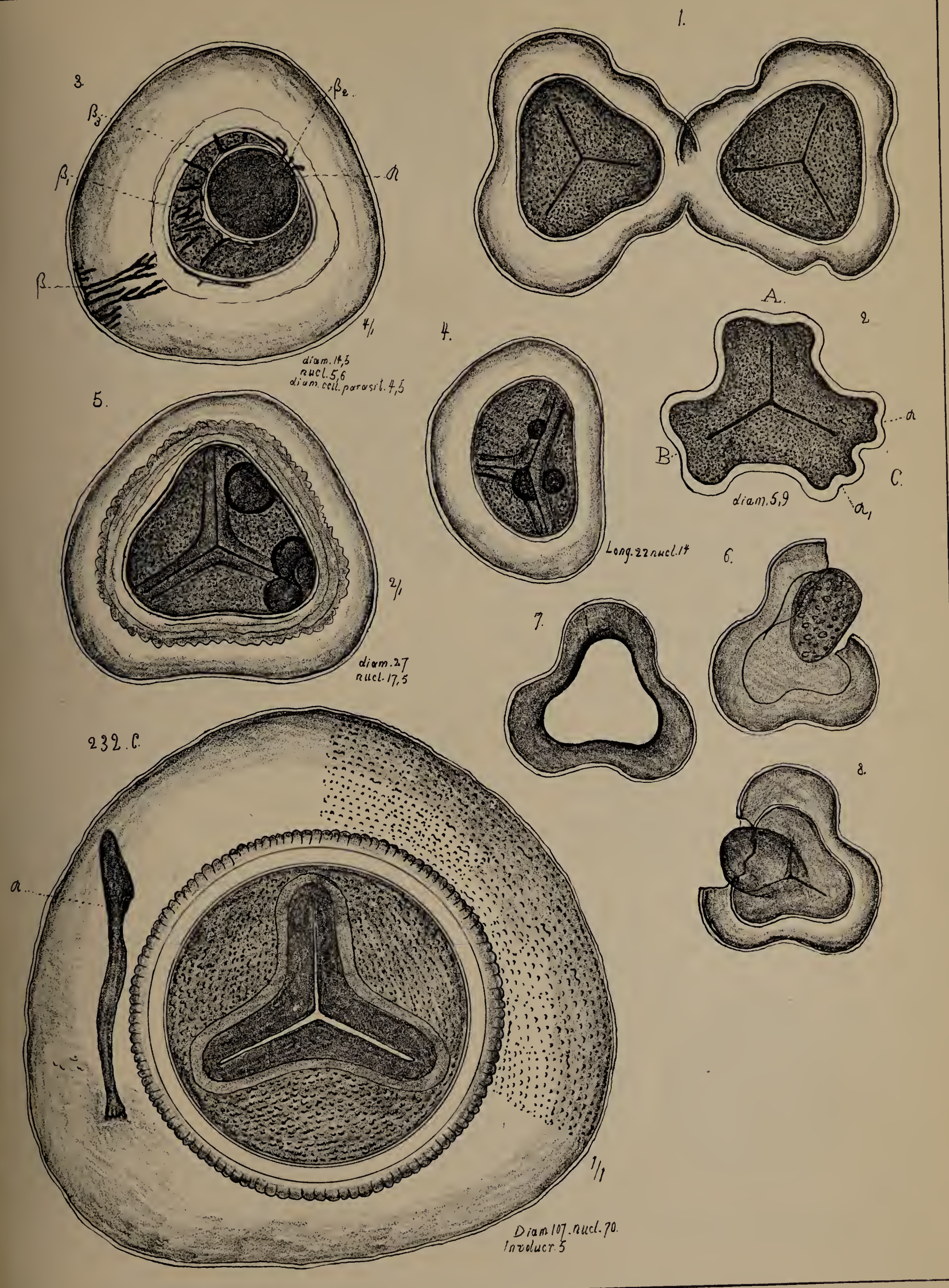
diam 46
nucl. 19

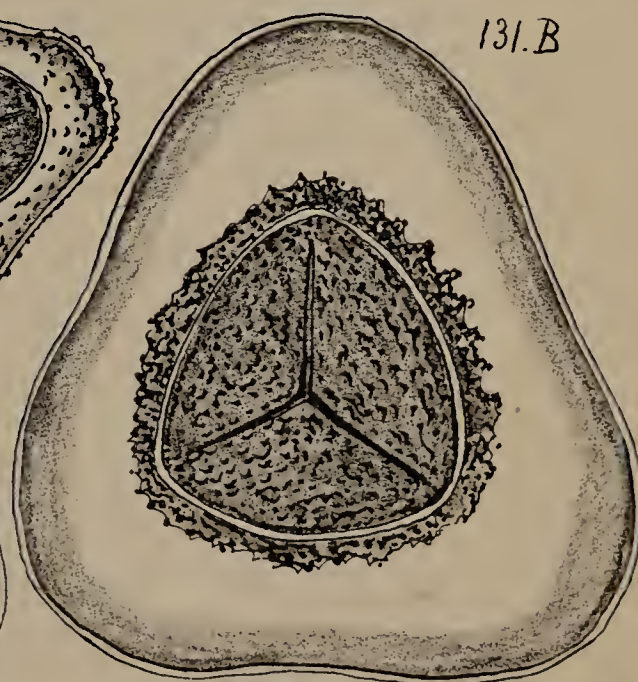
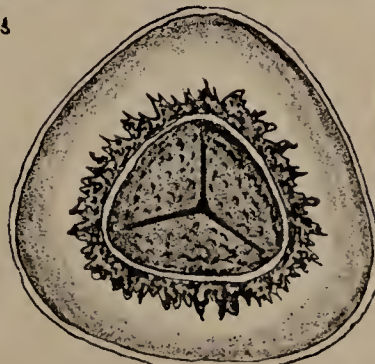
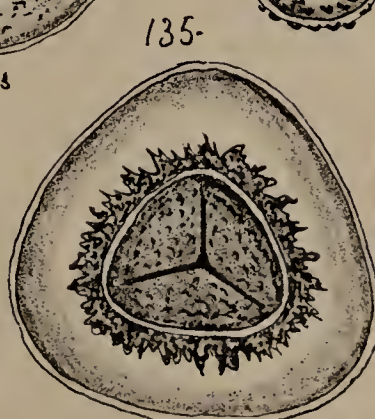
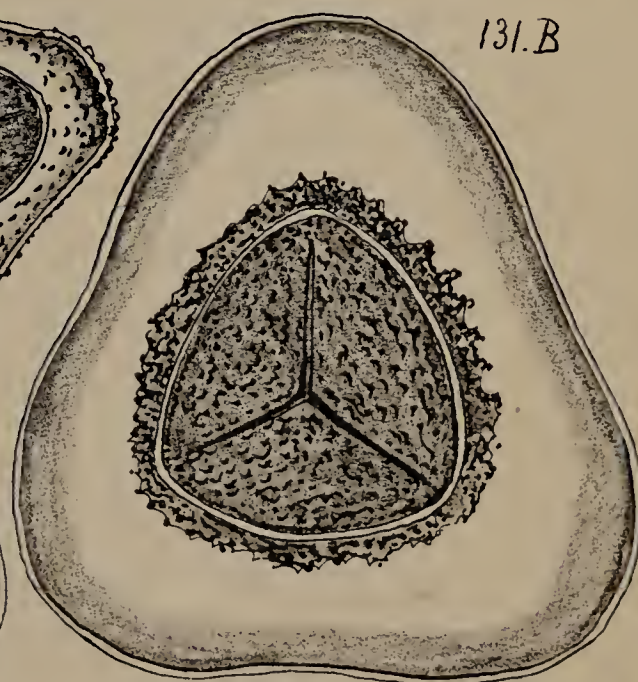
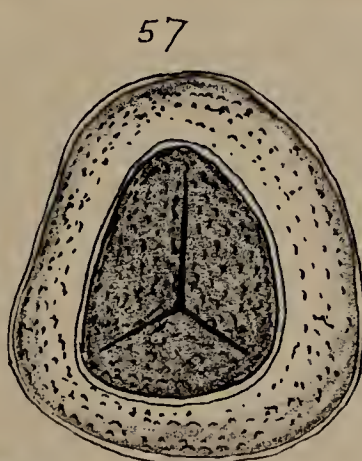
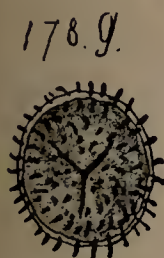
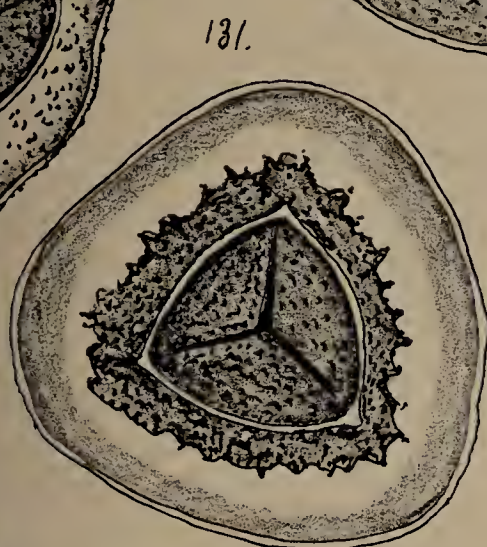
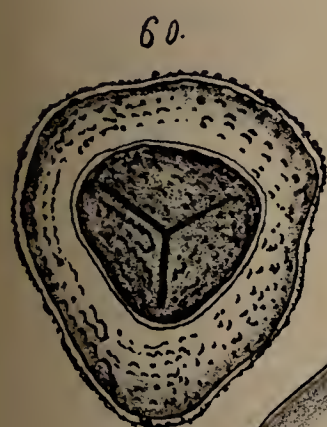
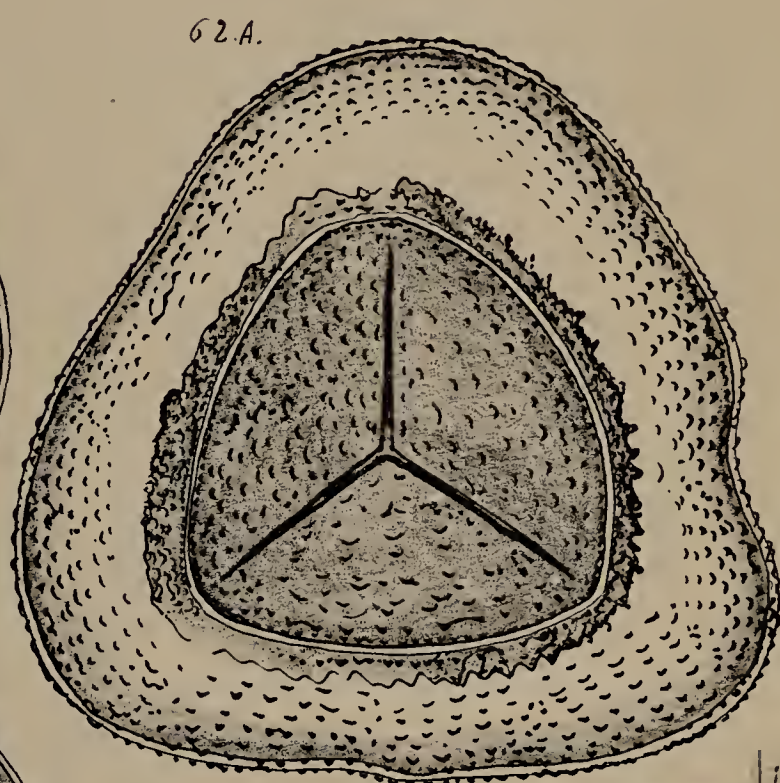
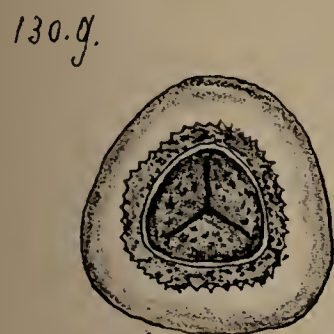
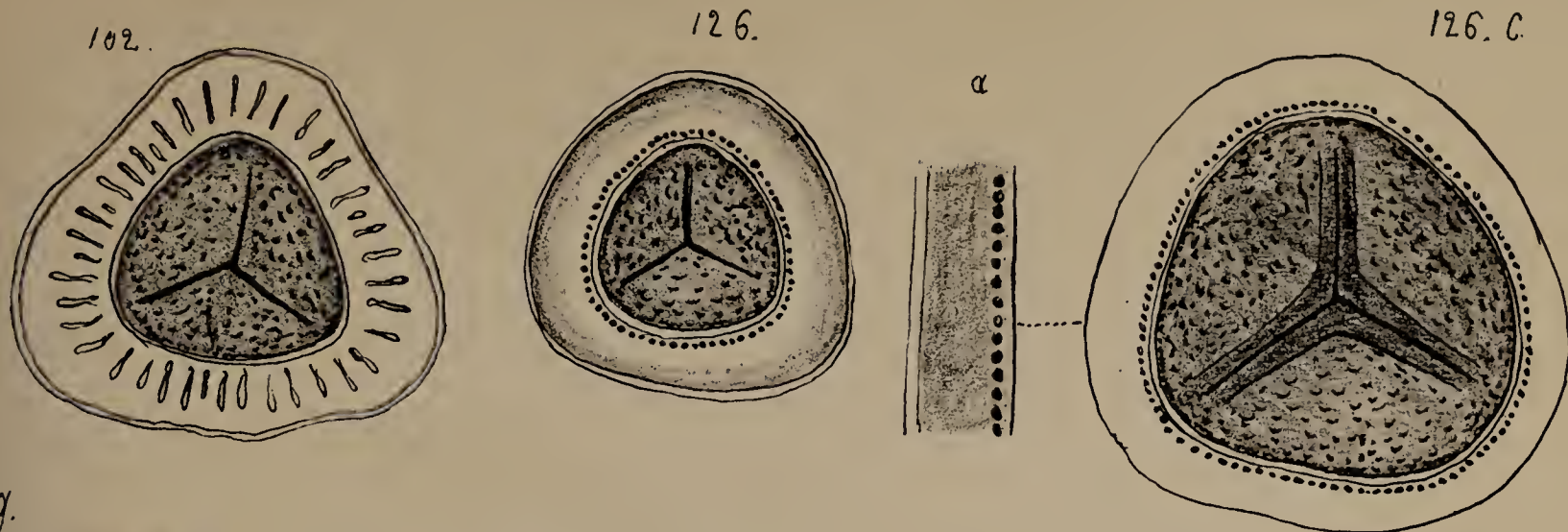


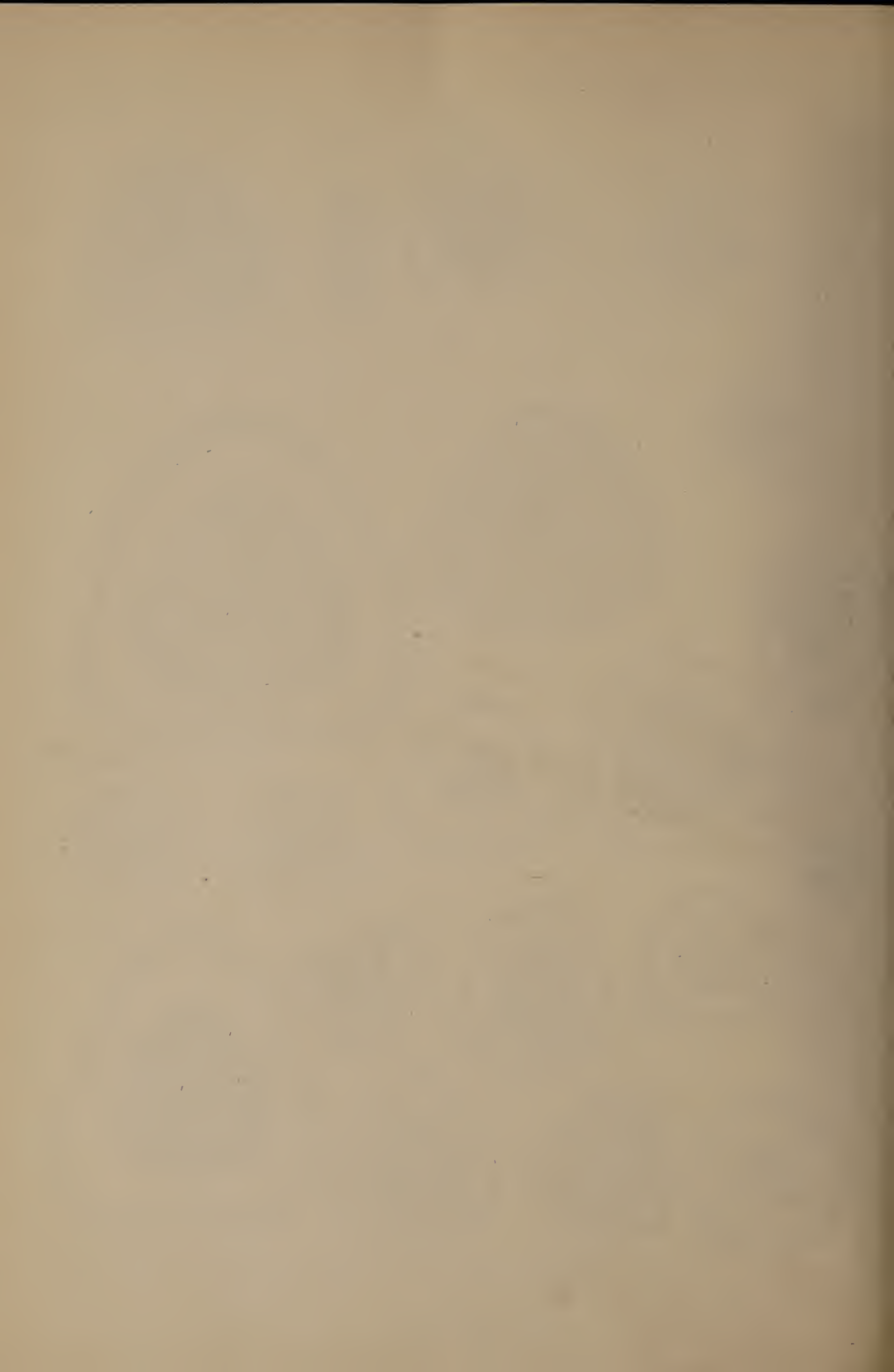
magn 1/2
Long 102 Lat 88
Exosp. 1.5

magn 1/1
Long 130 Lat 55
nucl. 49 x 37
Exosp. 1.









Stelideae.

Plantula ecellularis (unicellularis?), ex corpore thallode, distincte limitato et in forma propria constanter occurrente, formata. Variarum Formarum, adhuc inventarum, in corporibus organicis, egregie in maximis Triletibus, omnes parasitice insident et per radículas, in peculiari modo evolutas, cum substrato organico adhaerent. Natura vera organica Corpusculorum elucitur ex structura peculiariter explicita in Polis duobus Plantulae. Polus unus (Pars basalis) explicitur in ramulos, minutulos, breviores, qui, apicibus incrassatis, in capitulis minutissimis terminant. Totus complexus ramulorum minutissimorum comprehendit corpusculum subdilatum, aut plana aut concava superficie inferiore substrato secundum formam substrati adpressum *). Polus alter explicitur in modo filamentoso-prolongato (Trichostelium) aut in modo planitieformiter expanso (Stichostelium), quae dispositio Thalli Tribum totum dividit in divisiones duas bene discernendas. Corporum in microscopio visorum substantia apparet in conditione transparente et colore luteo-fusco usque luteo-purpurascens. Substantia insolubilis est in solutione fervente kalii kaustici, in Acido Nitrico frigido et in Acido sulfurico, sed solubilis in fervente Acido Nitrico. Haud difficile possunt separata Specimina inclusa in carbone compacta per ferventem solutionem kalii kaustici. Substantia Corporis Stelidearum cum systemate 8 et 11 observata se ostendit homogenea, apicem lobulorum terminalium et basaliū versus subtiliter granulata, in lobulis ultimis formarum complurium sunt observanda corpora (Cellulae filiales?) imperfectius sejuncta. In omnibus Speciminibus Peripheria corporis se ostendit dupliciter conturata et linea subtilissima circumvelata. Neque in mensuris est observanda talis diversitas ac talis distantia in mensuris in formis propinquis, qualis observitur in Trileteis. Altitudo formae maximae attingit 0,8 mm., minimae formae 0,053 mm. Plurimae formae adhuc observatae occurrunt in carbone compacta Rossiae Centralis, praesertim in carbone quae dicitur „Stigmarienkohle“.

*) In prima Communicatione de his plantulis „Ein neuer algoider Typus in der Stigmarienkohle von Kurakino (Russland)“. Flora 1883. Nr. 23. Tab. XIII. mihi fuit falsa opinio de natura vera plantulae et imprimis harum partium, quas exposui „kopfförmige Enden des Thallomes“; sed Plantulae posthoc inventae in statu priori, adhuc connectae cum substrato, evidenter demonstrarunt connexionem organicam parasitarum cum substrato organico et naturam harum partium. Etiam de positione in Systemate ac de affinitate verisimili cum Algis certis (Phycochromophyceis) mihi fuit falsa opinio.

Subtribus I. Trichostelium.

Thallus filiformis. Inferior pars, cum substrato connexa, in pediculum, multiramulosum transformata. Superior pars varie evoluta: 1. integerrima. 2. furcato-ramosa. 3. pluriramulosa, ramulis verticillatim dispositis. 4. pluriramulosa, ramulis absque ordine repetito-bifurcatis. 5. ramulis irregulariter dispositis.

Subdivisio I. Thallo simplicissimo, subcylindrico, subconico, subcuneiformiter incrassato.

† Thallo integerrimo et subdichotomo, subcylindrico.

1. Thallus e basi ad apicem subcylindricus, apice rotundato et saepius indistinctius transversaliter diviso.

Altit. 0,087—0,135 mm. Crassit. 0,035 - 0,037 mm. (Tab. L. fig. 8. Trileteis majoris cum parasitula inductae pars. Fila singula in basali parte articulo intermediali brevior connatae. Magn. $\frac{1}{4}$. fig. 2. Fili pars terminalis, major aucta Magn. $\frac{4}{1}$). In Triletibus magnis. „Stigmarienkohle.“

2. Thallus e basi subcylindricus, subdepravatus, integerrimus et bifurcatus. Pediculus minimus subincrassatus.

Altit. 0,052—0,056 mm. (Tab. LIV. fig. 43. a. In Triletibus et aliis plantulis. Superficieis pars, cum parasitula oblecta. fig. b. Filum singulum major auctum). Lewino.

†† Thallo integerrimo subconico.

3. Thallus e basi dilatata subito angustatus in apicem attenuatum productus. Pars basalis in lobulos complures, apicibus inciso-crenatis, divisa.

Altit. 0,126 mm. (Tab. L. fig. 10. a. Specimen singulum. fig. b. Pediculus major auctus). „Blätterkohle.“

4. Thallus e basi dilatata subito angustatus, apice breviter acuminato. Pars basalis in lobulos 2os aut 3os apicibus crenulatis divisa.

Altit. 0,063—0,069 mm. (Tab. L. fig. 11. a. Superficieis plantulae cum parasita. fig. b. Pediculus major auctus). „Blätterkohle.“ Metschowk.

5. Thallus supra basin attenuatus, in medio incrassatus et apice attenuato. Pediculus indivisus, lobulis minimis rotundatis.

Altit. 0,069—0,11 mm. (Tab. LIII. fig. 38). „Stigmarienkohle.“

6. Thallus e basi dilatata subito attenuatus, apice breviter acuminato. Pars basalis dilatata in lobulos 3os apicibus crenato-incisis divisa.

Altit. 0,11 mm. (Tab. LIII. fig. 35. a. Specimen singulum; fig. b. Pars basalis major aucta). „Stigmarienkohle.“

††† Thallo subcuneato, apice sensim aut subito incrassato, dichotomo aut integerrimo.

7. Thallus basi subincrassato, apice incrassato et breviter acuminato. Pediculus indivisus, lobulis compluribus rotundatis.

Altit. 0,125 mm. Crassit. 0,036 mm. Crass. in apice 0,014 mm. (Tab. L. fig. 1. a. Specimina compluria plantulae libera; fig. b. plantulae inferior pars major aucta). eodem loco.

8. Thallus irregulariter cuneiformis, basi subdilatata, apice breviter acuminato. Pediculus indivisus, lobulis compluribus, inaequalibus rotundatis.

Altit. 0,23—0,26 mm. Crassit. 0,007—0,024 mm. (Tab. L. fig. 9. Specimina compluria). Stigmarienkohle. Zwickau.

Forma. Thallo crassiore. Altit. 0,023 mm. Crassit. 0,014—0,029 mm. (Tab. L. fig. 9. a. Specimen singulum). Metschowk.

9. Thallus irregulariter cuneatus apice rotundato, basi subdilatata. Pediculus indivisus, lobulis compluribus rotundatis.

Altit. 0,125—0,138 mm. Crassit. 0,014—0,02 mm. (Tab. L. fig. 12. Specimina bina). Metschowk.

10. Thallus irregulariter cylindrico-cuneatus, apice subincrassato, late rotundato. Pediculus indivisus, lobulis 4is — 5is rotundatis.

Altit. 0,078 mm. Crassit. 0,007 mm. (Tab. I. fig. 7). „Stigmarienkohle.“

11. Thallus cylindrico-cuneatus, basi subdilatata, apice subito incrassato, irregulariter lobulato. Pediculus indivisus lobulis compluribus latioribus.

Altit. 0,069 mm. Crassit. 0,036 mm. (Tab. LI. fig. 14. a. Specimina bina apicibus connatis; fig. b. Specimina compluria libera; fig. c. Pediculus major auctus). ibidem.

12. Thallus cylindrico-cuneatus, apice subito incrassato, integerrimo et subdiviso, basi subdilatata. Pediculus indistincte divisus, lobulis compluribus rotundatis.

Altit. 0,33 mm. Crassit. 0,007 mm. Crass. apic. 0,014 — 0,017 mm. (Tab. L. fig. 2. a. Specimina terna; fig. b. Pars inferior major aucta; fig. c. pars apicalis major aucta, indistinctius divisa). ibidem.

13. Thallus subcuneatus apice breviter acuminato $\frac{1}{4}$ minor quam forma simillima 8.

Altit. 0,056 mm. (Tab. L. fig. 13. Thalli complures in plantula insidentes). Metschowk.

14. Thallus apicem versus subincrassatus, apice integerrimo et subdiviso, indistinctius transversaliter diviso, basi paulo dilatata. Pediculus indivisus lobulis compluribus rotundatis.

Altit. 0,25—0,26 mm. (Tab. LIII. fig. 33. a. Specimina bina, apice subdiviso; fig. b. Specimen singulum apice integerrimo; fig. c. Specimina bina apicibus connatis; fig. d. Specimen apice lobulis binis deorsum versis; fig. e. inferior pars major aucta; fig. f. pars apicalis, indistinctius transversaliter divisa, marginibus crenato-incisis, major aucta). „Stigmarienkohle.“

15. Thallus subcylindricus, apicem versus subito incrassatus et lobulis compluribus inaequalibus, rotundatis, deorsum versis subdivisus.

Altit. 0,164 — 0,101 mm. Crassit. 0,0036 mm. (Tab. LIII. fig. 34. a. Specimina complura densius juxta posita; fig. b. Thalli pars apicalis, lobulis 5is aut 6is inaequalibus, major aucta; fig. c. pediculus major auctus). Metschowk.

16. Thallus subcuneatus, basi dilatata, apice subincrassato, lobulis 3is—4is deorsum versis diviso. Pediculus 2 et 3 lobatus, lobulis compluribus rotundatis.

Altit. 0,154—0,164 mm. Crassit. 0,01 mm. Crassit. pediculi 0,028 mm. (Tab. LIII. fig. 37. a. Specimina bina; fig. b. Pediculus major auctus; fig. c. Pars apicalis, indistincte transversaliter divisa, major aucta). „Stigmarienkohle.“

17. Thallus subtiliter filiformis, apicem versus subdilatatus et lobulato-divisus, lobulis inaequalibus rotundatis. Pediculus indivisus, aequaliter latis, lobulis compluribus rotundatis.

Altit. 0,16 mm. Crassit. 0,0035 mm. (Tab. LI. fig. 16. a. Specimina compluria; fig. b. Pediculus major auctus; fig. c. Pars apicalis, summo indistinctius transversaliter diviso, major aucta). ibidem.

18. Thallus subcuneatus, apice irregulariter incrassato et subdiviso, basi subdilatata. Pediculus multiramulosus, ramulis compluribus, repetito-ramulosis, ramulis minimis ultimis rotundatis.

Altit. 0,126 mm. Crassit. 0,015 mm. (Tab. LI. fig. 20. a. Specimina bina formae minoris; fig. b. Specimina bina formae communis; fig. c. Pediculus major auctus). ibidem.

Forma minor. Altit. 0,091 mm.

19. Thallus subcuneatus, apice integerrimo aut diviso, basi subdilatata. Pediculus ex lobulis compluribus, subcylindricis formatus.

Altit. 0,125 — 0,16 mm. Crassit. 0,0105 mm. (Tab. LIV. fig. 19. a. Specimen singulum indivisum; fig. b, c. Specimina bina apice subdiviso; fig. d. Pediculus major auctus; fig. e. Pars apicalis major aucta).

20. Thallus subcuneatus, apice subdiviso. Pediculus subdivisus, lobuli apice lobulis compluribus rotundatis.

Altit. 0,185—0,24 mm. (Tab. LIV. fig. 44. a. Specimen singulum; fig. b. Specimina bina, parte superiore connata; fig. c. Pediculus major auctus; fig. d. Pars apicalis subdivisa, indistincte transversaliter divisa, major aucta). ibidem.

21. Thallus integerrimus et usque ad medium divisus, subclavatus, apicibus subattenuatis; ramulis

siliquiformiter incrassatis, septis incurvis indistinctius divis. Pediculus dilatatus trilobatus, lobulis in margine et superficie verruculis dense obtectis.

Altit. 0,26 mm. Crassit. fili 0,017—0,028 mm. (Tab. LIV. fig. 41. a. Specimen Thallo diviso, ramulis siliquiformiter dilatatis, divis; fig. b. Pars superior major aucta; fig. c. Pediculus major auctus). ibidem.

22. Thallus integerrimus et apice lobulato-diviso, lobulis inaequalibus et subincrassatis. Pediculus ex lobulis paucioribus minimis compositum.

Altit. 0,26—0,276 mm. Crass. fili 0,036 mm. (Tab. LI. fig. 19. a. Specimina bina apice lobulis brevissimis; fig. b. Specimen apice lobulis compluribus; fig. b₁. Specimen parte basali diviso, lobulis binis in pediculos evolutis; fig. c. pars basalis major aucta).

23. Thallus apice subdiviso et lobulato-diviso, lobulis inaequalibus brevissimis. Pediculus subincrassatus, lobulis 3is — 4is rotundatis.

Altit. 0,115 mm. (Tab. LI. fig. 17. a. Specimina compluria; fig. b. Pediculus major auctus). ibidem.

24. Thallus integerrimus et apice subdiviso, basin versus paulo incrassatus. Pediculus indivisus et subdivisus, lobulis minimis rotundatis.

Altit. 0,145—0,16⁵ mm. (Tab. LI. fig. 24. a. Specimina compluria densius juxta posita). „Stigmarienkohle.“ Metschowk.

Forma crassior. Thallo paulo crassiore, ramulis incrassatis, Pediculo subdiviso; fig. 24. b. Specimen singulum; fig. c. summa pars ramuli peculiari modo evoluta major aucta; fig. d. Pediculus major auctus; fig. e. summa pars fili normaliter evoluti maior aucta).

Forma longior. Thallo paulo longiore.

Altit. 0,18 — 0,21 mm. (Tab. LIII. fig. 20. Filum singulum normaliter evolutum; fig. dextr. Filum apice in peculiari modo evolutum).

Subdivisio II. Thallo simplicissimo, subcylindrico, apice disciformiter dilatato.

25. Thallus integerrimus, subcylindricus, apice ramulis, abbreviatis, densius positus et disciformiter juxta positus. Pediculus indivisus.

Altit. 0,138—0,16 mm. Crassit. 0,008—0,0106 mm. (Tab. L. fig. 4. a. Specimina compluria dense juxta posita; fig. b. Summa pars major aucta; fig. c. Pediculus major auctus). „Stigmarienkohle.“

26. Duplo minor praecedente, in omnibus partibus persimilis.

Altit. 0,069 mm. Crass. 0,07 mm. (Tab. L. fig. 5. a. Specimina compluria; fig. b. Pediculus major auctus). ibidem.

Subdivisio III. Thallo subcuneiformi, apice ramulis brevioribus compluribus accumulatis.

27. Thallus subcuneiformis, apice subito incrassato, ramulis 6is — 7is ovalibus. Pediculus indivisus lobulis minimis rotundatis.

Altit. 0,1 — 0,132 mm. Crassit. 0,008 mm. (Tab. L. fig. 3. a. Specimina bina; fig. b. Specimen minus inexplicitum; fig. c. Summa pars major aucta; fig. d. Pediculus major auctus). ibidem.

28. Thallus subcylindricus, apicem versus subincrassatus, basi paulo dilatata. Summa pars ramulis 4is — 6is brevioribus, capitatis, irregulariter dispositis.

Altit. 0,25—0,26 mm. Crassit. 0,0035 mm. (Tab. LI. fig. 15. a. Specimina compluria densius juxta collocata; fig. b. Pediculus major auctus). ibidem.

29. Thallus cuneatus, apice cochleariforme ampliato, margine exteriori ramulis subdilatatis 4is—6is diviso. Pediculus subdilatatus, lobulis rotundatis.

Altit. 0,078—0,115 mm. Latit. in apice 0,017—0,042 mm. (Tab. LI. fig. 18. a. Specimen singulum minus; fig. b. Specimen majus ramulis 7is in apice; fig. c. Specimen ramulis 4is in apice; fig. d. Summa pars fili major aucta; fig. e. Pediculus major auctus). ibidem.

30. Thallus cuneatus, irregulariter incrassatus, apice dilatato, margine exteriori ramulis subdilatatis compluribus diviso.

Altit. 0,14—0,164 mm. (Tab. LI. fig. 23. a. Specimen singulum; fig. b. pars basalis divisa, lobuli bini in pediculos evoluti). Metschowk.

Subdivisio IV. Thallo repetito dichotome-ramoso, et ramulis verticillatim dispositis.

† Thallo dichotome-ramoso.

31. Thallus cuneiformiter incrassatus, subdivisus usque repetito dichotome-divisus. Pediculus ex lobulis breviter filiformibus, subdivergentibus compositus.

Altit. 0,084—0,1 mm. Crassit. 0,0105—0,017 mm. (Tab. L. fig. 6. a. Specimen apice inciso; fig. b. Specimen apice diviso; fig. c. Specimen persimile ramulis convergentibus; fig. d. Specimen apice repetito-dichotome ramoso; fig. e. Pediculus major auctus). „Stigmarienkohle.“

32. Thallus e basi subito incrassatus et in ramulos complures incrassatos divisus. Ramuli inaequales integerrimi aut dichotome-ramosi. Ramuli ultimi apicibus incrassatis. Pediculus dilatatus subinciso-crenatus.

Altit. 0,27 mm. (Tab. LI. fig. 21. a. Specimen completum; fig. b. Pediculus major auctus). ibidem.

33. Thallus e basi dilatatus sensim intumescens et in ramulis numerosis, inaequaliter formatis terminans. Pediculus incrassatus pluri-lobulatus, lobulis subaequaliter latis, apicibus crenatis.

Altit. 0,387—0,413 mm. Crassit. 0,017—0,031 mm. (Tab. LII. fig. 28. a. Specimen singulum completum; fig. b. Ramuli summa pars major aucta; fig. c. Pediculus major auctus). Metschowk.

34. Thallus e basi sensim dilatatus, summis pluriramulosis, ramulis inaequalibus. Pediculus subincrassatus, apice crenulato.

Altit. 0,25 mm. (Tab. LII. fig. 30. a. Specimina terna apicibus cohaerentibus; fig. b. Pediculus major auctus). „Stigmarienkohle.“

35. Thallus subtilis e basi sensim intumescens, apice multipliciter furcato-diviso. Ramuli ultimi complures accumulati, apicibus rotundatis. Pediculus dilatatus, subdivisus.

Altit. 0,293—0,33 mm. Crassit. 0,0035—0,007 mm. (Tab. LIII. fig. 36. a. Specimina bina completa; fig. b. Pediculus major auctus; fig. c. Ramulus singulus major auctus). ibidem.

†† Thallo ramulis verticillatim dispositis.

36. Thallus firmus e basi dilatatus, apice ramulis numerosis, verticillatim dispositis, ramulis apice bi-pluriramulosis. Pediculus plus minusve profundius divisus.

Altit. 0,293—0,35 mm. Crassit. fili 0,014—0,02 mm. (Tab. LII. fig. 26. a. Specimen pluriramulosum ramulis apice pluriramulosis; fig. b. Specimen Pediculo profundius diviso (* significat planitiem fractam); fig. c. Pediculus divisus major auctus; fig. d. Pediculus indivisus lobulis minimis, major auctus; fig. e. Ramuli ultimi indistincte divisi summa pars major aucta). ibidem.

37. Thallus e basi dilatatus, ramulis 4is — 6is, verticillatim dispositis. Ramuli, indivisae parti subaequant, apice incrassato, lobulis rotundatis, deorsum versis. Pediculus profundius 4—5 lobulatus; lobulis apice subinciso-crenatis.

Altit. 0,276—0,293 mm. Crassit. fili 0,024 mm. (Tab. LII. fig. 25. a. Specimen completum; fig. b. Ramulicapitulum majus auctum; fig. c. Pediculus major auctus). ibidem.

38. Thallus tenuis prolongatus, e basi sensim subincrassatus, ramulis integerrimis prolongatis 4is — 7is verticillatim dispositis, apice incrassatis, lobulis rotundatis deorsum versis. Pediculus integerrimus, apice crenulato.

Altit. 0,37—0,4 mm. Crassit. fili in basi 0,014 mm. Long. Capituli 0,042—0,053 mm. (Tab. LII. fig. 27. a. Specimen completum ramulis 6is; fig. b. Specimen ramulis 4is; fig. c. Capitulum majus auctum; fig. d. Pediculus major auctus). ibidem.

39. Thallus e basi dilatatus subito intumescens, ramulis incrassatis 2is — 4is verticillatim dispositis. Ramuli in apice truncati et incisi. Pediculus imperfecte divisus, margine crenulato.

Altit. 0,23 mm. Crassit. bas. 0,017—0,031 mm. (Tab. LII. fig. 29. a. Specimen completum; fig. b. Pediculus major auctus; fig. c. Capitulum majus auctum). Metschowk.

40. Thallus breviter subcylindricus, ramulis 4is verticillatim dispositis attenuatis, apice incrassato et in lobulos brevissimos complures rotundatos diviso. Pediculus indivisus, margine crenato.

Diam. 0,138 mm. (Tab. LIII. fig. 32. a. Specimen completum; fig. b. Pediculus major auctus; fig. c. Capitulum major auctum). „Stigmarienkohle.“

41. Thallus firmus e basi dilatata subito intumescens et ramulos 4os—6os prolongatos evolvens. Ramuli apice incrassato, in lobulos brevissimos rotundatos diviso. Pediculus incrassatus, 4—5 partitus.

Altit. 0,37—0,4 mm. Crassit. bas. 0,076 mm. (Tab. LIII. fig. 31. a. Specimen incompletum (desunt ramuli bini **); fig. b. Capitulum majus auctum; fig. c. Pediculus major auctus). Metschowk.

42. Thallus firmus subcylindricus, subito intumescens et in ramulos 4os divisus. Ramuli subaequales prolongati, apice inaequaliter pluri-lobulato. Pediculus ex segmentis compositus.

Altit. 0,26—0,293 mm. Crassit. fili 0,035—0,042 mm. (Tab. LIV. fig. 40. a. Specimen completum, cum ramulis incurvis et impressis; fig. b. Capitulum majus auctum; fig. c. Segmentum Pediculi majus auctum). „Stigmarienkohle.“

43. Thallus e basi dilatata attenuatus in ramulos complures attenuatos indistincte verticillatim dispositos divisus, ramuli apicibus incrassatis, Pediculus subdivisus.

Altit. 0,26—0,28 mm. (Tab. LIV. fig. 39. Specimen singulum) Lewino. Incertum videtur natura huius formae, utrum fragmentum alicuius formae Subtribi secundi an forma propria.

††† Thallo plano-compresso, subdiviso, lobis irregulariter incrassatis, in margine lobulis vasiformibus incrassatis obsessis.

44. Thallus subcuneiformis, basi subdilatata. Pediculus integerrimus, in margine verruculis rotundatis obtectus.

Altit. 0,295 mm. (Tab. LI. fig. 22. a. Specimen completum; fig. b. Lobulus vasiformis duplo constrictus, major auctus; fig. c. Lobulus vasiformis in medio convexus, m. a.; fig. d. Pediculi pars major aucta). „Stigmarienkohle.“

Subtribus II. Stichostelium.

Subdivisio V. Thallo indivisio, integerrimo. Pediculis in lamina sessilibus, imperfectius evolutis.

45. Thallus margine superiore integerrimo, lamina plicato-locunosa, volvis longitudinalibus. Pediculi brevissimi, indivisi, verruculis rotundatis obtecti.

Altit. 0,551 mm. (Tab. LIV. fig. 45. a. Specimen completum magn. $\frac{1}{3}$; fig. b. Marginis pars m. a.; fig. c. Pediculus m. a.) ibidem.

46. Thallus integerrimus. Lamina longitudinaliter volvata, volvis inter se conjunctis. Pars basalis crispato-lobata, lobulis in pediculos transmutatis.

Altit. 0,35 mm. (Tab. LIV. fig. 46. Speciminis pars magn. $\frac{1}{1}$) ibidem.

47. Thallus margine superiore undato, lamina reticulato-volvata, volvis e basi procurrentibus incrassatis. Inferior pars indistinctius in pediculos latos transmutata.

Altit. 0,154 mm. (Tab. LVI. fig. 54. Speciminis pars) ibidem.

48. Thallus late expansus margine superiore undato, lamina longitudinaliter volvata, volvis in basi in Pediculos verruculis obtectos transmutatis.

Altit. 0,157—0,164 mm. (Tab. LV. fig. 48. a. Speciminis pars; fig. b. Triletes magnus. (Nr. 25 Trileteae) parasitula insidente magn. $\frac{1}{15}$; fig. c. Pediculus major auctus). „Devonische Kohle.“

49. Thallus humilis late expansus, margine superiore crispato-lobulato, margine basali in Pediculos numerosos aggregatos transmutato.

Altit. 0,05 mm. (Tab. LVI. fig. 53. a. Speciminis pars; fig. b. Pars major aucta; fig. c. Marginis basalis pars m. a. magn. $\frac{4}{1}$). „Stigmarienkohle.“

50. Thallus humilis, lamina margine superiore crispato-lobulato, margine basali in Pediculos plur ramulosos, fibrellis aggregatis transmutato.

Altit. 0,081 mm. (Tab. LVI. fig. 55. a. Speciminis pars; fig. b. Triletes magnus, parasitula obtectus magn. $\frac{1}{30}$; fig. c. Pediculus major auctus) ibidem.

Subdivisio VI. Thallo simplicissimo, Pediculis evolutis.

51. Thallus margine superiore undato, margine basali lobulato-inciso, lobulis in Pediculos transmutatis.

Altit. 0,24 mm. (Tab. LV. fig. 47) ibidem.

52. Thallus humilis lobulato-laminosus, lobulis inferioribus subdilatis, in Pediculos transmutatis.

Altit. 0,11 mm. Latit. Pedic. 0,024—0,028 mm. (Tab. LV. fig. 49. a. Speciminis pars, * fractura; fig. b. Pediculus major auctus). Metschowk.

53. Thallus margine superiore sublobulato, margine basali subdiviso, lobulis in Pediculos transmutatis.

Altit. 0,148—0,157 mm. Diam. Pedic. 0,02—0,035 mm. (Tab. LV. fig. 50. a. Speciminis pars, laminae superior pars cum parasitula infecta (α) communissima in Triletibus et Stelideis, delineata Tab. LXXVII. fig. 1. c; fig. b. Pediculus major auctus) ibidem. „Stigmarienkohle.“

Subdivisio VII. Thallo simplicissimo aut basi et apice subdiviso, cum costa transversaliter percurrente, Pediculis evolutis, sessilibus.

54. Altit. 0,11 mm. Diam. Pedic. 0,017—0,204 mm. (Tab. LV. fig. 51. Speciminis pars) ibidem.

Subdivisio VIII. Thallo simplicissimo aut basi et apice subdiviso, integerrimo aut lacunoso-perforato et lobulato-crispato; Pediculis evolutis brevioribus, pedicellatis aut basin laminae versus longe prolongatis.

† Thallus margine basali breviter lobulato-diviso.

55. Thallus margine terminali inciso-crenato, Pediculis brevioribus subdilatis, costis longitudinalibus in basi in Pediculos transmutatis.

Altit. 0,132 mm. (Tab. LVII. fig. 63) ibidem.

56. Thallus margine terminali subundato, Pediculis brevioribus, costis e margine basali excurrentibus, apicibus incrassatis.

Altit. 0,164 mm. (Tab. LVII. fig. 61) ibidem.

57. Thallus margine terminali, in lobulos brevissimos dilatatos aggregatos subdiviso, lacunulis majoribus perforatus; margine basali subdiviso, Pediculis inaequalibus.

Altit. 0,053 mm. (Figurae in Volumine secundo (LXXXIV. fig. 110. a. b. Speciminis pars minor et major aucta; fig. c. Pediculus major auctus; fig. d. Marginis terminalis pars major aucta). Metschowk.

†† Thallus margine basali profunde lobulato-inciso, lobulis attenuatis.

58. Thallus margine terminali undulato-inciso, singulis lobulis prolongatis. Lobuli basales dimidio altitudinis Corporis paulo longiores.

Altit. 0,24 mm. (Tab. LVIII. fig. 66). „Stigmarienkohle.“

59. Thallus margine terminali irregulariter inciso-lobulato. Lobuli basales dimidio altitudinis Corporis paulo longiores.

Altit. 0,164 mm. Alt. Pedic. 0,1 mm. (Tab. LVIII. fig. 69. a. Speciminis pars, fig. b. Pediculus major auctus), ibidem.

††† Thallus lobulato-crispatus et lacunoso-perforatus.

60. Thallus volvato-lacunosus, margine terminali subintegro, margine basali in lobulos tenuissimos aggregatos, dimidio altitudinis corporis paulo breviores diviso. Pediculi subtiliores, subaequales.

Altit. 0,113 mm. Long. Ped. 0,042 mm. Crass. Ped. 0,017 mm. (Tab. LVI. fig. 59. a. Speciminis pars; fig. b. Pediculus major auctus). Metschowk.

61. Thallus lacunoso-lobatus; margine terminali crenato-inciso, margine basali in lobulos tenuissimos, prolongatos, aggregatos, duas partes altitudinis corporis longos, diviso. Pediculi subtiliores, subaequales.

Altit. 0,145 mm. Crassit. Ped. 0,035—0,054 mm. (Tab. LVI. fig. 56. a. Speciminis pars; fig. b. Pediculus major auctus).

62. Thallus volvato-lobulatus, margine terminali crenato-inciso, margine basali in lobulos tenuissimos, aggregatos, tertiam partem altitudinis corporis longos, diviso. Pediculi subtiliores, subaequales.

Altit. 0,138 mm. Long. Ped. 0,081—0,087 mm. Crass. Ped. 0,035 mm. (Tab. LVI. fig. 57. a. Speciminis pars; fig. b. Pediculi complures majores aucti; fig. c. volvae singulae summa pars major aucta). Metschowk.

63. Thallus lobulatus, margine terminali inciso-dentato, margine basali in lobulos tenuissimos, attenuatos marginibus crenato-serratis, duae partes altitudinis corporis longos, diviso.

Forma. Thallus lobulatus, margine terminali inciso-lobulato.

Altit. 0,293—0,33 mm. (Tab. LVIII. fig. 70. Speciminis formae inciso-lobulatae pars. fig. 72. Speciminis formae margine inciso-dentato pars). „Stigmarienkohle.“

64. Thallus volvato-lacunosus, margine terminali subintegro, margine basali in lobulos tenuiores, usque dimidium altitudinis Corporis longos diviso.

Altit. 0,24—0,25 mm. (Tab. LVII. fig. 60. Speciminis pars). ibidem.

Forma. Lobulis thalli superne distinctius separatis; margine terminali exciso-crenato. (Tab. LVII. fig. 60. a).

65. Thallus lobulatus, margine terminali lobulato-inciso, margine basali subintegro. Lobuli Thalli basin versus attenuati et in Pediculos transmutati.

Altit. 0,24 mm. Long. Pedic. 0,078—0,087 mm. (Tab. LVI. fig. 58). ibidem.

Subdivisio IX. Thallo composito, margine lobulato-inciso, lobulis in cornula simplicissima aut ramulosa productis; margine inferiore diviso.

✦ Margine inferiore lobulis $\frac{1}{5}$ altitudinis corporis altis.

66. Thallus lobis terminalibus digitato-divisis, lobulis inaequalibus, patentibus, lobulis basalibus subdilatatis.

Altit. 0,26 mm. (Tab. LIX. fig. 77. a. Speciminis pars; fig. b. Pediculi pars basalis, e latere inferiore visa, in centro excavata et marginibus crenato-plicatis; fig. c. lobulus terminalis singulus major auctus). „Stigmarienkohle.“

67. Thallus lacunis latis lacunoso-perforatus, lobulis in apice late cornutis, basin versus attenuatis et prolongatis. Pediculi ramulosi, ramulis aggregatis.

Altit. 0,24 mm. Alt. Corporis 0,118 mm. (Tab. LVII. fig. 62. a. Speciminis pars; fig. b. Pediculus major auctus). ibidem.

✦✦ Margine inferiore profunde diviso.

68. Thallus margine inferiore in lobulos attenuatos, duas partes corporis altitudinis altos, diviso.

Forma. Lobulis terminalibus inciso-serratis.

Altit. 0,24—0,25 mm. (Tab. LIX. fig. 73. a. Speciminis formae typicae pars; fig. b. Speciminis formae lobulis serratis pars). ibidem.

69. Thallus margine inferiore in lobulos inaequales recurvos diviso, margine terminali in cornula singula divisa.

Altit. 0,33 mm. (Tab. LVIII. fig. 71. b. Specimen singulum; fig. 3. Lobuli inferioris pars major aucta; fig. d. Cornula bina, imperfectius transversaliter divisa). ibidem.

70. Thallus margine terminali in lobulos late cornutos, aggregatos diviso, lobulis basalibus attenuatis, duas partes altitudinis corporis altis.

Altit. 0,33 mm. (Tab. LIX. fig. 74. Speciminis majoris, circum circa Triletem maximum procurrentis pars). „Stigmarienkohle.“

Forma. Thallus margine terminali in lobulos longiores et firmiores inaequaliter diviso. Pediculi incrassati, subdivisi.

Altit. 0,293 — 0,33 mm. (Tab. LIX. fig. 76. a. Speciminis humilioris pars, pediculis recurvis; fig. b. Aliud Specimen, cornulis regulariter dispersis, Pediculis subrectis; fig. c. Pediculus major auctus; fig. d. Cornuli summa pars, imperfectius transversaliter divisa, major aucta). ibidem.

71. Thallus late lacunoso-perforatus et irregulariter volvato-lobatus, lobulis in apice lobulato-cornutis, lobulis basalibus subaequalibus, $\frac{1}{4}$ altitudinis corporis altis. Pediculi subdivisi.

Altit. 0,24 — 0,26 mm. Latit. Pedicul. 0,014—0,017 mm. (Tab. LX. fig. 78. a. Speciminis majoris completi pars; fig. b. Pediculi bini majores aucti; fig. c. Lobus Singulus terminalis major auctus, lobulis compluribus inaequalibus, irregulariter formatis et insymmetrice dispositis). ibidem.

Subdivisio X. Thallo subsimplice, margine terminali in lobulos subaequales pectinato-diviso. Formae minutissimae. Vix. 0,1 mm. altae.

72. Thallus inciso-lobulato-divisus, lobulis subito angustatis, apicibus rotundatis, margine basali subrecto, in fibrillas (radiculos) dissoluto.

Altit. 0,069 mm. (Tab. LXII. fig. 91. a. Speciminis pars; fig. b. Thalli pars inferior cum fibrillis, major aucta). Metschowk.

73. Thallus usque ad medium pectinato-divisus, lobulis acuminatis, margine basali subrecto, imperfectius diviso.

Long. 0,091 mm. (Tab. LXII. fig. 92. a. Speciminis pars; fig. 6. Marginis basalis pars major aucta. Stigmarienkohle.

Subdivisio XI. Thallo composito, margine terminali profundius in lobulos subaequales pectinato-diviso, Pediculis attenuatis prolongatis.

74. Thallus profunde pectinato-divisus, lobulis subaequalibus, cornutis, lobulis basalibus usque fero ad medium corporis pertinentibus, attenuatis, in basi incrassatis.

Altit. 0,181 mm. (Tab. LVIII. fig. 65. a. Speciminis completi pars; fig. b. Lobuli basalis singuli divisi infima pars, sicuti ex compluribus lobulis contortis composita). Stigmarienkohle.

75. Thallus in utroque latere aequaliter pectinato-divisus, lobulis terminalibus subcylindraceis, lobulis basalibus subattenuatis, basi subdilatata.

Altit. 0,115 — 0,125 mm. (Tab. LVIII. fig. 68. a. Speciminis minoris insymmetrice divisi pars; fig. b. Speciminis in utroque latere symmetrice divisi pars, pediculis subincrassatis. Stigmarienkohle.

76. Thallus in utroque latere symmetrice sed inaequaliter pectinato-divisus. Lobuli terminales subaequales subconici, lobuli basales longiores basin versus subincrassati.

Altit. 0,135—0,145 mm. (Tab. LVIII. fig. 67. a. Speciminis completi pars; fig. b. Lobulus terminalis, imperfectius transversaliter divinus, major auctus; fig. b. pediculus major auctus). ibidem.

Subdivisio XII. Thallo composito, margine terminali multipliciter diviso, lobulis prolongatis, partim cum costis e basi excurrentibus conjunctis, apicibus varie evolutis, Pediculis $\frac{1}{3}$ — $\frac{1}{8}$ altitudinis corporis longis.

✧ Pediculis usque $\frac{1}{8}$ altitudinis corporis altis.

* Lobulis terminalibus subintegris et subaequalibus.

77. Lobulis terminalibus usque dimidio corporis altitudinis altis, cum costis longitudinalibus connectis, lobulis basalibus (Pediculis) inaequalibus.

Altit. 0,24 mm. Alt. Corpor. 0,16 mm. (Tab. LVII. fig. 64. Speciminis majoris pars), ibidem.

78. Lobulis terminalibus sparsis, apice incrassatis, duas partes altitudinis corporis altis, lobulis basalibus subaequalibus.

Altit. 0,22 mm. Alt. Corp. 0,126 mm. (Tab. LXI. fig. 86. Speciminis pars, nonnulli lobuli fracti), ibidem.

** Lobulis subintegris, gracilioribus usque corporis altitudini subaequantibus.

79. Lobulis terminalibus apicibus irregulariter incrassatis, lobulis basalibus aequalibus, $\frac{1}{5}$ corporis altitudinis altis.

Altit. 0,33—0,35 mm. Alt. Corp. 0,16 mm. Long. Ped. 0,028 mm. (Tab. LXIII. fig. 93. a. Speciminis majoris pars; fig. b. Lobuli terminalis summa pars major aucta) ibidem.

80. Lobulis terminalibus apicibus incrassatis et breviter lobulatis, corporis altitudine paulo longioribus, lobulis basalibus inaequalibus, $\frac{1}{4}$ altitudinis corporis altis, Pediculis subdilatatis subincisis.

Altit. 0,181 mm. Alt. Corp. 0,084 mm. (Tab. LXIV. fig. 100. a. Speciminis pars; fig. b. lobuli terminalis summa pars, major aucta; fig. c. Pediculus major auctus) ibidem.

81. Lobulis terminalibus apicibus integerrimis et subdivisis, altitudine corporis paulo humilioribus, lobulis basalibus subaequalibus, $\frac{1}{4}$ altitudinis corporis altis, Pediculis subdilatatis, subincisis.

Altit. 0,1 — 0,125 mm. -Alt. Corp. 0,056 — 0,063 mm. (Tab. LXI. fig. 81. a. Speciminis pars, lobulis terminalibus singulis divisis; fig. b. Pediculus major auctus; fig. c. Speciminis humilioris pars; fig. d. lobuli terminalis imperfectius transversaliter divisi pars, major aucta; fig. e. Pediculus major auctus; fig. f. Speciminis pars, lobulis terminalibus omnibus indivisis) ibidem.

Forma. Lobulis terminalibus apicibus sublobulatis. (Tab. LXI. fig. 81. g. Speciminis pars; fig. h. lobuli terminalis summa pars major aucta).

*** Lobulis apicibus plurilobulatis.

82. Lobulis terminalibus apicibus incrassatis, in lobulos subsphaericos (cellulas?) 5 os ÷ 6 os divisis, usque altitudini corporis aequaliter altis, lobulis basalibus subaequalibus, $\frac{1}{3}$ — $\frac{1}{4}$ corporis altitudinis altis.

Altit. 0,118—0,127 mm. Alt. Corp. 0,059—0,066 mm. (Tab. LXI. fig. 84 b. Speciminis pars; fig. c. lobuli terminalis summa pars major aucta; fig. d. Pediculus major auctus) ibidem.

Forma minor. In omnibus partibus usque dimidio minor. Alt. 0,059—0,066 mm. (Tab. LXI. fig. a. Speciminis pars; fig. d. Pediculus major auctus).

83. E maximis. Corpus margine terminali irregulariter et inaequaliter profunde exciso-diviso, lobulis attenuatis, apicibus irregulariter late dilatato-lobulatis, cum costis prominentibus, in pediculos procurrentibus connectis; margine basali inaequaliter subinciso-lobulato, Pediculis subdilatatis, verruculis obtusis obtectis.

Altit. 0,439—0,538 mm. Alt. Corp. 0,25—0,278 mm. (Tab. LXV. fig. 105. a. Specimen completum, ramulis terminalibus singulis fractis (* ramuli fracti); fig. b. lobulus singulus lobuli terminalis major auctus; fig. e. Pediculus major auctus) ibidem.

84. Lobulis terminalibus subaequalibus attenuatis, apicibus incrassatis et irregulariter lobulato-divisis, usque altitudini corporis aequaliter altis; Lobulis basalibus inaequalibus $\frac{1}{5}$ altitudinis corporis altis, Pediculis subdivisis.

Altit. 0,125—0,132 mm. Alt. Corp. 0,059—0,069 mm. (Tab. LIX. fig. 75. a. Specimen completum; fig. b. Pediculus major auctus; fig. c. Lobuli terminalis summa pars major aucta). Metschowk.

†† Pediculis (Lobulis basalibus) usque dimidio corporis altitudinis altis et minus et magis.

* Lobulis terminalibus aequaliter latis.

85. Lobulis terminalibus attenuatis, subaequalibus, Lobulis basalibus iisdem subaequalibus.

Altit. 0,125 mm. (Tab. LXVI. fig. 108. a. Specimen completum; fig. b. lobuli basales (Pediculi) terni, majores aucti; fig. c. Lobuli terminales complures majores aucti). In carbone compacta. Lewino. Specimina dissolutione in kalio caustico preparata.

86. Lobulis terminalibus prolongatis, subaequalibus, integris et subdivisis, usque corporis altitudini aequaliter altis; Lobulis basalibus $\frac{1}{2}$ corporis altitudinis altis, subaequalibus, incisuris aequalibus disjunctis.

Altit. 0,26 mm. Alt. Corp. 0,133 mm. Alt. Pedic. 0,035 mm. (Tab. LXI. fig. 83. a, Speciminis majoris completi, paene peripheriam totam Trileteis magni obducentis, pars; Lobuli singuli in modo zygois in Algis et Fungis zygnemiformiter inter se conjuncti; fig. b. Pediculus major auctus, lobulis minutulis subincrassatis; fig. c. lobuli terminalis summa pars major aucta). Stigmarienkohle.

87. Lobulis terminalibus prolongatis, subaequalibus, integris, altitudini corporis subaequaliter altis; Lobulis basalibus usque dimidio altitudinis corporis altis, incisuris latis disjunctis.

Altit. 0,154 mm. Alt. Corp. 0,075 mm. (Tab. LXV. fig. 103. Speciminis majoris completi pars) ibidem.

** Lobulis terminalibus incrassatis, et lobulatis.

88. Lobulis terminalibus dilatatis, divisis, Lobulis basalibus irregularibus, inaequalibus.

Altit. 0,26 mm. Alt. Corp. 0,146 mm. (Tab. LXIII. fig. 94. Speciminis pars) ibidem.

89. Lobulis terminalibus apicibus brevissime lobulatis, Lobulis basalibus dimidio altitudinis corporis paulo brevioribus, Pediculis apice profundius lobulato-inciso.

Altit. 0,16 — 0,17 mm. Alt. Corp. 0,11 mm. (Tab. LXI. fig. 82. a. Speciminis completi pars; fig. b. lobuli terminalis summa pars major aucta; fig. b. Pediculus subaequaliter diviso-partitus; fig. d. Pediculus inaequaliter diviso-partitus, major auctus) ibidem.

90. Lobulis terminalibus subaequalibus apice incrassatis, lobulatis, lobulis deorsum versis; Lobulis basalibus incisuris latis disjunctis, $\frac{1}{3}$ altitudinis corporis altis.

Altit. 0,37 mm. Alt. Corp. 0,168 mm. Alt. Ped. 0,04 mm. (Tab. LXIV. fig. 97. a. Speciminis majoris pars; fig. b. Lobuli terminalis summa pars major aucta; fig. c. Pediculus major auctus) ibidem.

91. Lobulis terminalibus subaequalibus, apice incrassatis, lobulatis, lobulis deorsum versis; lobulis basalibus incisuris angustis disjunctis, $\frac{1}{4}$ (et pauso magis) altitudinis corporis altis.

Altit. 0,126—0,295 mm. Alt. Corp. 0,134 — 0,161 mm. (Tab. LXIV. fig. 99. a. Speciminis majoris pars; fig. c. Speciminis altioris pars, incisuris singulis basalibus profundioribus) ibidem.

Forma. Lobulis terminalibus in apicis basi in lobulos brevissimos subglobosos, complures divis. Altit. 0,25 mm. (Tab. LXIV. fig. 99. b. Speciminis pars; fig. d. lobuli terminalis summa pars major aucta) ibidem.

92. Lobulis terminalibus subaequalibus, prolongatis, apice incrassatis, lobulatis, lobulis deorsum versis; lobulis basalibus incisuris inaequalibus disjunctis, usque $\frac{1}{3}$ altitudinis corporis altis.

Altit. 0,42 mm. Alt. Corp. 0,145 mm. (Tab. LXV. fig. 104. Speciminis majoris pars) ibidem.

93. Lobulis terminalibus subaequalibus, abbreviatis, apice irregulariter incrassatis et lobulatis; lobulis basalibus incisuris latioribus, inaequalibus usque $\frac{1}{4}$ altitudinis corporis altis disjunctis.

Altit. 0,37 mm. Alt. Corp. 0,26 mm. (Tab. LXVI. fig. 106. Speciminis majoris pars) ibidem.

94. Lobulis terminalibus subaequalibus, apicibus inaequaliter evolutis, subdivisis et sublobulatis, interdum singulis inter se conjugatim conjunctis; lobulis basalibus gracilioribus, usque $\frac{1}{2}$ altitudinis corporis altis.

Altit. 0,22 mm. Alt. Corp. 0,1 mm. (Tab. LXII. fig. 90. a. Specimen completum; fig. b. Lobulorum terminalium binarum apicibus conjugatim inter se conjunctis summa pars major aucta) ibidem.

95. Lobulis terminalibus subaequalibus, apicibus subdivisis et inaequaliter incrassatis; lobulis basalibus gracilioribus basin versus subattenuatis, incisuris latis, acutis disjunctis, usque $\frac{1}{2}$ altitudinis corporis altis; Pediculis subdilatis verruculosus.

Altit. 0,508—0,534 mm. Alt. Corp. 0,293 mm. Alt. Pedicul. 0,11—0,138 mm. (Tab. LXIII. fig. 96. a. Speciminis majoris pars; fig. b. Lobuli terminalis, lobulis deorsum versis, summa pars major aucta; fig. c. Pediculus major auctus) ibidem.

96. Lobulis terminalibus subaequalibus, apicibus late dilatatis in lobulos complures corniformes evolutis; lobulis basalibus subattenuatis, Pediculis subincisis, verruculosus, $\frac{1}{3}$ corporis altitudinis altis, incisuris acutangulis disjunctis.

Altit. 0,398 — 0,439 mm. Alt. Corp. 0,181 mm. Alt. Pedic. 0,069 — 0,078 mm. (Tab. LXIII. fig. 95. Speciminis majoris pars; * fractura) ibidem.

Forma major. Alt. 0,457 mm. Alt. Corp. 0,24 mm. (Tab. LXVI. fig. 107. Speciminis majoris pars; ** lobuli terminales fracti).

97. Lobulis terminalibus subaequalibus, apicibus subdilatis et subdivisis, usque corporis altitudinis duplo longioribus; lobulis basalibus usque $\frac{1}{2}$ corporis altitudinis altis.

Altit. 0,164 mm. Alt. Corp. 0,078 mm. (Tab. LXI. fig. 85. a. Specimen completum; fig. b. Lobuli terminalis summa pars major aucta; fig. c. Pediculus major auctus) ibidem.

++++ Lobulis basalibus longe productis attenuatis, corporis altitudine duplo magis longioribus.

98. Lobulis basalibus margine serrulato-crenato, deorsum versus attenuatis; Lobulis terminalibus apicibus subincrassatis.

Altit. 0,74 — 0,832 mm. Alt. Corp. 0,181 mm. Long. Pedic. 0,457 mm. (Tab. LX. fig. 80. Speciminis pars).

Forma peculiaris in Specimine singulo, de substrato delapso, observata, lobulis basalibus contortis et inter se implicatis.

✠✠✠✠✠ Lobulis inaequaliter longis sed aequaliter latis, corpore angustiore et lacunis majoribus perforatum.

99. Lobulis terminalibus inaequalibus et irregulariter divisis, lobulis basalibus subaequalibus, singulis usque fere ad medium corporis pertinentibus; Pediculis in basi lobulato-divisis, incisuris latis disjunctis.

Altit. 0,37 — 0,398 mm. (Tab. LXIV. fig. 98. a. Speciminis singuli maxima pars; fig. b. lobuli terminalis summa pars major aucta, imperfectius in segmenta transversaliter divisa; fig. c. Pediculus major auctus) ibidem

Subdivisio XIII. Lobulis terminalibus prolongatis, usque corporis altitudinis duplo longioribus.

† Lobulis terminalibus flagelliforme-attenuatis 3is usque 6is fasciculatim conjunctis.

100. Lobulis terminalibus e costis e pediculis excurrentibus ortis e basi usque ad apicem aequaliter latis; Pediculis brevissimis, subdilatis, sublobatis; Corpore margine terminali et basali subintegro.

Altit. 0,37 — 0,59 mm. Alt. Corp. 0,164 — 0,24 mm. Long. lobul. terminal 0,276 — 0,33 mm. (Tab. LX. fig. 79. a. Speciminis majoris pars, lobuli terminales in ramulo singulo fracti; fig. b. c. Specimina singula occurrunt, in his figuris figurata, in modo Trichostelidearum nonnullarum ex parte basali radicante integerrimo formata et apice in lobulos attenuatos complures diviso. Haec corpora non aliud sunt determinanda quam ramuli descissi de lamina corporis; fig. d. Pediculus major auctus) ibidem.

✠✠ Lobulis terminalibus usque corporis altitudinis duplo longioribus, apicibus incrassatis.

101. Lobulis terminalibus apicibus siliculose-incrassatis; lobulis basalibus (Pediculis) brevissimis, subcrenulatis.

Altit. 0,115 mm. (Tab. LXV. fig. 102 b. Specimen singulum completum; fig. c. Pediculus major auctus; fig. d. lobuli terminalis summa pars major aucta) ibidem.

102. Lobulis terminalibus integris et divisis, apicibus siliculose-incrassatis; lobulis basalibus prolongatis, attenuatis, Pediculis subincrassatis, sublobulatis.

Altit. 0,293 mm. (Tab. LXV. fig. 101. a. Specimen singulum completum; fig. b. lobuli terminalis summa pars, major aucta. In apice lobuli explicitur corpusculum liberum extrorsum leviter curvatum Cellula filialis) partim in lobuli substantia inclusum, partim e substantia egressum; fig. c. Pediculi inferior pars major aucta) ibidem.

Subdivisio XIV. Thallo composito, margine terminali diviso, lobulis prolongatis, partim cum costis e basi excurrentibus connectis; corporis media parte (aut infra medium) cum costa firma transversaliter percurrente.

103. Lobulis terminalibus inaequalibus, incrassatis et subdivisis, usque corporis altitudini aequaliter altis; lobulis basalibus usque $\frac{1}{3}$ altitudinis corporis altis, incisuris latis disjunctis.

Altit. 0,293 — 0,33 mm. Alt. Corp. 0,164 mm. Alt. Pedic. 0,039 mm. (Tab. LXII. fig. 87. a. Speciminis completi majoris usque fere circum circa Triletis corpus procurrentis pars, Pediculis in seriebus binis oppositis, numerosissimis; fig. b. aliud Specimen, Pediculis uniseriatis, lobulis terminalibus crassioribus et longioribus; fig. c. Pediculus major auctus) ibidem.

104. Lobulis terminalibus aequaliter longis, apicibus incrassatis et sublobatis et subdivisis, usque corporis altitudini aequalibus; lobulis basalibus subaequalibus, usque dimidium altitudinis corporis altis, incisuris angustioribus disjunctis; Pediculis profundius incisis.

Altit. 0,164 — 184 mm. Alt. Corp. 0,105 mm. Alt. Pedic. 0,028 mm. (Tab. LXII. fig. 88. a. Speciminis majoris pars; fig. b. Pediculus major auctus) ibidem.

105. Lobulis terminalibus prolongatis, tenuissimis, apicibus siliquiforme-subincrassatis, numerosissimis et densiter aggregatis, altitudine corporis duplo magis longioribus; lobulis basalibus aequalibus, usque corporis altitudinis dimidium altis, incisuris aequalibus disjunctis; Pediculis subdilatis, incisis.

Altit. 0,033—0,35 mm. Alt. corp. 0,125 mm. Alt. Pedic. 0,024 mm. (Tab. LXII. fig. 89. Speciminis completi majoris pars).

106. Lobulis terminalibus brevissimis (implicitis?); lobulis basalibus aequalibus, usque corporis altitudinis dimidium altis, incisuris aequalibus disjunctis.

Altit. 0,138 mm. (Tab. LV. fig. 52. a. Speciminis pars; fig. b. Triletes e maximis (Triletes Nr. 25), in tota peripheria cum parasitula obtectus. Magn. $\frac{1}{5}$); fig. c. Pediculus major. auctus; fig. d. costae percurrentis pars cum lobulo singulo terminali connecto). Hanc plantulam descripsi et delineavi antea in „Flora“ 1883. Nr. 23*).

Subdivisio XV. (Appendix). Corpora planitieformia aut lobulato-incisa, imperfectius radiantia in aliis corporibus organicis.

107. Corpus in sciagraphia subcirculare, marginibus irregulariter exciso-dentatis, superficie volvis reticulariter connectis inducta; corpus e latere inferiore prominentiis dispersis (Pediculis implicitis?) obductum.

Diam. 0,069 mm. (Tab. LXVI. fig. 110. a. Corpus e latere superiore; fig. b. Corpus e latere laterali visum). Stigmarienkohle.

108. Corpus irregulariter lobulato-divisum, lobulis inaequalibus incrassatis, irregulariter limitatis incisuris latis, repandis disjunctis, in superficie costis prominentibus obductis.

Long. 0,37—0,043 mm. Lat. 0,33—0,35 mm. (Tab. LXVI. fig. 109. Specimen Singulum) ibidem.

*) P. F. Reinsch. Ein neuer Algoider Typus in der Stigmarienkohle von Kurakino. Tab. XIII.

* Omnes Figurae Stelidearum, ubi non singulatim notatae, sunt amplificatae in ratione 285 : 1.
 Figurae notatae magn. $\frac{4}{1}$ in ratione 1140 : 1.

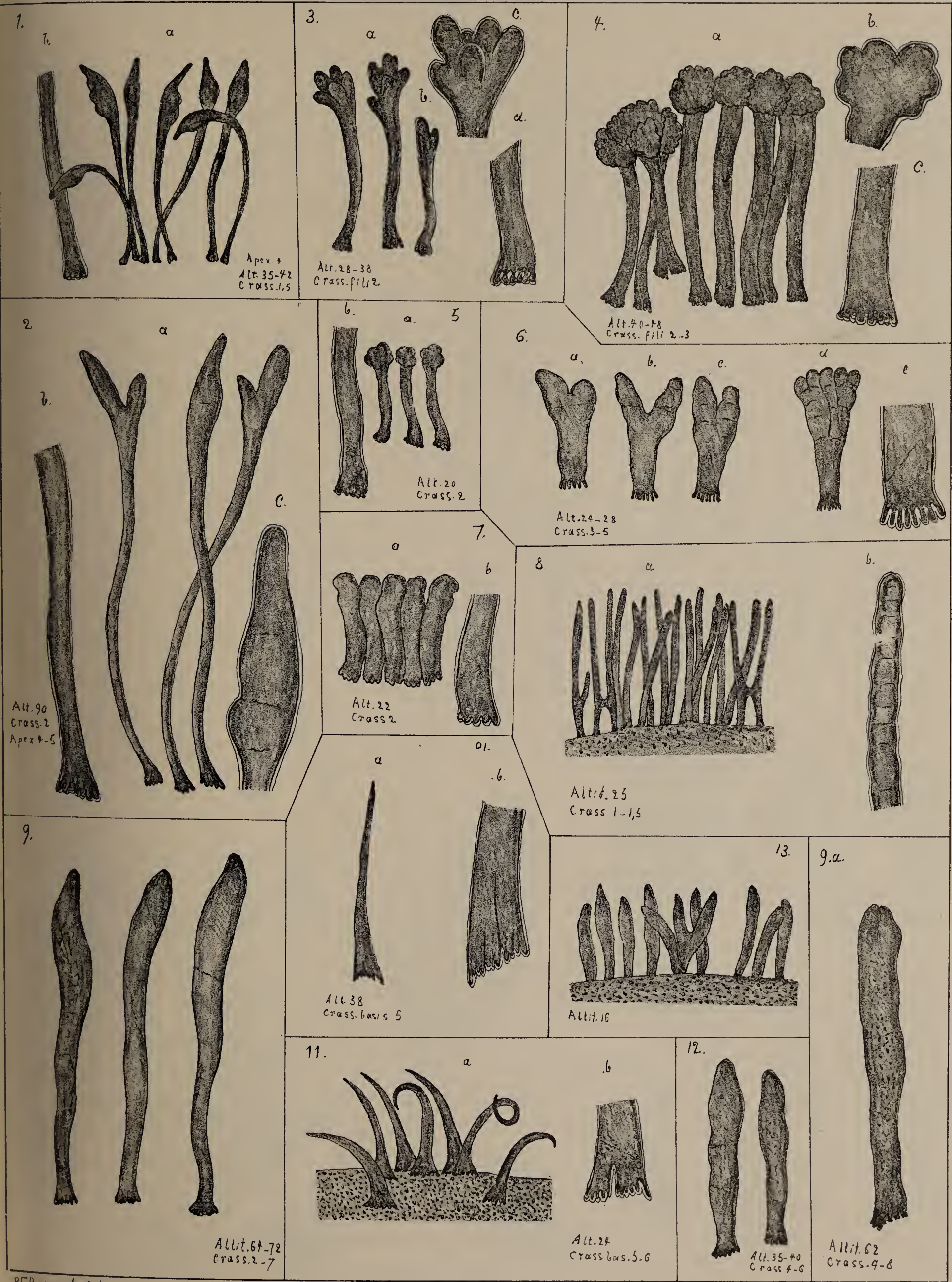
Loci Figurarum in Tabulis et Numeri in Diagnosibus.

Stelideae.

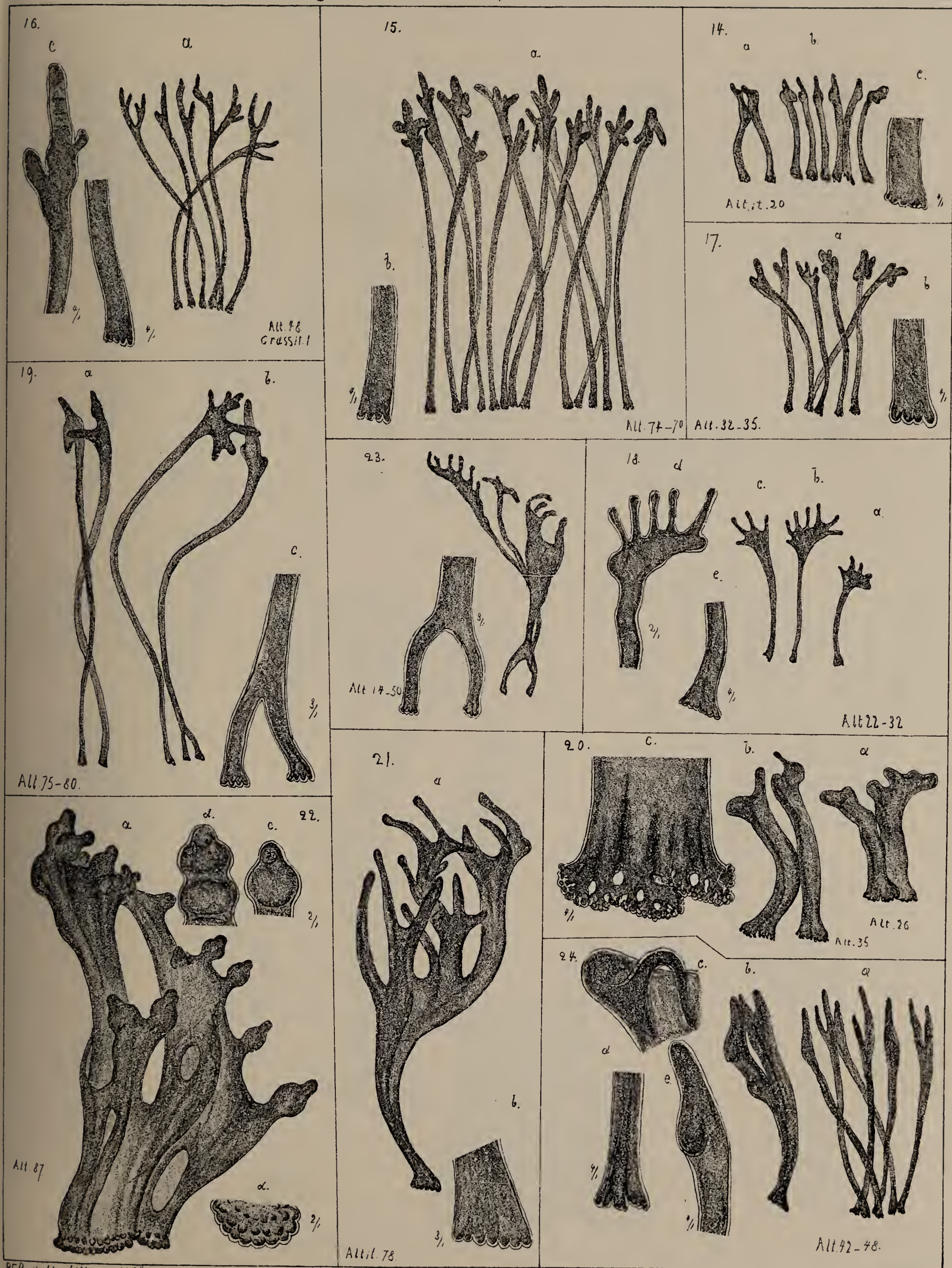
Numeri in Tabulis.		Numeri in Diagnosibus.	Numeri in Tabulis.		Numeri in Diagnosibus.	Numeri in Tabulis.		Numeri in Diagnosibus.
Tab. L.	fig. 1.	7.	Tab. LIII.	fig. 38.	5.	Tab. LIX.	fig. 74.	70.
	2.	12.		20. forma.	24.		75.	84.
	3.	27.	Tab. LIV.	fig. 39.	43.	Tab. LX.	76.	70.
	4.	25.		40.	42.		77.	66.
	5.	26.		41.	21.	Tab. LXI.	fig. 78.	71.
	6.	31.		42.	19.		79.	100.
	7.	10.		43.	2.	Tab. LXII.	80.	98.
	8.	1.		44.	20.		fig. 81.	81.
	9. 9 a.	8.		45.	45.	Tab. LXIII.	82.	89.
	10.	3.		46.	46.		83.	86.
	11.	4.	Tab. LV.	fig. 47.	51.	Tab. LXIV.	84.	82.
	12.	9.		48.	48.		85.	97.
Tab. LI.	fig. 13.	13.		49.	52.	Tab. LXV.	86.	78.
	14.	11.		50.	53.		fig. 87.	103.
	15.	28.		51.	54.	Tab. LXVI.	88.	104.
	16.	17.		52.	106.		89.	105.
	17.	23.	Tab. LVI.	fig. 53.	49.	Tab. LXVII.	90.	94.
	18.	29.		54.	47.		91.	72.
	19.	22.		55.	50.	Tab. LXVIII.	92.	73.
	20.	18.		56.	61.		fig. 93.	79.
	21.	32.		57.	62.	Tab. LXIX.	94.	88.
	22.	44.		58.	65.		95.	96.
	23.	30.		59.	60.	Tab. LXX.	96.	95.
	24.	24.	Tab. LVII.	fig. 60. 60 a.	64.		97.	90.
Tab. LII.	fig. 25.	37.		61.	56.	Tab. LXXI.	98.	99.
	26.	36.		62.	67.		99.	91.
	27.	38.		63.	55.	Tab. LXXII.	100.	80.
	28.	33.		64.	77.		fig. 101.	102.
	29.	39.	Tab. LVIII.	fig. 65.	74.	Tab. LXXIII.	102.	101.
	30.	34.		66.	58.		103.	87.
Tab. LIII.	fig. 31.	41.		67.	76.	Tab. LXXIV.	104.	92.
	32.	40.		68.	75.		105.	83.
	33.	14.		69.	59.	Tab. LXXV.	106.	93.
	34.	15.		70.	63.		107.	96.
	35.	6.		71.	69.	Tab. LXXVI.	108.	85.
	36.	35.		72.	63.		109.	108.
	37.	16.	Tab. LIX.	fig. 73.	68.	Tab. LXXVII.	110.	107.

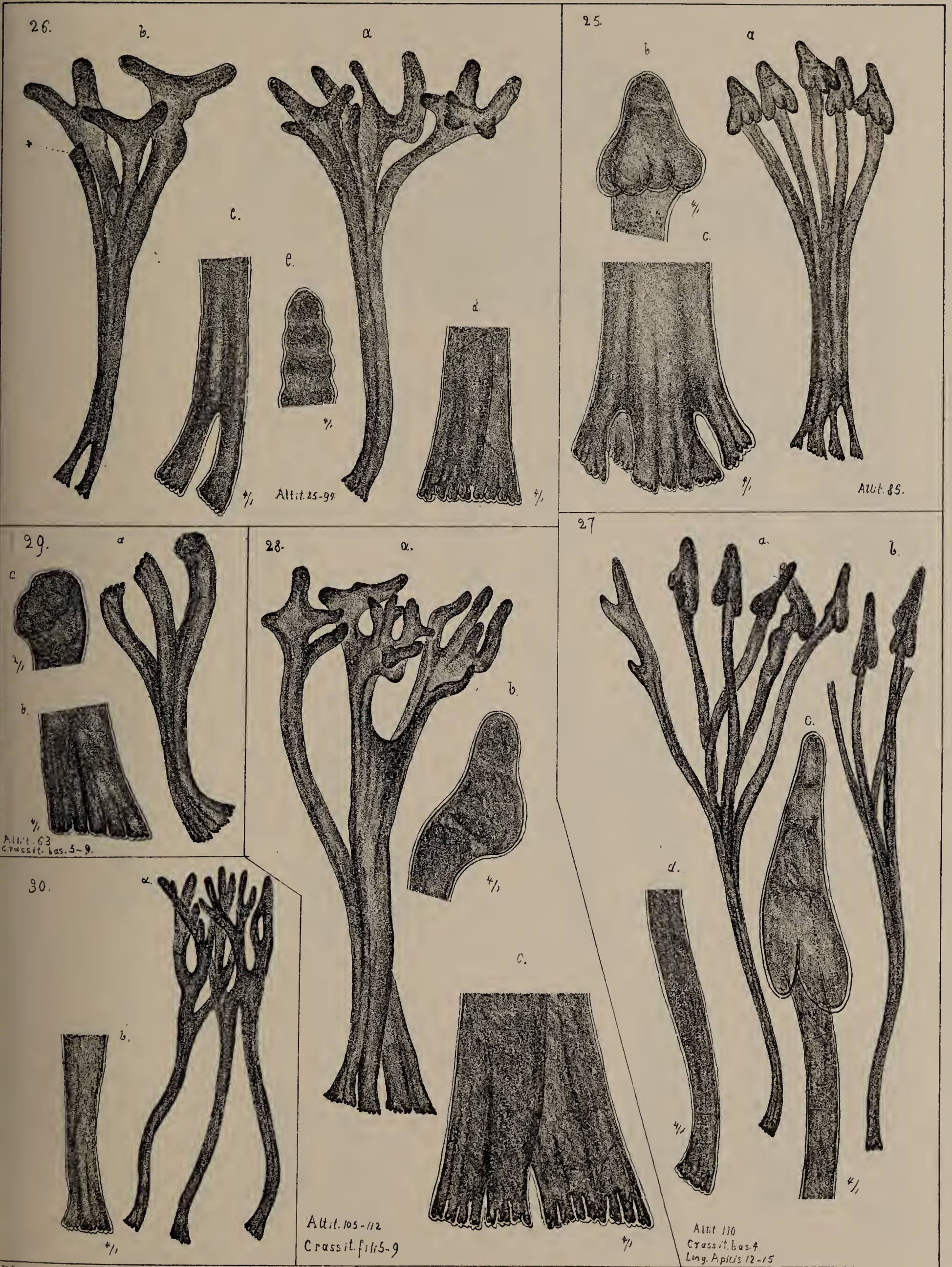
Errata in Numeris in Tabulis.

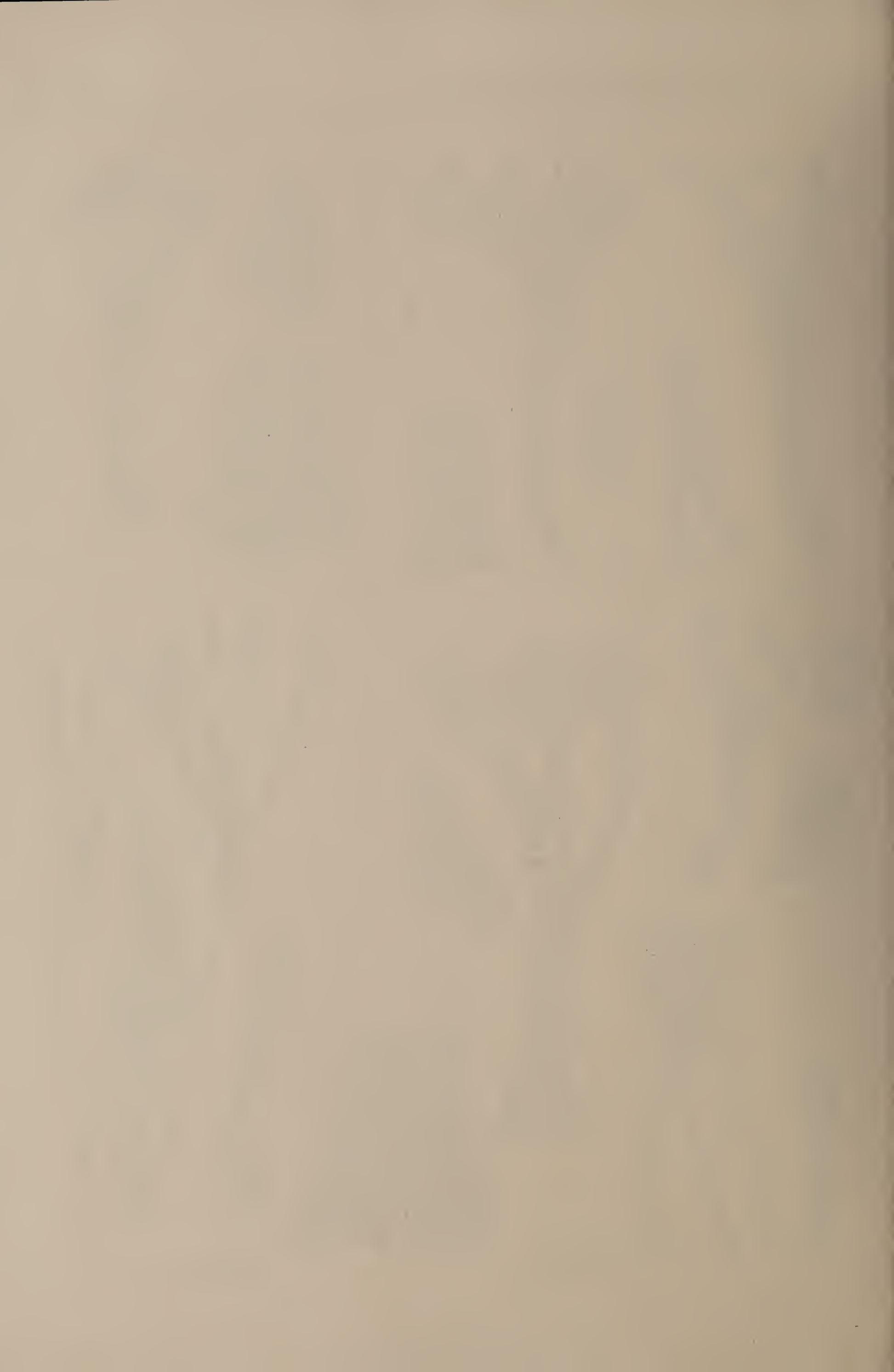
Tab. LIV. Nr. 48. pone Altit. 14. loco Altit. 41.

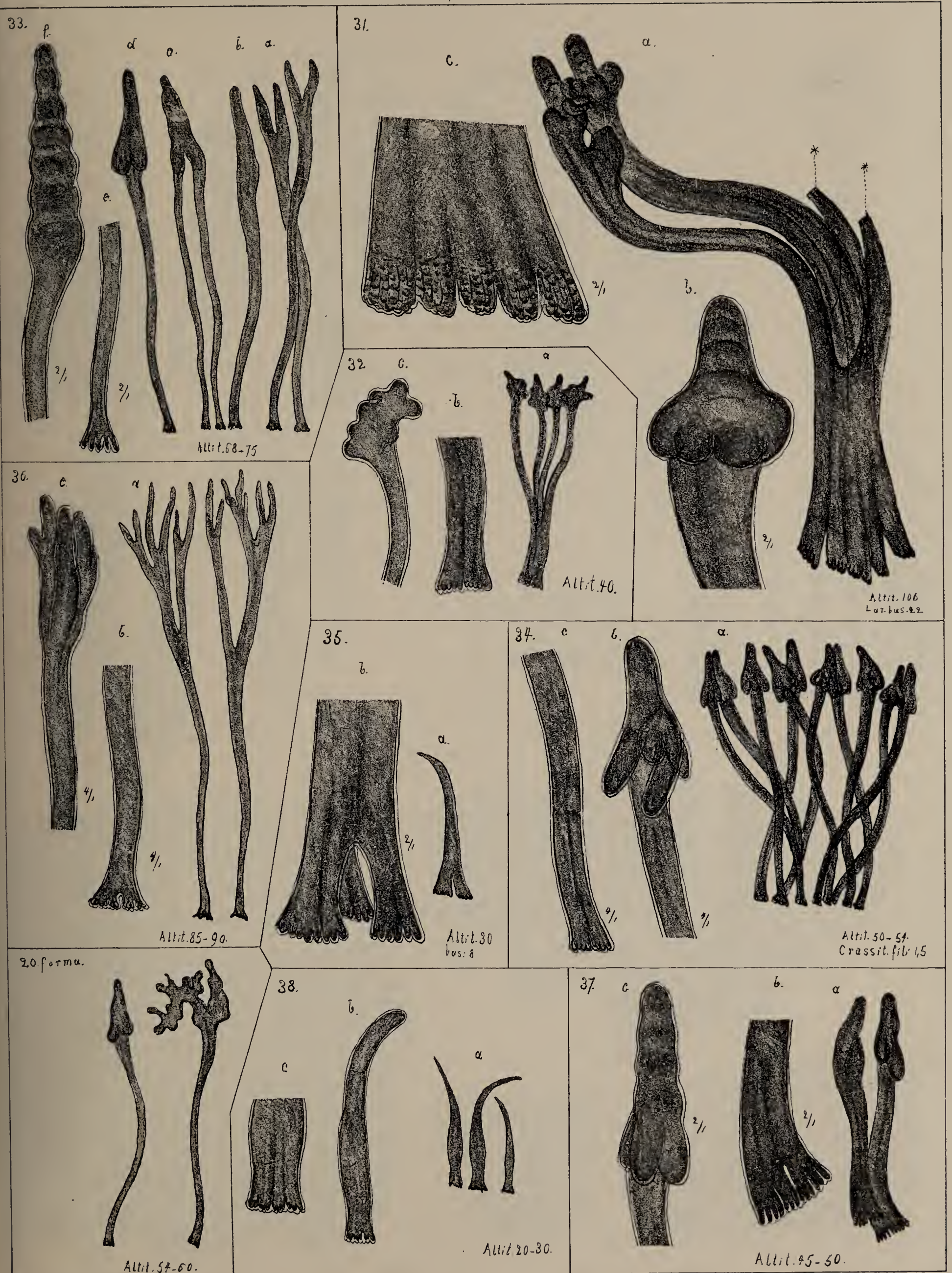


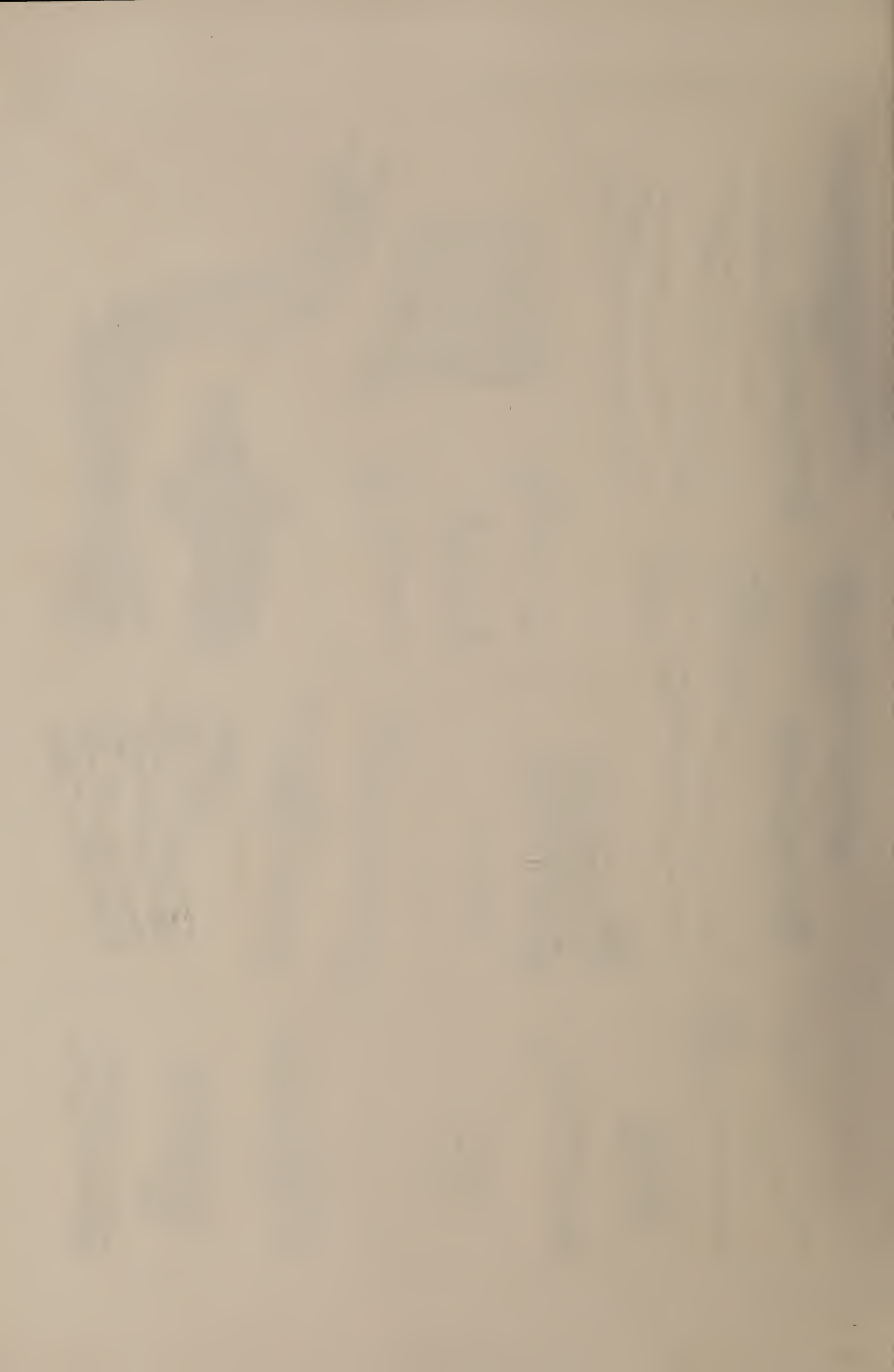
PFReinsch delin. Lithograph 1884.

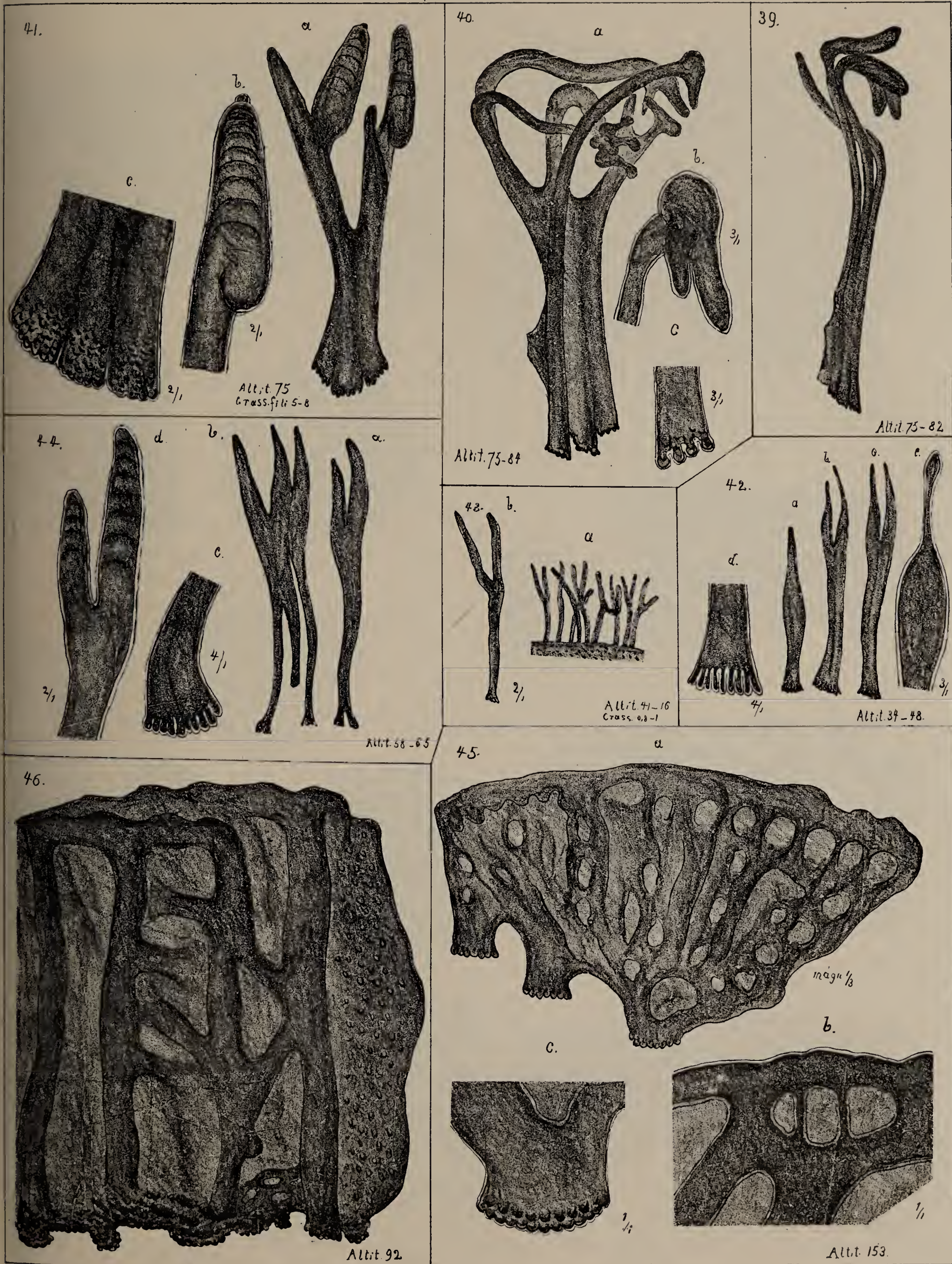








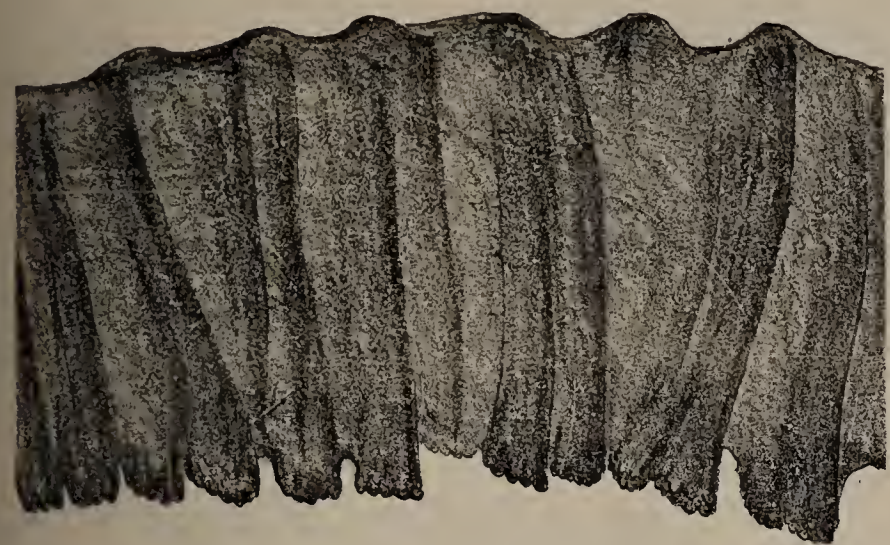






48.

a.



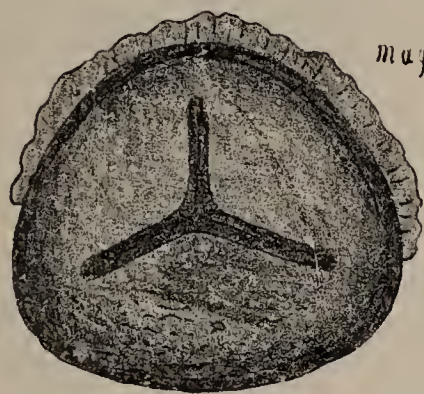
c.

b.

Alt. 4-8
Lat. pedicel. 6-6.5



4/1



magn 1/5

47.

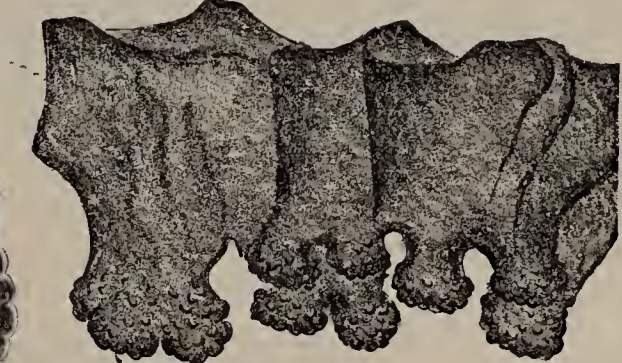
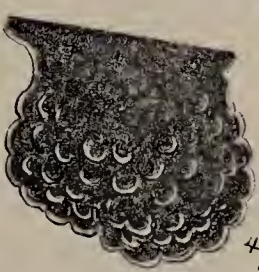


Alt. 6-8
Lat. pedicel. 6

49.

a.

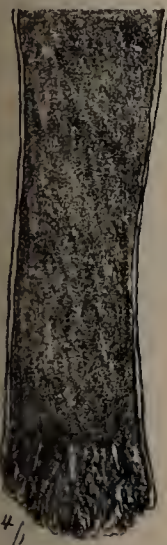
b.



Alt. 30
Diam. pedicel. 7-8

52.

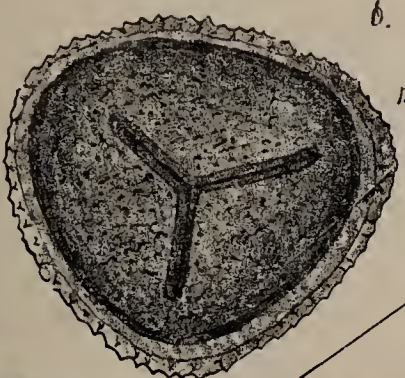
c.



4/1

b.

magn 1/5



d.



4/1

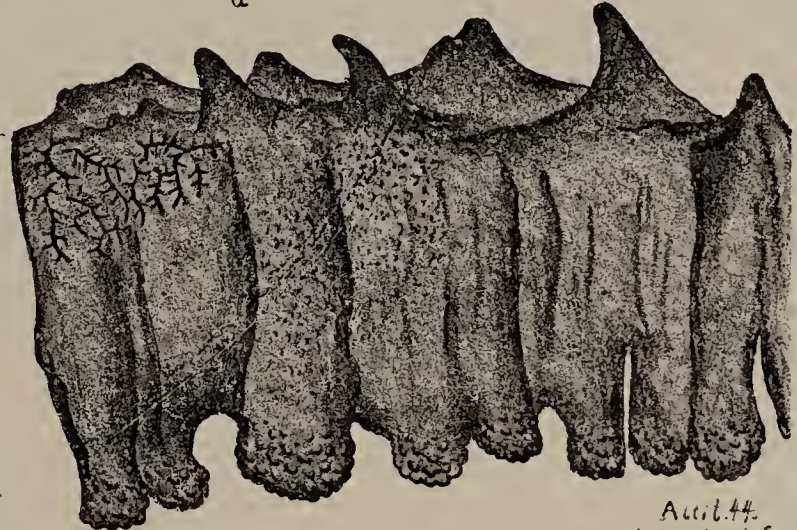


4/1

50.

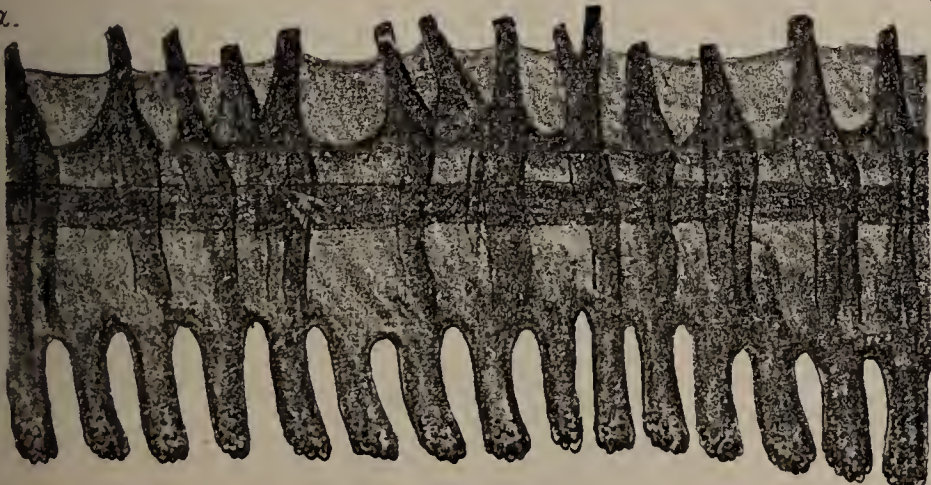
a.

a.



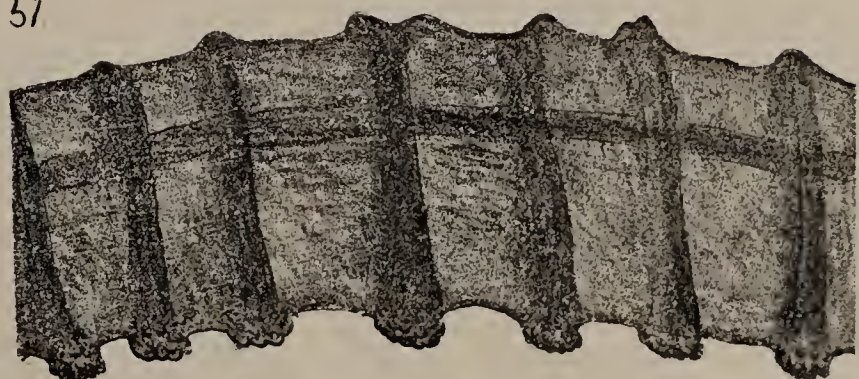
Alt. 44
Diam. pedicel. 5-6

a.

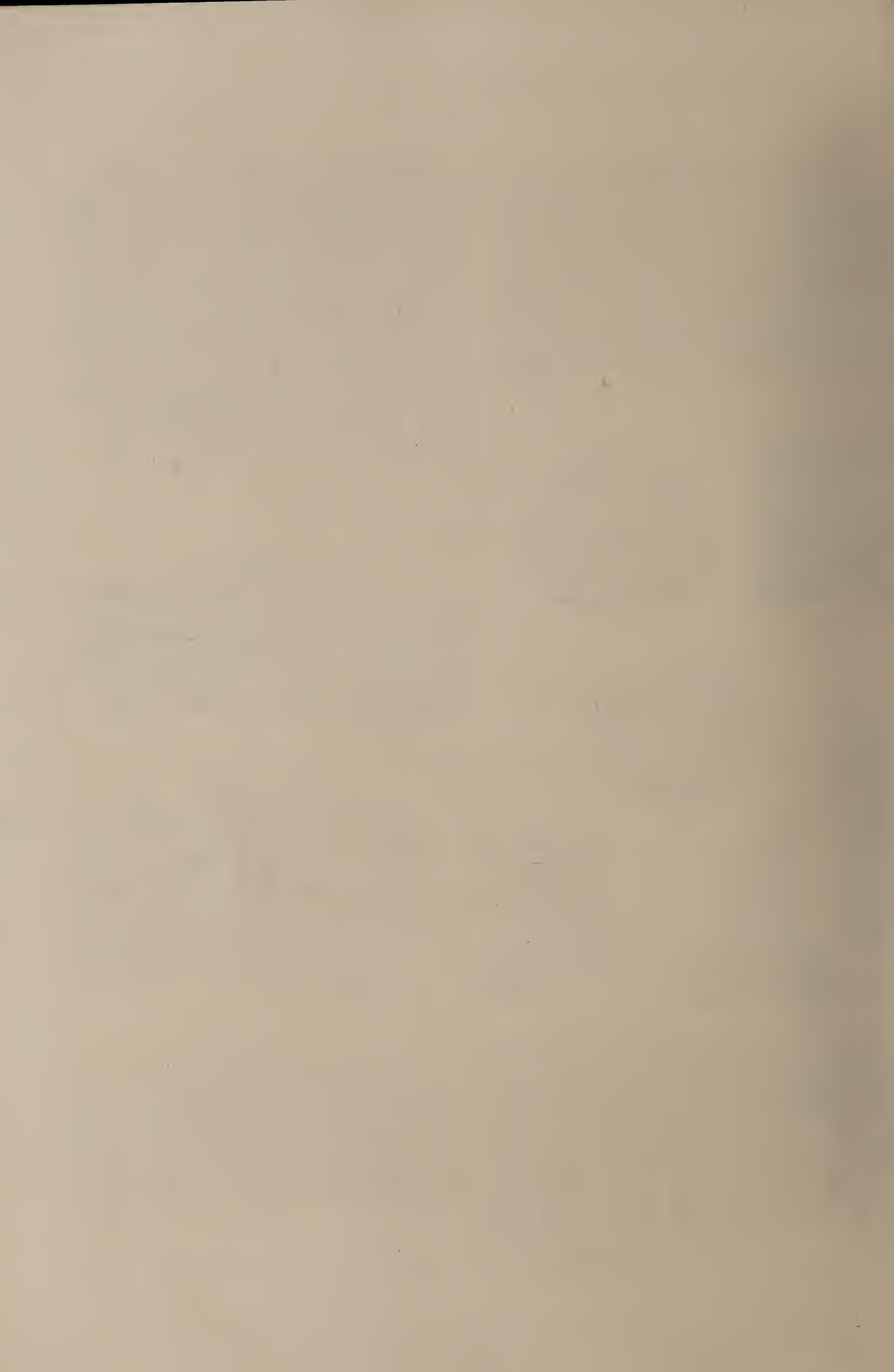


Alt. 46 Lat. pedicel. 3-4.

51



Alt. 30
Lat. pedicel. 5-6



c.

b.

a.

53.



4/1



2/1



Alt. 14.

55.

a.



c.

b.

magn. 30



2/1



Alt. 23.

54.



Alt. 45.

59.

a.

b.



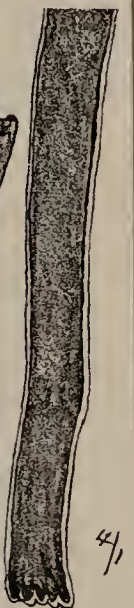
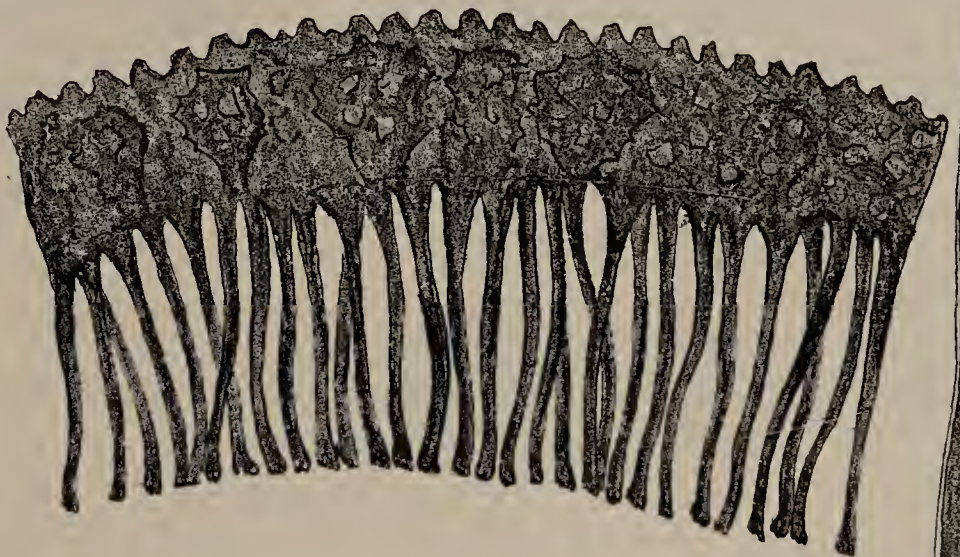
4/1

Alt. 30. Long. pedic. 12 Crass. pedic. 0,5

56.

a.

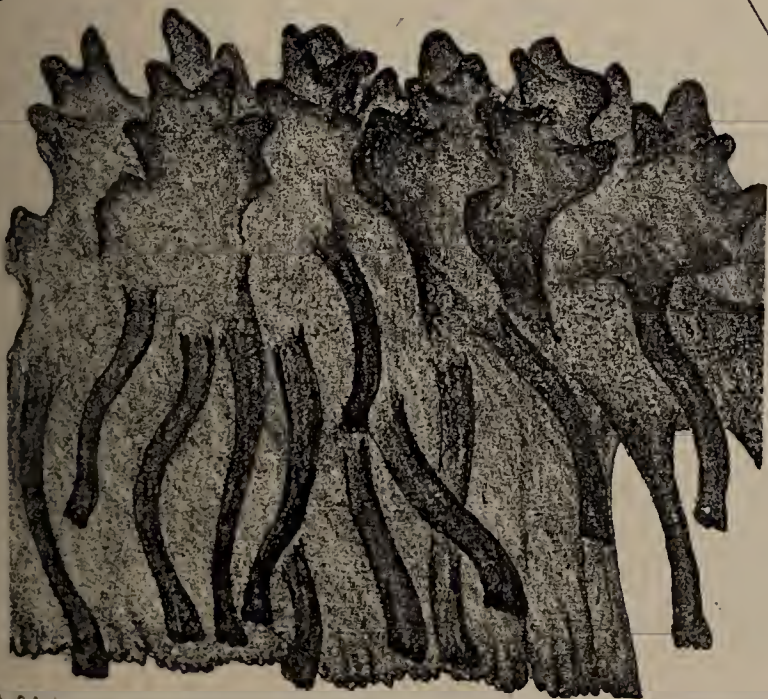
b.



4/1

Alt. 42
Crassitudo pediculi 1-15

58.



Alt. 68. Long. pedic. 22-25

c.

b.

a.

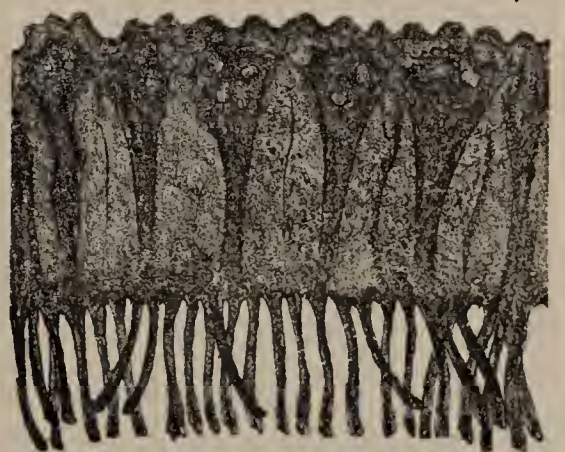
57.



3/1

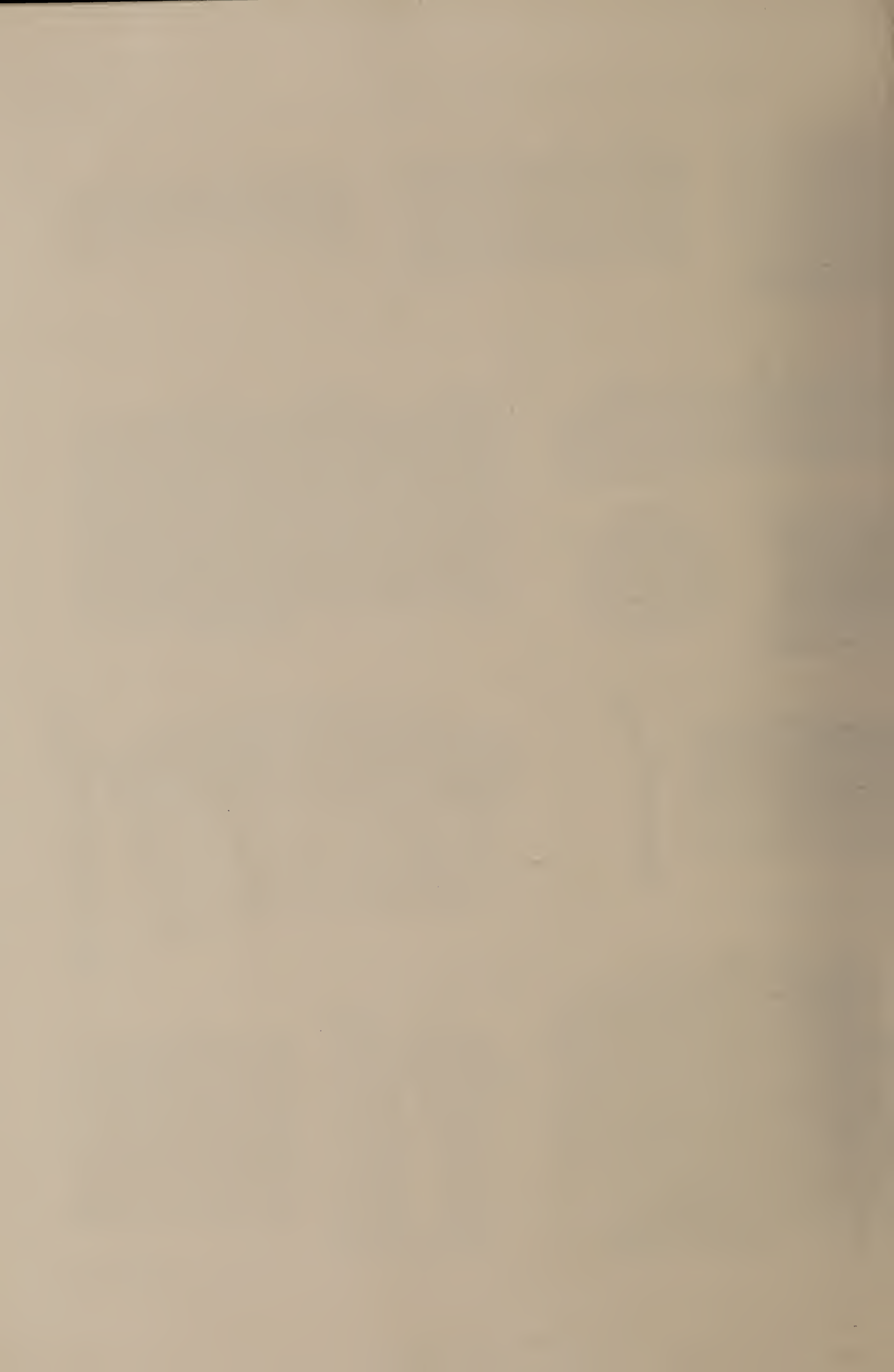


3/1

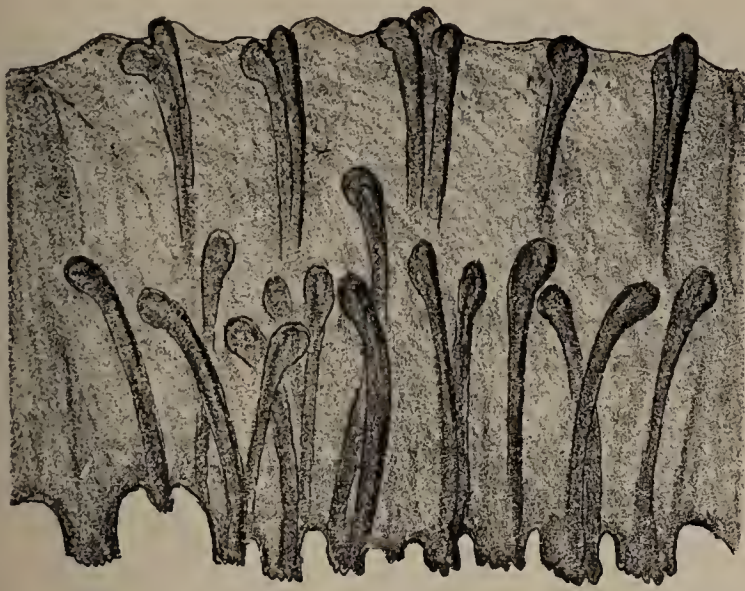


Alt. 40
Long. pedic. 23-25
Crassitudo pedic. 7

Pf Re delin. Lithogr. 1887.



61.



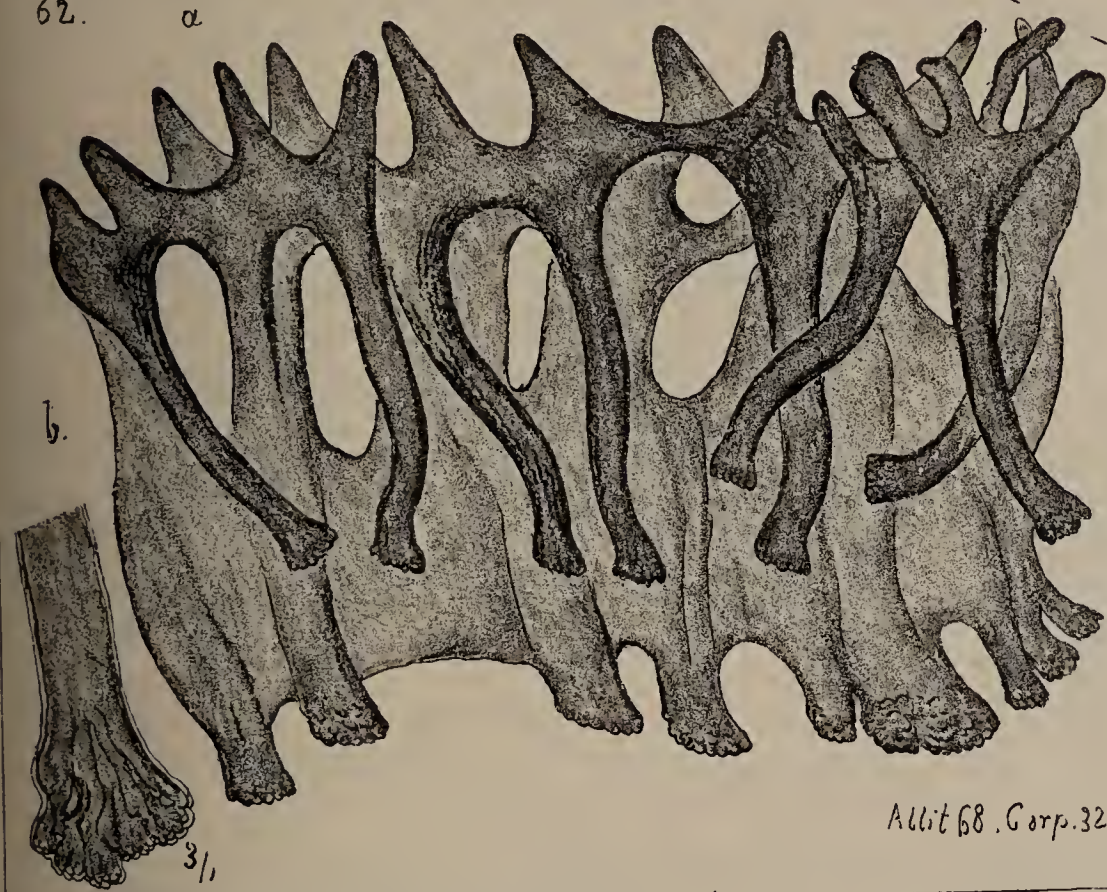
Alt. 50

60.



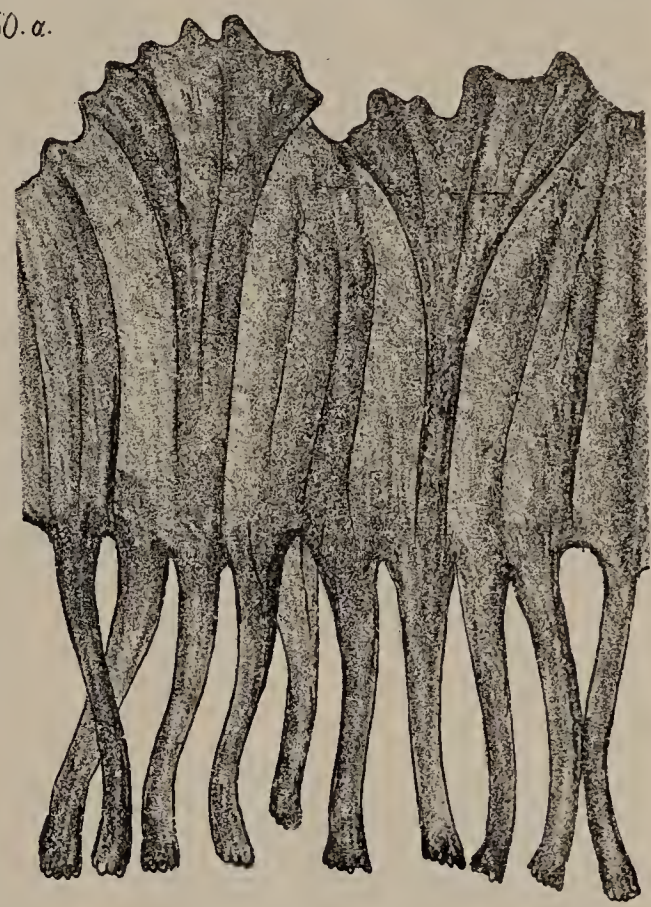
Alt. 68-70.

62. α



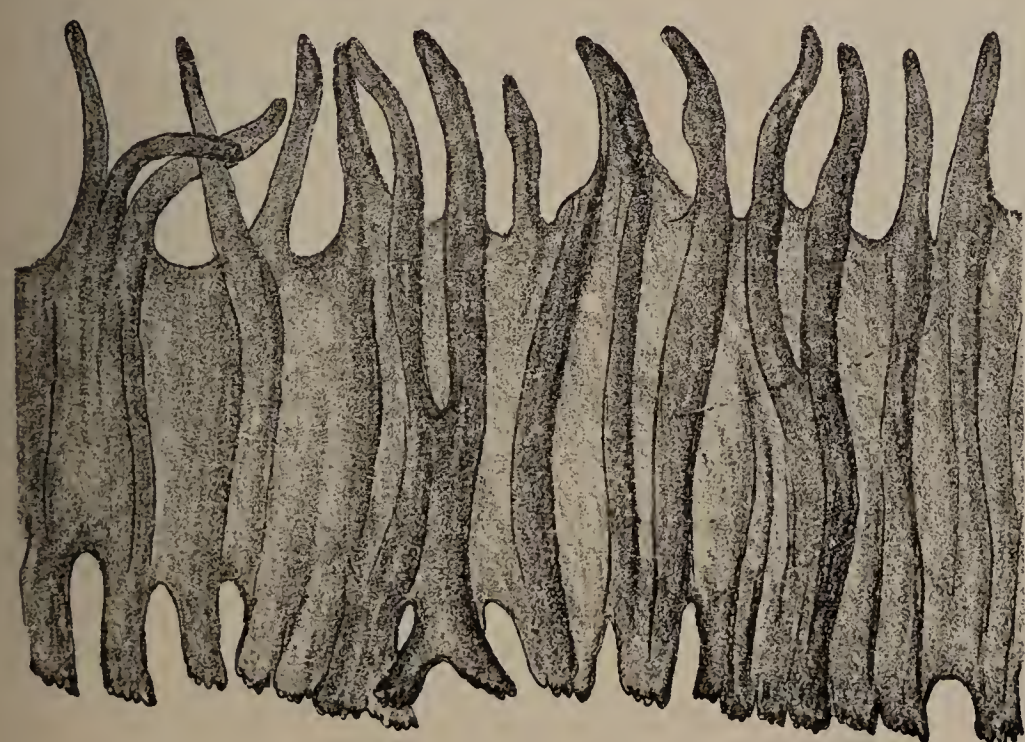
Alt. 68. Corp. 32

60. α .



Alt. 78.

64.

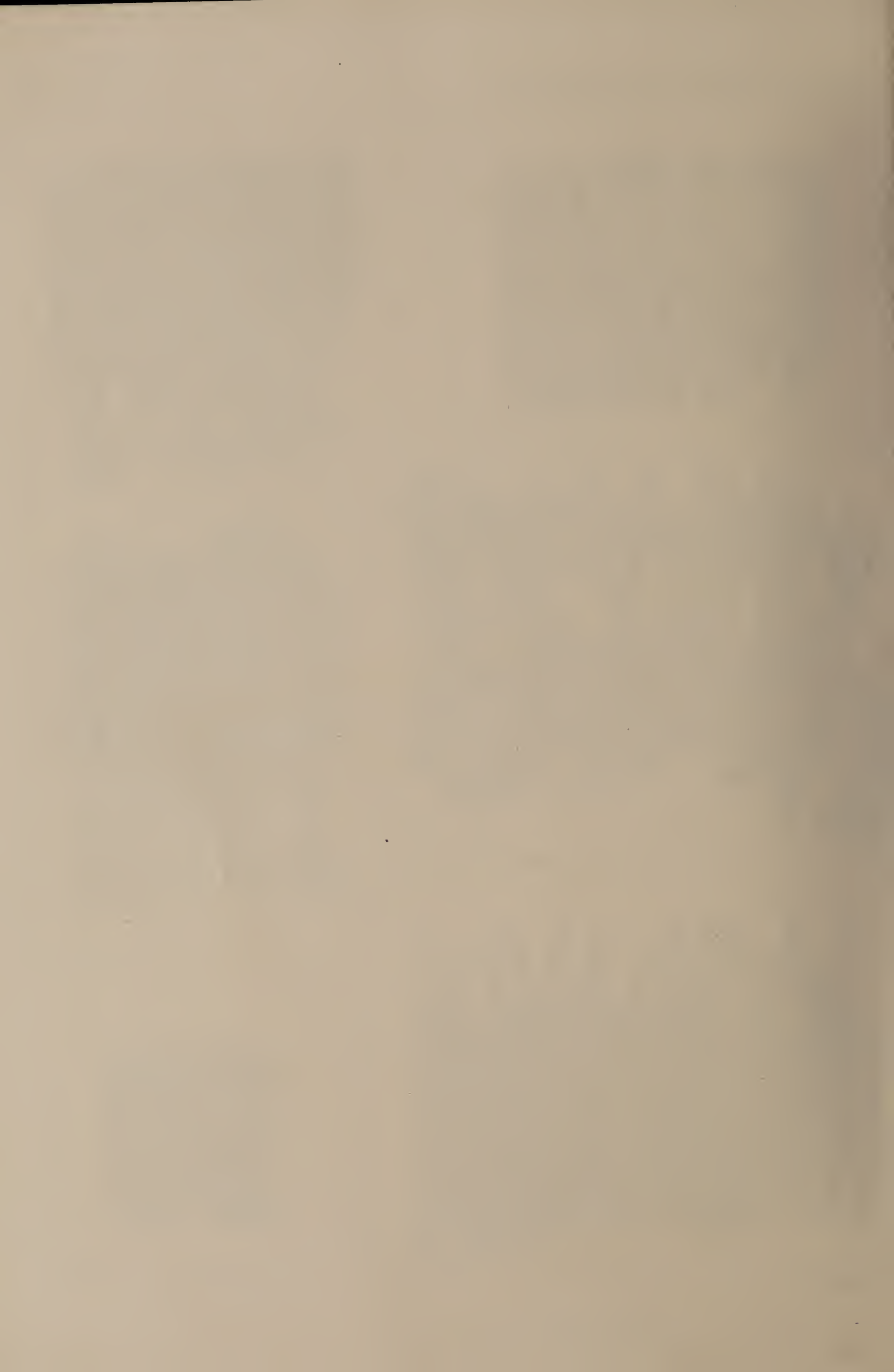


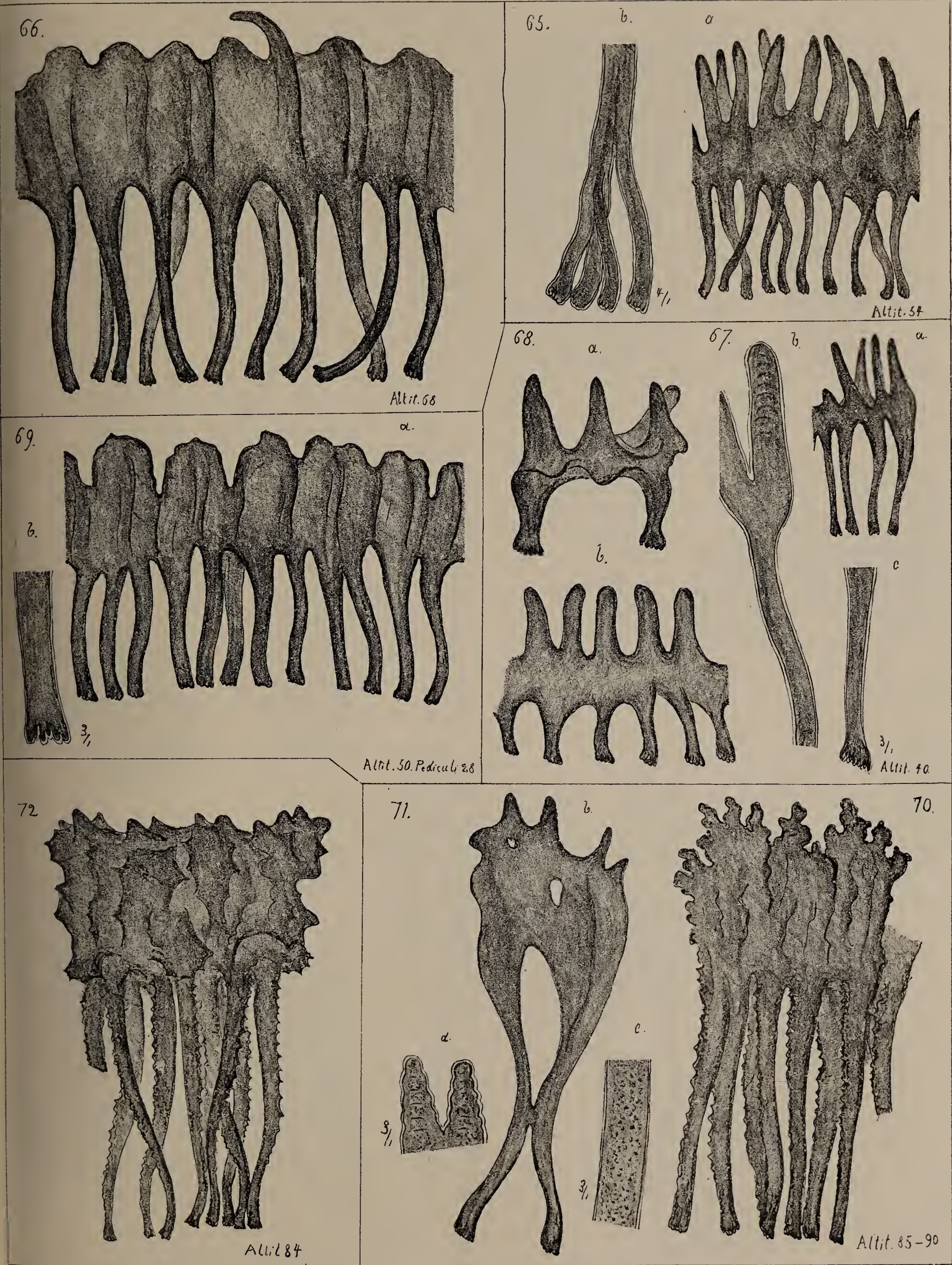
Alt. 68. Corp. 48

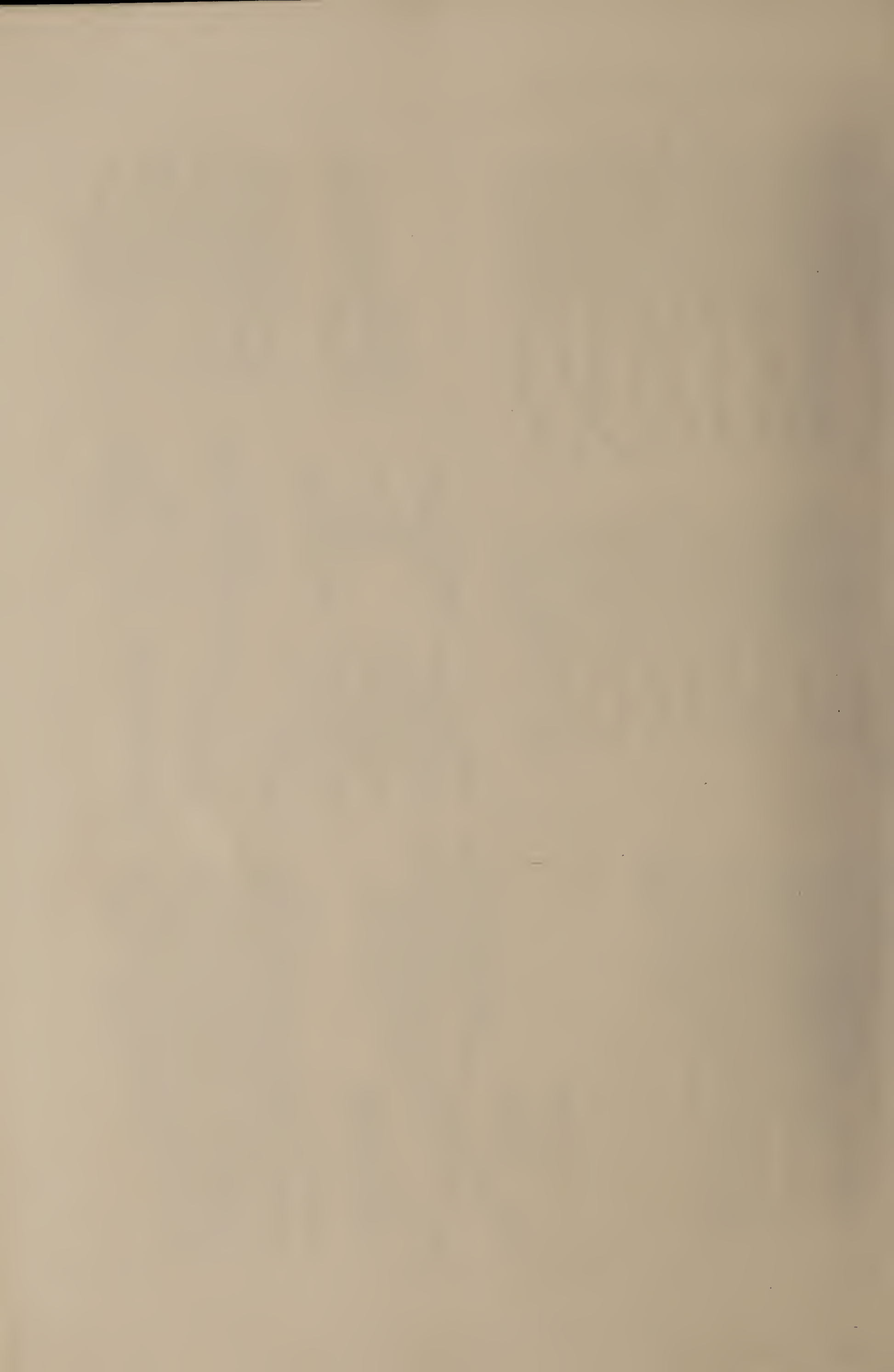
63.



Alt. 38.







74.



Altit. 90.

73

b.

α.



Altit. 64-70.

75.

c.

α



b.



6/1

6/1

Altit. 34-38.

77.

b.

c.



4/1



3/1

α.



Altit. 75.

76.

b.

α.

α.



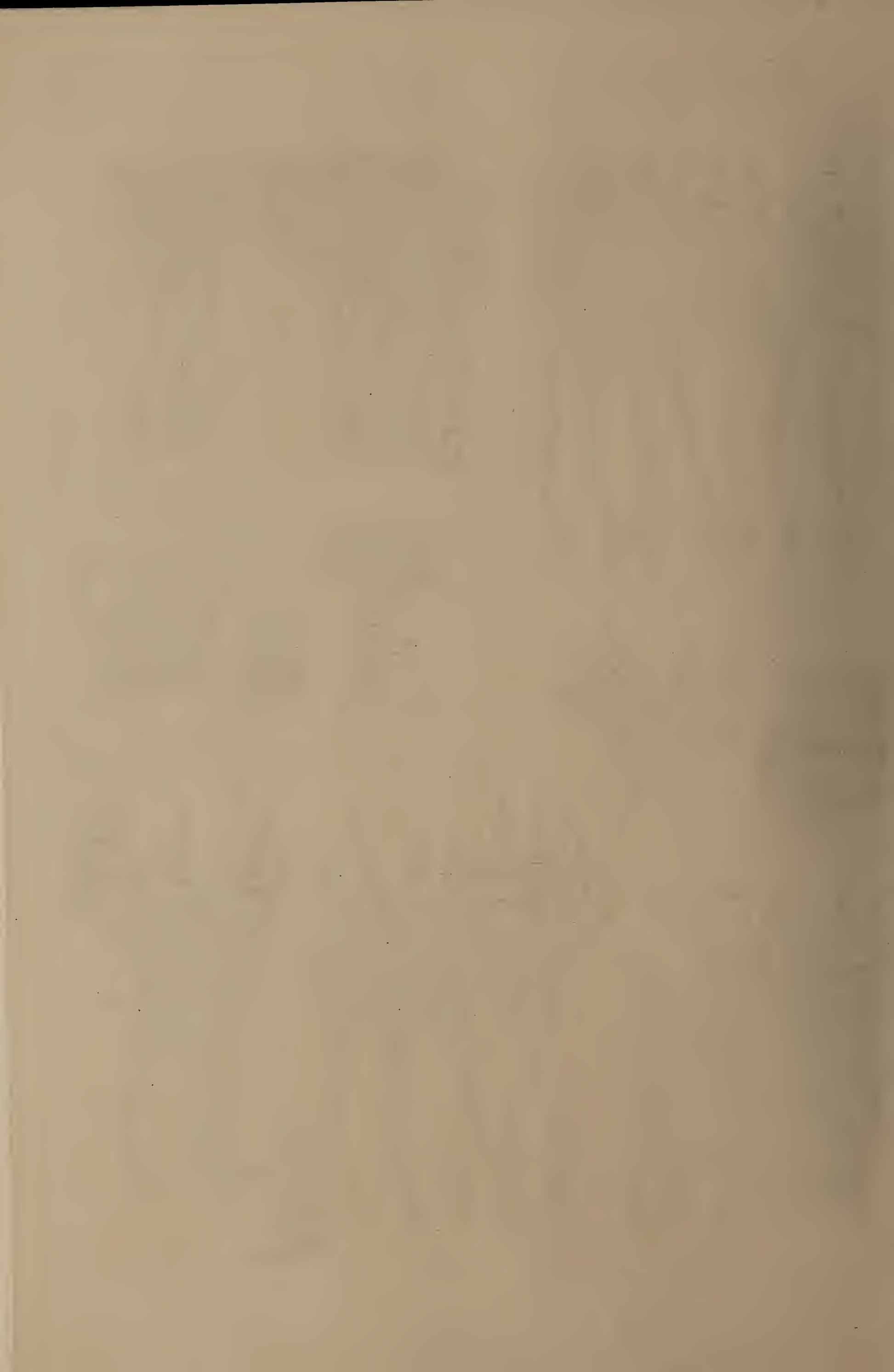
3/1

c.



3/1

Altit. 85-90.



80.



Allit. 200-226
Corpus. 55. Pedic. 125

78.



c.

b.



3/1

3/1

a.



Allit. 65-72

79.



a.

b.

c.

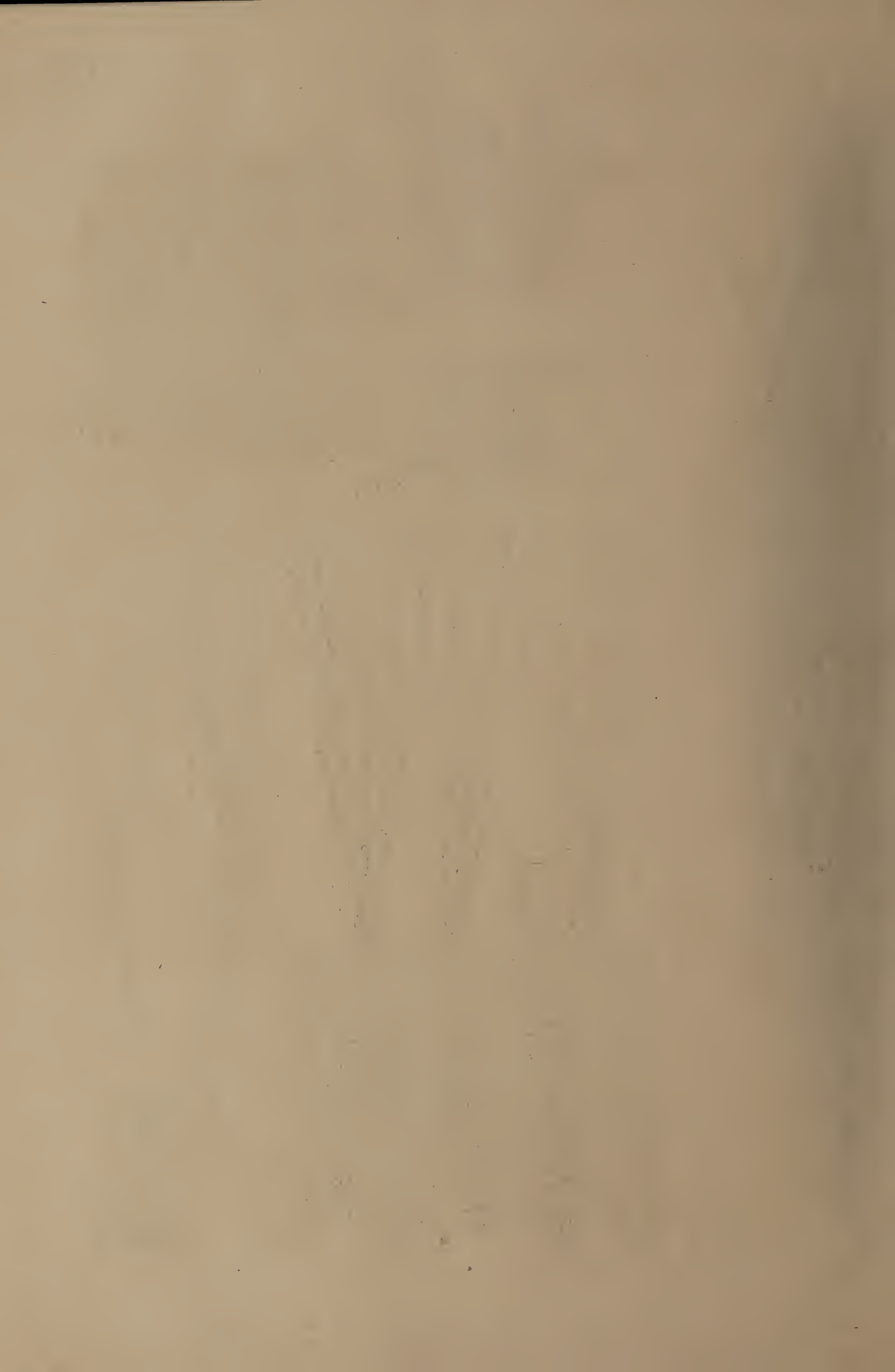


d.



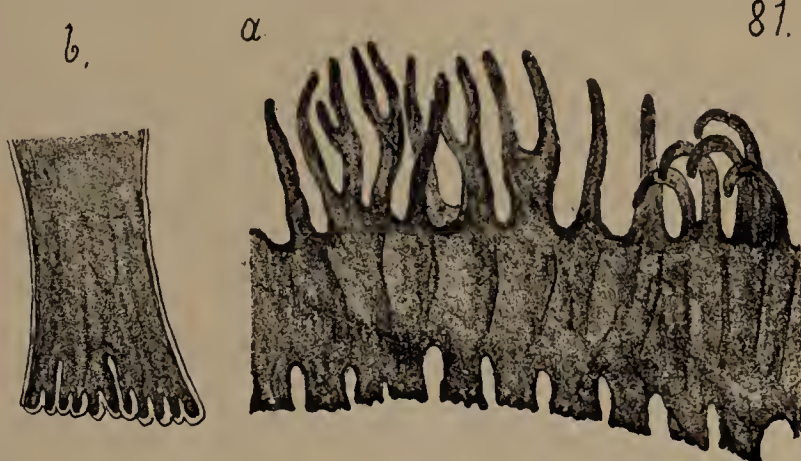
3/1

Allit. 100-160
Corpus 50-65





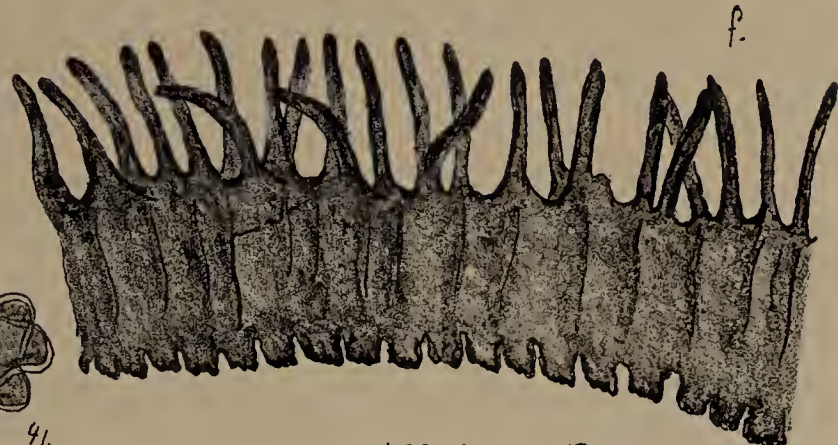
Alt. 28. Corpus 16.



Alt. 35. Corpus 18.



Alt. 31. Corpus 14.



Alt. 32. Corpus 17.



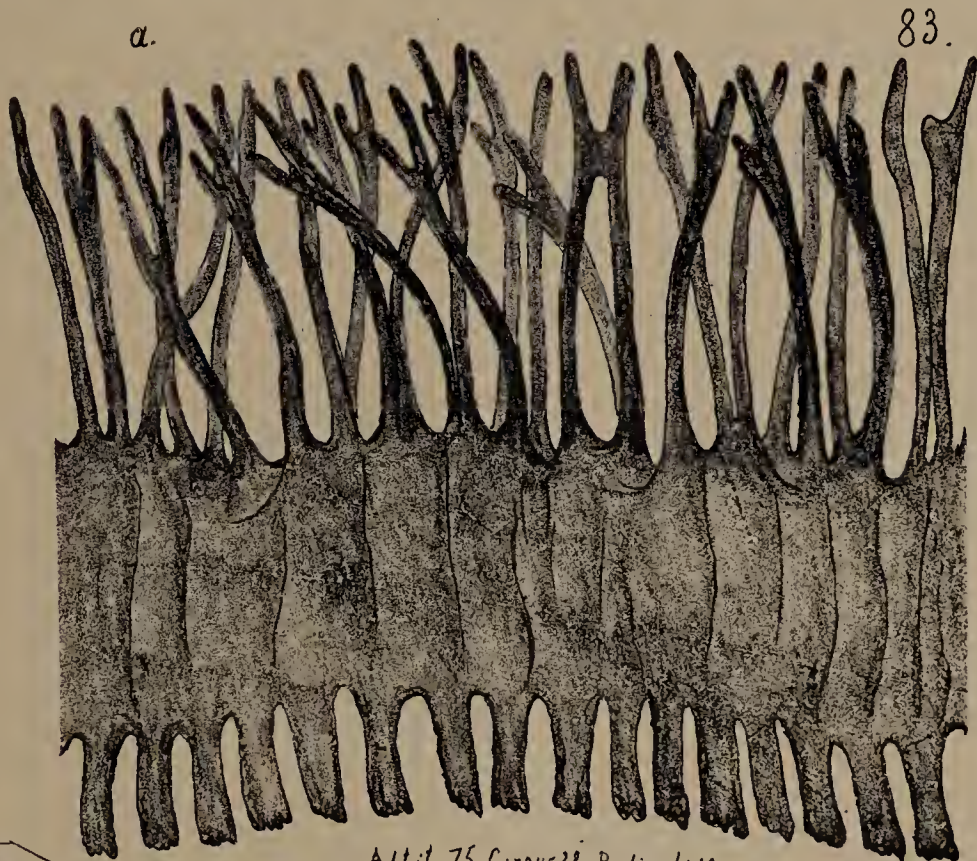
Alt. 48. Corp. 30.



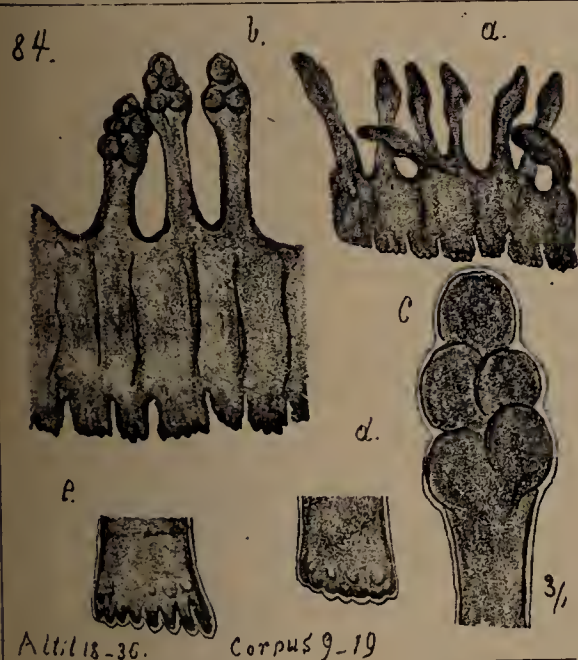
5/1



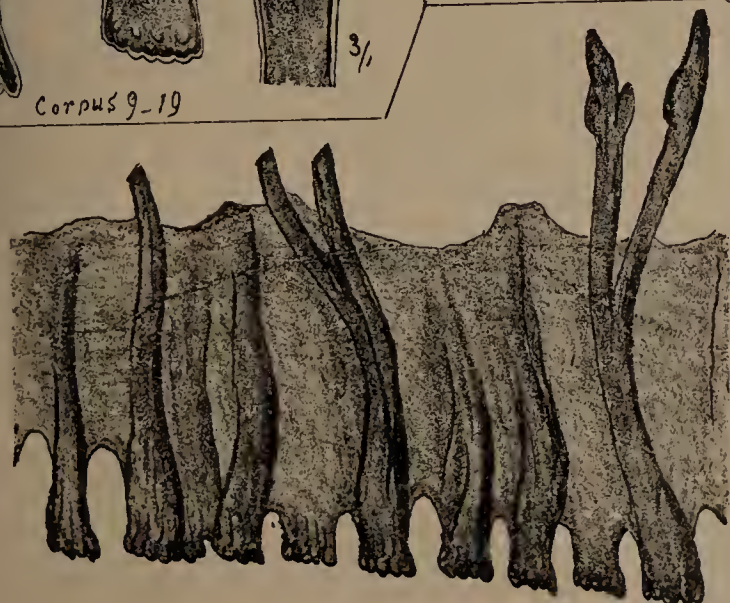
4/1



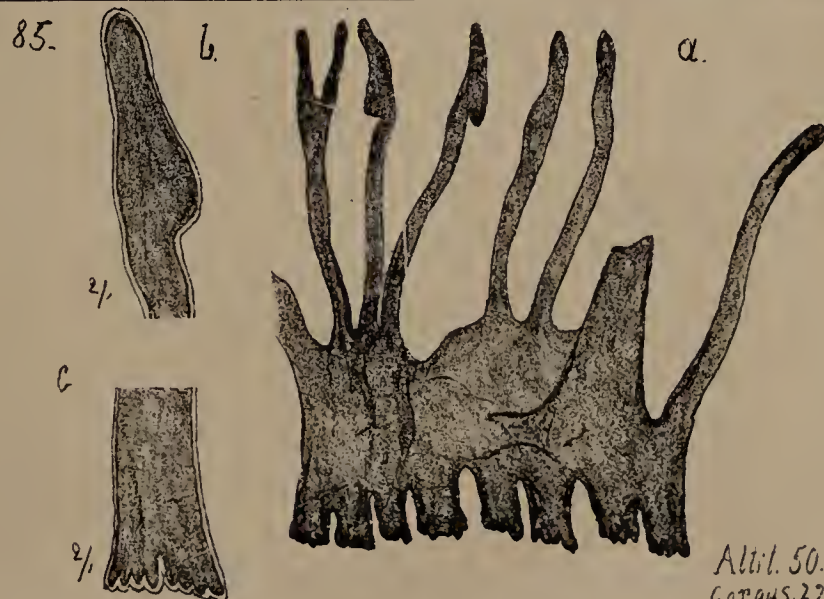
Alt. 75. Corpus 38. Pediculi 10.



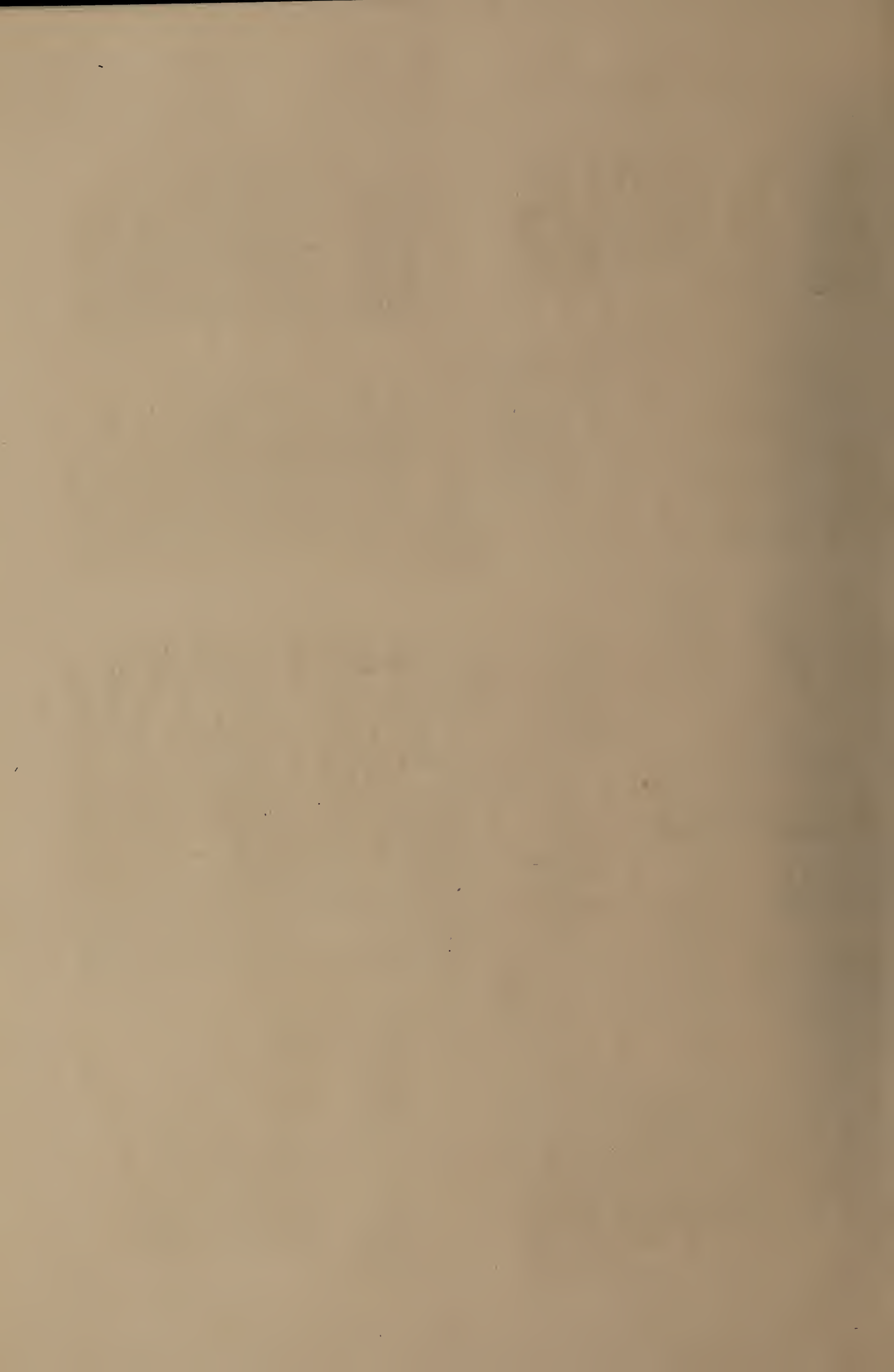
Alt. 18-36. Corpus 9-19

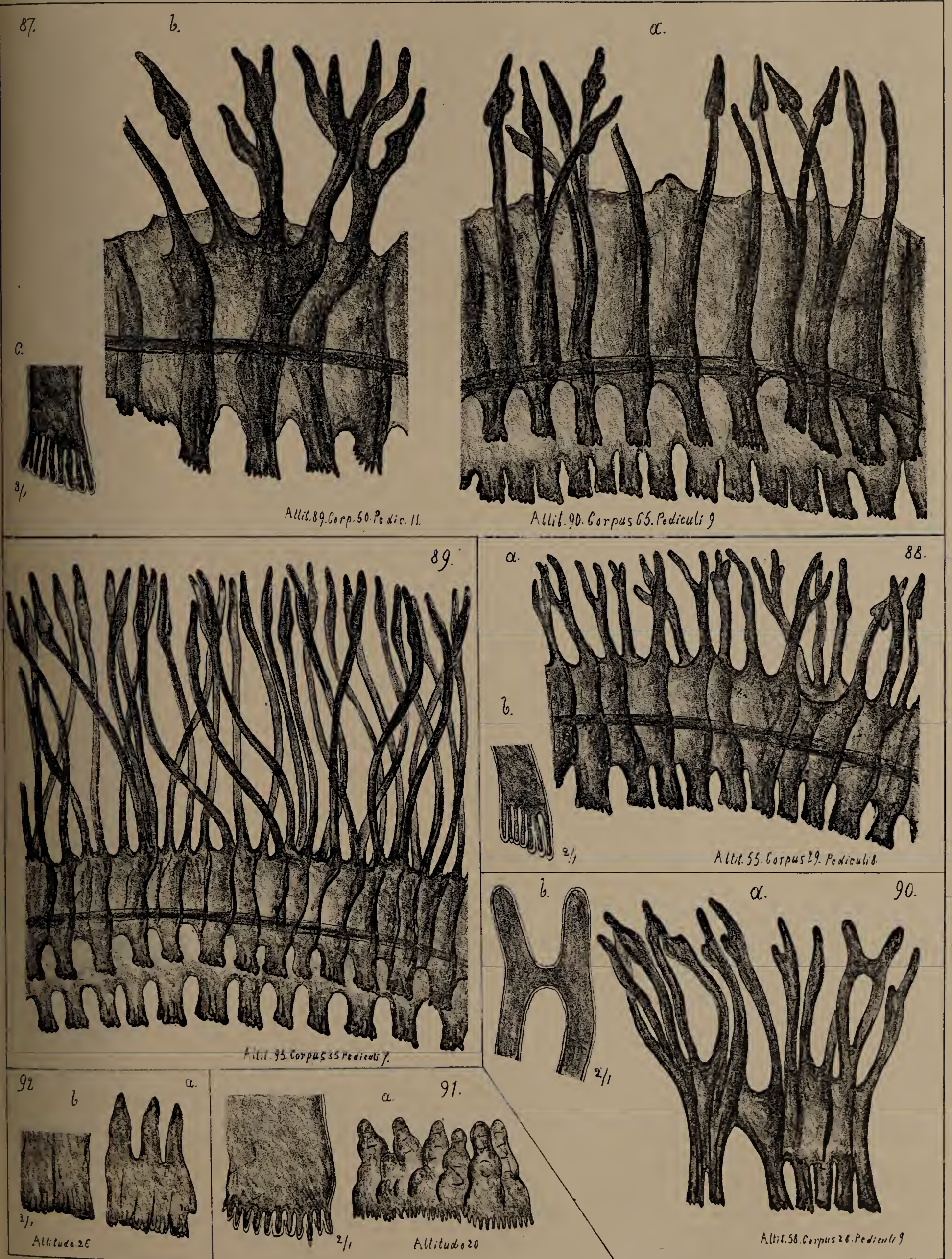


Alt. 58. Corpus 36.



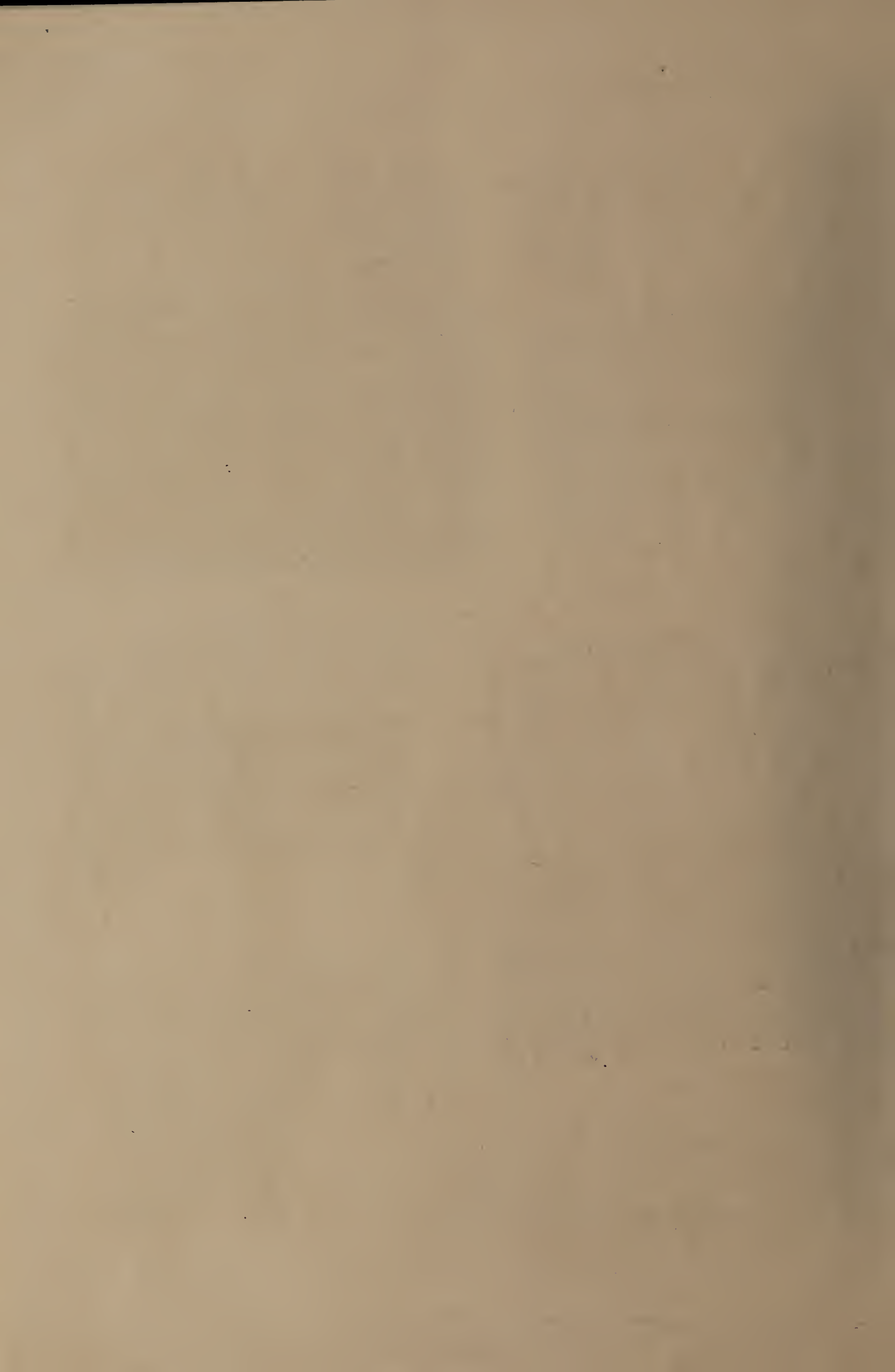
Alt. 50. Corpus 22





P.F.R. delin. lithogr. 1884

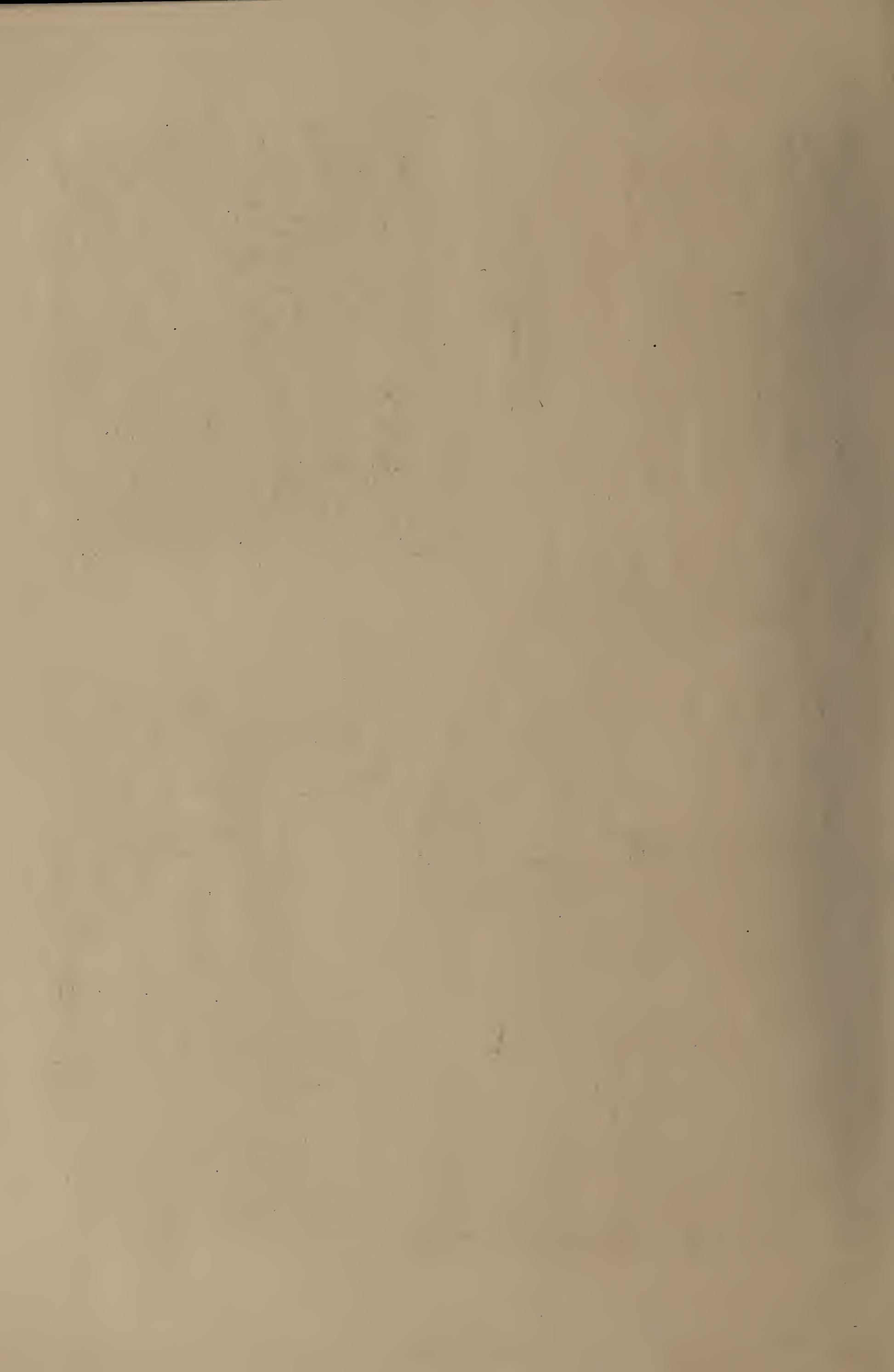
Trib. IV. Steliidae.

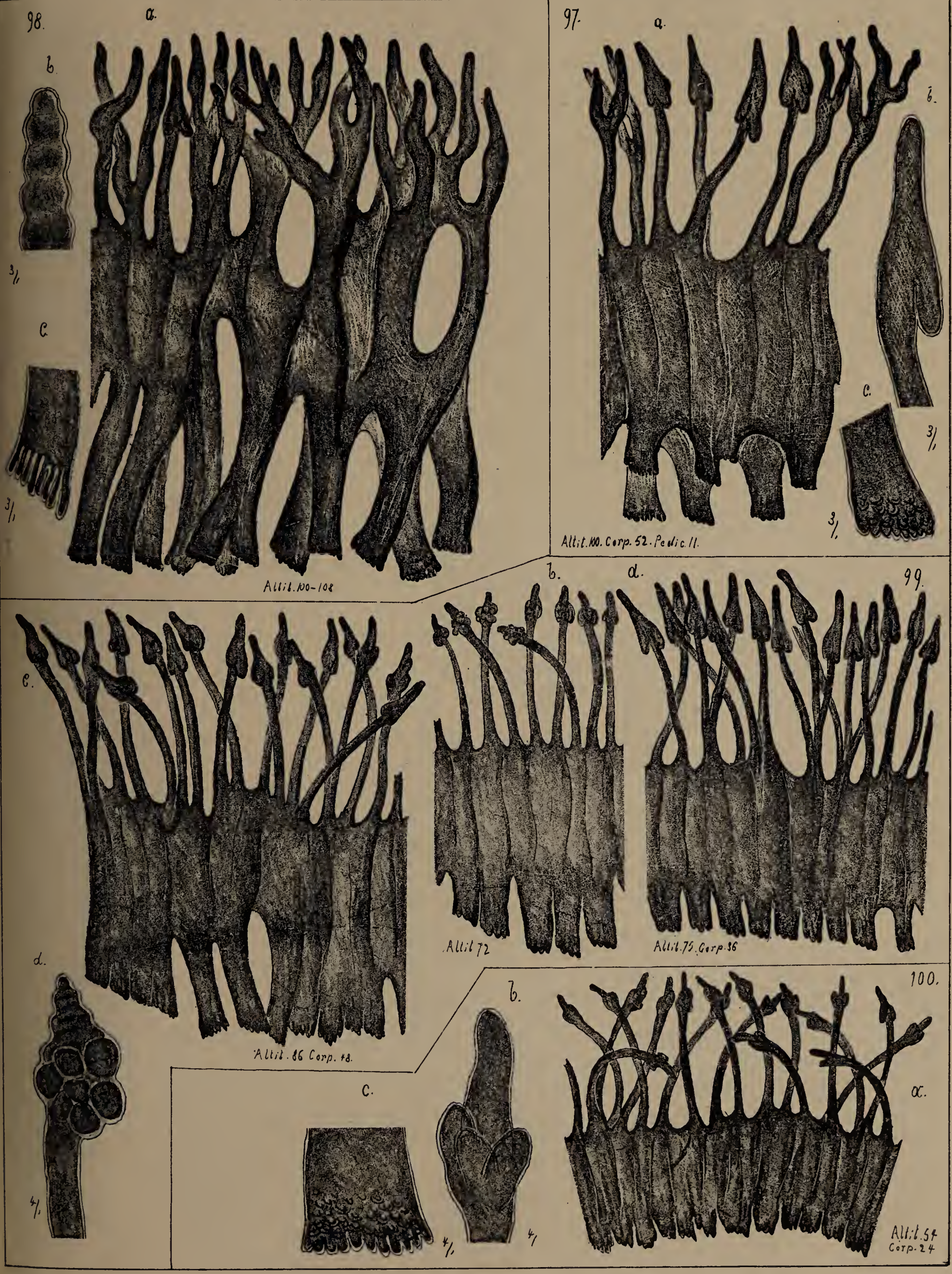


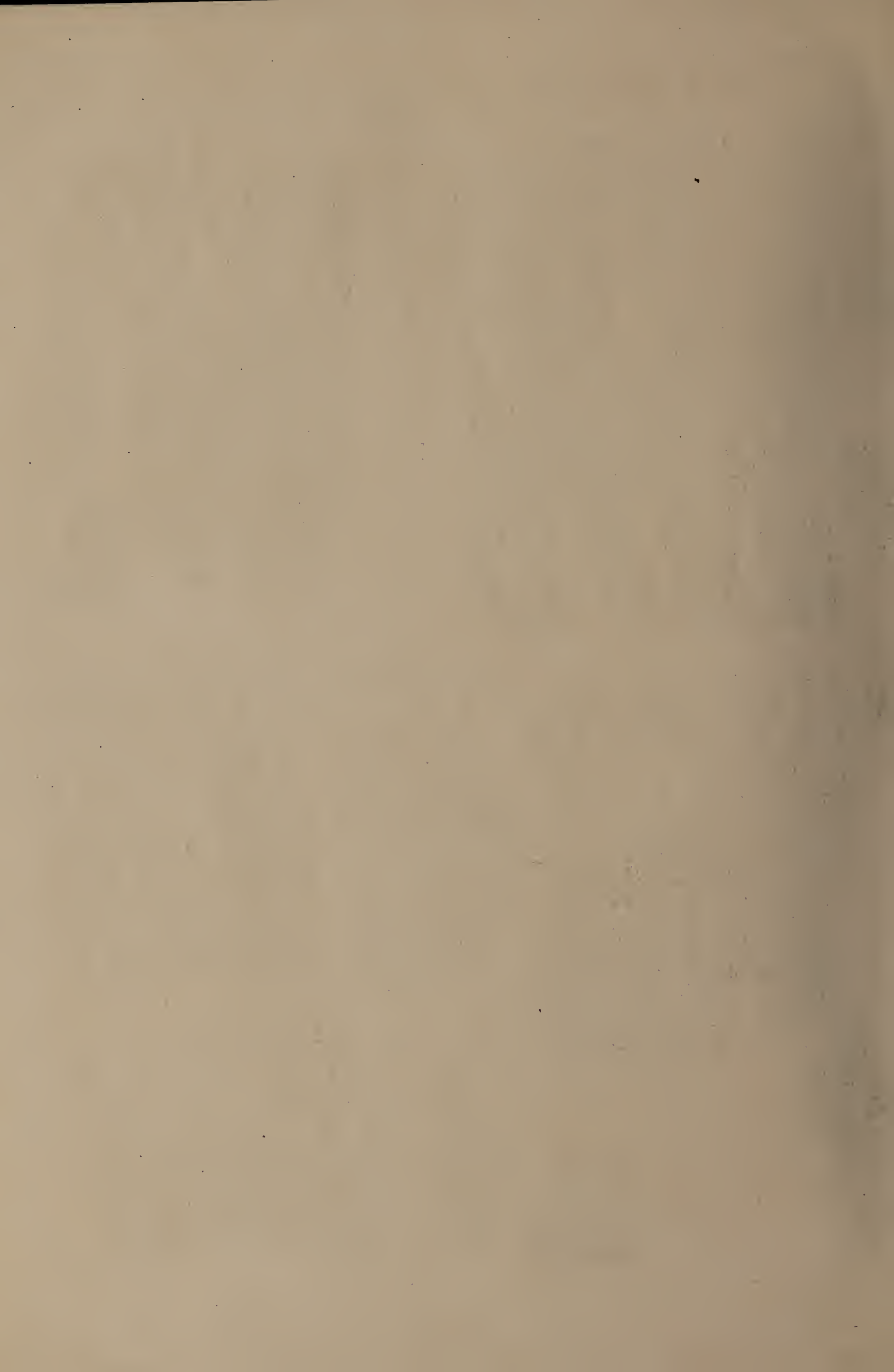


PfReinsch del. in lithogr. 1885

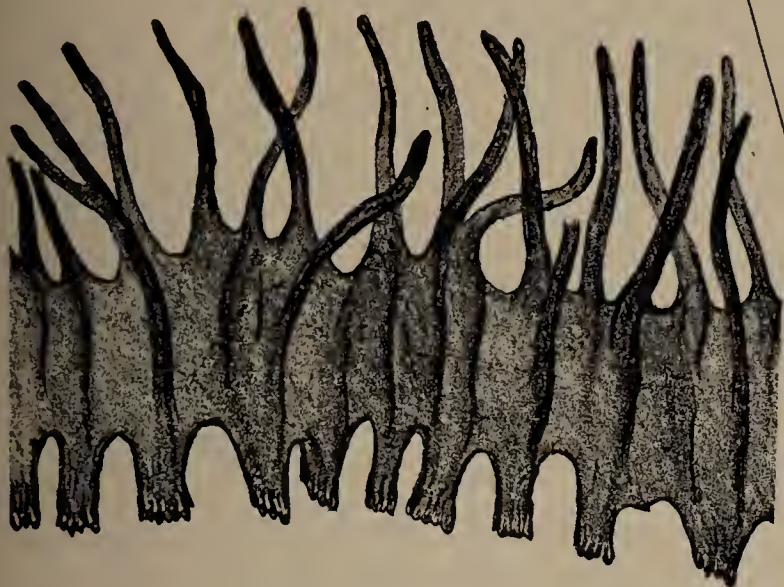
Trib. IV. Steliaceae.







103.



Alt. 49 Corp. 25-29.

102.

b.



101.

a.



Alt. 84

105.

a.



Alt. 150. Corpus 80.

104.

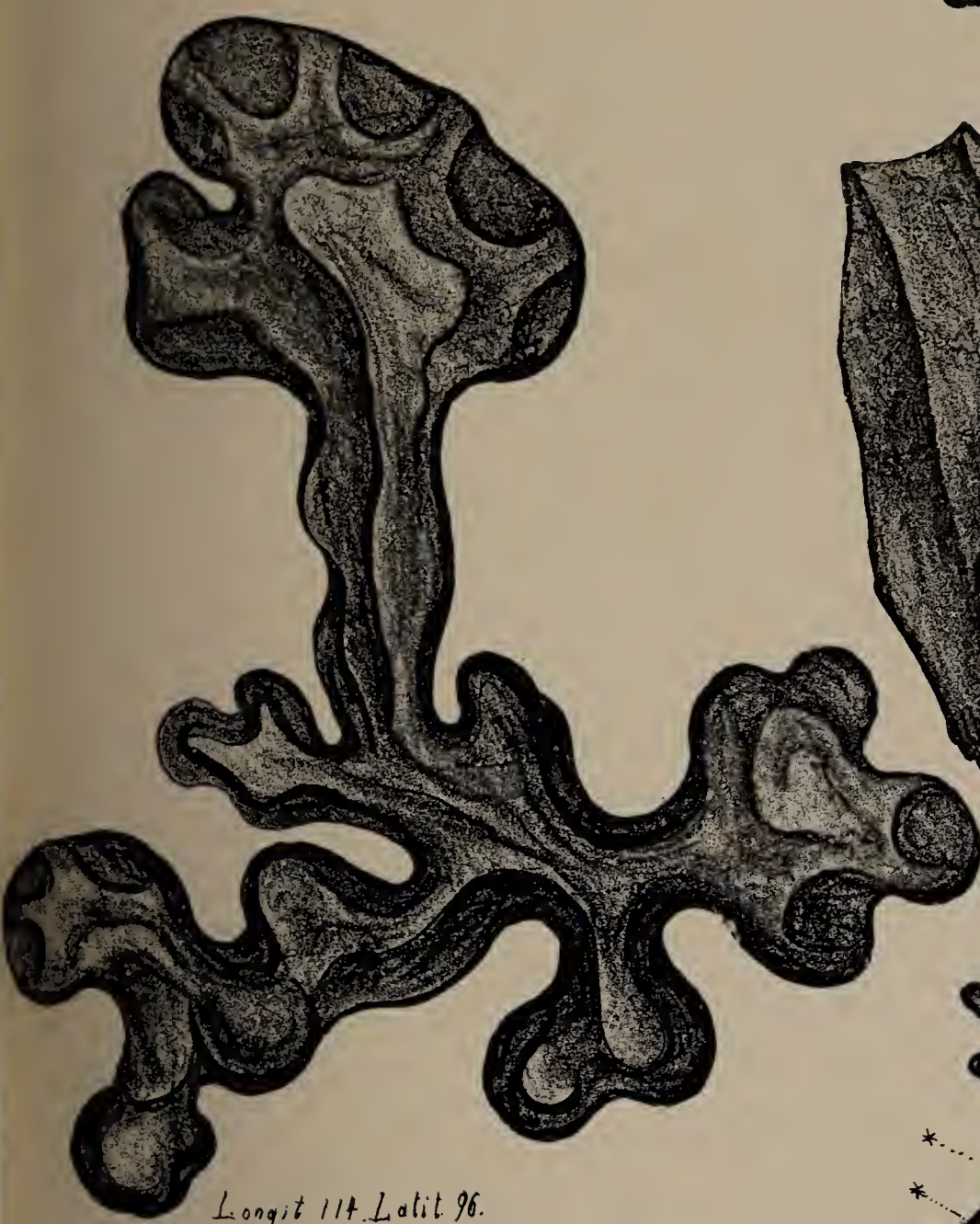


Alt. 114. Corp. 42



109.

106.

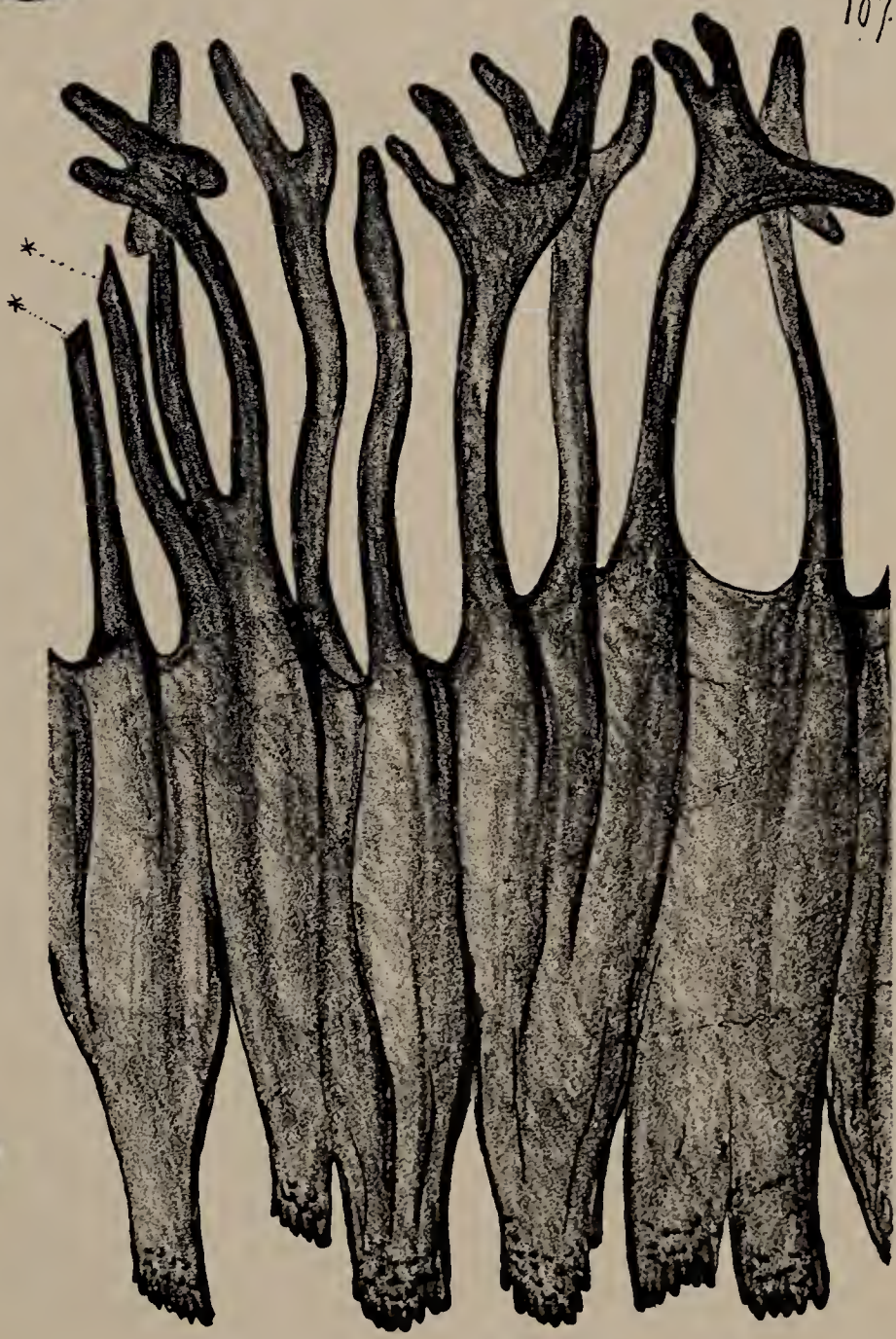


Longit 114. Latit 96.

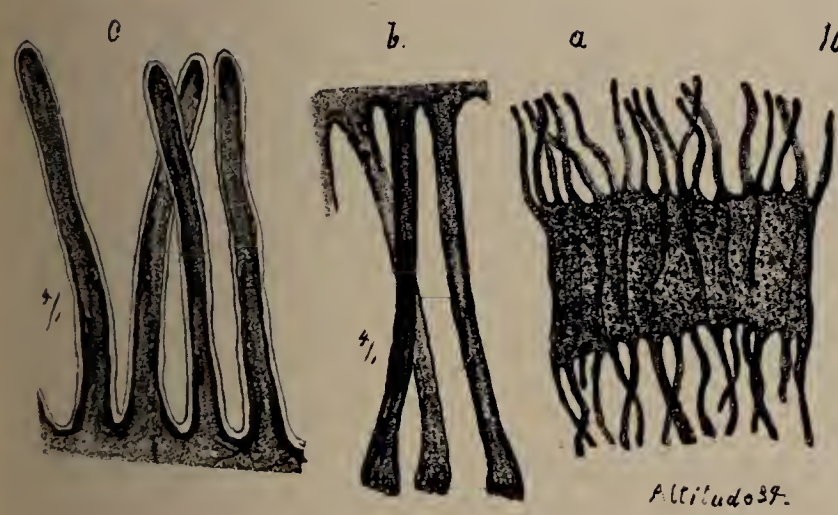


Altit. 100. Corp. 74. Pediculi 14.

107.

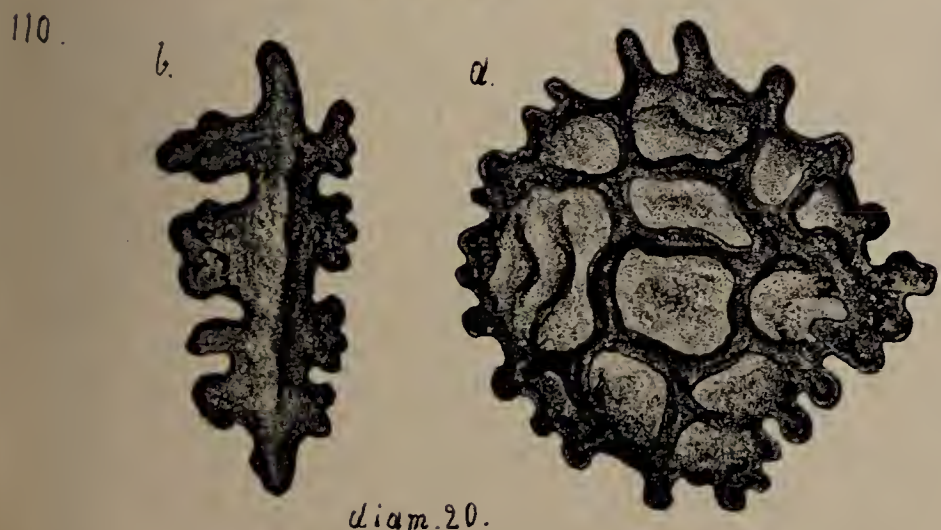


Altit. 124. Corp. 68.



108.

Altitud 39.



diam. 20.

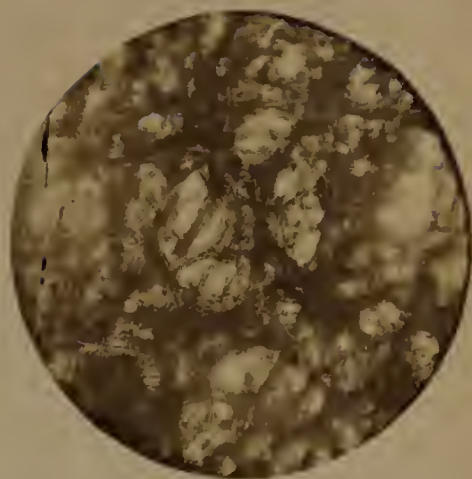
13.



14.



15.



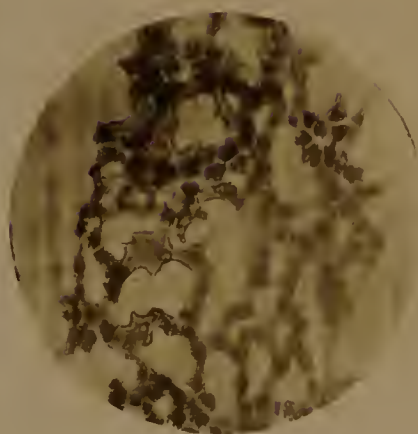
16.



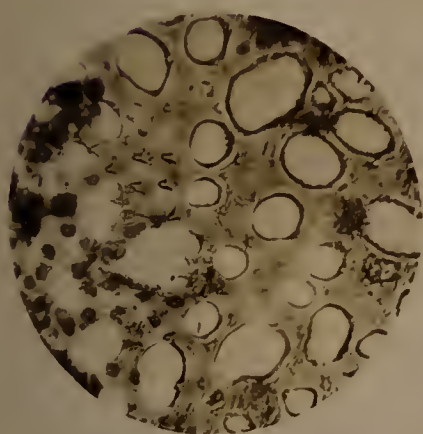
17.



18.



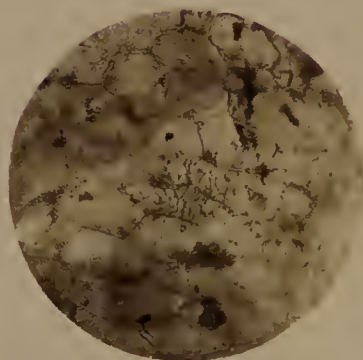
19.



20.



21.



22.



23.



24.



Dassler phot.

Microphotographia cum Syst. 8 et Syst. immersion 11.

